

**MINISTERUL EDUCAȚIEI SI INVATAMINTULUI**  
**Institutul Politehnic Traian Vuia Timișoara**  
**Facultatea de Electrotehnica**

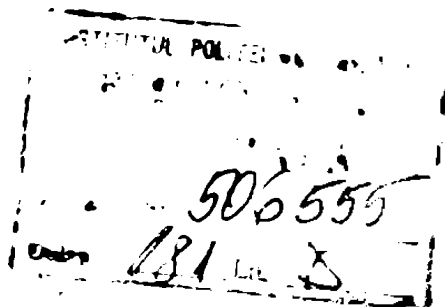
**ing. Chioncel Petru**

**STUDIU PRINCIPALELOR PROCESE TRAENZITORII  
SI PROIECTAREA OPTIMALA A EXCITATOAREI SIN-  
CRONE CU DIODE ROTATIVE**

BIBLIOTeca CENTRALă  
UNIVERSITATEA "POLITEHNICA"  
TIMIȘOARA

**Conducător științific:  
Prof.dr.ing. Novac I.**

**- 1985 -  
Timișoara**



## C U P R I S

|  | <b>Pag.</b> |
|--|-------------|
| INTRODUCERE  | .....       |
| LISTA DE NOTATII .....   | 5           |
| Cap. I STUDIUL CRITIC AL SISTEMELOR DE EXCITATIE<br>ALE GENERATOARELOR SINCRONE FOLOSITE IN<br>PREZENT .....     | 11          |
| 1.1. Definirea, clasificarea și cerin-<br>țele care se pun sistemelor de ex-<br>citatie .....                    | 11          |
| 1. 2. Scheme și particularități ale sis-<br>temului de excitatie clasic .....                                    | 16          |
| 1.3. Schema și particularități ale sis-<br>temului de excitatie static .....                                     | 20          |
| 1.4. Sistemul de excitatie cu excitatoare<br>sincrone cu diode rotative .....                                    | 24          |
| Cap. II CONSTRUCTIA SI FUNCTIONAREA IN SERVICIU A<br>EXCITATOAREI SINCRONE CU REDRESOR ROTATIV<br>CU DIODE ..... | 29          |
| 2.1. Construcția excitatoarei sincrone<br>cu redresor rotativ cu diode .....                                     | 29          |
| 2.2. Studiul critic al tipurilor de<br>înăgăurări de indus ale excitatoarei<br>sincrone .....                    | 33          |
| 2.3. Redresarea polifazată în instala-<br>țiiile de redresare rotitoare cu<br>diode cu siliciu --.....           | 43          |
| 2.3.1. Montajul de redresare cu "comu-<br>tație paralel.....   | 48          |
| 2.3.2. Montajul de redresare cu "comu-<br>tație serie" .....   | 48          |
| 2.3.2.1. Tensiunea inversă și factorul<br>de ondulație al redresorului ..  | 52          |
| 2.3.2.2. Curentul direct și factorul de<br>utilizare al redresorului ....  | 53          |
| 2.3.2.3. Căderea de tensiune datorită<br>comutației .....  | 53          |
| 2.3.2.4. Compararea modalităților de<br>redresare .....  | 56          |

|  | Pag.      |
|--|-----------|
| 2.3.2.5. Soluție constructivă a<br>instalației de redresare<br>rotativă cu comutăție serie .....   | 58        |
| 2.4. Ecuatiile excitatoarei sincrone .....   | 61        |
| <b>Cap. III COMPORTAREA EXCITATOAREI SINCRONE CU DIODE<br/>ROTATIVE ÎN REGIM TRANZITORIU .....</b>   | <b>69</b> |
| 3.1. Modelarea matematică a excitatoarei<br>sincrone care lucrează pe sarcină prin<br>redresor pentru studiul procesului de<br>comutăție și al regimurilor transi-<br>torii .....      | 69        |
| 3.2. Studiul posibilităților de obținere<br>a unei viteză de excitație corespun-<br>zătoare a sistemului de excitație ..   | 75        |
| 3.3. Studiul posibilităților dezexcitației<br>rapide în cas de eșec .....  | 85        |
| <b>Cap. IV STUDIUL PROIECTARII OPTIMALE A EXCITATOAREI<br/>SINCRONE CU DIODE ROTATIVE .....</b>  | <b>90</b> |
| 4.1. Stabilirea elementelor principale de<br>care depinde comutarea corespunză-<br>toare a sistemului de excitație și a<br>ansamblului excitatoare-generator ...                       | 90        |
| 4.2. Alegerea criteriului de optimizare<br>la proiectarea excitatoarei sincrone<br>cu diode rotative. Aplicarea sa la<br>calculul de dimensionare a înfășură-<br>rii inducătoare ..... | 97        |
| 4.3. Metodica practică de dimensionare a<br>excitatoarei sincrone cu diode rota-<br>tive .....   | 100       |
| 4.3.1. Dimensiunea excitatoarei sincrone<br>în varianta inițială .....   | 100       |
| 4.3.2. Dimensiunea punctii redresare<br>cu diode rotative .....  | 104       |
| 4.4. Programul de optimizarea al excita-<br>toarei sincrone pe baza criteriu-<br>lui vitezei de excitație maxime,<br>pornind de la varianta inițială ...                               | 107       |

|  | Pag.       |
|--|------------|
| <b>Cap. V. APLICAREA PRACTICA A METODICII PROPUSE<br/>REZULTATE EXPERIMENTALE .....</b>  | <b>112</b> |
| <b>5.1. Rezultatele proiectării unei game<br/>        lărgi de excitatoare sincrone cu<br/>        diode rotative utilizate la hidro-<br/>        generatoarele sincrone .....</b> | <b>112</b> |
| <b>5.2. Dimenziunarea unei excitatoare<br/>        sincrone cu diode rotative pentru<br/>        excitarea unui generator sin-<br/>        cron de 6800 KVA; 6,3 KV; 750 rpm</b>   | <b>115</b> |
| <b>5.3. Particularitățile încercării ex-<br/>        citatoarei sincrone cu diode ro-<br/>        tative pe standul de probă uzinal</b>  | <b>123</b> |
| <b>5.4. Rezultatele experimentale obținu-<br/>        te cu excitatoare sincronă cu<br/>        diode rotative proiectată .....</b>  | <b>128</b> |
| <b>Cap. VI CONCLUZII .....</b>   | <b>145</b> |
| <b>Anexe .....</b>   | <b>149</b> |
| <b>Bibliografie .....</b>  | <b>153</b> |

## INTRODUCERE

Mașina sincronă, funcționând în regim de generator, este practic producătorul exclusiv de energie electrică sub forma curentului alternativ și elementul de bază al centralelor electrice.

Cîmpul magnetic inductor al mașinii sincrone se realizează cu ajutorul unei înfășurări păsată în rotor, denumită înfășurare de excitație. Alimentarea înfășurării de excitație a mașinii sincrone se face de la o sursă de curenț continuu, la care se leagă cele două capete ale înfășurării de excitație, astfel încît cîmpul magnetic pe care îl produce este fix față de structura rotorului. Acest cîmp magnetic prezintă o repartiție practic sinusoidală în spațiul întrefierului, la periferia rotorului, rămînind constant în timp în raport cu rotorul.

In timpul funcționării, rotorul și deci distribuția spațială a cîmpului magnetic în întrefier se rotește, astfel încît conductoarele înfășurării statorului, vor sesiza acest cîmp magnetic sinusoidal variabil în timp.

Cînd generatorul sincron funcționează în sarcină, indusul acestuia este parcurs de un sistem polifazat (de obicei trifazat) de curenți alternativi, care la rîndul lor crează un cîmp magnetic invărtitor. Suprapunerea solenățiilor celor două părți ale mașinii determină solenăția rezultantă a mașinii, care crează cîmpul magnetic invărtitor rezultant.

La funcționarea în regim autonom a generatoarelor sincrone, în cazul încărcării mașinii la sarcina preponderent inducțivă, menținerea constantă a tensiunii la borne necesită creșterea considerabilă a excitației, datorită efectului componentei demagnetizante a cîmpului de reacție a indușului, respectiv se impun modificări ale excitației în cazul variațiilor bruse ale sarcinii.

In afara regimului autonom, al doilea mod de bază în funcționarea generatoarelor îl constituie mersul în paralel, tot mai folosit ca urmare a interconectării progresive a rețelelor electrice și creșterii puterilor unitare ale mașinilor. Mersul în paralel impune totodată exigențe sporite sistemului de excitație, referitoare în special la puterea, rapiditatea și sensibilitatea

aceaia, ceea ce și explică dezvoltarea excitatoarelor și regulațoarelor automate de tensiune.

Până nu de mult, sistemele de excitație au fost în majoritatea cazurilor bazate pe magneza de curent continuu, care a fost folosită atât ca excitator principală, cât și auxiliară și reguluator automat de tensiune electromagnetic.

In vederea îmbunătățirii comportării generatoarelor sincrone, în special în diferite regimuri dinamice ca: scurt-circuit la barele generatorului, funcționarea în asincron, conectarea sau deconectarea unor sarcini combinate (active și reactive) sistemele de excitație clasice cu excitare de curent continuu au fost completate respectiv înlăcuite cu alte sisteme de excitație. Astfel, la generatoarele sincrone mari, care reprezintă tendința actuală, se folosesc din ce în ce mai mult următoarele sisteme de excitație:

- Sistemul de excitație cu excitatoarei sincronă, cu redresor rotativ sau static;
- Sistemul de excitație static

In lucrare se analizează sistemul de excitație cu excitator sincronă cu diode rotative, destinat generatoarelor sincrone în modul următor:

- In capitolul I, după definirea, clasificarea și prezentarea succintă a cerințelor care se pun în fața sistemelor de excitație utilizate în prezent, se scoad în relief avantajele, în anumite cazuri, ale sistemului de excitație cu excitator sincronă cu diode rotative, față de alte sisteme de excitație, cu excitatoare de curent continuu și statice.

- In capitolul al II-lea se abordează construcția excitatoarei sincronă cu diode rotative și se stabilesc ecuațiile generale ale acestei mașini, de tip generator sincron inversat, pe baza aplicării originale a teoriei celor două axe. Sub aspect constructiv funcțional se insistă asupra tipurilor de bobinaj ale indușului utilizate la excitatoarea sincronă, în corelare cu posibilitățile de alegere și realizare a instalațiilor de redresare cu diode rotative. Unele soluții originale de realizare a înfășurării rotorice și a instalației de redresare rotativă polifazată, sint exemplificate împreună cu parametrii mai importanți ale unor variante realizate.

- Capitolul al III-lea tratează comportarea excitatoarei sincrone cu diode rotative în regim trenzitoriu. După prezentarea unui model matematic al excitatoarei sincrone lu-

efind pe sarcină prin redresor și a modului general de tratare al proceselor transitorii, se studiază principalele două regimuri nestacionare importante pentru aceste mașini și anume: forțarea excitării cu determinarea vitezei de excitare și dezexcitarea rapidă, precum și posibilitățile de îmbunătățire a parametrilor mașinii la funcționarea în aceste regimuri.

- În capitolul al IV-lea se elaboră o metodiciă de dimensionare optimă originală a excitării sincrone cu diode rotative. În acest scop se stabilesc elementele principale de care depinde corepunzătoarea a ansamblului excitatorelor-generator sincron și ce alege criteriul de optimisare pentru proiectarea excitării sincrone cu diode rotative. De asemenea, se prezintă metodica practică de proiectare și schema bloc pentru calculul electromagnetic care cuprinde și ciclul de optimizare al configurației inductoarei al excitării, pe baza criteriului vitezei de excitare maximă.

- Capitolul al V-lea prezintă aplicarea practică a metodicii propuse și rezultatele experimentale obținute. Astfel principalele rezultate obținute în proiectarea unei gama largă de excitatoare sincrone cu diode rotative utilizate la hidrogeneratoarele sincrone sănt cuprinse într-un tabel centralizator. Pentru exemplificare se prezintă apoi dimensionarea unei excitatoare sincrone cu diode rotative, pentru excitarea unui hidrogenerator sincron dat, împreună cu varianta de calcul optimă. De asemenea se ilustrează prin instalația de încercare și schema de legături corespunzătoare, modul de lucrare al acestor mașini pe standul de probă al ușinei producătoare - Intreprinderea de Construcții de Mașini Reșița. Rezultatele experimentale obținute cu excitarea sincronă cu diode rotative proiectată, constând dintr-un număr de măsurători oscilografante și prelucrate, confirmă cu o bună aproximatie, metoda de proiectare elaborată și aplicată la mașinile de acest tip, ale căror proiecte se execută la Centrul de Cercetare Științifică și Inginerie Tehnologică pentru Echipamente Hidroenergetice Reșița și care se aplică la un număr de hidrogeneratoare produse de Intreprinderea Constructoare de Mașini Reșița.

- În încheiere, într-un capitol de concluzii se evidențiază principalele contribuții și utilitatea practică a lucrării, în activitatea de proiectare și fabricație a acelei tip de mașini.

Autorul aduce calde mulțumiri conducătorului

științific teorăgului prof.dr.ing. Novac Ioan, pentru îndrumarea și sprijinul de către căruia s-a bucurat constant pe totă perioada elaborării lucrării.

LISTA DE NOTATII

|            |   |
|------------|---|
| $A$        | -pătura de curent sau solenăsie specifică a indușului excitatorului   |
| $B_{x,t}$  | -inducția magnetică a inductorului excitatorului  |
| $B_j$      | -inducție magnetică în intrefier, valoarea medie pe un pas polar  |
| $B_{z1/3}$ | -inducție magnetică la $1/3$ din înălțimea dintrelui rotoric  |
| $B_{jr}$   | -inducție magnetică în jugul rotor  |
| $B_{js}$   | -inducție magnetică în jugul stator   |
| $B_k$      | -inducție magnetică la corpul polului   |
| $b_{cu}$   | -lățimea conductorului rotor elementar neizolat   |
| $b_{cl}$   | -lățimea crestăturii rotor  |
| $b_p$      | -lățimea ideală a tălpiei polare  |
| $b_k$      | -lățimea corpului polului   |
| $b_{st}$   | -lățimea jugului stator   |
| $b_c$      | -lățimea canalului de ventilație radială  |
| $C_m$      | -valoarea medie a distanței dintre măsurile polilor vecini  |
| $C_p$      | -valoarea medie a distanței dintre două piese polare vecine   |
| $d$        | -axa longitudinală sau axa polilor inductorii   |
| $D_{er}$   | -diametrul exterior al indușului (rotor)  |
| $D_{ir}$   | -diametrul interior al indușului  |
| $D_{es}$   | -diametrul exterior al jugului stator   |
| $D$        | -înălțirea de amortizare longitudinală  |
| $P_S$      | -tensiune magnetică în intrefier  |
| $P_o$      | -tensiune magnetică rezultantă la mers în gol   |
| $P_s$      | -tensiune magnetică de reacție a indușului  |
| $P_{on}$   | -tensiune magnetică rezultantă la mers în sarcină nominală  |
| $f$        | -frecvența tensiunii electremotoare induse  |
| $H$        | -tensiune magnetică specifică pe diferențele porțiunii ale circuitului magnetic: $H_d$ în dinții rotor, $H_{j1}$ în jugul rotor, $H_{j2}$ în jugul stator, $H_k$ în poli. |
| $h_{Cu}$   | -înălțimea conductorului elementar rotor neizolat   |
| $h_{Cl}$   | -înălțimea crestăturii rotor  |
| $h_{jr}$   | -înălțimea jugului rotor  |
| $h_m$      | -înălțimea polului stator sau de excitație  |
| $h_{js}$   | -înălțimea jugului stator   |
| $h_p$      | -înălțimea piesei polare  |
| $h_k$      | -înălțimea penei și a istmului crestăturii  |
| $I_{EKG}$  | -curentul nominal de excitație al generatorului sincron   |

- $I_{RE}$  - curentul redresat al excitatoarei la inelele redresorului rotativ
- $I_{ES1}$  - fundamentala curentului excitatoarei
- $I_{ES}$  - curentul de fază al excitatoarei, valoare eficace
- $I_{ESE} \cdot I_{ESEN} \cdot I_{ESEf}$  - curentul de excitație al excitatoarei la mers în gol, în regim nominal și în regimul de forțare
- $i$  - curentul prin fazele excitatoarei în timpul procesului de comutare
- $I_{PAV}$  - curentul mediu redresat de diodă
- $I_{PV}$  - curentul invers de virf al diodei
- $I_{PSM}$  - curentul direct de virf prin diodă
- $I_d$  - curentul într-o diodă valoare eficace
- $I_o$  - curentul mediu admis pe diodă
- $I_{of}$  - curentul mediu pe diodă în regim de forțare
- $i_d, i_q, i_o$  - componente longitudinală, transversală și homopolară a curentului din indes
- $i_q, i'_q$  - componente longitudinală și transversală ale curentului redresat
- $j_{RS}$  - densitatea de curent, în infășurarea indusului
- $j_{ESE}$  - densitatea de curent, în infășurarea de excitație
- $k_0$  - coeficientul lui Carter
- $k_x$  - factorul de forțare al excitației
- $k_y$  - factorul de infășurare
- $K_d, K_q$  - coeficienți din expresiile reactanței longitudinale și transversale
- $K_x, K_y$  - factori de formă, a curbei cimpului din întrefier și de excitație
- $K_j$  - coefficient de pierderi prin efect "Joule"
- $K_o$  - factorul de ondulare al tensiunii redresate
- $K, K_1, K_2$  - factori de modificare a componentelor tensiunii și curentului la redresare
- $k_z$  - factor de repartizare a curentului în diodele conectate în paralel
- $k_y$  - factorul de scurtare al infășurării indusului
- $f_u$  - factorul de utilizare al indusului excitatoarei (subunitar)
- $\mathcal{L}$  - simbolul transformației Laplace
- $L_{ii}, L_{ij}$  - inductivitățile totale (proprietate și de dispersie) și cele mutuale ale infășurărilor cu indicii "i", "j"
- $L$  - lungimea excitatoarei
- $L_{pi}$  - lungimea unui pechat elementar
- $l_i$  - lungimea ideală

|                       |  |
|-----------------------|--|
| $l_p$                 | -lungimea polului  |
| $l_j$                 | -lungimea jugului stator   |
| $l_w$                 | -lungimea medie a unei spire a indusului   |
| $l_{we}$              | -lungimea medie a spirei unei bobine a infășurării de excitație a excitatoarei                                 |
| $M$                   | -cuplul electromagnetic al excitatoarei sincrone   |
| $m$                   | -numărul de faze al infășurării indusului  |
| $n, n_s$              | -turația nominală și de ambalare   |
| $n_p$                 | -numărul de pachete elementare ale indusului   |
| $n_1 = \frac{60f}{p}$ | -turația de sincronism   |
| $n_s$                 | -numărul canalelor radiale de ventilație   |
| $N_p$                 | -număr de diode în paralel pe braț de punte redresoare   |
| $P$                   | -operator din calculul operațional (Haeviside)   |
| $2p$                  | -numărul de poli ai excitatoarei   |
| $P_{EG}$              | -puterea de excitație a generatorului sincron  |
| $P_{ESE}$             | -puterea de excitație la inelele redresorului rotativ  |
| $P_{Fe}$              | -pierderile în fier ale excitatoarei   |
| $P_{sc}$              | -pierderile în scurtcircuit  |
| $P_{ESE}$             | -pierderile în excitație ale excitatoarei sincrone   |
| $\Delta P$            | -pierderile în redresorul rotativ  |
| $\Sigma P_y$          | -pierderile din excitatoare datorită armonicilor de curent   |
| $P_t$                 | -pierderile totale   |
| $q$                   | -axă transversală interpolată  |
| $q$                   | -numărul de crestături pe pol și fază  |
| $R_i, r_i$            | -rezistențele electrice ale infășurărilor, în valoare absolută și raportată ale infășurărilor cu indicele "i". |
| $R_{EG}$              | -rezistența infășurării de excitație a generatorului sincron   |
| $R_{ESE}$             | -rezistența infășurării de excitație a excitatoarei  |
| $R'_{ESE}$            | -rezistența infășurării de excitație a excitatoarei redusă la rotor  |
| $R_{DE}$              | -rezistența de dezexcitare a excitatoarei  |
| $S_G$                 | -puterea aparentă nominală a generatorului sincron   |
| $S_{KS}$              | -puterea aparentă nominală a excitatoarei sincrone   |
| $S_{ESE}$             | -secțiunea transversală a conductorului infășurării de excitație a excitatoarei                                |
| $S_{ESE}$             | -secțiunea transversală optimă a conductorului infășurării de excitație a excitatoarei                         |
| $S_{ESb}$             | -secțiunea barei indusului   |
| $S_p$                 | -secțiunea polului excitatoarei  |
| $T_{max}$             | -constantă de timp a infășurării de excitație a excitatoarei   |

- $\tau_{BD}$  - constanta de timp a infășurării de excitație a excitatoarei cu rezistențe de dezexcitare conectată
- $t_1$  - perioada creșterii rotorice
- $U_{\text{fz}}$  - tensiunea de fază, viteză eficace și viteză reportată
- $U_{d,q,0}$  - componentele longitudinală, transversală și homopolară a tensiunii
- $U_{\text{ENG}}$  - tensiunea nominală a infășurării de excitație a generatorului sincron
- $U_{\text{Ef}}$  - tensiunea de forțare a infășurării de excitație a generatorului sincron.
- $U_{\text{ESE}}$  - tensiunea electromotoare induată pe fază a excitatoarei
- $U_{\text{ESEr}}$  - tensiunea nominală redresată la înnelele redresorului rotativ
- $U_{\text{ESI}}$  - tensiunea internă a excitatoarei care ține cont de cădereea de tensiune în redresor
- $U_{\text{ESSm}}$  - viteză maximă a tensiunii de fază a excitatoarei
- $U_{\text{exmax}}$  - tensiunea maximă redresată
- $U_{\text{ESL}}$  - fundamentala tensiunii la borne a excitatoarei
- $U_{\text{ESE0}}, U_{\text{ESEB}}, U_{\text{ESEf}}$  - tensiunile de excitație a excitatoarei la mera în gol, în regim nominal și în regim de forțare
- $U_{\text{inv ex}}$  - tensiune inversă maximă pe diodă
- $v_{\text{ex}}$  - viteză de excitație nominală a excitatoarei sincrone cu diode de rotație
- $v_{\text{ex min}}$  - viteză de excitație minimă impusă
- $v_{\text{ex},0}$  - viteză de excitație optimă
- $v_{\text{ex max}}$  - viteză de excitație maximă
- $v_p$  - viteză periferică a indușului
- $V_{\text{ESE}}$  - tensiunea inversă de vîrf de lucru pe diodă
- $V_{\text{ESEH}}$  - tensiunea inversă de vîrf de suprasarcină accidentală
- $V_{\text{PH}}$  - tensiunea directă de vîrf pe diodă
- $N$  - numărul de spire pe fază
- $N_{\text{ESE}}$  - numărul de spire al infășurării de excitație a excitatoarei
- $N_{\text{ESEo}}$  - numărul de spire optim al infășurării de excitație a excitatoarei
- $X_{ad}, X_{eq}$  - reactanță de reacție longitudinală și transversală a excitatoarei sincrone.
- $X_{\text{BG}}$  - reactanță infășurării de excitație a generatorului sincron
- $X_d, X_q, X'_d, X'_q$  - reactanță longitudinală și transversală a excitatoarei sincrone în regim permanent și tranzitoriu
- $X_{rd}$  - reactanță de scăpare diferențiale a excitatoarei
- $X_r$  - reactanță de dispersie a indușului excitatoarei pe fază
- $X_{\text{ESE}}$  - reactanță infășurării de excitație a excitatoarei
- $X_{\text{ESEs}}$  - reactanță de scăpare a infășurării de excitație a excitatoarei

|   |   |
|---|---|
| $x_c$                                   | -reactanță de comutare a excitatoarei   |
| $\gamma, \gamma_1, \gamma_2$            | -peșii infășurării indușului  |
| $Z$                                     | -numărul de creștături al rotorului   |
| $Z_{SG}$                                | -impedanță infășurării de excitație a generatorului sincron, sarcina redresorului rotativ.  |
| $q_i$                                   | -raportul dintre lungimea arcului pielei polare și lungimea pasului polar   |
| $\alpha$                                | -unghiul de comutare sau de suprapunere al redresorului   |
| $\beta = \frac{s}{\lambda}$             | -scurtarea infășurării indușului  |
| $\delta$                                | -lățimea minimă a întrefierului, în axa polului   |
| $r = \frac{\delta_{max}}{\delta_{min}}$ | -raportul dintre valoarea maximă și minimă a întrefierului excitatoarei   |
| $\phi$                                  | -fluxul magnetic al excitatoarei sincrone în induș  |
| $\phi_k$                                | -fluxul magnetic în corpul polilor excitatoarei   |
| $\eta$                                  | -randamentul excitatoarei   |
| $\lambda$                               | -permeanță specifică a polilor excitatoarei   |
| $\lambda_m$                             | -permeanță specifică a corpului polilor   |
| $\lambda_p$                             | -permeanță specifică a tălpilor polare  |
| $\mu_{Fe}$                              | -permeabilitatea magnetică a fierului   |
| $\rho_\theta$                           | -rezistivitatea electrică la temperatură "θ"  |
| $\Sigma P$                              | -suma pierderilor din excitatoare sincronă  |
| $\Gamma_e$                              | -coefficientul de dispersie al infășurării polilor vecini și excitatoarei   |
| $\Gamma_{k,p}$                          | -factorii de dispersie pentru fluxul magnetic din corpul polilor și tălpile polare  |
| $\vartheta$                             | -unghi de defazaj dintre axa de referință și axa fazei de ordinul "λ".  |
| $\gamma_p$                              | -lungimea pasului polar   |
| $\psi_d, \psi_q$                        | -fluxul magnetic înăntărit de infășurarea indușului excitatoarei, longitudinal, transversal, homopolar și de scăpări, valori instantane |
| $\psi_{es}$                             | -fluxul magnetic înăntărit de infășurarea de excitație, a excitatoarei, valoare instantanee   |
| $\psi_o, \psi_Q$                        | -fluxul magnetic longitudinal și transversal înăntărit de infășurarea de smotrizare.  |
| $\gamma, \varphi$                       | -unghiuri de defazaj  |
| $\omega$                                | -pulsătis tensiunii   |
| $U_{I,II,III}^e$                        | -tensiuni electromotoare induse în fazele infășurării indușului în timpul comutării   |
| $U_{I,II,III}^o$                        |   |

## Capitolul I

### STUDIUL CRITIC AL SISTEMEJOR DE EXCITATIE ALE GENERATORILOR SINCRONE PLOSOITE IN PREZENT

#### 1.1. Definires, clasificares si cerintele care se pun sistemejor de excitatie

In exceptiunee generale, sistemul de excitatie cuprinde in structura sa stie surse de energie care permite excitarea masinii sincrone, cit si elementele de control si reglare manuala sau automata.

Sistemele de excitatie se clasifica in functie de natura sursei de excitatie in: sisteme de excitatie cu masini electrice rotative si sisteme de excitatie statice. Sistemul de excitatie cu masini electrice de curent continuu constituie ~~ace~~ numitul sistem classic de excitatie.

Sistemele de excitatie se clasifica si in functie de posibilitatesa generatorului sincron de a fi excitat cu sau fără ajutorul unei surse de tensiune exterioră grupului generator sistem de excitatie in: sisteme de excitatie neautonome si sisteme de excitatie autonome.

Sistemele de excitatie neautonome necesita alimentarea lor de la o sursa de tensiune separată, diferita de generatorul sincron pe care il excita, acesta obtinindu-se de exemplu de la serviciile auxiliare din centralele electrice sau de la un grup de excitație separat cu masini electrice rotative sau sistem de excitatie static.

Sistemele de excitatie autonome asigura excitarea generatorului sincron fără sursă de tensiune exterioră, de exemplu prin alimentarea sistemului de excitatie de la bornele infășurării statorice a generatorului sincron, sau prin excitație in derivatie a excitatoarei.

In general sistemul de excitatie trebuie sa satisfaca urmatoarele cerinte: scheme de excitatie sa fie cat mai simpla si sa prezinte siguranta deplina in functionare; puterea de excitatie este de dorit sa fie cat mai mica, comanda usor si reglarea continua, sa asigure parametrii de emisie in toate regimurile de functionare, sa fie sensibil, rapid si sa occupe un spatiu cat mai redus.

In cazul cind generatorul sincron trebuie sa furnizeze putere unei linii de transport, se impune esigurarea stabilității și a reglajului fin de tensiune, în zone curentilor de excitație mai mici decât curentul de excitație la zero în gol.

În funcționarea normală sistemul de excitație trebuie să realizeze limitele variațiilor de tensiune, repartizarea stabillă a puterii reactive și asigurarea unui domeniu larg de stabilitate atâtodă a generatorului.

Limitarea oscilațiilor de tensiune este una din cele mai vechi cerințe impuse sistemului de excitație. Un sistem de excitație ar fi ideal dacă ar menține tensiunile la bornele generatorului constantă în orice situație. Practic se urmărește obținerea unor variații cît mai mici și lente ale tensiunii. Mărimea variațiilor de tensiune depinde de posibilitatea unei influențări rapide în mod corespunzător a curentului de excitație a generatorului prin sistemul de excitație, concret prin regulator și de constante de timp efectivă a excitației în fiecare punct de lucru. Constanta de timp a infășurării de excitație a generatorului sincron se consideră ca e maximă dată. Deci, limitele variațiilor de tensiune se poate realiza cu atit mai ușor, cu cît sistemul de excitație (regulator, excitație) este mai rapid și mai sensibil, iar stabilizarea mai bună.

Atât timp cît generatorul sincron funcționează în regim sin-tonic, pe rețea nu apar probleme de stabilitate, sub aspectul puterii reactive, iar puterea activă este reglată de regulatorul turbinei. Caracteristica de reglaj, care poate fi statică (tensiunea scăde cu puterea reactive) sau estatică (tensiunea independentă de puterea reactive) prezintă importanță doar sub aspectul preciziei de menținere constantă a tensiunii.

În normală în paralel cu alte generatoare respectiv cînd generatorul este conectat la o rețea rigidă, reglajul tensiunii generatorului trebuie influențat suplimentar, iar pentru repartizarea puterii reactive pe diversele mașini se procedează la alegerea unei caracteristici de reglaj potrivite.

În desenjamente grave, cîmpul principal al mașinii efectuate trebuie sprijinit, adică excitația trebuie mărită și cu puternic în timp scurt.

Atât la noul în serviciu normală cît și la ecouri de serviciu să menținerea constantă a tensiunii la borne și a cîmpului mașinii să fie necesită timpuri scurți de răspuns din partea regulatorului și constante de timp mici ale excitației, în punctul de lucru respectiv.

Sistemul de excitație trebuie să asigure posibilitatea unei supraexcitații rapide a generatorului sincron în caz de surării, scurtecircuite, cind tensiunea la bornele generatorului scade, eccentruș, ceea ce duce la micșorarea stabilității mașinii și în cazuri mai grave poate provoca ieșirea din sincronism. De aceea sistemul de excitație trebuie să asigure posibilitatea unei desencitări rapide, în situație în care, între infășurarea statorică și corpul mașinii sporește un arc electric (străpungere) sau scurtecircuite între spire la infășurarea statorică a generatorului.

In general, pentru a evita funcționarea nestabilă a sistemului este necesar să se poată obține, rapid, la nevoie o creștere sensibilă a curentului de excitație a generatorului sincron ( $I_{EG}$ ); metoda cea mai simplă pentru atingerea acestui scop constă în a asigura o creștere rapidă a tensiunii excitatoarei.

Se definește ca "factor de forțare", raportul dintre limita superioară a tensiunii excitatoarei (plafonul de excitație sau tensiunea de forțare) și tensiunea nominală de excitație, cu excitatoarea conectată la infășurarea de excitație a mașinii sincrone, funcționând în sarcină și se exprimă prin relația:

$$K_f = \frac{U_{EF}}{U_{EN}} \quad (1)$$

Acest raport trebuie să fie (B 64): pentru compensatoare sincrone minim 2 U.E., pentru hidrogenatoraze minim 1,6 U.E., iar pentru toate celelalte mașini sincrone minim 1,4 U.E.

Infășurările de excitație ale mașinilor sincrone trebuie, deci, dimensionate în acest fel, încât să suporte timp limitat (de obicei cca. 10 secunde) curentii de excitație corespunzători tensiunii de forțare a excitatoarei.

Pentru lărgind factorul de forțare o caracteristică importantă a excitatoarelor e constituirea vitezei de creștere a tensiunii de excitație, în cazul forțării excitației numită "viteză de excitație" și definită prin relație (B 64):

$$V_{ex} = \frac{\Delta U_{EN}}{\Delta t} \quad (2)$$

In relația (2) " $\Delta U_{EN}$ " reprezintă creșterea tensiunii de excitație de la valoarea nominală și " $\Delta t$ " este timpul necesar acestei creșteri.

Viteză de excitație nominală, în cazul în care creșterea tensiunii de excitație se produce de la valoarea nominală se măsoară în mod obișnuit cu excitatoarea în gol, deci nu se prevede altfel (figura 1.1).

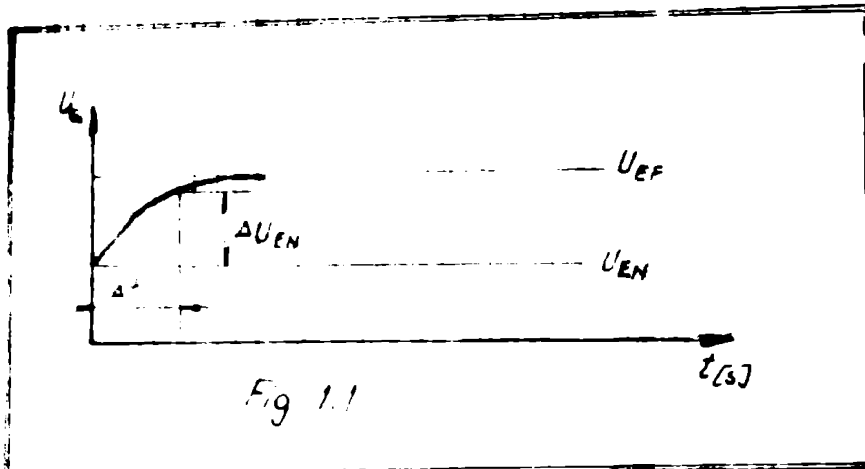


Fig. 1.1

Pentru mașinile sincrone cu reglaj ultrarepid al excitației (sistemele statice), viteza de excitație se referă la durată de timp în care se atinge plafonul tensiunii de excitație. Viteza de excitație, care

trebuie asigurată pentru generatorele sincrone cu puteri mai mari de 100 MVA nu trebuie să fie inferioară valorii de 0,8 u.r./sec (B64).

Din necesitatea atingerii tensiunii plafon de excitație cu o viteză de creștere cît mai mare, excitatoarele se dimensionază astfel încit, în regimul nominal de funcționare, punctul de funcționare să se afle în zona necesară a caracteristicii de magnetizare. Deoarece circuitul magnetic este neșterat și creșterea mică a curentului de excitație a excitatoarei determină o creștere însemnată a tensiunii, într-un timp scurt. De aceea, în proiectarea excitatoarelor se consideră etită de funcționare de durată în regim nominal, cît și o funcționare de scurtă durată corespunzând regimului de forțare a excitației, regim pentru care se dimensionează circuitul magnetic și elementele de transmitere a curentului adică colectorul, perile, inelele de contact și suportii de perii, care vor fi deci supradimensionate.

Forțarea excitației, adică folosirea curentului maxim de excitație pe care îl poate debita excitatoarea mărește foarte mult stabilitatea funcționării în paralel a centralelor prin creșterea t.c.m. indușă a generatorului sincron, care asigură rezistența rapidă a tensiunii după întreruperea sursei circuitelor și mărește siguranța în funcționare și protecția prin relai temporizate. Aceasta este importantă, îndeosebi în sistemele care funcționează cu o rezervă mică de putere.

Astfel, scăderea tensiunii la bornalele generatorului sincron determină prin acțiunea regulatorului automat de tensiune o creștere a curentului de excitație al excitatoarei, care în rândul său provoacă o variație a tensiunii la bornalele excitatoarei după o curbă aproximativ exponentială. În figura 1.2, sunt reprezentate curbele de variație a tensiunii la bornalele excitatoarei în timp, pentru excitație separată (curbe 1), respectiv în derivată a excitatoarei (curbe 2).

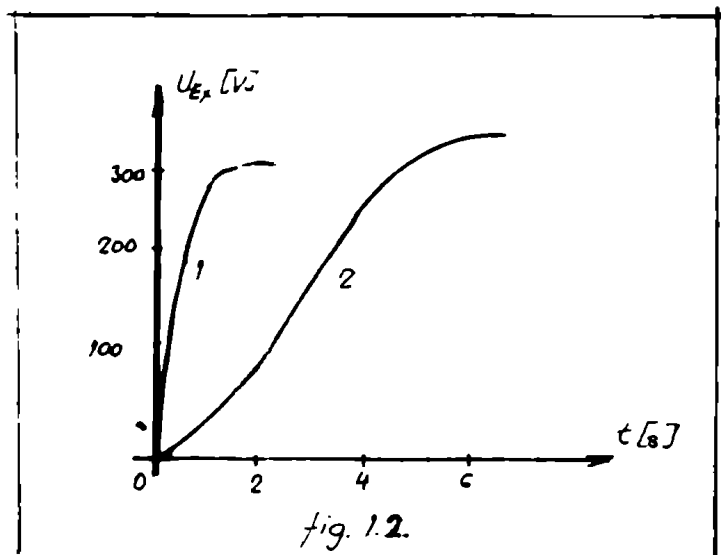


fig. 1.2.

In cazul autoexcitației în derivativă creșterea tensiunii este la început întârziată datorită t.e.m. induse în excitatoare, ca efect al autoexcitației.

Această întârziere a creșterii de tensiune este repede depășită, iar curba de variație primește o altură rapid crescătoare.

Cotul de inolinare împărțită cu care se termină cele două curbe este provocat de saturarea magnetică, care se produce în regimul de forțare și care atrage o micșorare a induanței circuitului de excitare, provocând în același timp o creștere progresivă și rapidă a constantei de timp a excitatoarei. Din acest punct de vedere excitatoarele cu excitare separată ar fi de preferat, dar acesta necesită o schimbă de excitare cu subexcitație sau alimentare doar o altă sură de curent continuu. De obicei schemele de excitare, cu excitare separată sunt prevăzute cu posibilitatea trecerii automate la funcționarea în autoexcitație, astfel că, în ipoteza unui deranjament, care duce la căderea serviciilor interne ale centralei să fie asigurată funcționarea în continuare a mașinii.

Asigurarea desexitației rapide a generatorului sincron este o două cerință importantă a sistemelor de excitare și constă în suprimarea cîmpului creat de excitare printre instalări de dezexcitație rapidă. După deconectarea generatorului, cîmpul iniuctor al acestuia trebuie micșorat repede, astfel încît tensiunea la bornele generatorului să scadă sub valoarea tensiunii de arc la locul defectului. Aceasta se obține în general încă tensiunea la borne scăde de la 100 % la 10 %. Desexitația rapidă se realizează prin scăderea tensiunii și a curentului de excitare al generatorului și începe din momentul săritării rezistenței circuitului de excitare prin introducerea rezistenței de dezexcitație. Se determină apoi, timpul necesar scăderii tensiunii de excitare precum și viteza de micșorare a curentului de excitare de la valoarea nominală la zero, în funcție de procedeul de dezexcitație utilizat.

Optimarea pentru o anumită schemă de dezexcitație se face pe baza criteriului obținerii unui timp cât mai scurt de dezexcita-

tare și în funcție de complexitatea instalației de desenșitare utilizata.

Eficiența funcțională a sistemului de excitație se poate realiza numai pe baza unei corelații rationale a elementelor componente din sistem și a perfecționării în ansamblu a sistemului.

### 1.2. Scheme și particularități ale sistemului de excitație clasic

Necesitatea realizării într-o măsură cît mai bună a proprietăților de bază ale sistemului de excitație au determinat apariția unei mari varietăți de scheme de excitație în cadrul sistemului clasic.

Astfel, în figura 1.3 se prezintă o schemă de excitație autonomă cu excitatoare autoexcitată montată pe un arbore comun. Reglarea tensiunii excitatoarei se realizează cu ajutorul unui reostat de excitație, iar forțarea excitației se face prin scurtecircuitarea sa. Această schemă se utilizează de obicei la generatoarele de mică putere și cu reglaj manual al excitației.

În cazul cînd sarcina generatorului sincron este reprezentată de o linie de transport și pentru generatoare sincrone mari se utilizează o schemă de excitație cu excitatoare principală și excitatoare auxiliare, sau subexcitatoare de curent continuu ca în figura 1.4.

1.Generator sincron  
2.Excitatoare  
3.Reostat de excitație

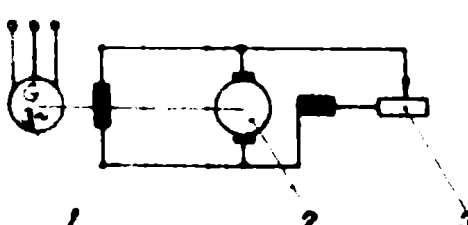


Fig. 1.3. Schemă de excitație autonomă cu autoexcitație

1.Generator sincron  
2.Excitatoare principală  
3.Excitatoare auxiliare  
4.Reostat de excitație

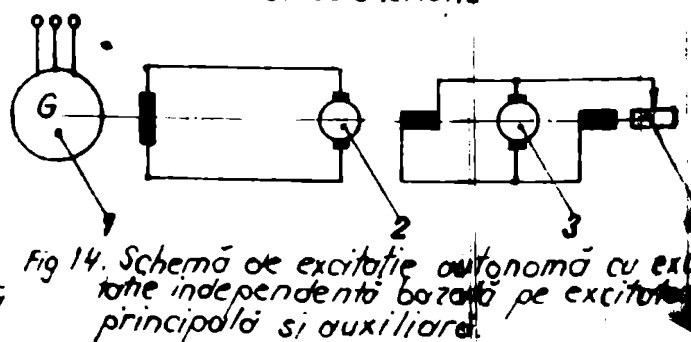
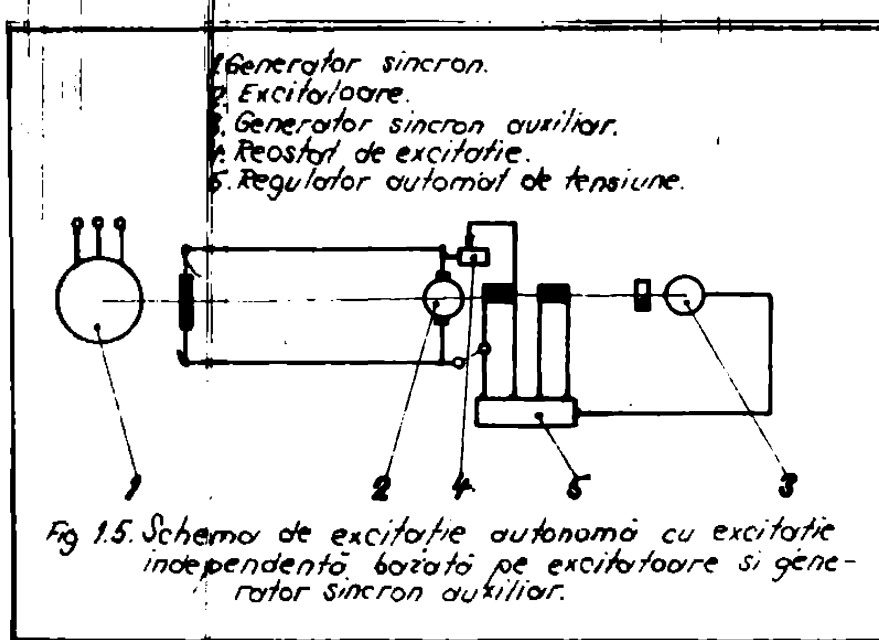


Fig. 1.4. Schemă de excitație autonomă cu excitație independentă bazată pe excitoare principale și auxiliare

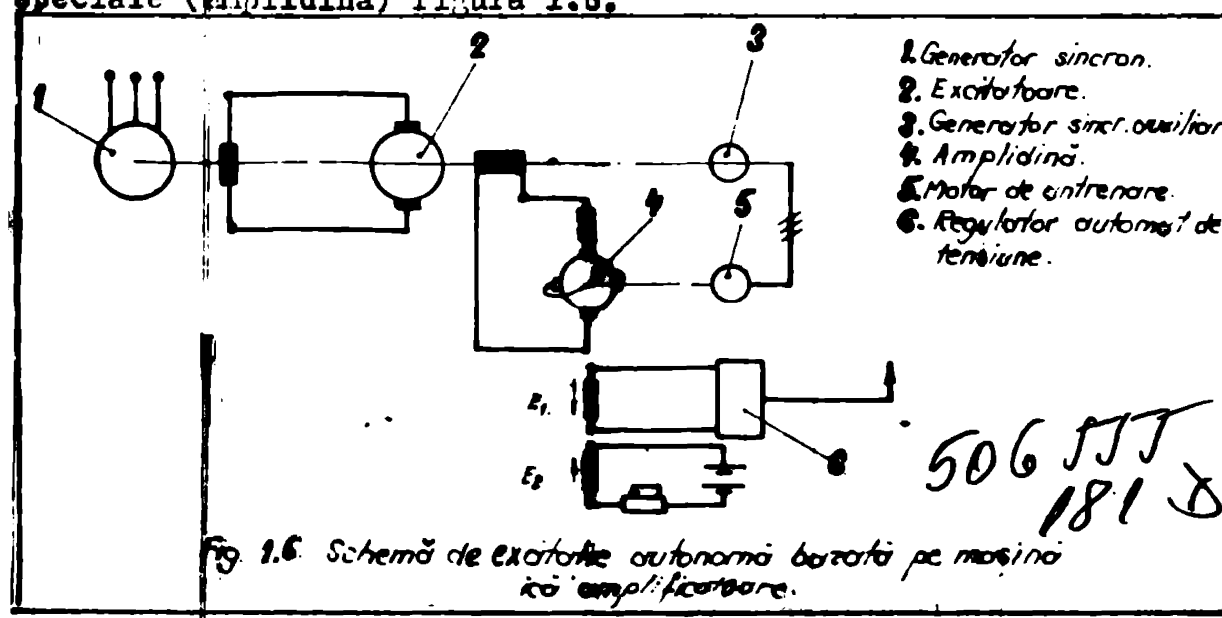
Această schemă de excitare prezintă avantajul de a avea stabilitate mare, deoarece excitatoare auxiliară asigură la bornele înfășurării de excitare a excitatoarei principale o tensiune constantă independentă de sarcină. Schema prezintă însă și unele dezavantaje determinate de complexitatea ei, de posibilitatea mai mare de apariție a defectelor, de constanța de timp mai mare, precum și prin ocuparea unui spațiu mai voluminos.

În figura 1.5. se prezintă o schemă cu excitare independentă, alimentarea înfășurării de excitare a excitatoarei se realizează în acest caz de la un generator sincron auxiliar având rotoul cu magneti permanenti sunt de la serviciile interne ale centralei, în care caz sistemul devine neautonom.



Regulatorul automat de tensiune asigură totdeauna redresarea curentului alternativ produs de generatorul cu magneti permanenti. Realizarea unui reglaj al tensiunii pînă la o valoare apropiată de zero, necesită o schemă de excitare mai complexă bazată pe mașini electrice

speciale (amplidină) figura 1.6.



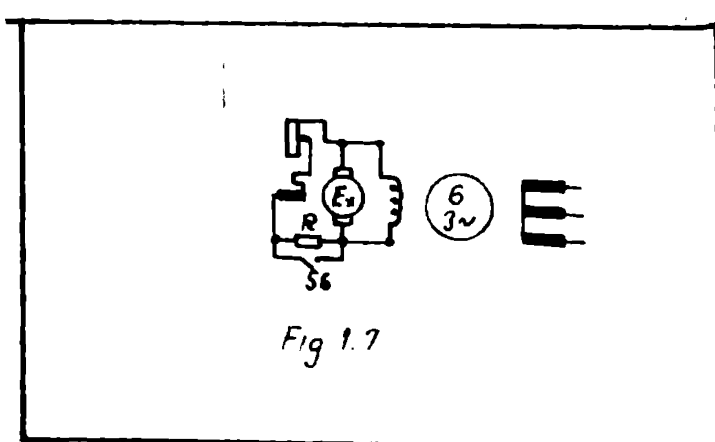
Pe axul generatorului se află o excitatoare cu excitație independentă și un generator auxiliar cu magneti permanenți ce alimentează un grup separat motor sincron-amplidină, care reglează excitarea excitatoarei.

Amplidina are infășurarea de excitație propriezisă "E2", iar infășurarea "E1" alimentată de la bornele generatorului sincron prin intermediul unui redresor. Ca urmare fluxul amplidinei va fi:  $\phi_A = \phi_{E1} - \phi_{E2}$ . Când tensiunea generatorului sincron crește, rezultă că crește curentul în infășurarea "E1" și fluxul  $\phi_{E1}$ , iar fluxul amplidinei  $\phi_A$  scade, deci va scădea tensiunea excitatoarei și curentul de excitație al generatorului sincron și deci tensiunea la borne. Invers se petrec fenomenele cind tensiunea la bornele generatorului sincron scade.

Schemele de excitație din figurile 1.4, 1.5, 1.6, se folosesc în cazul generatorelor de mare putere, săt complexe având pe lîngă excitarea principală încă cîteva mașini, care pot constitui tot atîtea surse de avarie în exploatare și scumpesc instalația.

Pentru realizarea dezexcitării generatorului sincron în cadrul sistemului de excitație clasic cu excitator de curent continuu se utilizază diferite procedee dintre care amintim:

- Dezexcitarea prin slăbirea cîmpului excitatoarei, se realizează prin conectarea unei rezistențe "R" în circuitul de excitație al excitatoarei, figura 1.7, prin deschiderea întrerupătorului S 6, curentul de excitație al excitatoarei scade brusc.



Timpul de dezexcitare, la acest mod de dezexcitare este ridicat, deoarece inductivitățile infășurării de excitație și de amortizare ale generatorului sincron, cuplate cu fluxul inductor, acționează împotriva stingerii curentului de excitație. Constanta de timp a procesului de stingeare a cîmpului este egal cu suma constantelor de timp ale infășurării de amortizare și de excitație. Tensiunea la bornele generatorului în această situație nu ajunge la zero stabilindu-se la tensiunea de aproximativ 10-15% din tensiunea nominală. Pentru a micșora constanta de timp a procesului de stingeare se poate intercală în circuitul de excitație al genera-

toarei de la poarta intercală în circuitul de excitație al genera-

lui sincron o rezistență de dezexcitare, figura 1.8, iar prin-tr-un întrerupător, circuitul de excitare se poate întrerupe față de excitatoare.

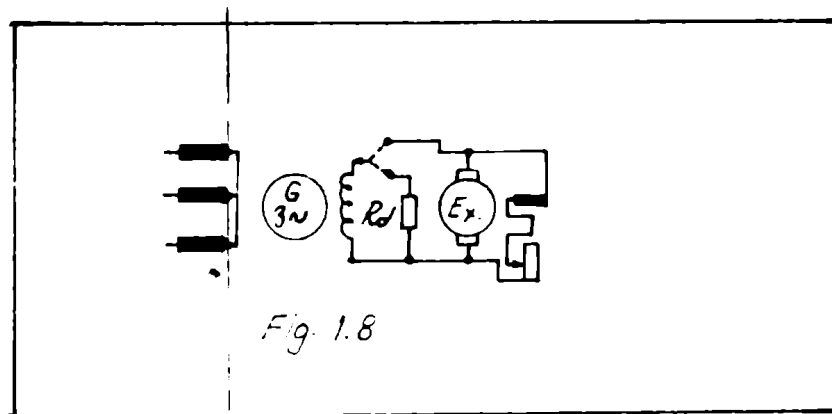


Fig. 1.8

- Un procedeu modern constă dintr-un automat de dezexcitare (A.D.R) cu care se realizează dissiparea energiei cîmpului inductor prin arc. Schema circuitului de alimentare a înfășurării de excitare a generatorului sincron este prezentată în figura 1.9.

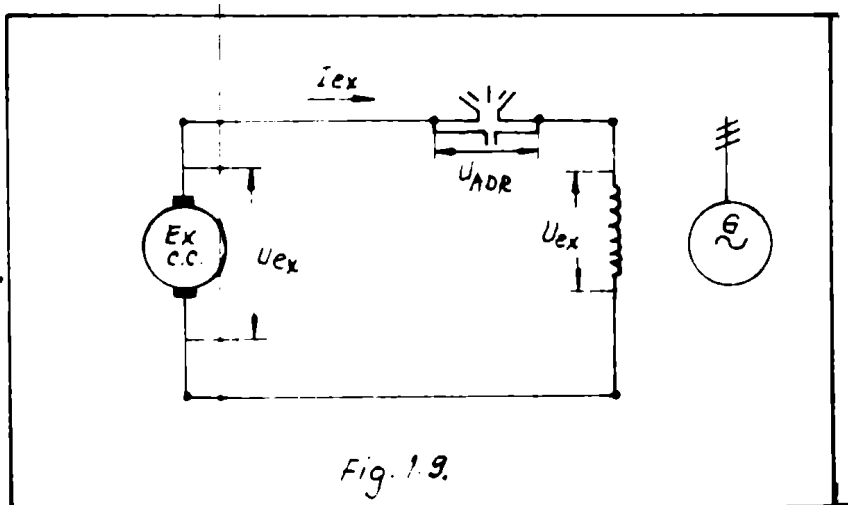


Fig. 1.9.

- Dezexcitarea rapidă la excitare cu excitatoare de curent continuu se poate realiza și prin inversarea sensului tensiunii excitatoarei, ceea ce duce la micșorarea timpului de dezexcitare și totodată la micșorarea

pericolului de apariție a unor supratensiuni care pot provoca străpunerea izolației inelelor colectoare și a înfășurării rotorice a generatorului (figura 1.10).

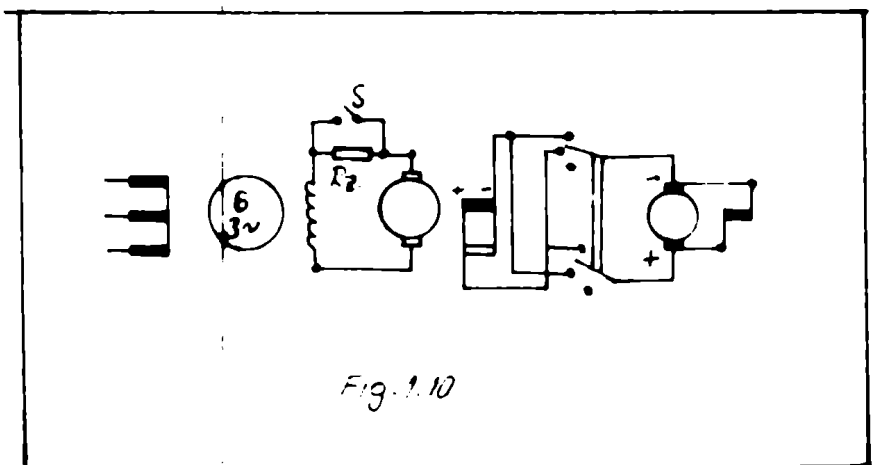


Fig. 1.10

Acest procedeu se aplică la generatoarele mari, unde se poate schimba nemijlocit poritatea excitatoarei principale cu ajutorul excitatoarei auxiliare. În acest scop se deschide întrerupătorul de

dezexcitare "g" și se introduce în circuitul rotoric al generatorului (G) rezistență "R<sub>g</sub>". În același timp se schimbă polaritatea excitatoarei. În circuitul rotoric al mașinii sincrone se suprapun două procese, pe de o parte se stinge curentul de excitare inițial al generatorului sincron și pe de altă parte se produce un curent de sens contrar rezultat din tensiunea de polaritate schimbată. În momentul în care suma fluxurilor din înfășurarea de excitare a roții polare a generatorului atinge valoarea zero se deconectează excitarea în sens invers. Cu cît este mai mare tensiunea inversă, cu atât generatorul sincron se dezexcită mai repede.

Sistemul de excitare clasic prezintă în special odată cu creșterea puterii de excitare o serie de neajunsuri constructive funcționale dintre care amintim :

- a) elementele de transmitere a curentului din rotor pe partea fixă (colector, inele colectoare, perii, etc.) obțin dimensiuni tot mai mari;
- b) pierderile de frecare și de trecere cresc odată cu creșterea numărului de perii și a lungimii colectorului;
- c) problemele de comutare devin tot mai dificil de rezolvat;
- d) randamentul excitatoarei și generatorului scad;
- e) solicitările din regimurile tranzitorii (forțare, viteză de excitare) impun dupădimensionarea excitatoarei care devine greoaie și scumpă.

Din cauza acestor neajunsuri, la multe din construcțiile recente curentul continuu necesar excitării generatoarelor sincrone se obține prin redresarea curentului unei surse de tensiune alternativă într-un sistem de excitare static.

### 1.3. Scheme și particularități ale sistemului de excitare static

In general într-un sistem de excitare static (figura 1.11) distingem :

1. Blocul de producere al curentului continuu redresat (Bloc 1).

Aceasta se compune dintr-un transformator de excitare (T), care este un transformator de putere ce servește la alimentarea convertorului static (R) constituit dintr-un ansamblu de tiristoare comandate prin regulatorul automat de tensiune (Bloc 2) montată în punte și care realizează redresarea curentului alternativ obținut de la transformatorul de excitare. Pentru mărirea sigu-

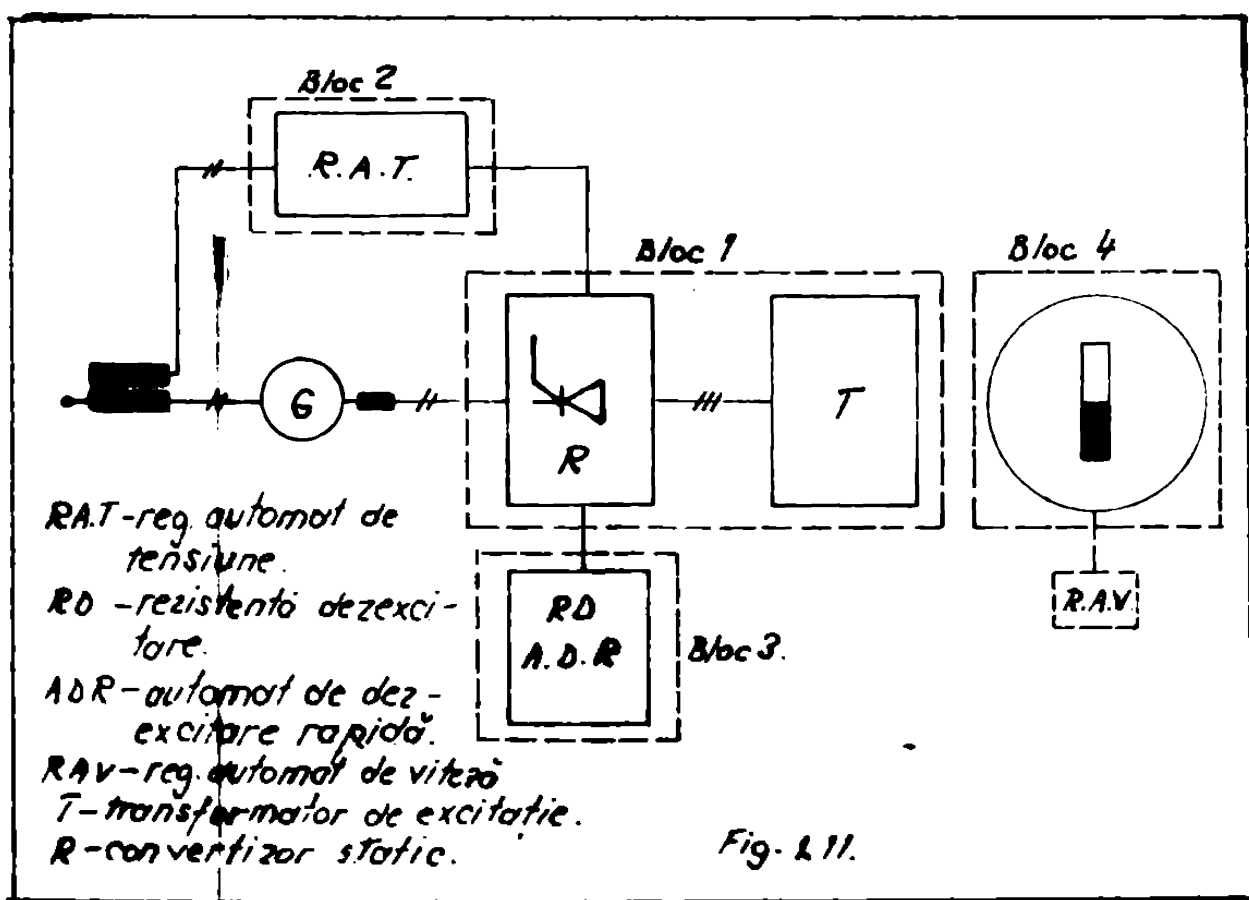
rantei în funcționare, convertorul se realizează de obicei din două grupuri de tiristoare, unul asigurând regimul nominal numit și "grup de lucru" și celălalt pentru regimul de forțare numit și "grup de forțare".

2. Blocul de reglaj și control al tensiunii ("B 2"). Aceasta se compune dintr-un regulator automat al tensiunii ("RAT"), construit dintr-un ansamblu de elemente de automatizare destinate menținerii constante a tensiunii la bornele generatorului sincron, un reostat de reglaj manual al tensiunii, acționat prin servomotor și comandat prin RAT și un generator de impulsuri, care este un ansamblu ce realizează controlul unghiului de aprindere al tiristoarelor punții redresoare din circuitul de excitare al generatorului sincron.

3. Blocul de dezexcitare ("B.3") cuprinde rezistență de menținere a cîmpului și automatul dedezexcitare rapidă (ADR), care la primirea comenzi de dezexcitare realizează deconectarea rapidă a sistemului de excitare și disiparea energiei înmagazinate.

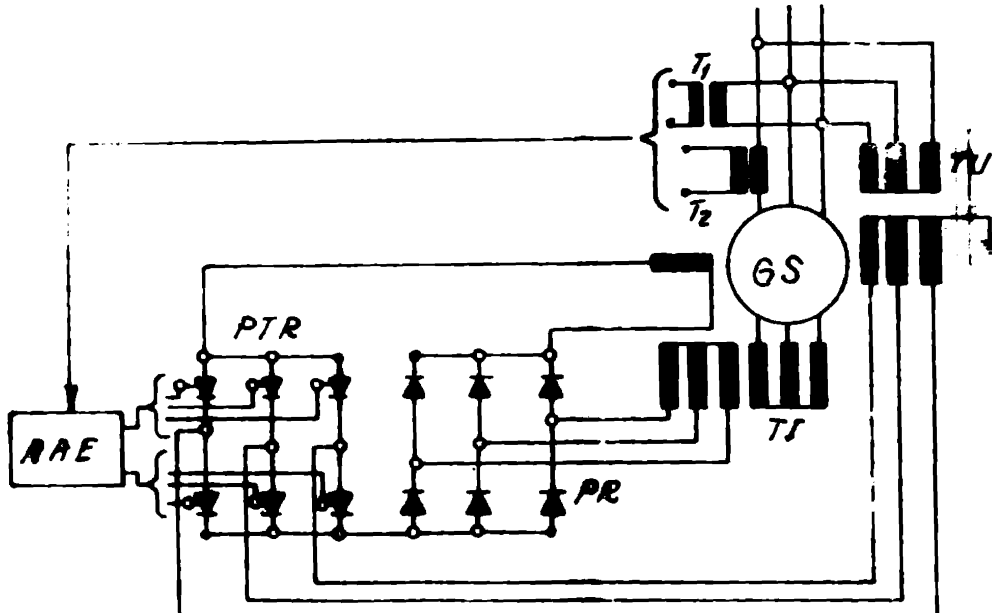
4. Blocul de control al unghiului intern (B.4) este alcătuit dintr-un generator cu magneti permanenti, care realizează atît controlul unghiului intern cît și alimentarea regulatorului automat de viteză (RAV).

Dintre multiplele posibilități de realizare a unor scheme de excitare statică în figura 1.12 e prezentă o variantă de



$T_1, T_2$  - transformator de curent  
 $T_U$  - transformator de tensiune  
 $T_I$  - transformator de compoundare

RAE - regulator automat de excitatie.  
 PR - ponte cu diode  
 PTR - ponte cu tiristoare.



Schemă de principiu a echipamentului de excitare statică cu însumare de tensiuni pe c.c., realizat în varianta cu tiristoare.  
 Fig. 1.12.

excitație cu tiristoare și însumare pe partea de curent continuu.

In această schemă însumarea celor două componente ale curentului de excitație (dependente de tensiunea, respectiv de curentul statorului generatorului sincron GS) se efectuează pe partea de curent continuu, dar nu înainte de redresare. Astfel, transformatorul "TU" alimentează puntea cu tiristoare "PTR", iar transformatorul de compoundare, "TI" puntea redresoare "PR" alcătuită din diode cu siliciu. În cadrul acestei scheme puntea "PTR", nu furnizează decât o parte din puterea de excitare, care este completată pe cota produsă de redresorul cu siliciu "PR".

Această schemă prezintă avantajul că poate asigura static desexcitarea rapidă fără utilizarea automatului de dezexcitare "ADE" prin trecerea convertorului cu tiristoare în regim de inverter.

Puntea cu tiristoare se compune din tiristoare conectate în paralel pe fiecare braț, protejate la supracurenți cu siguranțe rapide și la supratensiuni prin varupuri "R-C".

Comanda tiristoarelor este asigurată prin intermediul blocurilor de comandă pe grili, prin generatoare de impuls care asigură o utilizare completă a punții cu tiristoare și posibilitatea

tei unei trecerii continue și rapide din regim de redresor în invertor sau invers și prin urmare se obțin viteze de excitare mari, precum și demagnetizarea rapidă a generatorului sincron. Această sistem de excitare există și în variante de ineunare de tensiuni pe partea de curent alternativ.

Sistemele statice folosesc circuite pur statice de excitare constând din transformatoare, bobine de reacție și redresore cu diode și tiristori. Calculul de dimensionare al schemelor de redresare are un caracter particular, în sensul că solicitările maxime ale schemei corespunzând regimului de forțare trebuie comparate cu solicitările care decurg din regimurile perturbate ale generatorului, iar dimensionarea se face pe baza solicitărilor maximale. Blocurile de redresare se proiectează cu o rezervă de minim 25% (se prevede posibilitatea înlocuirii elementelor defecte, fără scoaterea din funcțiune a generatorului) și se protejează împotriva supratensiunilor, ce pot să apară, prin circuite "RC" montate în paralel cu elementele respective și împotriva suprăcurenților prin sigurante fuzibile ultrarapide.

Sistemele statice de excitare au o serie de avantaje în comparație cu excitatoarele de curent continuu: greutate redusă, construcție simplă, modulară, lipsă pieselor mari în mișcare, dimensiuni reduse, nu necesită fundații speciale, nu necesită practic nici un fel de întreținere, au un răndament tehnic și economic ridicat, oferă posibilitatea folosirii unor sisteme de comandă mai sensibile, mai rapide și mai exacte, acest lucru prezentând o deosebită importanță.

Sistemul de excitare static elimină de asemenea o serie de dezavantaje ale sistemului clasic cu excitare de curent continuu și anume: dispărând problemele de comutare, se evită pierderile de frecare și de trecere pe colector; persistă însă și la acest sistem legătura prin contacte sluncătoare (anel de contact-perii) între redresorul static și înfășurarea de excitare a mașinii sincrone, insotită de existența unor pierderi de loc neglijabile, precum și spațiul suplimentar și emanațările corespunzătoare ocupate în centrală de către instalațiile statice îndepărtate în centrele subterane.

Cdată cu creșterea regimului nominal atit la turbogeneratoare și hidrogeneratoare, cît și la motoarele sincrone, se impune ca o necesitate studierea și punerea la punct a unui sistem de excitare visibil care să nu aibă nevoie de contacte sluncătoare (colector, anel de contact, perii) și care să asigure o înaltă siguranță în funcționare să reducă la minim timpul de oprire pentru între-

simile și agregatelor și să fie economic.

#### 1.4. Sistemul de excitație cu excitațoare sincronă cu diode rotative

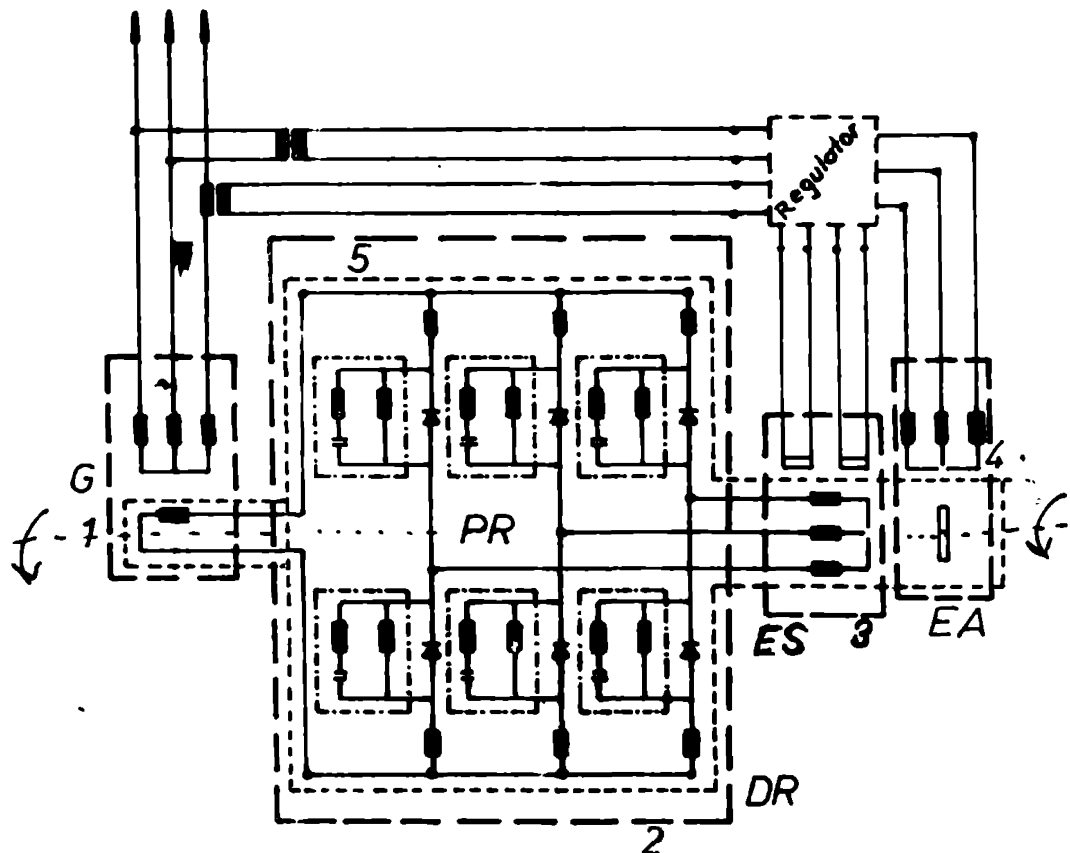
Iată prin sistemele statice de redresare se elimină colectorul și perile colectare, reiese ca pas logic următor eliminarea și a inelelor de contact și a perilor sfidante, prin aceea că, redresorul să se realizeze sub forma de redresor rotativ de un tip special, capabil de a furniza generatorului sincron cu curentul de excitație necesar.

Această idee conduce la construcția unui sistem de excitație fără nici un fel de perii, deci la un nou sistem de excitație diferit de cel pur static, format dintr-un generator sincron de excitație cuplat direct cu un redresor rotativ, montat pe același arbore și constituind un tot unitar.

Imperativul eliminării complete a contactelor elumecătoare devine necesar, îndeosebi în cazul generatorelor de puteri mari, la care puterea de excitație crește mult, iar în condițiile în care tensiunea aplicată înășurării de excitație a generatorului sincron este mult sub 1000 V, curentii de excitație sunt foarte mari (de ordinul mililor de amperi, de ex.: la o putere de 1100 MVA, curentul de excitație ajunge la 500 A).

Pentru a transmite curentii de acest ordin de mărime, prin sistemul inel-perii, se necesită inele de contact cu sisteme de răcire deosebit de intensive, iar dimensiunile necesare ale contactului perii de cărbune-inel duce la creșteri dimensionale deosebite, cu toate neajunsurile legate de pierderile de contact, sensibilitatea, de tipul periei și altele.

Ideeas realizării unor sisteme de excitație fără nici un fel de contacte elumecătoare este mai veche, dar numai introducerea pe același largă a semiconducatorilor de forță (în special diode cu siliciu, cu insensibilitatea lor mecanică și posibilitățile mari de încărcare) a deschis drumul utilizării pe același largă a sistemelor de excitație cu excitațoare sincronă și redresor rotativ. Excitațoare sincronă cu redresor rotativ se poste aplică la toate mașinile sinicele mergind pînă la cele mai mari unități realizate în prezent.



SCHEMA DE PRINCIPIU A EXCITATIEI CU EXCITATOARE SINCRONA CU DIODE ROTATIVE

1 Generator - G

2 Punte redresoare cu diode rotative - DR

3 Excitatoare sincronă (principală) - ES

4 Excitatoare auxiliară cu poli permanenți - EA

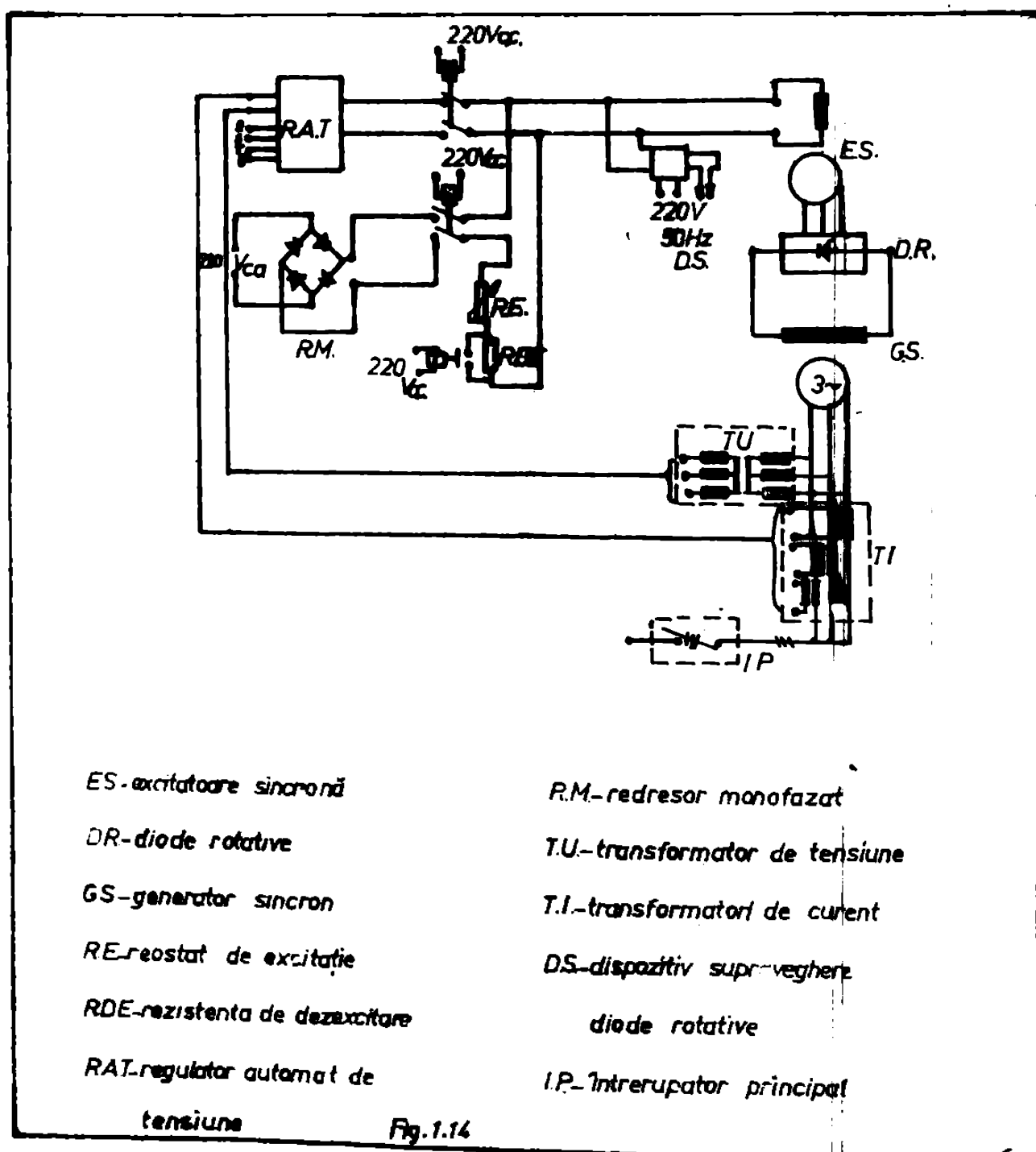
5 Parte rotitoare - PR

Fig. 1.13

In figura 1.13 se prezintă o schemă de principiu a sistemului de excitare cu excitatoare sincrone cu redresor rotativ. O excitatoare triazată cu poli permanenți (4) alimentează, peste un regulator automat de tensiune, inițialarea de excitare din stator a unei excitatoare sincrone (3). Această construcție inversată a excitatoarei sincrone (3), cu statorul inductor cu poli curenti

iar rotorul îndus, oferă posibilitatea alimentării directe, peste un sistem de redresare montat solidar pe rotor, a înfășurării de excitație a generatorului principal.(1).

Tensiunile induse în rotorul excitatoarei (3) sunt redresate printr-o punte (2) care cuprindă pe lîngă diodele cu siliciu, un grup de protecție la supratensiuni, format din condensatoare și rezistențe și la supracurenți format din siguranțe fuzibile rapide, precum și două inele de redresare, unul de polaritate pozitivă și celălalt negativă (reprezentate în figura 1.13) care alimentează înășurarea rotorică (de excitație a generatorului sincron principal) (1).



ES-excitator sincronă

RM-redresor monofazat

DR-diode rotative

T.U.-transformator de tensiune

GS-generator sincron

T.I.-transformator de curent

RE-reostat de excitație

DS-dispozitiv supraveghere

RDE-rezistență de dezexcitație

diode rotative

RAT-regulator automat de

tensiune

I.P.-intrerupător principal

Fig.1.16

Curentul redresat de la inelele instalației de redresare este condus cu ajutorul unor bare sau conductorii de legătură la infășurarea de excitație a rotorului generatorului (1).

Infășurarea de excitație a generatorului (1), punctul redresare (2), indisul excitatoarei principale (3) și inductorul excitatoarei auxiliare (4) constituie împreună partea rotitoare (5) a instalației din figura 1.13.

Schemă de excitație din figura 1.13 realizează autonomie generatorului fără de surse de tensiune străine, cu ajutorul excitatoarei auxiliare cu magneti permanenți în rotor.

In figura 1.14 se prezintă o schemă de excitație la care infășurarea de excitație a generatorului sincron (GS) este alimentată de la o excitatoare sincronă cu diode rotative (ES) (DR). Regimul de bază de funcționare al generatorului sincron este cu reglaj automat al tensiunii, printr-un regulator automat de tensiune (RAT), care alimentează infășurarea de excitație a excitatoarei sincrone (ES).

In afară de acestui regim de bază, mai este prevăzut un regim de rezervă, cu reglarea curentului de excitație al excitatoarei printr-un rezistor de excitație (RE) și alimentarea excitației excitatoarei de la serviciile interne ale centralei electrice printr-un redresor (R.M.). In această schemă mai este prevăzută o rezistență de dezexcitare a excitatoarei (RDE) și un dispozitiv de supraveghere și semnalizare a defectării diodelor din redresorul rotativ (DS).

In cadrul acestei scheme, pentru ambele regimuri de funcționare, de bază și de rezervă este necesară tensiunee de la serviciile auxiliare ale centralei pentru asigurarea excitației generatorului.

Sistemul de excitație cu excitatorare sincronă cu redresor rotativ constituie o alternativă care se impune prin avantaje pe care le prezintă. Astfel, crește răndamentul agregatului, prin eliminarea pierderilor prin contacte sluncătoare, se obține o reducere a dimensiunilor mașinii, în special a lungimii, contribuind la reducerea cheltuielilor de investiții pentru execuția centralei. Problemele de execuție ale excitatoarei sincrone se simplifică în comparație cu o excitatoare de curent continuu, de asemenea se reduce consumul de cupru, (înlocuirea colectorului) crescând indicele de utilizare al acestuia. Lucrările de întreținere a excitatoarei în exploatare se eliberează. Greutatea excitatoarei sincrone cu redresor rotativ este mai mică decât cea a unei excitatoare de curent continuu de aceeași putere, contribuind astfel

la reducerea consumului de metal, respectiv scăderea prețului de cost.

Parametrii funcționali ai excitatoarei sincrone cu diode rotitoare (factor de forță, viteza de excitație) sunt comparabili cu cei ai excitatoarei de curent continuu.

Un aspect dezavantajos este cel referitor la dezexcitarea rapidă în caz de avarie, care nu se poate face prin intercalarea unei rezistențe în circuitul rotoric al generatorului principal sau schimbarea polarității tensiunii de excitație, (sistemul inele-perii să fie eliminat) ci doar prin slăbirea cimpului excitatoriei sincrone, prin intercalarea unei rezistențe de dezexcitare în circuitul infășurării de excitație sau prin enoularea cimpului excitatoriei cu ajutorul regulatorului automat de tensiune, prin trecerea acestuia în regim de inverter; dar timpul de dezexcitație în acest caz este mai lung, decarece nu se micșorează constantă de timp și procentul de stingeră a cimpului generatorului sincron principal.

Dacă se necesită, în cazuri speciale, tempi scurți de dezexcitare acest sistem de excitație se prevăde cu un mutator rotativ cu tiristoare, care se trece în regim de inverter pentru stingeră cimpului rotoric.

Măsurarea tensiunii și curentului de excitație al generatorului principal constituie de asemenea un aspect dezavantajos, necesitând utilizarea în acest scop a sistemelor cu scheme microelectronică și logice, sau dispozitive de măsură speciale, de tip perii-inele și sună rotativ, care se îndepărtează după măsurători.

Tendința pe plan mondial în domeniul sistemelor de excitație este: de renunțare la excitatoare de curent continuu și înlocuirea ei cu excitatoare sincronă cu redresor rotativ în domeniul turărilor ridicate și mijloacii, unde excitatoare sincronă are greutatea considerabil mai mică și răndamentul mai mare decât excitatoare de curent continuu, iar pentru mașinile cu turări joase, utilizarea sistemelor de excitație statică, decarece mașiniile electrice sint mai mari și grele.

Sistemul de excitație cu excitatoare sincronă cu redresor rotativ merită să fie lăsat în considerare practic și perfectat din punct de vedere constructiv și funcțional pentru a fi folosit atât la excitarea hidrogeneratoarelor și a turbogeneratoarelor cât și la excitarea motorrelor sincrone.

## Capitolul III

### CONSTRUCȚIA SI FUNCȚIONAREA ÎN SERVICIU A EXCITATOAREI SINCRONE CU REDRESOR ROTATIV CU DIODE

#### 2.1. Construcția excitatoarei sincrone cu redresor rotativ cu diode

Excitatoarea sincronă cu redresor rotativ cu diode este un generator sincron do construcție inversă, adică cu indușul în rotor, în statorul inductor cu poli opereanți, pe care este plasată înfășurarea de excitare (figura 2.1).

Statorul excitatoarei se compune din carcasa, poli, bobinajul de excitare, bornele și cutia de borne.

Carcasa este executată dintr-un pachet inelar, format din segmenti de tablă decapată grosă de 1 mm. Soluția de realizare a jugului statoric la mulat asigură o enunță omogenitate a circuitului magnetic. Pachetul de tole este cuprins între două plăci de presare. Strângerea plăcilor de presare se face cu ajutorul unor bulene care se sudează în locașurile din aceste plăci, după terminarea preșării finale. Totul este montat într-un schelet metalic și închis în exterior cu o mantă de închidere și un scut de scoprire.

De carcasa se fixează polii, prin organe de asamblare mecanice decentabile. Polii sunt confectionați din tole silicioase sau din tablă de oțel. Forma polilor este corespunzătoare unor circuite magnetice cu pierderi minime, iar forma tălpilor polare ține cont de dispersia ce are loc în întregier. Pachetele de tole se asamblează mecanic prin nituire, după ce în prealabil su fest preseate.

Bobinajul de excitare se monteză pe polii stator. Înfășurarea de excitare este de tip concentrat, realizat din spire de cupru de secție dreptunghiulară. În casul unui număr mare de spire, infășurarea se divide în găuri, între care se monteză reme de ventilație metalice. Între doi poli cu bobinele montate trebuie să rămână spațiu liber pentru trecerea seroului de ventilație.

De carcasa excitatoarei se monteză placa de borne pe care se găsesc bornele de alimentare a înfășurării de excitare, precum și bornele pentru măsurarea tensiunii redresate și a curen-

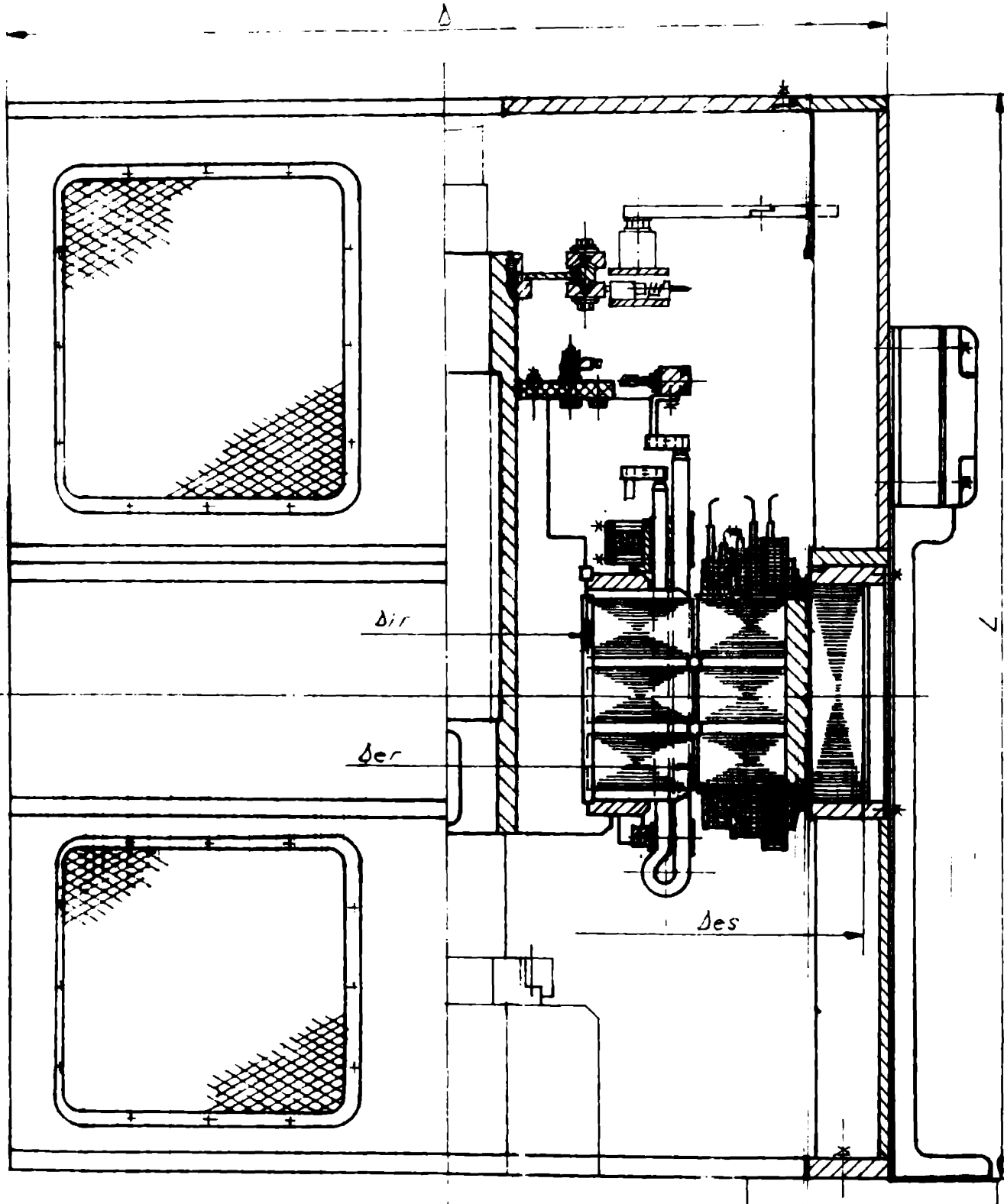


Fig 2' Excitatore sincrono cu diode rotative

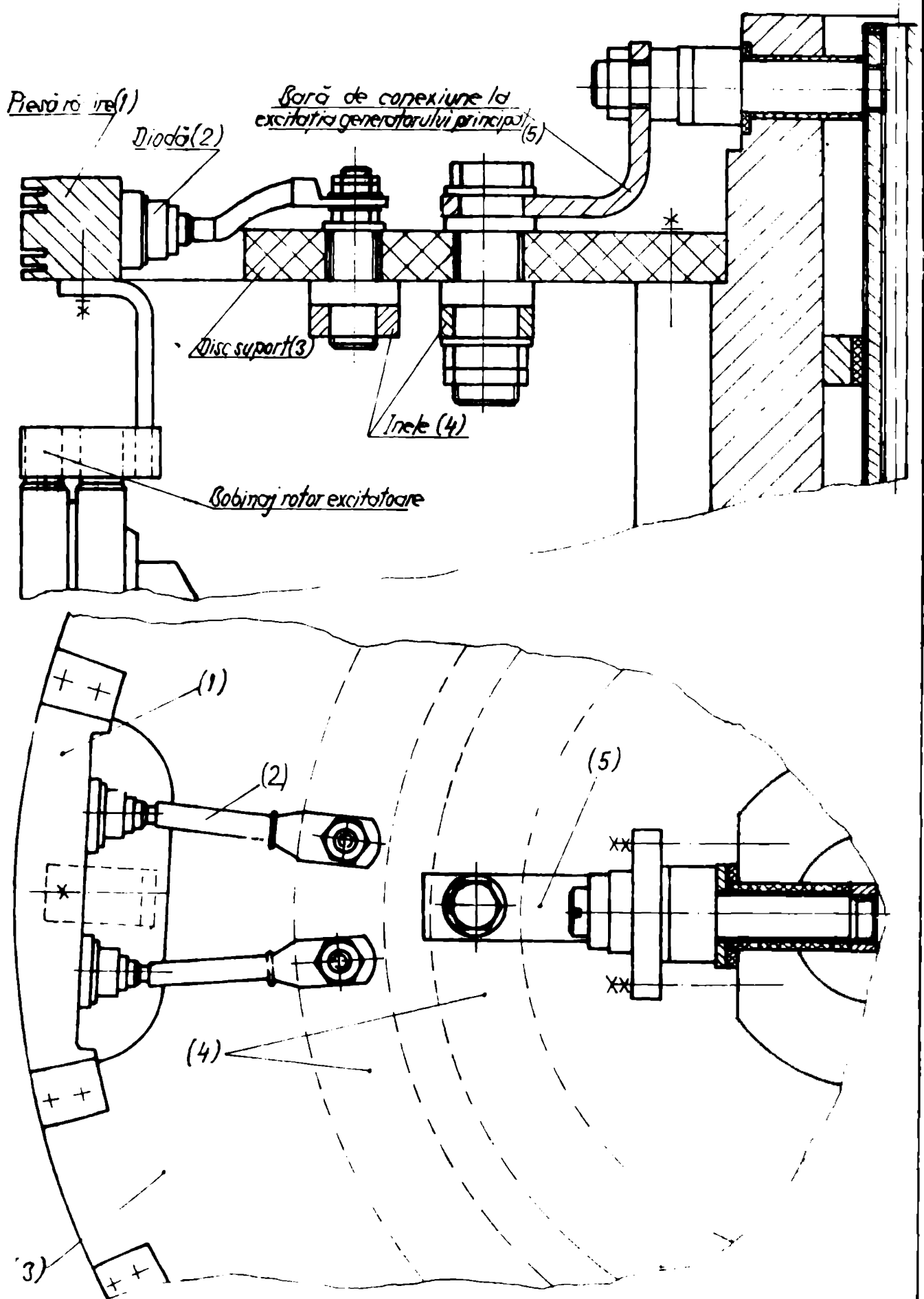


Fig 2.2. Instalație de rectificare cu diode rotative

tului rotoric. Cutia de borne turnată este montată pe carcasa și acoperă placă de borne.

In seara ce privește rotorul mașinii se distinge un miez feromagnetic, prevăzut cu o înfășurare, care se conectează la un redresor rotativ de tip special, montat pe arborele sau butucul rotorului excitatoarei.

Rotorul este constituit din tole electrotehnice de grosime 0,5 mm, izolate între ele și formând pachete de tole de 45-55 mm grosime, între care se găsesc canale de ventilație radiale. Pe periferia exterioară a miezelui sunt practicate creșturile rotorice în care este placată înfășurarea rotorică. Miezul feromagnetic rotoric este montat, prin intermediul unor coaste, pe butucul care se montează pe arborele excitatoarei sau al generatorului sincron principal. Înfășurarea rotorică este un bobinaj de tip ondulat, în două straturi având bobinele închise pe partea opusă legăturilor spre redresorul rotativ, și asigură împotriva forței centrifuge în creștături cu pene, iar la capete cu un bandaj corespunzător.

Instalația de redresare cu diode rotative este astfel concepută, încit să permită constructiv cuplarea cu indisul excitatoarei sincrone și cu înfășurarea de excitație a generatorului sincron principal, cum se vede în figura 2.2. Aceasta este constituită în principal, fie dintr-un disc din sticlostratitex (3), fixat pe coastele butucului rotor al excitatoarei cu organe de asamblare demontabile (șuruburi, șabi), fie dintr-o bucătă metalică fixată pe arborele excitatoarei; acest ansamblu are concentrată pe el toată partea electronică ce constituie circuitul de forță rotativ al sistemului de excitație.

Pe discul portant sunt montate radial îr depărtări frezate speciale, ensemble de răcire rotative (1) echipate cu semiconducătoare de curonji tori (diode cu siliciu (2)), coresponditor topologicii circuitului de forță rotativ. Tot pe disc se află montate circuitele de protecție și măsură pe partea de curent continuu.

Conexiunile de forță, între bobinajul rotoric al excitatoriei și redresorul rotativ sunt executate din mănuși de cupru având forme adecvate poziției de montaj. Conexiunile ce traversează discul portant sunt executate din buloane sau șuruburi de aluminiu și prevăzute cu piulițe asigurate la degurubare.

Fixarea ansamblelor de răcire rotative din aluminiu pe discul portant se realizează cu ajutorul a două șuruburi cu cap hexagonal și piulițe asigurate împotriva desfacerii.

Inelele de conexiune (4), servesc la concentrarea legăturilor de polaritate plus, respectiv minus, venind de la elemente-

le semiconductoare de putere din circuitul redresor rotativ și la conectarea infășurării de excitare a generatorului sincron principal (5).

Pentru măsurarea curentului rotoric al generatorului sincron principal, pe partea rotativă se poate monta un șunt între două inele de conexiune de același polaritate. Legăturile de la acest șunt se pot scoate la un bloc de inele de măsură montate pe butucul excitatoarei.

Schemele de redresare utilizate la realizarea redresorului rotativ cu diode sunt în principal: cu comutare paralel dublu (în puncte trifazată cu dublă redresare) și în serie, iar corespondator infășurarea rotorică a excitatoarei sincrone este conectată în stă trifazată sau în poligon.

## 2.2. Studiu critic al tipurilor de infășurări de indus ale excitatoarei sincrone

Infășurarea indusului excitatoarei sincrone cu diode rotative, fiind amplasată în rotor trebuie să fie o infășurare perfect simetrică și cu cît mai puține conexiuni între grupurile de bobine ce constituie o fază.

În funcție de modul de redresare utilizat excitatoarea sincronă se prevede cu unul din următoarele tipuri de infășurări ale indusului:

- A - infășurare hexafazată, cu fazele grupate și conectate astfel, încât să se obțină o infășurare trifazată în stă;
- B - infășurare în poligon cu un număr impar de faze destul de redus (7 sau 9);
- C - infășurare în poligon cu un număr mare de faze.

A. Deoarece infășurările trifazate obisnuite de curent alternativ prin structura lor, necesită o serie de conexiuni frontale repartizate neuniform pe periferia rotorului, ceea ce crează dificultăți constructive funcționale și pe de altă parte pentru a reduce rezistența de dispersie diferențială, se preferă o infășurare obținută dintr-o infășurare de curent continuu secționată în cinci puncte de incisie echidistante, rezultând 6 faze independente care se conecteză în același fel, încât să rezulte o infășurare trifazată în conexiune stă.

Considerăm o infășurare de curent continuu secționată în cinci puncte, reprezentată în figura 2.3 căreia îi corespunde

diagrama tensiunilor din figura 2.4.

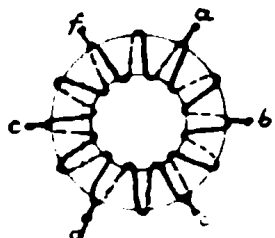


fig.23

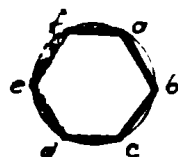


fig.24

Se obține astfel o infășurare hexafazată, conectată în 6 puncte avind factorul de infăsurare:

$$k_w = \frac{\text{coardă}}{\text{arc}} = \frac{2 \sin \frac{\pi}{6}}{\frac{\pi}{3}} = \frac{3}{\pi} = 0,955 \quad (3)$$

O infășurare trifazată la fel de bine utilizată ca cea de mai sus rezultă dacă în punctele de incizie: a, b, c, d, e, f, infășurarea se secționează, se desface și ramurile ei se leagă în serie obținindu-se trei faze care se conectează în stecă aşa cum se indică în figura 2.5.

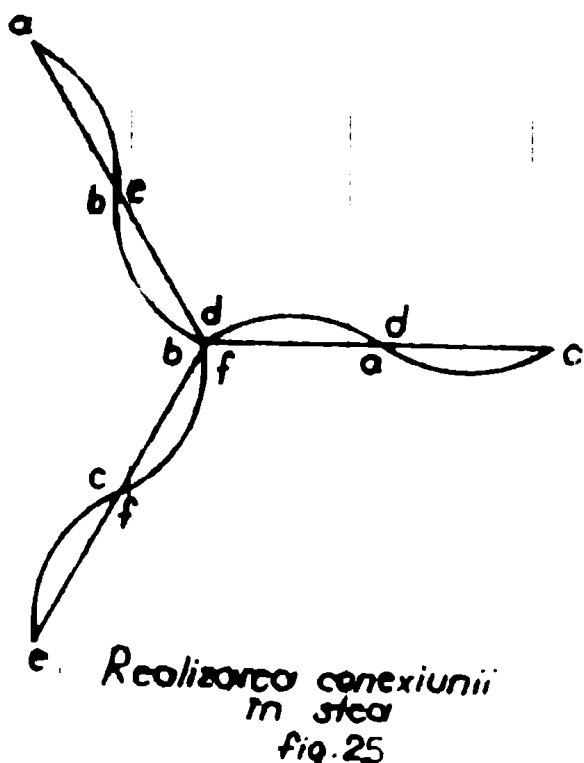


fig.25

In această figură se reprezintă diagrama tensiunilor în cazul conexiunii în stecă și al legăririi în serie a ramurilor de infășurare aparținind aceleiași faze.

Analizăm cazul infășurării secționate în 6 puncte și conectată trifazat, la care legăturile între ramuriile infășurării sunt de aceeași parte a indusului. Pentru ca cele 3 faze ale infășurării să aibă același număr de spire, la infășurarea în două straturi

este necesară indeplinirea condiției:

$$\frac{Z}{3} = \text{întreg} \quad (4)$$

unde  $Z$  - este numărul de crestături rotorice Această condiție poate fi îndeplinită pentru toate perechile de poli care nu sunt divizibile cu 3. Punctele de incizie și secționare "a .. f" ale înfășurării se obțin în mod diferit în funcție de faptul, dacă numărul de crestături îndeplinește una din condițiile:

$$\frac{Z}{3} = \text{par} \quad (5)$$

$$\text{ sau } \frac{Z}{3} = \text{impar} \quad (6)$$

În cazul în care este îndeplinită condiția (5), pentru a ajunge la punctele de secționare ale înfășurării, trebuie numărate cîte  $Z/6$ , laturi de bobine succesive, iar pasul ce trebuie realizat pentru a ajunge de la un punct de secționare la următorul este:

$$y_4 = \frac{Z}{6} y \quad (7)$$

În cazul în care este îndeplinită condiția (6) se vor respecta alternativ pasii:

$$y_{s1} = \left( \frac{Z}{6} + \frac{1}{2} \right) y \quad \text{și} \quad y_{s2} = \left( \frac{Z}{6} - \frac{1}{2} \right) y \quad (8)$$

pentru a ajunge la punctele de secționare ale înfășurării. Pagii calculați cu relațiile (7) și (8) sunt în general mai mari decît numărul de crestături  $Z$ . De aceea pentru a determina punctele de secționare nu se vor număra " $y_s$ " spire pe periferia indușului, ci doar surplusul de " $y_s$ " spire peste un multiplu întreg de crestături " $\bar{y}$ ".

Pentru ca tensiunea electromotoare indușă să fie săt mai mare, pasul înfășurării se alege în general cît mai apropiat de pasul diametral, astfel încît factorul de înfășurare să fie în general mai mare decît 0,9. Pasul înfășurării este:

$$y = 2\bar{y} = \frac{Z + a}{p} \quad (9)$$

$$y = y_1 + y_2 ; \quad y_1 = \frac{s}{6} \frac{Z}{2}$$

Pagii de înfășurare se adoptă astfel, încît prin intermediul factorului de scurtare  $k_y = \sin \frac{\pi}{2} \beta$  (unde  $\beta = \frac{s}{6}$  - reprezintă scurtarea înfășurării), să se obțină un factor de înfășurare "k\_y" al indușului cît mai mare.

Pentru exemplificarea celor expuse mai sus vom considera înfășurarea indușului unei excitatoare sincrone, având urmă-

toarele date principale: numărul de crestături  $Z=69$ ; numărul de poli  $p=4$  și conexiunea stă trifazată. Elementele înfășurării de tip ondulat în două raturi determinate cu relațiile de mai sus sint:

$$f = 2Z = \frac{69 - 1}{4} = 17; \quad y = y_1 + y_2 = 8+9; \beta = 0,94$$

Dintr-un reprezentare schema de bobinaj (figura 2.6) se verifică condițiile (4, 5, 6):

$$\frac{Z}{3} = \frac{69}{3} = 23 - \text{întreg impar}$$

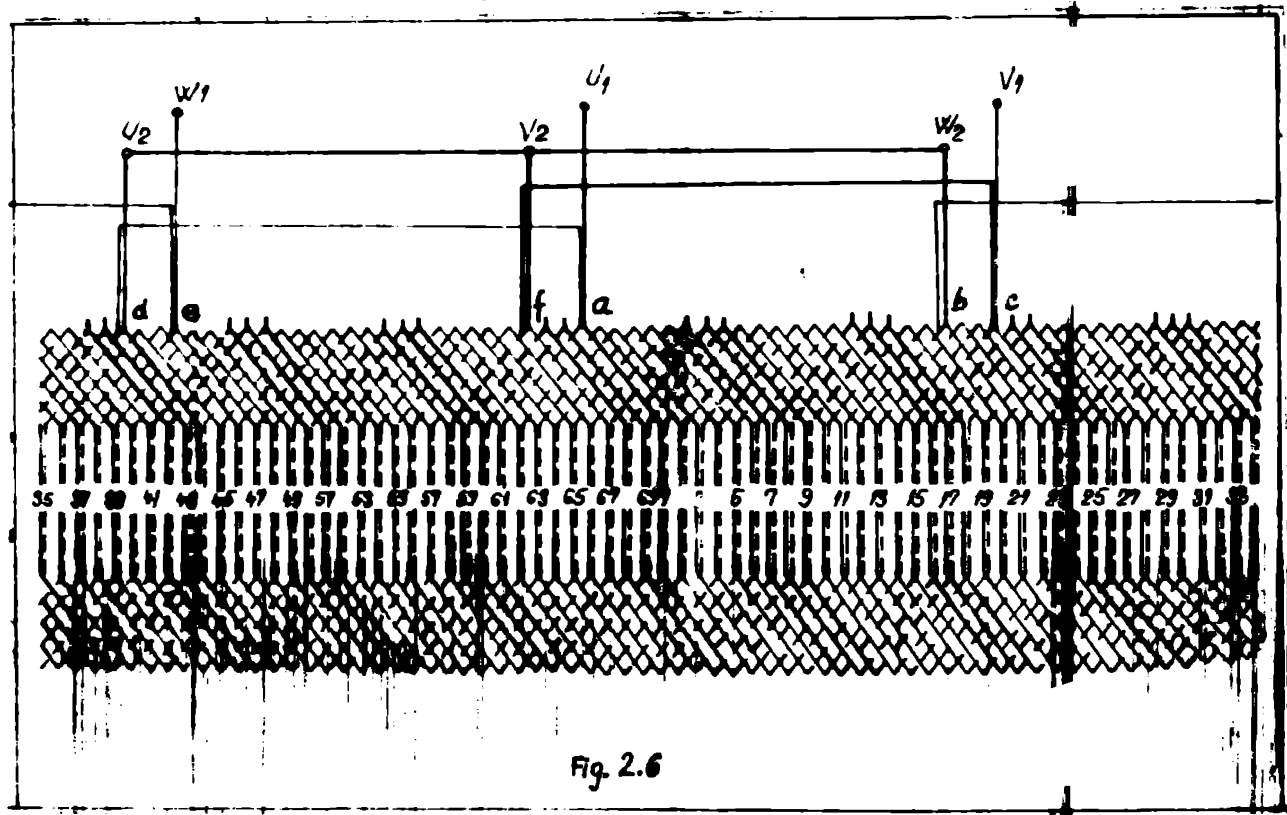


Fig. 2.6

Functele de secționare ale înfășurării noteate "a...f" în figura 2.5 se obțin în acest caz cu relațiile (8):

$$y_{s1} = \left( \frac{69}{6} + \frac{1}{2} \right) 17 = 204$$

$$y_{s2} = \left( \frac{69}{6} - \frac{1}{2} \right) 17 = 187$$

Decarece valorile pentru  $y_{s1}$  și  $y_{s2}$  sunt mai mari decât numărul de crestături  $Z$ , se va număra începând cu crestătura numărul 1, surplusul de  $y_{s1} = 66$  ( $\frac{204}{69} = 3$  rest 66) spire apoi,  $y_{s2} = 49$  spire ( $\frac{187}{69} = 3$  rest 49) și în continuare în mod alternativ pînă la obținerea celor 6 puncte de secționare notate în schema din figura 2.6. cu literelor a, b... f.

Capetele de bobină secționate și noteate cu literele a...f

se vor conecta apoi aşa cum se arată în figura 2.5, obținindu-se cele 3 faze ale căror început și sfîrșit s-a notat în schema din figura 2.6 cu literele  $U_1$ ,  $U_2$ ,  $V_1$ ,  $V_2$ ,  $W_1$ ,  $W_2$ . Sfîrșitul celor 3 faze  $U_2$ ,  $V_2$ ,  $W_2$  se conectează împreună, constituind nulul stelei, iar începuturile fazelor  $U_1$ ,  $V_1$ ,  $W_1$  se conectează la instalația de redresare cu diode rotative.

Pentru realizarea constructivă a conexiunilor ce apar în schema de înfășurare din figura 2.6, respectiv a legăturilor dintre cele două ramuri aparținând aceleiași faze, precum și conectarea sepetelor de sfîrșit ale fazelor, în vederea obținerii conexiunii în stea, s-a optat pentru o soluție, conținând linii de conexiune izolate, suprapuse așezate sub capătul frontal al înfășurării, din partea redresorului cu diode rotative. În figura 2.7 se arată cum se realizează practic conexiunile schemei de înfășurare din figura 2.6, prin intermediul a 4 linii de conexiune, dintre care 3 servesc pentru realizarea legăturilor dintre cele două ramuri inseriate (figura 2.5), aferente fiecărei faze și unul pentru realizarea conexiunii în stea a înfășurării.

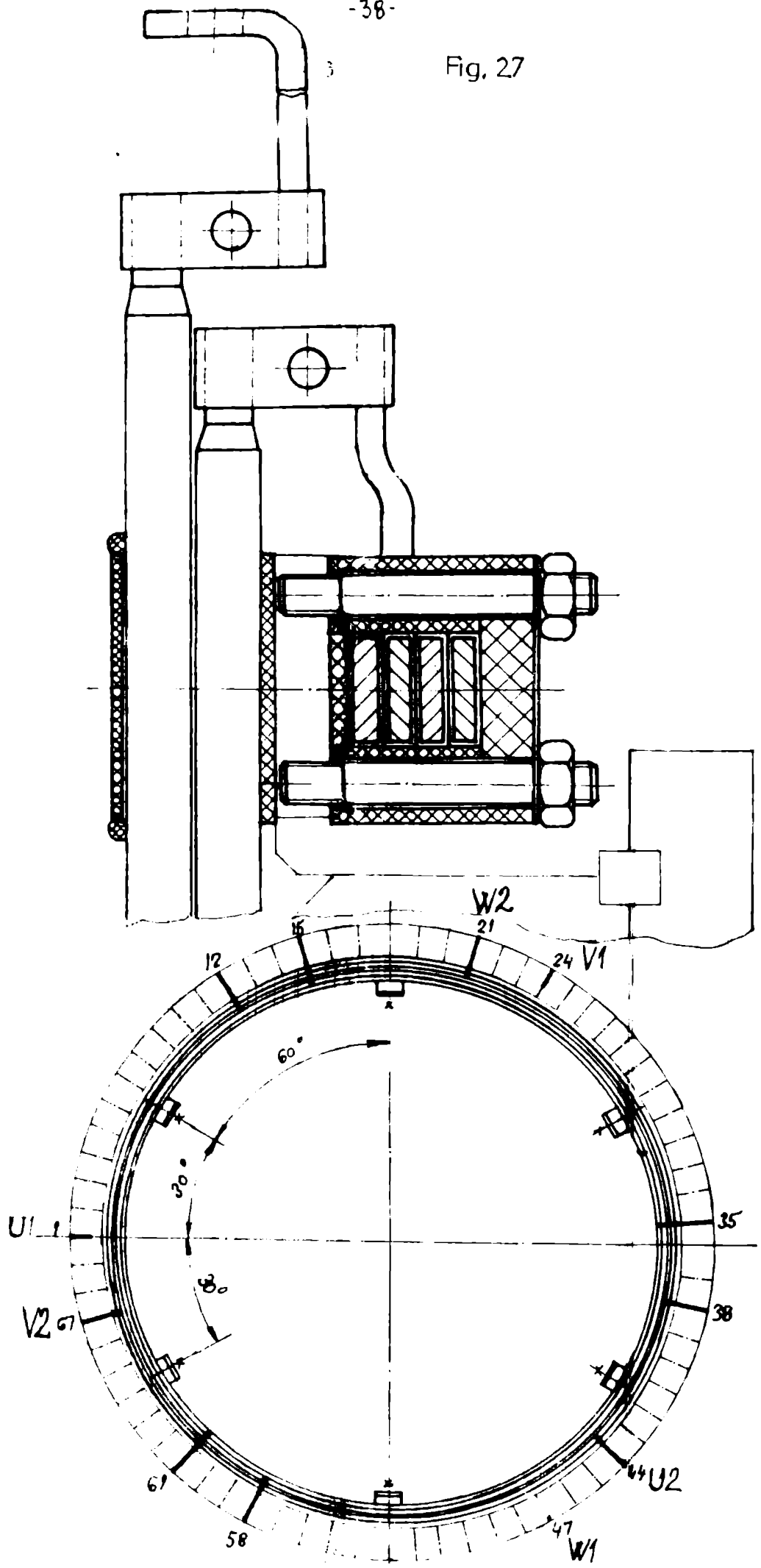
Prin plasarea conexiunilor sub partea frontală a bobinajului se micșorează lungimea excitatoarei, iar cele trei începuturi ale înfășurării rotorice se conectează direct prin intermediul unor bare de legătură, cu piezele de răcire care conțin diodele redresorului rotativ. (figura 2.1, 2.2)

Acst tip de înfășurare de indus ce se conectează la un redresor rotativ în punct trifazată cu dublă redresare, este utilizat deobicei cu o singură cale de curent în paralel ( $a=1$ ), pentru a avea astfel cît mai puține puncte de secționare. Se folosesc la excitații de mai mică putere, dimensionate în astfel, încit volumul de curent pe crestătură să nu depășească 1200 A, respectiv solenăția specifică 500 A/cm (B 21).

B. Infășurările în poligon cu un număr impar de faze deoarece redus (7 sau 9) sunt infășurări de tip ondulat cu pas diametral, laturile de bobine de întoarcere ale fiecărei faze constituie tot atîtea faze suplimentare simetrice, astfel încît reactanță de dispersie diferențială va corespunde de fapt unui număr dublu de faze, deci va fi considerabil redusă.

Pentru a reduce la minim conexiunile exterioare pe partea frontală a bobinajului rotoric se aleg infășurări ondulate în două straturi al căror număr de crestături, faze, perechi de poli și căi de curent în paralel satisfac relațiile:

Fig. 27



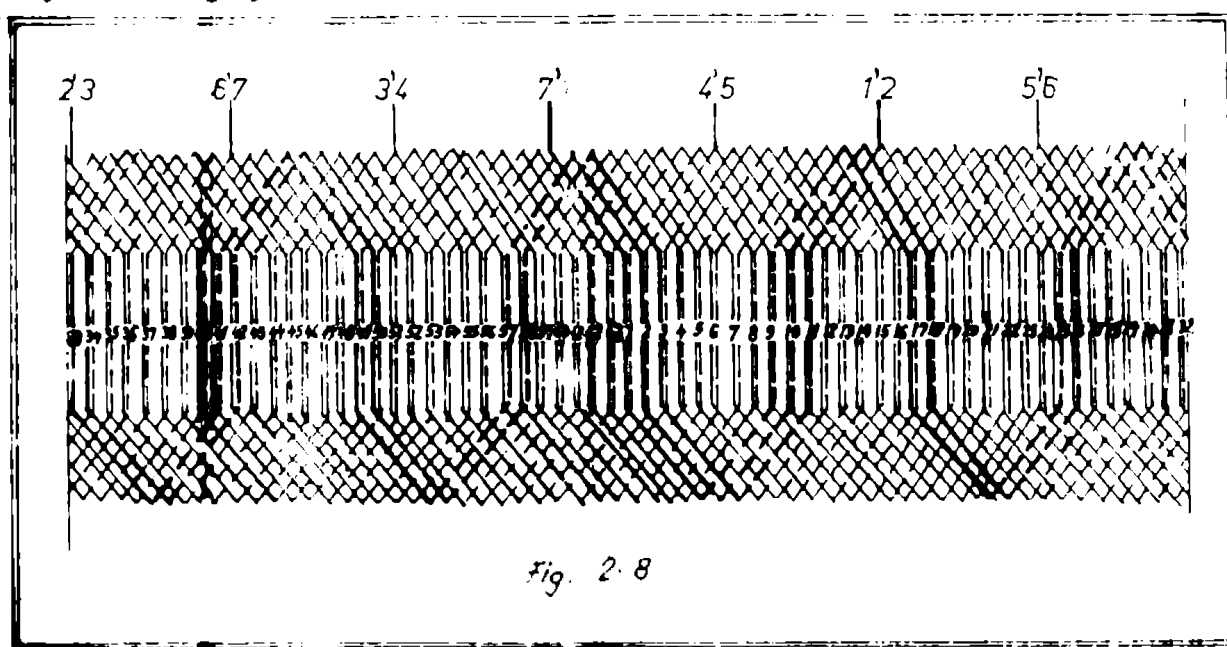
$$\frac{Z}{m} = \text{întreg}$$

$$\frac{Z+a}{p} = \text{întreg} \quad (10)$$

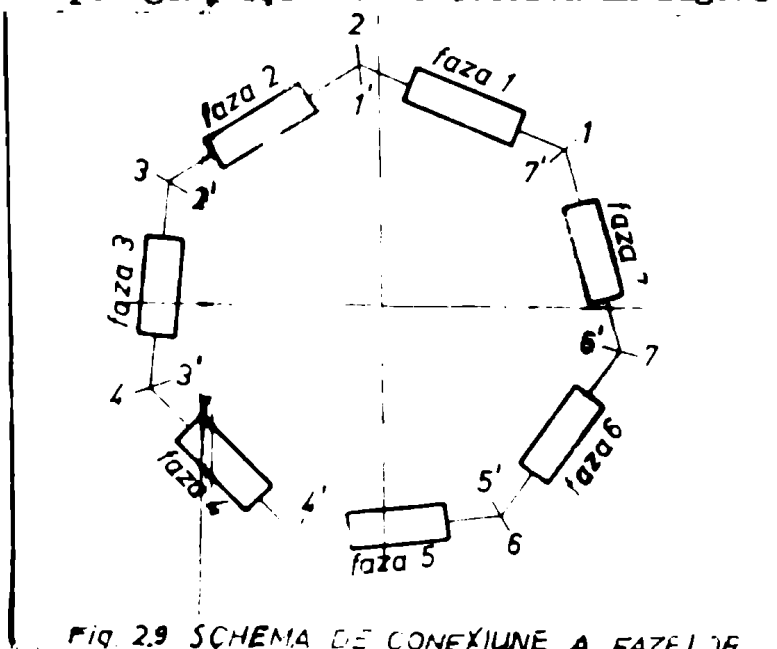
Ca exemplu se prezintă în figura 2.8 o schemă de înfășurare cu  $Z=63$  crestături,  $m=7$  faze și  $p=4$  perechi de poli. Elementele înfășurării determinate cu relațiile (10) sunt:

$$\frac{Z}{m} = \frac{63}{7} = 9 = \text{spire pe fază}; \quad y = \frac{Z+a}{p} = \frac{63+1}{4} = 16 \quad (8+8)$$

Se observă că acest bobinaj nu necesită nici o conexiune în afara celor normale pentru a trece de la o spiră la următoarea, iar conexiunile la diodele rotative se fac în mod regulat în puncte distanțate în spațiu la  $2 \frac{\pi}{7}/7$ .



Bornele notate cu  $1, 1', 2, 2', \dots, 7, 7'$  din figura 2.8 reprezintă începutul și sfîrșitul fiecărei faze care se conectează în poligon, așa cum se observă în figura 2.9.



Aceste puncte reprezentând începutul și sfîrșitul fazelor legate în poligon se conectează cu piesele de răcire ale redresorului rotativ cu ajutorul unor bare de legătură.

Fig. 2.9 SCHEMA DE CONEXIUNE A FAZELOR

Aceeași înfășurare reprezentată în figura 2.8 poate fi împărțită în 14 faze. În acest caz numărul de creștări este divizibil cu  $m/2$  faze, obținindu-se o înfășurare la care cele două extremități ale fiecărei faze sunt situate de o parte și cealaltă a rotorului, în astfel încât legăturile la diodele rotative se fac pe fiecare parte a indușului. Această dispozitivă poate fi uneori avantajoasă cind diodele necesită două discuri suport pentru fixare.

C. Înfășurările în poligon cu un număr mare de faze se folosesc la excitatoarele de putere mare și sunt înfășurări ondulate în două straturi, cu mai multe căi de curent în paralel, care se închid o singură dată, pentru a limita astfel curentul de circulație al armonicilor în poligon.

Înfășurările în poligon cu un număr mare de faze prezintă avantajul că, în cazul defectării unei diode, sarcina acesteia este preluată fără perturbări de diodele fazelor vecine.

Pentru exemplificare se prezintă în figura 2.10 schema de bobinaj cu  $Z=170$  creștări,  $s=2$  căi de curent în paralel,  $P=8$  perchi de poli,  $n=17$  faze și corespondator redresorului rotativ la care se conecteză această înfășurare, în figurile 2.23, 2.24 și 2.25.

$$\text{Elementele înfășurării sunt: } \frac{Z}{m_s} = \frac{170}{17 \cdot 2} = 5$$

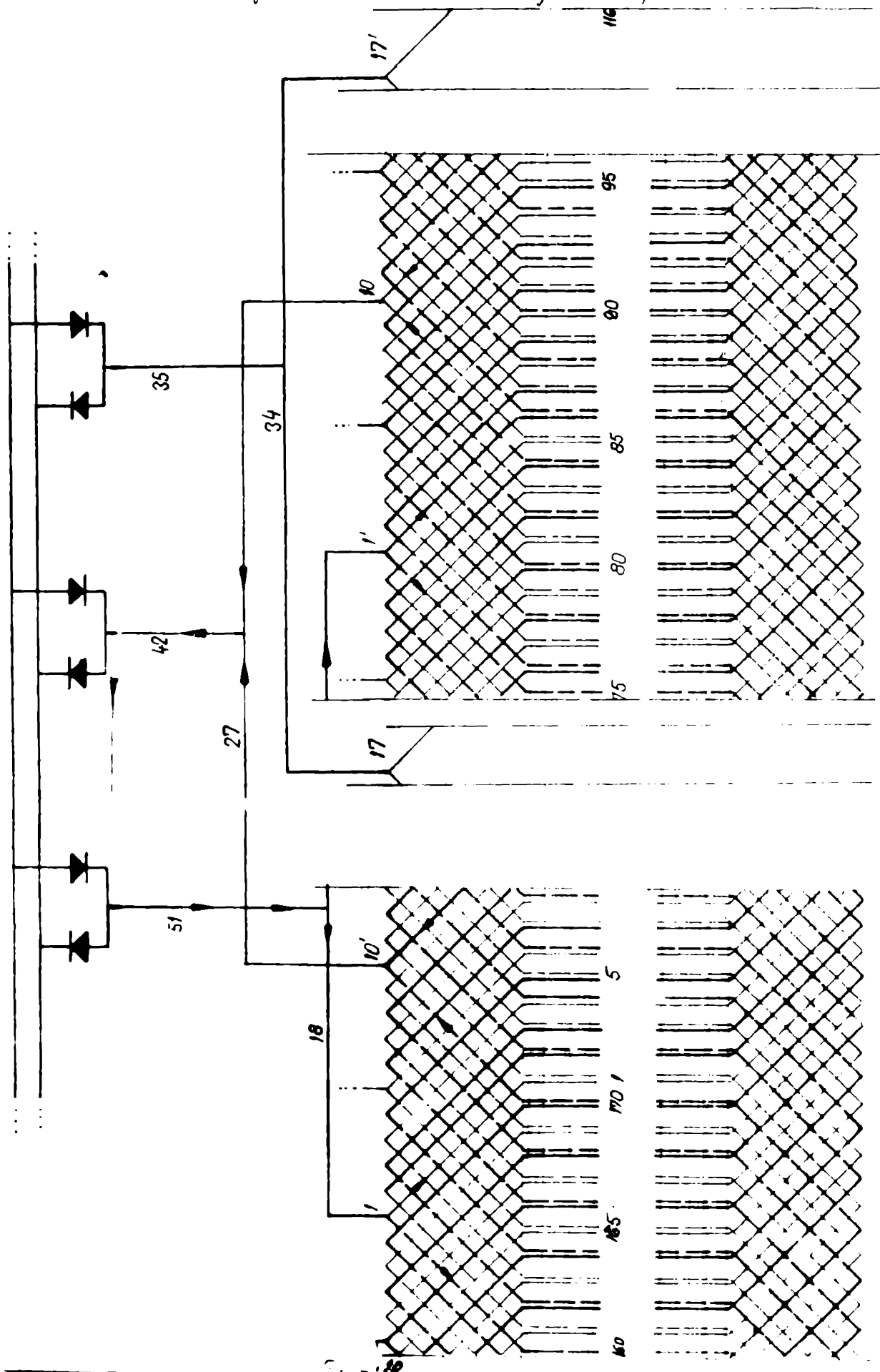
$$\text{spire pe fază: } y = y_1 + y_2 = \frac{Z-s}{P} = \frac{170-2}{8} = 21(10+11)$$

Constructiv schema de bobinaj din figura 2.10 se realizează conectând bobinile corespunzătoare celor două căi de curent în paralel repartizate la distanțe egale pe periferia indușului, la un număr de inele, egal cu numărul fazelor amplasate sub partea frontală a bobinajului, astăzi cum se observă în figurile 2.11 și 2.12. Din aceste figuri se observă că inelele de conectori notate cu (18...34) sunt prevăzute și cu cîte o bară de legătură notată cu (35...51) spre piezile de răcire ce conțin diodele instalației de redresare rotativă polifazată.

In exemplul considerat curentul redresat al excitatoarei cu diode rotative se apropie de 2000 A și la această valoare prin alegerea a două căi de curent în paralel se poate micșora creșterea rotorică, care se dimensionează pentru curentul pe calea de curent, care în acest caz este jumătate din curentul pe fază al excitatoarei sincrone iar reacția indușului scade datorită înjumătățirii numărului de spire pe fază și implicit se micșorează și curentul de excitație al excitatoarei.

Adoptînd aceeași limite pentru volumul de curent pe

Schemă bobinaj inducătoare cu legături la punctea redresoare



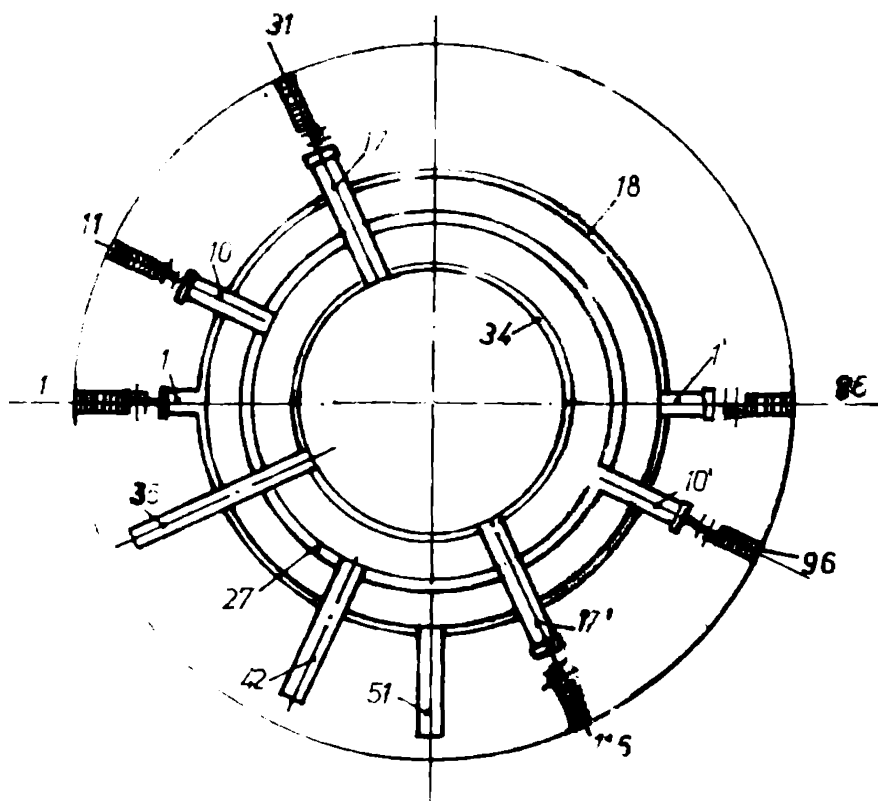


Fig. 2 11

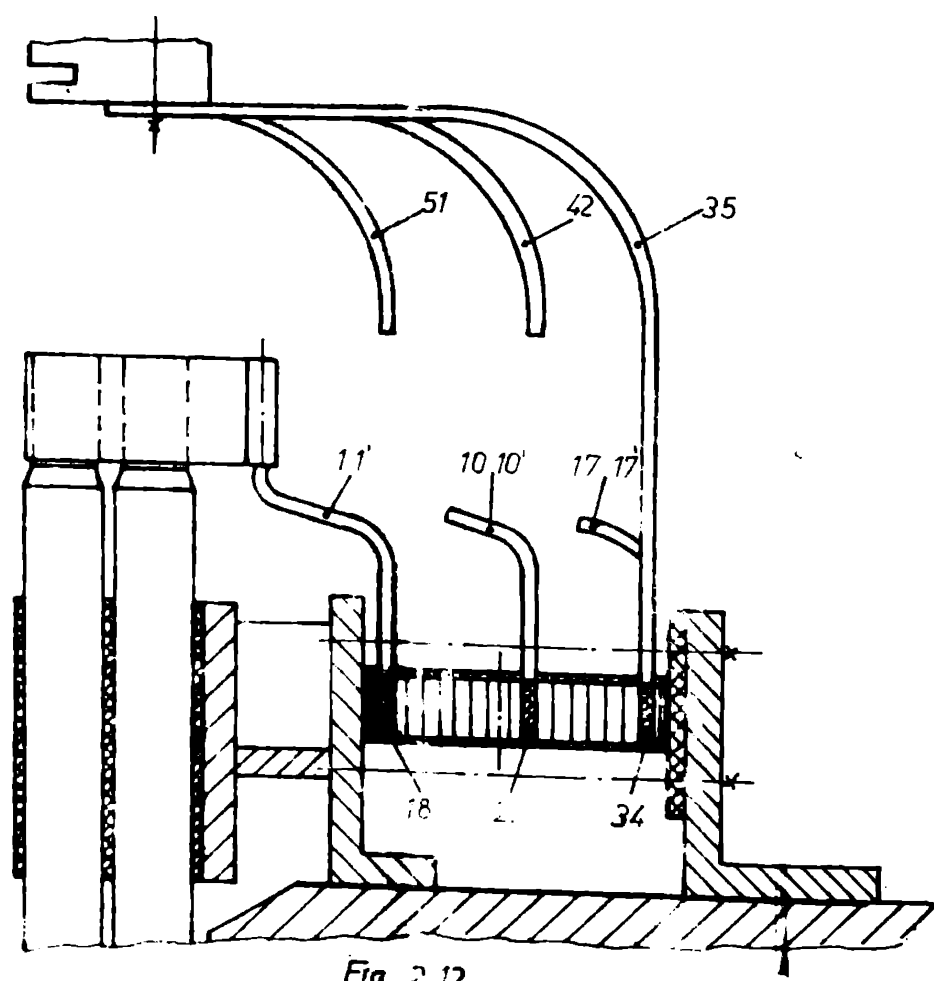


Fig. 2 12

crestătură și pentru amplitudine specifică, ca și la înfășurările cu o casă de curenț în paralel (B 21), se poate alege pasul creștăturii rotor de aproximativ 2 cm și corela astfel numărul de creștături rotorice, cu diametrul adoptat, cu numărul de poli și frecvența tensiunii electromotoare induse, într-un mod optim pentru mașinile sincrone de această putere (~500 kVA).

Înfășurările inducătorului sincron cu diode rotative analizate permit, prin adoptarea potrivită a numărului de faze și a conexiunii acestora, micșorarea rezistenței de dispersie diferențială, care influențează direct procesul de comutare și deci buna funcționare a diodelor din redresorul rotativ. În acest fel, prin elegarea unuia din tipurile de înfășurări de inducție prezente se poate renunța la emploarea unei înfășurări de smotrisse, pe suprafața polilor inductorii și excitatorii pentru reducerea armonicilor superioare (în special de ordinul 5 și 7), cărora le corespunde cimpul de dispersie diferențială. Acestea au stăt mai mult ca să de o parte înfășurarea de amortizare este mediul unor pierderi, de loc neglijabile, iar pe de altă parte este un element defavorabil din punctul de vedere al funcției de reglare a excitatorii, căreia i se cere o viteză de răspuns și mai mare, iar înfășurarea de amortizare se opune tăcerii variațiilor rapide ale fluxului.

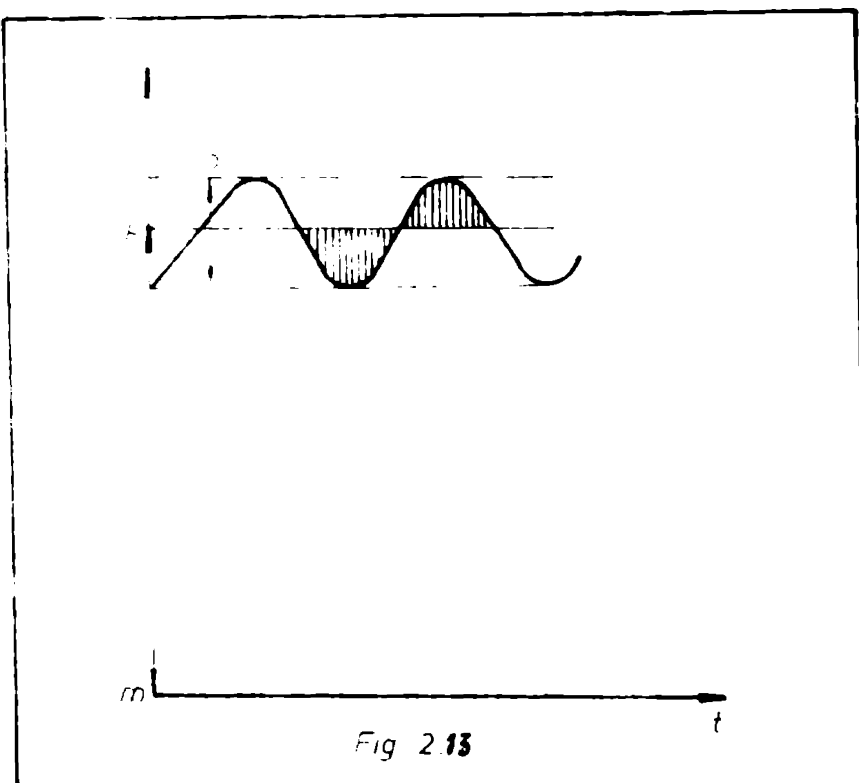
Înfășurările inducătorului (tipul A, B și C) precum și soluțiile constructive adoptate pentru realizarea și conectarea lor cu instalația de redresare rotativă se pot utiliza la o gamă foarte extinsă de puteri, tensiuni și turări ale excitatorilor sincroni cu diode rotative.

### 2.3. Redresarea polifazată în instalațiile de redresare rotative cu diode cu siliciu

În excitatoarele sincrone "m" fazează se induc tensiuniile electromotoare  $u_1 (\lambda=1 \dots m)$ , care pentru a putea alimenta înfășurarea de excitație a generatorului principal trebuie redresate.

Pentru puterile mari de excitație se folosesc scheme de redresare polifazate (măfanate) bazate pe celule redresoare (o bișniță diode cu siliciu) care sunt evantajate, deoarece tensiunea redresată obținută este mai netedă, chiar dacă nu se întrebunează nici un filtru.

In gol curbe tensiunii redresate se prezinta ca o infășurătoare superioară a "m" sinusoide defasate cu  $\frac{1}{m}$  perioade, care reprezintă respectiv tensiunile in gol a celor "m" faze. Această tensiune redresată în gol este suma unei anumite tensiuni continue  $U_e$  și a unui anumit număr de armonice.



Se definește prin "factor de ondulare", raportul dintre amplitudinea ondulației și valoarea medie a tensiunii redresate. Se convine că amplitudinea ondulației este egală cu semidiferența dintre ordonata maximă și cea minimă, și surbei infășurătoare.

Referindu-ne la figura 2.13 se vede că valoarea factorului de ondulare va fi dată de raportul  $k_o = \frac{1}{2} \cdot \frac{a_b}{m_p}$  în care "ab" este dublul amplitudinii primei armonice, iar "mp" valoarea medie a tensiunii redresate.

Pentru evaluarea utilizării care se realizează cu performanțele diodelor prin instalația de redresare se introduce noțiunea de "factor de utilizare", ca raport al puterii debitate de instalația de redresare și produsul dintre numărul diodelor, tensiunea inversă maximă a diodelor și curentul lor mediu:

$$f_u = \frac{U_{el} I_{esc}}{2 m V_{inm} \cdot i_{med}} \quad (11)$$

Alegerea schemei de redresare este prima și cea mai importantă etapă în conceperea instalației de redresare rotitoare, deoarece de aceasta depinde factorul de ondulare al tensiunii redresate, continutul în armonici al curentului redresat, precum și factorul de utilizare al excitatoarei sincrone.

Tensiunile produse în indusul excitatoarei sunt alterne-

tive (cavasimuseidale) și au valoare medie zero. Pentru obținerea unei tensiuni continue pornind de la aceste tensiuni induse, trebuie executată o comutare, adică trebuie schimbat în mod periodic, polaritatea bobinajului inducătorului excitatorului pentru obținerea tensiunii unidirectionale dorite.

Sunt posibile în principiu două moduri de comutare și pentru a sublinia deosebirile dintre ele le vom denumi "comutare paralel" și "comutare serie".

### 2.3.1. Montajul de redresare cu "comutare paralel"

Montajul de redresare cu "comutare paralel" având schema principală din figura 2.14, constă în conectarea unor tensiuni alternative ( $U_1, U_2, \dots, U_m$ ), în acela fel încât, în fiecare moment să se obțină la bornele N, M tensiunea continuă cu sensul dorit.

$$\begin{aligned} U_{ES_c} & \text{ dacă } U_1 > U_2, U_m \\ U_{ES_c} & \text{ și dacă } U_2 > U_3, U_m \\ U_{ES_c} & = U_1 \text{ dacă } U_m > U_2, U_m. \end{aligned}$$

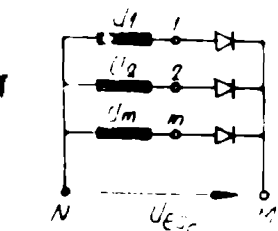


Fig. 2.14

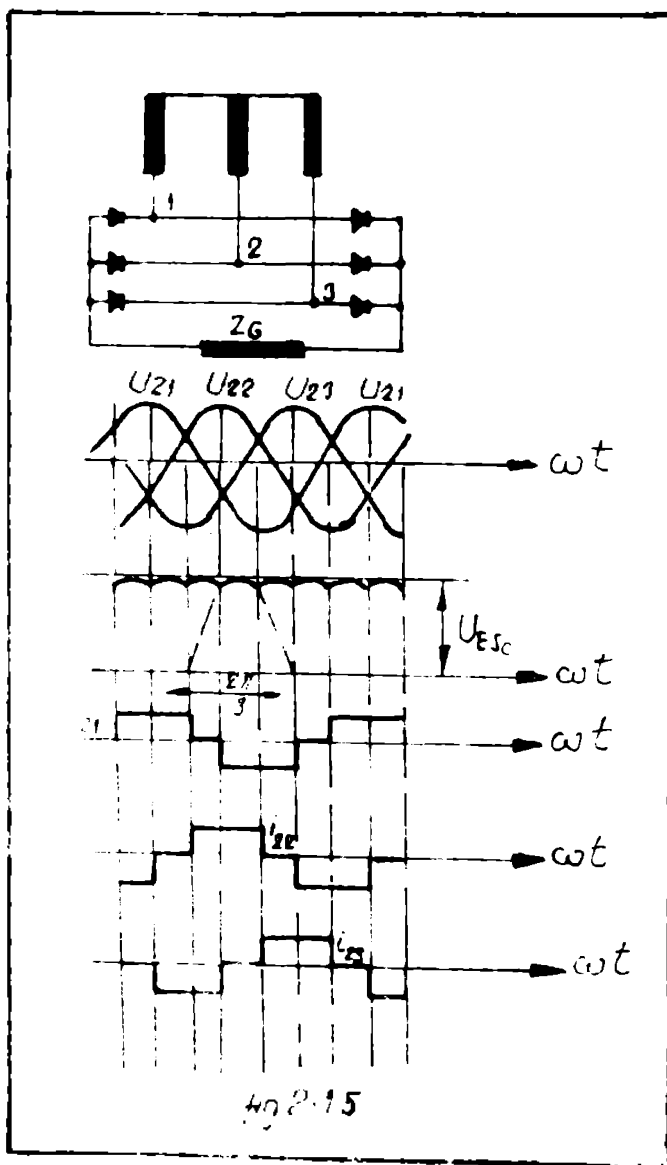
La comutare paralel din mai multe tensiuni alternative, se selectează tensiunea de ieșire cea mai mare. Pentru a putea compara tensiunile alternative, fazele în care se induc aceste tensiuni, sunt legate în serie, într-un punct comun "N" care formează una din bornele sursei de tensiune redresată. Ceaală bornă "M" a acestei surse, este legată prin un diodă suprapusă redresorului la bornele 1, 2, ..., m, care prezintă în momentul considerat potențialul cel mai ridicat în raport cu "N", diodele efectuind deci o selecție a tensiunilor ce vor da valoarea tensiunii redresate.

În funcție de modul de conectare al diodelor cu punctul "M" se obține un redresor mai pozitiv (dacă acesta începe punctul M cu bornele 1, 2, 3) respectiv "mai negativ" (dacă sursa diodelor se leagă la punctul M), în fiecare moment tensiunea "U<sub>ES\_c</sub>" redresată fiind egală cu cea mai pozitivă, respectiv cea mai negativă, dintre valoările tensiunilor  $U_1, U_2, \dots, U_m$ .

O variantă a modului de "comutare paralel" îl constitu-

tuie "comutăție paralelă dublă". Acest tip de montaj redresor utilizează "2m" diode pentru redresarea a "m" tensiuni alternative. Un prim grup de "m" diode reunite, formează borne de o polaritate și celălalt grup de "m" diode, borne de calealătă polaritate și sunt de tensiune redresată.

Acest montaj poate fi utilizat în monofazat poartă numele de puncte "Graetz". În fiecare grup de două diode efectuează o comparație, selectând cea mai pozitivă sau cea mai negativă dintre cele două semisinusoide. Aceeași denumire de puncte "Graetz" se dă și schemei de redresare trifazate utilizând 6 diode. În cazul în care cele trei faze ce alimenteză puncte sunt legate în stă, cum se observă în figura 2.15, se produce o comutare asemănătoare modului paralel, dar cu două selecții în loc de una. De aceea se va utiliza în acest caz denumirea de "comutăție paralel dublă" (sau puncte trifazat cu dublă redresare pentru situația  $m=3$ ) și nu cea de montaj în puncte "Graetz", pentru a desemna redresarea ce utilizează  $2m$  diode pentru redresarea a "m" tensiuni furnizate de "m" faze consecutive în stă. Pentru cazul general al redresării prin "comutăție paralel" și "comutăție paralel dublă" a "m" tensiuni alternative se prezintă schemele din figurile 2.16, 2.17, în baza cărora se stabilește relația între tensiune, curent, factorul de utilizare și factorul de ondulație al tensiunii redresate. Admitând ipotezele simplificate



din figurile 2.16, 2.17, în baza cărora se stabilește relația între tensiune, curent, factorul de utilizare și factorul de ondulație al tensiunii redresate. Admitând ipotezele simplificate

cătrezii că tensiunile din indușul excitatorului formează un

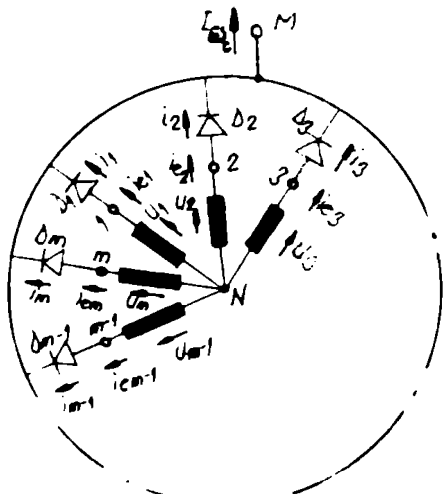


fig 2.16

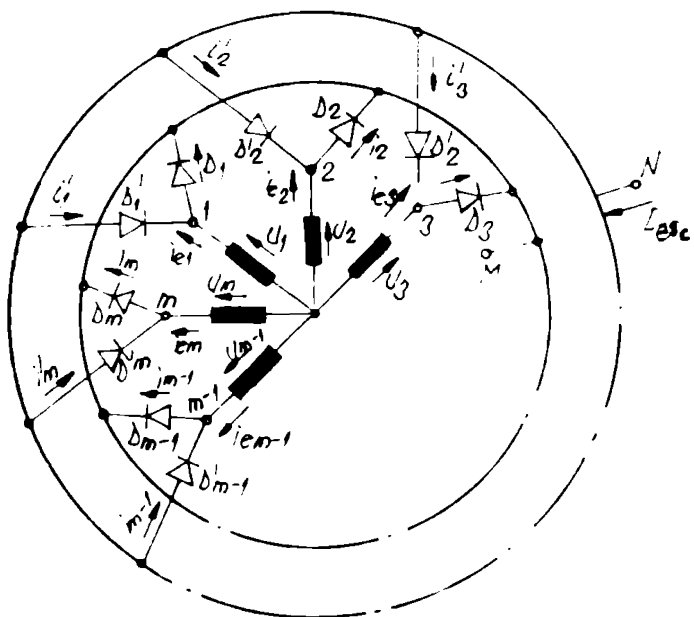


fig 2.17

sistem simetric și se realizează o comutare instantanea a curentului între două faze care conduce în mod succesiiv, atunci pentru o excitatorie cu "m" faze, durata de conductie este de  $\frac{2\pi}{m}$  radiani în fiecare perioadă și fiecare supă redresor, iar tensiunea redresată este dată de infășurătoarea pozitivă a tensiunilor de fază, ale indușului excitatorului. Considerind tensiunile induse în excitator de formă generală:  $U_{ES} = U_{ES_m} \sin[\omega t - (m-1)\frac{2\pi}{m}]$ , pentru valoarea medie a tensiunii redresate rezultă o funcție care conține numai componente în cosinus și a cărei expresie devine: (B 58)

$$U_{ES_c} = \frac{m}{2\pi} U_{ES_m} \cos \omega t d(\omega t) = \frac{m}{\pi} U_{ES_m} \sin \frac{\pi}{m} \quad (42)$$

în cazul "comutare paralelă dublă" valoarea medie a tensiunii redresate devine:

$$U_{ES_c} = \frac{2m}{\pi} U_{ES_m} \sin \frac{\pi}{m} \quad (43)$$

unde: - m = numărul de faze al excitatorului

$$U_{ES_m} = \sqrt{2} U_{ES}$$

$U_{ES}$  – valoarea efectivă a tensiunii în indușul excitatorului.

Valoarea medie a curentilor redresăți pentru schemele de conexiune cu "comutare paralelă" și "comutare paralel-dublă" sunt (B 65).

$$I_{ES_c} = \sqrt{m} I_{ES} \quad (44)$$

$$I_{ES_c} = \sqrt{\frac{m}{2}} I_{ES} \quad (15)$$

unde:  $I_{ES}$  - valoarea efectivă a curentului în feze inducătoarei.

Deseavantajele modului de redresare cu "comutare paralel" și "paralel-dublu" se referă în special la creșterea unghiului de comutare, adăugă cu mărirea numărului de feze, în timp ce coeficienții de utilizare se micșorează, motiv pentru care acest montaj de redresare se limitează la conexiunea trifazată cu dublă redresare cu care se obțin cei mai buni coeficienți de utilizare. De aceea, excitatoarele sincrone având infășurările inducători trifazate în stă (tipul A, § 2.2), se conectează la un montaj de redresare cu comutare "paralel-dublă" așa cum se arată în figura 2.15, iar valorile medii ale tensiunii și curentului redresat obțin în acest caz expresiile:

$$I_{ES_c} = \sqrt{\frac{3}{2}} I_{ES} \quad (16)$$

$$U_{ES_c} = 2,34 U_{ES} \quad (17)$$

### 2.3.2. Montajul de redresare cu "comutare serie"

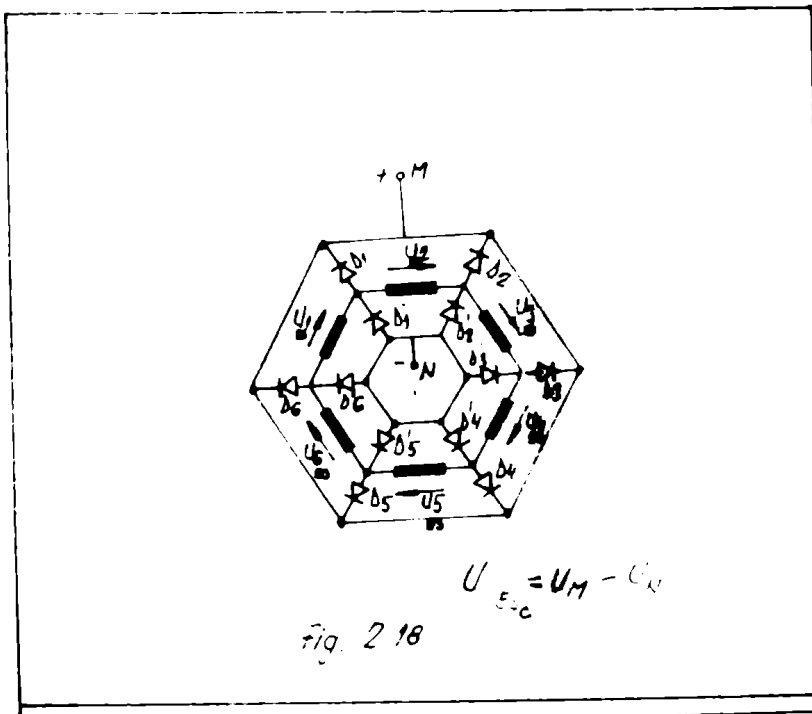
Montajul de redresare cu comutare serie, mai puțin comun decât cel cu comutare paralel, este de preferat, ori de către ozi numărul de feze al inducătorului "n" este mai mare decât 3 (infășurările de tip B și C din §2.2), așa cum va rezulta din analiza ce urmășă, motiv pentru care acestă problemă este dezvoltată mai mult decât cazul usual al punții trifazate cu dublă redresare.

În redresarea prin "comutare serie", fezele în care se induc tensiunile alternative sunt legate în serie, ceea ce presupune că suma lor momentană este nulă, iar redresarea constă în sumarea în fiecare moment a tensiunilor alternante de același semn, pentru obținerea tensiunii redresate, așa cum se observă în figura 2.18.

Vîrfurile poligonului (figura 2.18) astfel format, al cărui potențial relativ este cel mai ridicat la un moment dat, se legă la borna pozitivă a instalației de redresare, iar cel al cărui potențial este cel mai slab pozitiv la borna de celelalte polaritate. Aceasta este, în principiu, modul de redresare realizat de colectorul generatorelor de curent continuu. Sumarea efectuată într-un generator de curent continuu prin colectorul său, se poate realiza și printr-o instalație de redresare compusă dintr-un ansamblu de supe redresare. Cele "n" feze motorice ale excitatoarei în care se induc "m" tensiuni alternative

o cărăză sumă este zero și sunt grupate într-un poligon. În fiecare vîrf al poligonului sunt legăți emisori unei serii de diode  $D_1$ ,  $D_2 \dots D_6$ , și cărăzăle cetozi unite formeză borne de o polaritate a tensiunii redresate, de asemenea în fiecare vîrf al poligonului sunt conectați cetozi unei și două serii de diode  $D'_1$ ,  $D'_2 \dots D'_6$ , și ei cărăzăle emisori legăți împreună formeză borne de o altă polaritate (figura 2.19).

În figura 2.18 se prezintă schema unui montaj în poligon cu redresare serie pentru  $n=6$ . De către exemplu  $U_{ES1}$ ,  $U_{ES2}$ ,  $U_{ES3}$  sunt pozitivi atunci tensiunile redresate:  $U_{ESc} = U_{ES1} + U_{ES2} + U_{ES3} = -(U_{ES4} + U_{ES5} + U_{ES6})$   
iar pentru  $U_{ES2}$ ,  $U_{ES3}$ ,  $U_{ES4}$  pozitivi:  $U_{ESc} = U_{ES2} + U_{ES3} + U_{ES4} = -(U_{ES5} + U_{ES6} + U_{ES1})$ .



Redresarea prin comutare serie a fost pînă nu de mult relativ puțin utilizată, deoarece unor inconveniente ce se observă chiar din scheme de montaj din figura 2.18 și anume: necesitatea unui număr dublu de diode față de "comutare paralel" implicit și căderea de tensiune ce apare în două diode. Diodela cu siliciu a cărăzălor utilizate tînde să se generalizeze, niesarcină inconvenientul căderii de tensiune în redresor, dar în schimb suprînd o tensiune inversă maximă destul de redusă, necesită frecvent conectarea mai multor diode în serie. Deci se observă că montajul redresor cu "comutare serie" reduce tensiunile inverse ce se aplică diodelor, iar inconvenientul căderii de tensiune este minim.

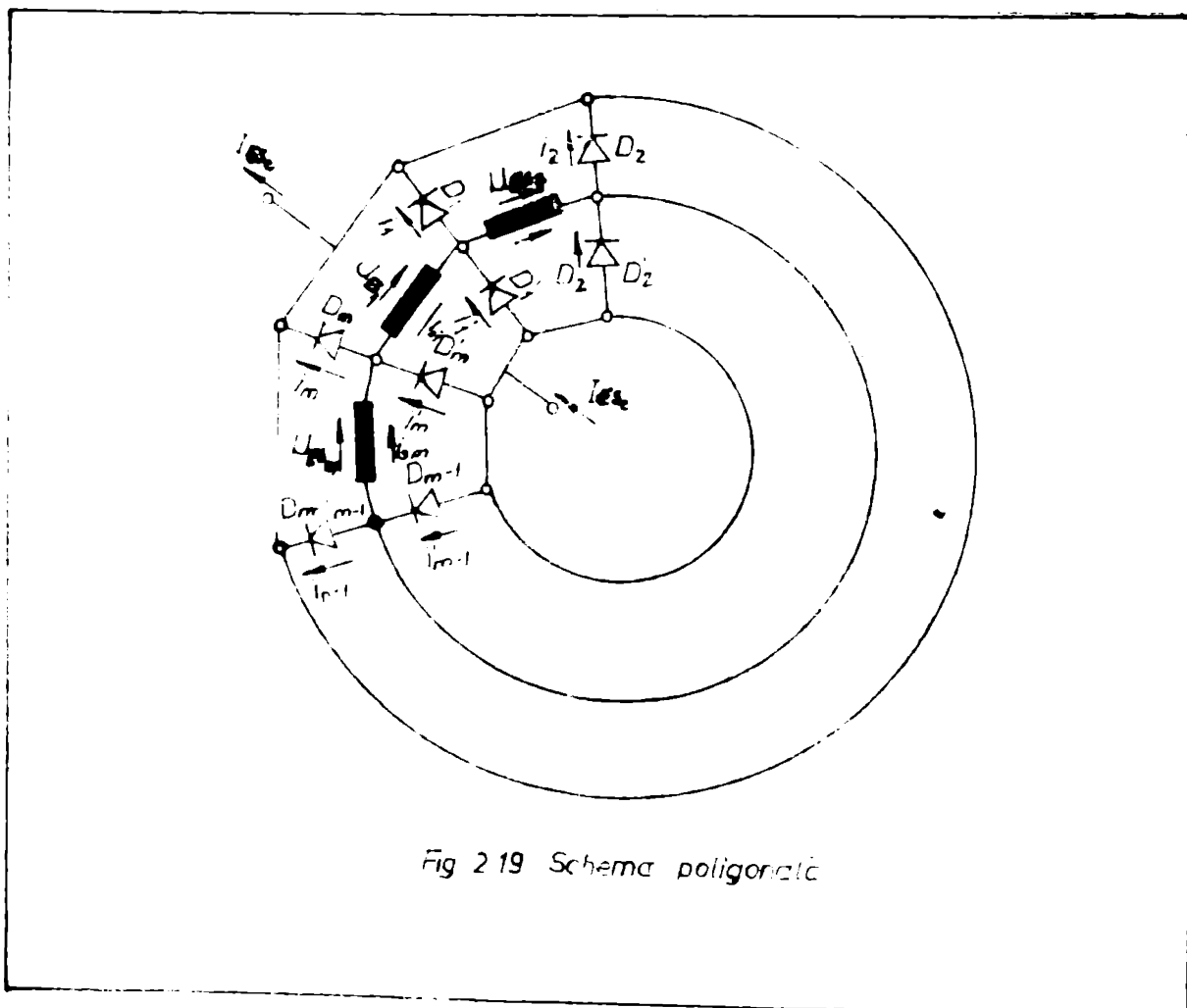
șt. 4

si căderea de tensiune ce apare în două diode. Diodela cu siliciu a cărăzălor utilizate tînde să se generalizeze, niesarcină inconvenientul căderii de tensiune în redresor, dar în schimb suprînd o tensiune inversă maximă destul de redusă, necesită frecvent conectarea mai multor diode în serie. Deci se observă că montajul redresor cu "comutare serie" reduce tensiunile inverse ce se aplică diodelor, iar inconvenientul căderii de tensiune este minim.

Vom analiza modul de obținere a tensiunii continue pornind de la sistemul de tensiuni alternative induse în emisitoare polifazetă și vom compara apoi cele două moduri de redresare. Presupunem că impedanțele fazelor excitatoare sunt neglijabile, deci nu există nici o suprapunere a tensiunilor care sunt sinusoidale și constante oricare ar fi sarcina excitatoare.

Cărarea de tensiune internă în diodele care conduc va fi neglijată și rezistența pe care debitează tensiunea redresată e presupusă infinită. În această ipoteză, determinăm în primul rând tensiunea redresată. Înseamnă cu  $U_{ES1}$ ,  $U_{ES2}$  ...  $U_{ESm}$  cele  $m$  tensiuni sinusoidale corespunzătoare celor  $m$  faze din ansamblul excitatoarei conectate în poligon vom avea la un moment dat: (fig. 2.19)

$$\begin{aligned} U_{ES_1} &= U_{ES_{max}} \sin \omega t \\ U_{ES_2} &= U_{ES_{max}} \sin(\omega t - \frac{2\pi}{m}) \\ U_{ES_m} &= U_{ES_{max}} \sin[\omega t - (m-1) \frac{2\pi}{m}] \end{aligned} \quad (18)$$



Borne "H" este legată, prin intermediul cotelor diodelor ( $D_1 \dots D_n$ ) corespunzătoare, la vîrful poligonului și căruia potențial este cel mai ridicat. Această vîrf este capătul înfășurării cu tensiune pozitivă, în momentul acesta, tensiunile fiind considerate în ordinea directă a succesiunii fazelor. De asemenea, borne "H" este legată prin anodii diodelor ( $D_1 \dots D_n$ ) la vîrful poligonului și căruia potențial este cel mai scăzut; acest vîrf corespunzând înfășurării fazei cu tensiune negativă.

Tensiunea redresată instantanea " $U_{ESc}$ " este diferență de potențial între sfîrșitul ultimei fazelor și începutul primei faze și căror tensiuni sunt egale cu sume tensiunilor pozitive ale sistemului polifazat.

Înseamnă separat cazul în care numărul de faze "n" este par și cel în care numărul de faze "n" este impar (B 58) se obține pentru ambele cazuri valoarea medie a tensiunii redresate:

$$U_{ESc} = \frac{m}{\pi} U_{ES} \quad (19)$$

În considerațiile făcute s-a admis lipsa unei treceori instantane și etapei de conduction de la o celulă redresare la alta. Într-un circuit real, curentul între cele două celule redresare începe să conducă trebuia să crească concomitent cu scăderea curentului din celula vecină care se blochează, astfel încât în același moment suma acestor doi curenti să fie egală cu curentul de sarcină. În acest mod există o perioadă de suprapunere sau de coacădere între perioadele de conduction a două celule redresare vecine, căreia îi corespunde unghiul de coacădere "α". Tinind cont de unghiul de coacădere "α" al diodelor, valoarea medie a tensiunii redresate se exprimă (B 57)

$$U_{ESc} = U_{ESc} \cos^2 \frac{\alpha}{2} \quad (20)$$

Relația (19) este valabilă dacă ar fi modul de cuplare al fazelor și dacă ar fi numărul de diode care debitează simultan, cât timp unghiul de coacădere al zonelor de funcționare al diodelor "α" rămâne mai mic decât  $\left[\pi - \frac{2\pi}{m}\right]$ .

### 2.3.3.1. Timp lung de invadare și factorul de completeză a redresorului

Valoarea relativă a emulațiilor pentru o excitatorie cu un număr par de faze este dată de relația (B 58):

$$K_0 = \frac{U_{ES, \text{max}} - U_{ES, \text{min}}}{2 U_{ESC}} = \frac{\pi}{2m} \cdot \frac{1 - \cos \frac{\pi}{m}}{\sin \frac{\pi}{m}} \quad (21)$$

Dacă numărul de faze al excitatoarei este impar, valoarea relativă a emulației este:

$$K_0 = \frac{U_{ES, \text{max}} - U_{ES, \text{min}}}{2 U_{ESC}} = \frac{\pi}{4m} \cdot \frac{1 - \cos \frac{\pi}{2m}}{\sin \frac{\pi}{2m}} \quad (22)$$

În relațiile (21) (22) prin  $U_{ES, \text{max}}$  se înțelege tensiunea maximă redresată la mijlocul intervalului  $(\frac{T}{2} - \frac{T}{m}; \frac{T}{2})$ , iar  $U_{ES, \text{min}}$  este valoarea minimă la extremitățile acestui interval.

Tensiunea inversă maximă este egală cu valoarea maximă a tensiunii redresante (figura 2.2).

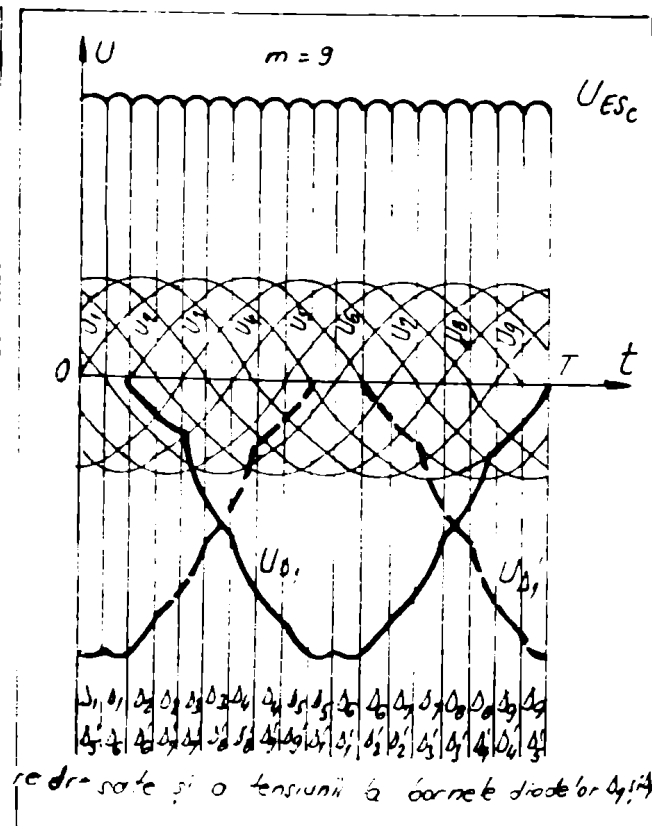
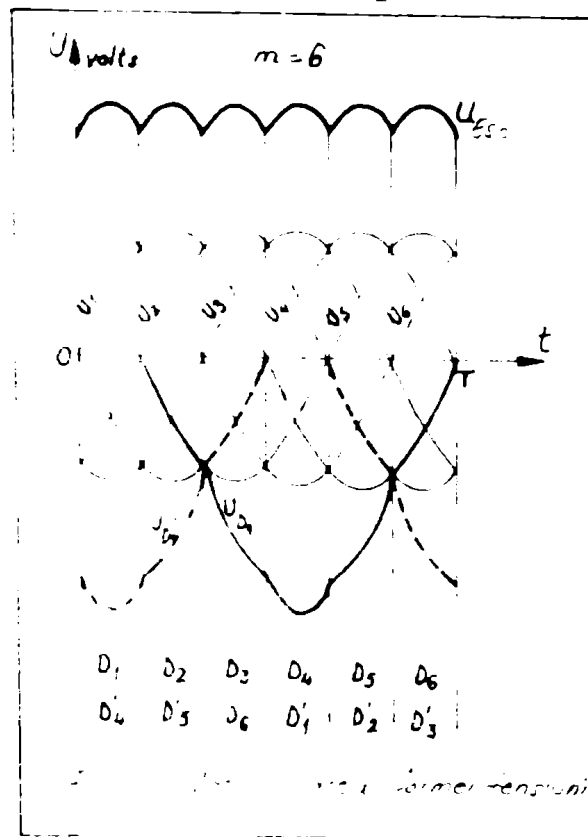
Dacă "m" este un număr par (B 58):

$$U_{inv, \text{max}} = \frac{U_{ESm}}{\sin \frac{\pi}{m}} \quad (23)$$

îar dacă "m" este impar:

$$U_{inv, \text{max}} = \frac{U_{ESm}}{2 \sin \frac{\pi}{2m}} \quad (24)$$

Figura 2.2 arată pentru  $m=6$  și  $m=9$ , modul de determinare a formei tensiunii redresate " $U_{ESc}$ " și a tensiunii la bornele diodelor  $D_1$  și  $D_2$ , pornind de la tensiunile din indușul excitatorii  $U_1, U_2, \dots, U_m$ . În timpul fiecărui interval sunt indicate cele două diode care asigură condesanță.



### 2.3.2.2. Curentul direct și factorul de utilizare al redresorului

Dacă notăm cu  $I_{ESc}$  curentul continuu, presupus fără conducedării reziduale, pe care îl furnizează instalația de redresare, fiecare diodă asigură trecerea curentului  $I_{ESc}$  un timp egal cu  $T/m$ . Deci, pentru fiecare din cele "2 m" diode curentul maxim și mediu este:

$$i_{\max} = I_{ESc} \quad (25)$$

$$i_{\text{med}} = \frac{I_{ESc}}{m} \quad (26)$$

Dacă "m" este par, avind în vedere relațiile (23) și (26), factorul de utilizare devine:

$$f_u = \frac{m}{2\pi} \sin \frac{\pi}{m} \quad (27)$$

iar pentru "m" impar avind în vedere relațiile (24) și (26):

$$f_u = \frac{m}{\pi} \sin \frac{\pi}{2m} \quad (28)$$

Curentul dintr-o fază a infășurării indușului pentru cazul cind numărul de faze este par va avea valoarea efectivă (B 58):

$$I_{ES_f} = \frac{I_{ESc}}{2} \quad (29)$$

Iar pentru numărul de faze "m" impar va avea valoarea efectivă (B58):

$$I_{ES_f} = \frac{I_{ESc} \sqrt{m^2 - 1}}{2m} \quad (30)$$

### 2.3.2.3. Căderea de tensiune datorită comutării

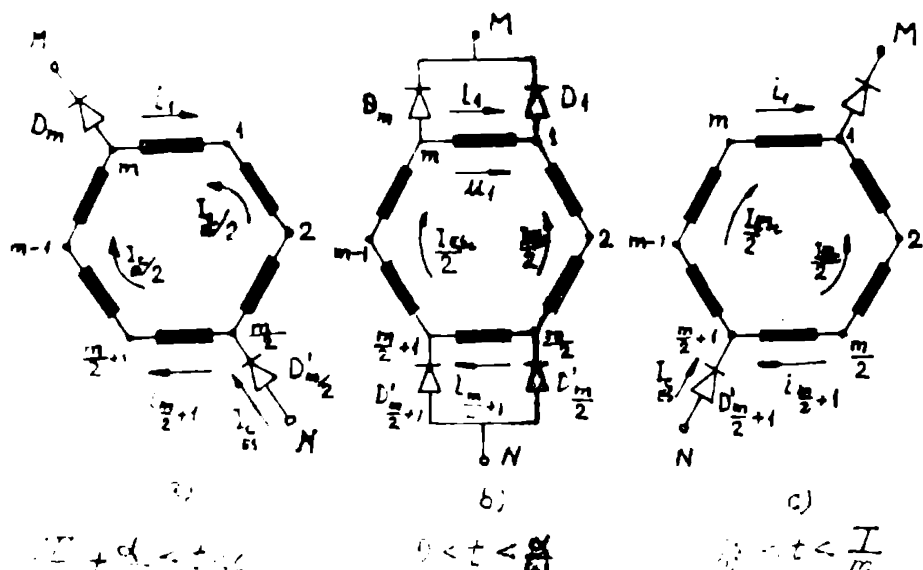
Din cauza rezistenței de dispersie a infășurării indușului excitator, curentul din infășurare nu se poate inversa instantaneu, în momentul în care t.e.m. induș schimbă sensul. Această inversare necesită un anumit interval de timp, în care faze "în comutare" este pusă în circuit de cele două diode conectate la cele două extremități ale sale.

Pentru a studia fenomenul și căderea de tensiune redresată pe care o determină, se va ține cont de ansamblul de rezistențe doar printr-o rezistență unică "x<sub>e</sub>" – rezistență de comutare identică pentru fiecare fază. Se va neglija efectul rezistenței infășurărilor, de asemenea ne lăsăm la cazul cind curentul continuu "I<sub>ESc</sub>" este dat de un număr de diode ce nu depășește

două diode în serie ce conduc simultan. Considerăm separat cele două cazuri:

- cazul cu numărul de faze "m" par:
- dacă înaintea momentului  $t=0$ , tensiunea din impulsul excitătoarei " $u_{ESm}$ " este pozitivă, etapei  $u_{ES1}$  este negativă (figura 2.21).

Fig. 2.21



Polygonul infășurărilor este legat la borna "M" prin diode  $D_m$ ; curentul  $I_{ES1}$  în prima fază este  $\frac{I_{ES1}}{2}$ .

În momentul  $t=0$ , tensiunea  $u_{ES1}$  devine pozitivă, dioda  $D_1$  va fi blocată, infășurarea fazei 1 este scurtecircuitată de conductie simultană a diodelor  $D_m$  și  $D_1$ .

Acest scurtecircuit durează în intervalul cuprins între momentele  $t=0$ , cind  $I_{ES1} = -\frac{I_{ES1}}{2}$  și  $t = \frac{\pi}{\omega}$  cind  $I_{ES1} = +\frac{I_{ES1}}{2}$ , unde " " reprezintă unghiul de conștiție.

În intervalul  $(0 - \frac{\pi}{\omega})$  curentul  $I_{ES1}$  nu poate prezenta discontinuități, iar în momentul  $t = \frac{\pi}{\omega}$  corespunzător sfîrșitului conștiției, acesta stinge valoarea  $\pm \frac{I_{ES1}}{2}$ . Unghiul de conștiție " " se poate determina din această condiție cu expresia (B 58):

$$\beta \cdot \cos \alpha = \frac{\alpha \cdot I_{ES1}}{U_{ESm}} \quad (31)$$

In timpul punerii in scurteircuit a fazei 1 se infășoară, suma tensiunilor pozitive este diminuată față de tensiunea  $U_{ES1}$ , rezultând o micșorare  $\Delta U'_c$  a tensiunii redresate medii.

$$\Delta U'_c = \frac{m}{T} \int_0^T U_{ESm} s.m \sin \alpha dt = \frac{m}{\omega T} U_{ESm} (1 - \cos \alpha) = \frac{m}{2X_C} I_{ESc} - U_{ES1}$$

Varioarea relativă a căderii de tensiune determinată compoziției va fi:  $\frac{\Delta U'_c}{U_{ESc}} = \frac{X_C I_{ESc}}{2 U_{ESm}}$  (32)

și este independentă în acest caz de numărul de faze.

In timpul intervalului ( $\alpha, \frac{\pi}{2}$ ) necesar pentru inversarea curentului în fază 1, trecerea de la valoarea  $\frac{I_{ESc}}{2}$  la valoarea  $+ \frac{I_{ESc}}{2}$  a curentului în fază ( $\frac{\pi}{2} + 1$ ), necesită punerea și în scurteircuit de curentul simultan al susținelor redresătoare  $\frac{I_E}{2}$  și  $\frac{I_E}{2} + 1$ .

Așa că în timpul conductionii a patru diode și în timpul conductionii a două diode, cele două circuite care unesc bornele N și M totalizează aceeași tensiune și același număr de faze; curentul în fazele care nu sunt scurtecircuite rămâne întotdeauna  $\frac{I_{ESc}}{2}$ .

Cazul cu numărul de faze "n" impar:

Studiul tensiunii redresate și al curentului din inducția excitatoarei în cazul unui număr de faze "n" impar, efectuat neglijind rezistențele și dus la următoarele rezultate (figura 2.22):

a) Schimbarea diodelor legate la unul din virfurile poligonului cu bornele M, nu se face în același timp ca schimbarea diodeli legate la celălalt vîrf, la bornele N.

b) Curentii în cele două circuite unind punctele N și M sunt diferențiali. Circuitul conținând  $\frac{n-1}{2}$  faze ale indusului este parcurs de curentul  $\frac{I_{ESc}}{2}(1 - \frac{1}{n})$  în timp ce, celelalte  $\frac{n-1}{2}$  faze, sunt parcursă de  $\frac{I_{ESc}}{2}(1 + \frac{1}{n})$ .

In particular, în momentul inversării sale, într-o fază curentul trece de la  $\frac{I_{ESc}}{2}(1 - \frac{1}{n})$  la  $- \frac{I_{ESc}}{2}(1 + \frac{1}{n})$  sau inverse.

In figura 2.22 se arată etapele inversării curentului în fază numărul 1 și începutul inversării în fază de ordinul  $\frac{n-1}{2}$ , iar căderea de tensiune relativă devine:

$$\frac{\Delta U'}{U'_{ESc}} = \frac{X_C I_{ESc}}{2 U'_{ESm}} \left( 1 - \frac{1}{n} \right) \quad (33)$$

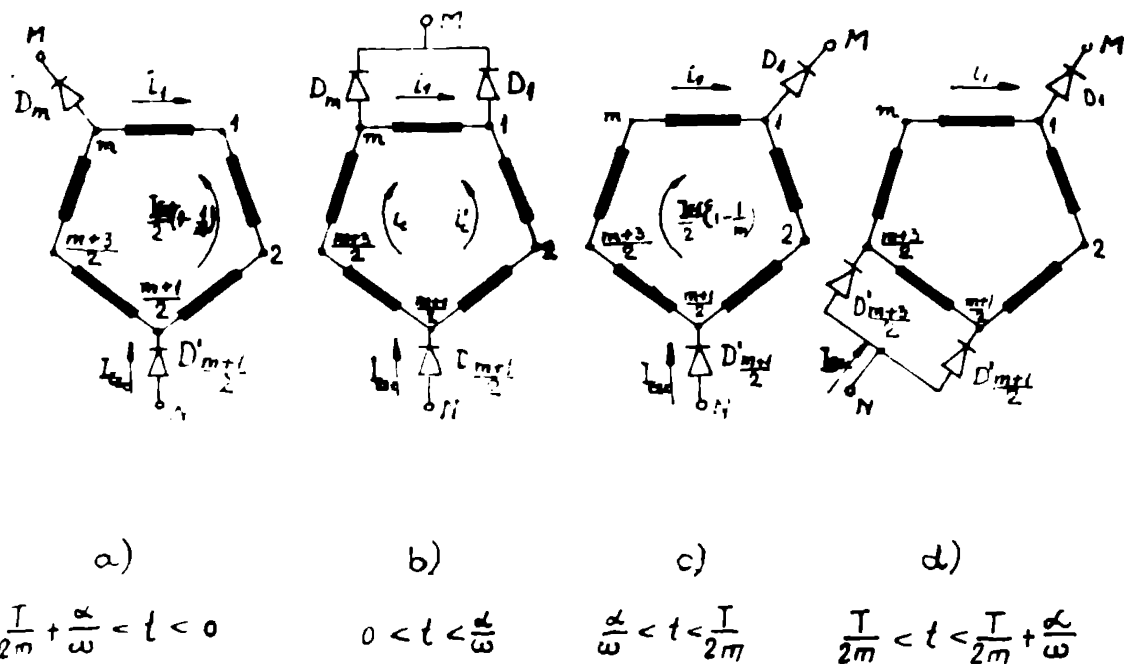


Fig. 2.22

Din analiza efectuată se observă că unghinul de comutare "α" este independent de numărul de faze, în cazul redresării prin comutare serie, iar valoarea relativă a căderii de tensiune este mai mică în cazul în care numărul de faze constătoare în poligon este impar, decât în cazul în care numărul de faze este par. În ce privește factorul de undulare acesta este mai mic în cazul în care numărul de faze al emisitătoarei constătoare în poligon este impar, iar factorul de utilizare este ceva mai mare decât în cazul când numărul de faze este par.

#### 2.3.2.4. Compozarea modalităților de redresare

Din analiza modalităților de redresare reiese că există două procedee care permit redresarea unui ansamblu de tensiuni alternative și anume: comutare paralel cu variante comutare paralel dublă, care este procedeul constând în compunerea tensiunilor, pentru a reține doar tensiunile care au semn convenabil și comutare serie, care este modul mai puțin ușor, prin care se efectuează sumarea tensiunilor ce prezintă semnul convenabil.

Tabel 1

| 20                         | 200 | 8  | 80%   | Tensiune<br>medie<br>-<br>voloare media | Curentul direct<br>mediu si<br>maxim          | Tensiune<br>imediată<br>a renumului<br>induselor<br>excitațoarei | Factorul de<br>utilizare o/<br>MSL de redresare<br>indusivă                         |
|----------------------------|-----|--|---|---|---|--|---|
| par                        | m   | $U_d = \frac{m}{2} U_{dc} \sin \frac{\pi}{m}$  | $U_{imax} = 2 U_{dc}$                         | $i_{med} = \frac{I_{dc}}{m}$            | $I_d = \frac{I_{dc}}{\sqrt{m}}$               | $f_U = \frac{m}{2\pi} \sin \frac{\pi}{m}$                        | $\frac{\delta U_c}{U_{dc}} = \frac{x_c I_{dc}}{2 U_m \sin \frac{\pi}{m}}$           |
| impar                      |     |  |   | $i_{imax} = I_{dc}$                     |   | $f_U = \frac{m}{\pi} \sin \frac{\pi}{2m}$                        |   |
| par                        | 2m  | $U_d = \frac{2m}{2} U_{dc} \sin \frac{\pi}{m}$ | $U_{imax} = 2 U_{dc}$                         | $i_{med} = \frac{I_{dc}}{2m}$           | $I_d = \frac{I_{dc}}{2m} \sqrt{\frac{2}{m}}$  | $f_U = \frac{m}{2\pi} \sin \frac{\pi}{2m}$                       | $\frac{\delta U_c}{U_{dc}} = \frac{x_c I_{dc}}{2 U_m \sin \frac{\pi}{m}}$           |
| impar                      |     |  |   | $i_{imax} = I_{dc}$                     | $I_d = \frac{I_{dc}}{2m} \sin \frac{\pi}{2m}$ | $f_U = \frac{m}{\pi} \sin \frac{\pi}{2m}$                        |   |
| par                        | 2m  | $U_d = \frac{2m}{2} U_{dc} \sin \frac{\pi}{m}$ | $U_{imax} = 2 U_{dc}$                         | $i_{med} = \frac{I_{dc}}{2m}$           | $I_d = \frac{I_{dc}}{2m} \sqrt{\frac{2}{m}}$  | $f_U = \frac{m}{2\pi} \sin \frac{\pi}{m}$                        | $\frac{\delta U_c}{U_{dc}} = \frac{x_c I_{dc}}{2 U_m}$                              |
| impar                      |     |  |   | $i_{imax} = I_{dc}$                     | $I_d = \frac{I_{dc}}{2m} \sin \frac{\pi}{2m}$ | $f_U = \frac{m}{\pi} \sin \frac{\pi}{2m}$                        |   |
| par                        | 2m  | $U_d = \frac{2m}{2} U_{dc}$                    | $U_{imax} = \frac{U_m}{2 \sin \frac{\pi}{m}}$ | $i_{med} = \frac{I_{dc}}{2m}$           | $I_d = \frac{I_{dc} \sqrt{m^2 - 1}}{2m}$      | $f_U = \frac{m}{\pi} \sin \frac{\pi}{2m}$                        | $\frac{\delta U_c}{U_{dc}} = \frac{x_c I_{dc}}{2 U_m \left(1 - \frac{1}{m}\right)}$ |
| impar                      |     |  |   |   |   |  |   |
| serie<br>paralelă<br>dublu |     |  |   |   |   |  |   |

Înaintind relațiile generale sintetizate în tabelul 1 referitoare la cele 3 tipuri de montaje redresare cu comutator

parelal, paralel dublu și serie se observă următoarele:

- a) Montajele cu comutăție paralel dublu și serie necesită de două ori mai multe diode decât montajul cu comutăție paralel. Acest lucru este redus prin faptul că puterea operană a ensemblului diodelor este aceeași pentru cele trei variante de montaj.
- b) Factorul de ondulare "k<sub>u</sub>" al tensiunii redresate este identic în cele trei cazuri deoarece numărul de faze "n" este par. Deoarece "n" este impar cu montajul cu comutăție paralel dublu și serie se obține un factor de ondulare mai scăzut decât cel dat de montajul cu comutăție paralel.
- c) Se cădează factorului de utilizare "f<sub>u</sub>" și creșterea cîrcurii de tensiune în serie în cînd creșterea numărului de faze "n" este principiul neajuns al comutăției paralel fără de comutăție paralel dublu și serie.
- d) Multiplicarea cu doi a numărului diodelor în cazul montajelor cu comutăție paralel dublu și serie se justifică deoarece numărul de faze este impar, pentru că în acest caz se obține o reducere a factorului de ondulare.
- e) Cînd numărul de faze este mai mare decât trei comutăție serie se dovedește preferabilă comutăția paralel dublu, deoarece se obține un factor de utilizare mai ridicat și cărora de tensiune datorită comutăției mai reduse.

Din aceste considerente, pentru excitațioarele sincrone de mare putere avind în special un curent redresat mare (peste 1500 A), la o tensiune de excitație ușoră (în jur de 25% V<sub>cc</sub>), se optă pentru excitație cu un număr impar de faze deoarece de mare (superior lui 11), conectate în poligon cu montaj de redresare cu comutăție serie.

### 2.3.2.3. Soluție constructivă a instalației de redresare rotativă cu comutăție serie

Excitațioarele sincrone de mare putere, realizate la approximativ 300 kVA, avind un curent nominal redresat de aproape 2000 A și prevăzut din motivele arătate în § 2.3.2.4., au o instalație de redresare rotativă polifazată cu comutăție serie, care se conectează la o infășurare polifazată a indușului excitației cu două căi de curent în paralel de tipul reprezentat în figurile 2.10, 2.11, 2.12.

Soluția constructivă cunoscută pentru realizarea instalației de redresare rotativă polifazată constă în empilarea di-

odelor în interiorul unui inel de oțel, montat pe arborele excitatoarei. De avantajele acestei soluții constă în următoarele: greutatea mare a inelului de oțel; necesitatea unor diode speciale cu contact sub presiune; lipsa diodelor montate în paralel pe aceeași fază.

Instalația de redresare rotativă polifazată propusă, care a obținut brevetul de inventie numărul 78432 - Grupa 27 - CSM (inventator ing. P.Chioncel - titluș CCSIETM Regiș) înălță deosebit de multe avantajele de mai sus, prin acela că, utilizează niște diode polarizate direct și invers, montate în paralel în piese de răcire din aluminiu, conectate între ele și fixate pe două discuri de sticlostratitex, plesate pe arborele excitatoarei.

In figura 2.23 este reprezentată o secțiune a instalației de redresare rotativă respective, în figura 2.24 c vedere parțială a instalației, iar în figura 2.25 scheme de conexiune a instalației.

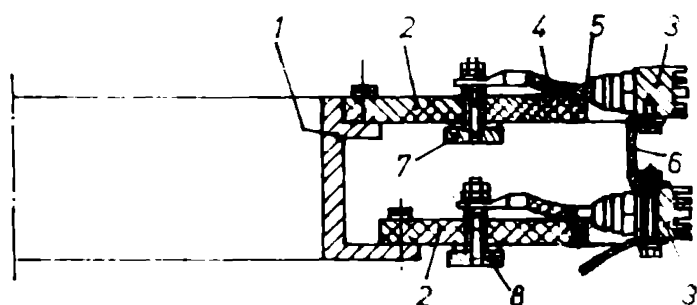


Fig.2.23

Instalația de redresare rotativă se compune (figura 2.23) din butucul (1), pe care se fixează discurile de sticlostratitex (2). Pe acestea se montez pieele de răcire din aluminiu (3), cu cinci diodele polarizate direct (4) și diodele polarizate invers (5). Cele două

piele de răcire aferente fiecărui fază, sunt conectate prin legătura (6). Tensiunile și curentul redresat sunt colectate de inele (7) și (8) reprezentate simbolic în figura 2.25 și sunt transmise direct înășurării rotorice a generatorului principal (9). Alimentarea instalației de redresare rotitoare se realizează cu tensiunile și curentii alternativi din fazele a...m, al indușului excitatoarei polifazate conectate în poligon. (10).

Diodele redresare polarizate direct (4), montate cîte două în paralel pe o piesă de răcire (3) și cele polarizate invers, montate de asemenea pe o piesă de răcire identică (3), plasată simetric pe celălalt disc de sticlostratitex (2), corespund

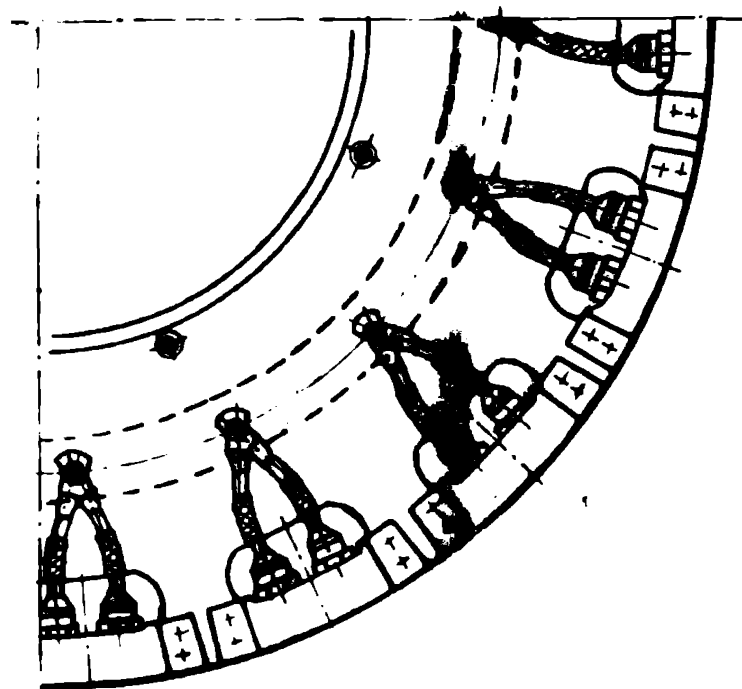


Fig. 2.24

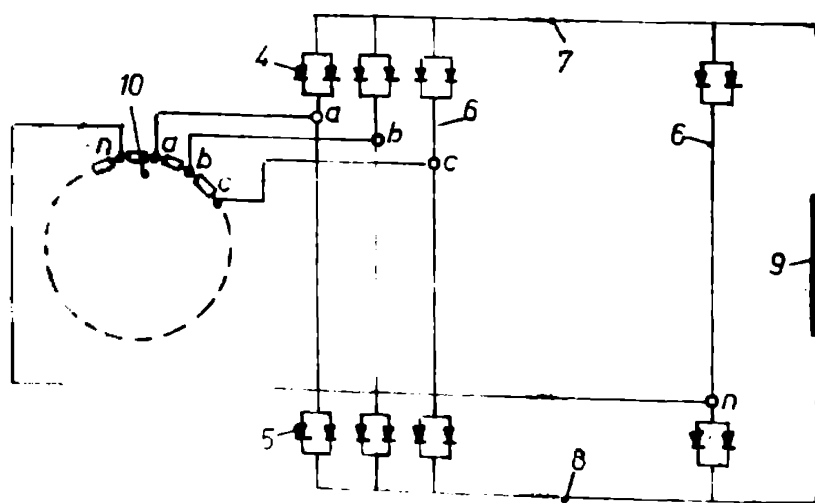


Fig. 2.25

cite unei faze din indisul emittatorului și sint conectate între ele, respectiv la anelele (7) și (8), conform schemiei de conexiuni a instalației din figura 2.23.

Prin aplicarea învenției se obțin următoarele avantaje: se reduc greutatea instalației de redresare, în comparație cu cele cu inel supus din cîteal, menținind greutatea de ensamblu a emittatorului polifazat cu redresor rotativ; prin realizarea conexiunii între părțile de răcire, se obține o soluție constructivă compactă și rigidă, asigurînd totodată posibilitatea introducerii diodelor în paralel și din instalație se obține o tensiune și un curent redresat cu un factor de conducție mai redus decit în cazul pentii trifazate de redresare.

Instalație de redresare rotativă conform brevetului de învenție existent s-a aplicat pentru prima dată la emittatorul sincron polifazat care echipase hidrogeneratorul de 160000 kW, 500 rpm de la centrala hidroelectrică de pe Râul Mare Petrenat, cele mai mari unități realizate pînă în prezent în lume noastră în concepție proprie.

Emittatorul sincronă polifazată cu instalație de redresare rotativă cu comutator serie pentru CNE Râul Mare Petrenat s-a executat la întreprinderile de Construcții de Mașini Regita unde s-a făcut încercare, obținindu-se parametrii din proiect atât în regim nominal (tensiuni, curenti, factor de utilizare, etc.) cât și în regimurile transitorii (tensiuni de forțare, viteze de excitație, etc.).

#### 2.4. Emittatoare sincrone

Emittatoarele se caracterizează, după cum s-a mai arătat anterior, printr-o dimensiunea mai largă a circuitului magnetic, în scopul asigurării unor constante de timp și viteză de răspuns minime; valurile corespunzătoare setării se ating doar în cîndul procesului de forțare a emittatorului, pe o perioadă de timp scurtă, de ordinul secundelor.

În funcționarea emittatorului care se studiază, în domeniul larg în care circuitul magnetic este rezonant, se poate face ca de fapt linieră, cînd se poate considera că parametrii mașinii (resistențe și inducțivități) sunt constanți.

Emittatoarele sincrone, (pentru a obține o reperție precisă sincronismul, spațial pe periferia mașinii), de tipul considerat, se intrefieră variabil în lungul trilpii polare și prezintă două sau trei simetrie în cadratul electric. Ca urmare în-

densitatea magnetica crestea de stator (inductor) e fixa in spatiu si constanta cu valoare, de forma:

$$B_{x,t} = B_m \cos \frac{\pi}{C} t \quad (34)$$

Pentru ce masina sa prezinte un cimp determinat, inseman ca si cimpul de rezectie trebuie sa fie imobil, respectiv constant cu valoare, rotorul poliferat creand un cimp magnetic rotitor de turatie "n" de sens contrar sensului de rotatie al rotorului astfel ca sa se obtină un cimp magnetic resultant fix in spatiu cu de valoare determinata.

Consideram deci cazul unei excitatocii sincrone care are două axe de simetrie magnetica, (figura 2.26) notate axe "d" si axe "q", in cadrulatură electrică, cu repartitia sinusoidală a inducției magnetice în lungul pasului polor. Pentru a obtine repartitia sinusoidală a sarcinii in lungul pasului polor, redaram masina la una "echivalentă" cu poli plini, avind schema electrică din figura 2.27, (partea rezervată, reprezentând intersticiile care determină rezistențe magnetice diferite după cele două axe) pentru care se admite condițiile:

- circuitul magnetic al masinii este rezervat si are  $\mu_{Fe} = \infty$
- toate inălăturările masinii sunt repartizate sinusoidal de-a lungul pasului polor;
- intrebarul masinii este constant in lungul pasului polor.

Decareea excitatocerei sincrone este utilizată în regim de generator se alege sarcina consumatorilor pozitive pentru influențarea de excitație corespunzător consumatorului, iar pentru influențarea rotorului corespunzător sursei.

In aplicarea teoriei celor două axe, avind în vedere inversarea rotilorui statorului și rotorului, se stabilită condițiile de funcționare ale excitatocerei în sistemul "d"-“q” pentru situația feerică, considerind că masina echivalentă prin care să se jungă la un cas analog cu masina sincronă clasică, aceste condiții fiind deci de concepție originală. În acest sens, se consideră că masina ideală echivalentă din punct de vedere energetic cu masina dată (figura 2.28) caracterizată prin: rotorul (inductorul) imobil și statorul (inductorul) exterior lui mobil rotindu-se cu turatie "n", în sens invers celui cu care se rotește rotorul în realitate, (astfel ca sensul și valoarea relativă a turării influențării din indus, fapt de casă inducătoare să rămână nechimbată).

În acest cas se poate lucea cu axa de referință "d", sau

fazei I și infășurării inducării. Acea fază zotorie de ordinul " $\lambda$ " face unghiul " $\varphi_\lambda$ " cu axa de referință, unde ( $\varphi_1 = 0$ )

$$\varphi_\lambda = (\lambda - 1) \frac{2\pi}{m} \quad (35)$$

neșine fiind simetrică.

Deci, în cazul convenției săntite mai sus, a înlocuirii neșinii cu una având statoreul "rotitor" invers, în motorul mașinii echivalente (deci  $m=3$ , rotor trifazat), conform modului de manifestare a cimpului de rezetărie, există două infășurări mobile, după axa "d" respectiv "q", care se rotesc cu turăție "n" și sint "m" faze fixe (cas particular:  $m=3$  faze decelate cu  $120^\circ$  electrice), corespunzând fluxurilor de dispersie. De aceeași neșine din figura 2.28 are același întrefier, același diametru și același număr de perechi de poli ca neșina din figura 2.27.

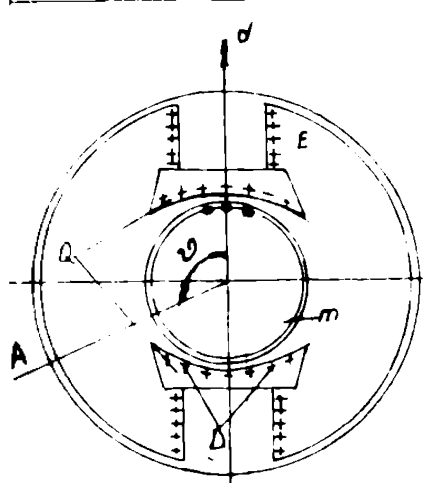


fig. 2.26

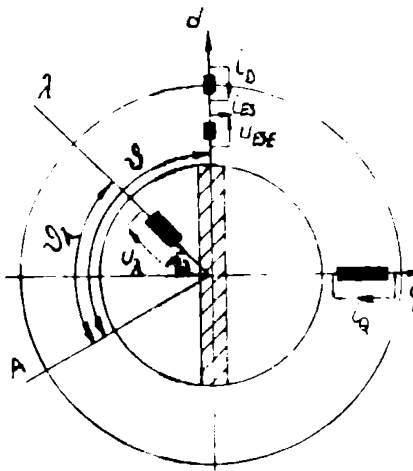


fig. 2.27

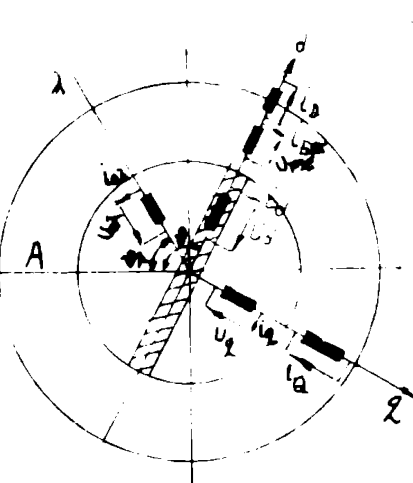


fig. 2.28

In cazul regimului transitoriu al neșinii, curentii, tensiunile și unghiul de poziție " $\varphi$ " variază în timp.

Considerăm faza zotorie de ordinul " $\lambda$ ", infășurările "d", "q", "e", infășurarea de emisăție "E" și infășurarea de amortisare echivalentă cu două infășurări separate scurtațuite "D" și "Q" și notăm:

$R_d; R_q; R_e; R_D; R_Q; R_E$  - rezistențele electrice ale infășurărilor d, q, e, D, Q, E;

$U_d; U_q; U_e; U_{DE}$  - tensiunile la borne

$I_d; I_q; I_e; I_D; I_Q; I_E$  - numărul de spire corespunzătoare "p" - numărul perechilor de poli

Pentru faza " $\lambda$ " a neșinii reale (figura 2.27) avem:

$$U_{ES\lambda} = -R_i I_{ES\lambda} - \frac{d\psi_{ES\lambda}}{dt} \quad (36)$$

Pentru infășurarea de emisie din stator cu curențor de "circuit receptor":

$$U_{SE} = R_{SE} I_{SE} + \frac{d\psi_{SE}}{dt} \quad (37)$$

Numerele de spire  $N_s$ ,  $N_d$ ,  $N_q$ ,  $N_o$  pot fi alese arbitrar, dar pentru simplificarea calculilor se consideră:

$$N_o = N_d = N_q = N \quad (38)$$

Ecuațiile ensemblului rotor-stator rezultă pe baza ecuațiilor de transformare a curentilor, tensiunilor și fluxurilor stabilită între situația reală (n-faze în rotor) și situația echivalentă dorită cu 2 infășurări fictive, în axele "d" și "q".

Ecuațiile de transformare a curentilor rotorei rezultă din condiția egalității solenoidilor, între mașina reală și mașina echivalentă (B 2.2):

$$\begin{aligned} i_d &= \sum_{\lambda=1}^m i_{ES\lambda} \cos(\vartheta - \vartheta_{\lambda}) \\ i_q &= -\sum_{\lambda=1}^m i_{ES\lambda} \sin(\vartheta - \vartheta_{\lambda}) \end{aligned} \quad (39)$$

$$i_{o\lambda} = i_{ES\lambda} - \frac{2}{m} \sum_{\lambda=1}^m i_{ES\lambda} \cos(\vartheta_{\lambda} - \vartheta_{\lambda})$$

$$i_y = \frac{2}{m} [i_d \cos(\vartheta - \vartheta_y) - i_q (\vartheta - \vartheta_y)] + i_{o\lambda}$$

Ecuațiile de transformare a tensiunilor din rotor, rezultă din condiția ca sume potențialor electrice ale infășurărilor mașinii reale să fie egale cu sume potențialor electrice ale infășurărilor mașinii echivalente (B 2.2).

$$\begin{aligned} U_d &= \frac{2}{m} \sum_{\lambda=1}^m U_{ES\lambda} \cos(\vartheta - \vartheta_{\lambda}) \\ U_q &= -\frac{2}{m} \sum_{\lambda=1}^m U_{ES\lambda} \sin(\vartheta - \vartheta_{\lambda}) \\ U_{o\lambda} &= U_{ES\lambda} - \frac{2}{m} \sum_{\lambda=1}^m U_{ES\lambda} \cos(\vartheta_{\lambda} - \vartheta_{\lambda}) \end{aligned} \quad (40)$$

$$U_{ES\lambda} = U_d \cos(\vartheta - \vartheta_{\lambda}) - U_q \sin(\vartheta - \vartheta_{\lambda}) + U_{o\lambda}$$

Ecuțiile de transformare a fluxurilor din rotors în  
multă din condiție egalității energiilor magnetice fiind, similar  
aze cu ecuațiile tensionilor (3.22)

$$\begin{aligned}\psi_d &= \frac{2}{m} \sum_{\lambda} \psi_{es\lambda} \cos(\vartheta - \vartheta_{\lambda}) \\ \psi_2 &= -\frac{2}{m} \sum_{\lambda} \psi_{es\lambda} \sin(\vartheta - \vartheta_{\lambda}) \\ \psi_{o2} &= \psi_{es2} - \frac{2}{m} \psi_{es\lambda} \cos(\vartheta_{\lambda} - \vartheta_2) \\ \psi_{es2} &= \psi_d \cos(\vartheta - \vartheta_2) - \psi_2 \sin(\vartheta - \vartheta_2) + \psi_{o2}\end{aligned}\quad (41)$$

Inlocuind  $\psi_{es\lambda}$ ,  $i_{es\lambda}$ ,  $\psi_{es2}$  din (39, 40, 41) în (36) și punând  
condiție de egalitatea (36) să fie satisfăcută indiferent de ve-  
lorile lui " $\vartheta$ ",

$$\begin{aligned}u_d \cos(\vartheta - \vartheta_2) - u_2 \sin(\vartheta - \vartheta_2) + v_{o2} = & -\frac{2}{m} R_i d \cos(\vartheta - \vartheta_2) + \frac{2}{m} R_i q \sin(\vartheta - \vartheta_2) - \\ & - R_i o_2 - \frac{d\psi_d}{dt} \cos(\vartheta - \vartheta_2) + \psi_2 \frac{dv}{dt} \sin(\vartheta - \vartheta_2) + \\ & + \frac{d\psi_2}{dt} \sin(\vartheta - \vartheta_2) + \frac{1}{2} \frac{d\psi}{dt} \cos(\vartheta - \vartheta_2) - \\ & - \frac{d\psi_{o2}}{dt}\end{aligned}\quad (42)$$

Notăm:

$$R_d = R_q = \frac{2}{m} R_i \quad R_{o2} = R$$

și punem condiție ca, factorii care înmulțesc pe  $\sin(\vartheta - \vartheta_2)$ ,  
 $\cos(\vartheta - \vartheta_2)$  și sume termenilor liberi să fie nuli atunci rezultă  
(42) devine echivalentă cu:

$$\begin{aligned}u_d &= -R_d i_d - \frac{d\psi_d}{dt} + \psi_2 \frac{dv}{dt} \\ \therefore u_2 &= -R_2 i_2 - \frac{d\psi_2}{dt} - \psi_2 \frac{dv}{dt} \\ v_{o2} &= -R_{o2} i_{o2} - \frac{d\psi_{o2}}{dt}\end{aligned}\quad (43)$$

care reprezintă coeștiile dintre curenti și tensiuni pentru înțepările rotorice ale mașinii echivalente.

Pentru înțepările statorice ale mașinii echivalente coeștiile de transformare se deduc din cele ale mărimilor rotorice în care se face  $\omega = 0$ .

Ecuțiile mașinii echivalente, la care fluxurile se reprezintă prin inducțivitățile proprii și mutuale la care se adaugă și coeștia mișcării sunt:

$$U_d = -R_d i_d - \frac{d\psi_d}{dt} + \psi_2 \frac{di}{dt}$$

$$\psi_d = L_{dd} i_d + L_{dd} i_D + L_{Ed} \psi_{ESE}$$

$$U_q = -R_q i_q - \frac{d\psi_q}{dt} - \psi_d \frac{di}{dt}$$

$$\psi_q = L_{q2} i_q + L_{q2} i_Q$$

$$U_{02} = -R_{02} i_{02} - \frac{d\psi_{02}}{dt}$$

$$\psi_{02} = L_{02} i_{02} \quad (44)$$

$$U_{ESE} = R_{ESE} i_{ESE} + \frac{d\psi_{ESE}}{dt}$$

$$\psi_{ESE} = L_{qQ} i_q + L_{qQ} i_Q$$

$$0 = i_{02} i_{02} + \frac{d\psi_{02}}{dt}$$

$$\psi_{ESE} = L_{dE} i_d + L_{dE} i_D + L_{EE} i_{ESE}$$

$$0 = R_E i_E + \frac{d\psi_E}{dt}$$

$$\psi_E = L_{d0} i_d + L_{d0} i_D + L_{ED} i_{ESE}$$

$$M_m = p(i_d \psi_q - i_q \psi_d) + \frac{J}{p} \frac{d^2 \vartheta}{dt^2}$$

Deoarece, după cum s-a văzut la studiul înțepărilor de inducție al excitatoarei, nu este necesară prevederea înțepărilor de emeritare ( $D, Q$ ); cu atât mai mult cu cît acestea străge după unele pierderi suplimentare, care apar chiar în același înțepere, iar din punctul de vedere al vitezei de răspuns al excitatoarei, înțepările de emeritare este un element dezavantajabil, deoarece se opun variațiilor rapide ale fluxului înțepând că, ecuațiile (44) obțin în cazul excitatoarei studiate forme mai simple:

$$U_d = -R_d i_d - \frac{d\psi_d}{dt} + \psi_2 \frac{di}{dt}$$

$$\psi_d = L_{dd} i_d + L_{Ed} \psi_{ESE}$$

$$U_q = -R_q i_q - \frac{d\psi_q}{dt} - \psi_d \frac{di}{dt}$$

$$\psi_q = L_{q2} i_q$$

$$U_{02} = -R_{02} i_{02} - \frac{d\psi_{02}}{dt}$$

$$\psi_{02} = L_{02} i_{02}$$

$$U_{ESE} = R_{ESE} i_{ESE} + \frac{d\psi_{ESE}}{dt}$$

$$\psi_{ESE} = L_{dE} i_d + L_{EE} i_{ESE}$$

$$M_m = p(i_d \psi_q - i_q \psi_d) + \frac{J}{p} \frac{d^2 \vartheta}{dt^2}$$

(45)

Ecuațiile sunt scrise în valori momentane cu o variație corectă în raport cu timpul. În timpul proceselor electromagnetice transitorii (fortare, desaxitare), variație rămâne aproape constantă, variind puțin, în care caz se poate admite:

$$\frac{d\vartheta}{dt} = \text{const.} \quad \text{unde} \quad \vartheta = \omega t$$

În acest caz se utilizează calculul operațional (transformata Leplace-Carson) plecind de la ecuațiile (45) scrise în mărini reportate (de obicei notate cu litere mici):

$$\begin{aligned} u_d &= -r_d i_d - \frac{d\psi_d}{dt} + \psi_2 \frac{di}{dt} & \psi_d &= x_d i_d + i_{ESE} \\ u_2 &= -r_2 i_2 - \frac{d\psi_2}{dt} - \psi_d \frac{di}{dt} & \psi_2 &= x_2 i_2 \\ u_{o2} &= -r_{o2} i_{o2} - \frac{d\psi_{o2}}{dt} & \psi_{o2} &= x_{o2} i_{o2} \\ u_{ESE} &= i_{ESE} + T_{ESE} \frac{d\psi_{ESE}}{dt} & \psi_{ESE} &= x_d (1 - \bar{\gamma}_{DE}) i_d + i_{ESE} \end{aligned} \quad (46)$$

Ecuația momentului nu s-a scris fiind o ecuație de determinare și lui "u<sub>d</sub>" cind flumurile și curentii sunt cunoscuți.

În ecuațiile (46) s-au notat măriniile reportate: (notări per-unitate):

$$U_d = \frac{U_{do}}{\sqrt{2} U_{dn_0}} ; \quad i_d = \frac{i_{do}}{\sqrt{2} I_{dn_0}} ; \quad \psi_d = \frac{\psi_{do} \omega_{n_0}}{\sqrt{2} U_{dn_0}} ; \quad \psi_2 = \frac{\psi_{2o} \omega_{n_0}}{\sqrt{2} U_{dn_0}} ; \quad r_d \cdot R_d \cdot \frac{I_{dn_0}}{U_{dn_0}}$$

$$t = \omega_{n_0} t_0 ; \quad U_2 = \frac{U_{2o}}{\sqrt{2} U_{2n_0}} ; \quad i_2 = \frac{i_{2o}}{\sqrt{2} I_{2n_0}} ; \quad r_2 = R_2 \cdot \frac{I_{2n_0}}{U_{2n_0}} ; \quad U_{o2} = \frac{U_{o2o}}{\sqrt{2} U_{dn_0}}$$

$$i_{o2} = \frac{i_{o2o}}{\sqrt{2} I_{dn_0}} ; \quad r_{o2} = R_{o2} \cdot \frac{I_{dn_0}}{U_{dn_0}} ; \quad \psi_{o2o} = \frac{\psi_{o2o} \omega_{n_0}}{\sqrt{2} U_{dn_0}} ; \quad u_{ESE} = \frac{U_{ESE} \omega_{n_0} L_{Edo}}{\sqrt{2} U_{dn_0} R_E}$$

$$L_{ESE} = i_{ESE} \cdot \frac{L_{Edo}}{\sqrt{2} U_{dn_0}} ; \quad T_{ESE} = \frac{\omega_{n_0} L_{EEo}}{R_E} ; \quad \psi_{ESE} = \psi_{ESEo} \frac{\omega_{n_0} L_{Edo}}{\sqrt{2} U_{dn_0} L_{EEo}}$$

$$x_d = \frac{L_{do} \omega_{n_0} I_{dn_0}}{U_{dn_0}} ; \quad x_2 = \frac{L_{22o} \omega_{n_0} I_{2n_0}}{U_{2n_0}} ; \quad x_{o2} = \frac{L_{o2} \omega_{n_0} I_{dn_0}}{U_{dn_0}}$$

$$\bar{\gamma}_{DE} = 1 - \frac{L_{Edo} \cdot L_{Edo}}{L_{do} \cdot L_{EEo}} ; \quad w = \frac{w_0}{\omega_{n_0}}$$

La transpunerea ecuațiilor (46) în planul variabilei complexe "p" prin intermediul funcțiilor imagine, se respectă următoarele convenții:

- pentru simplificarea scrierii se neglijescă indicele care arată expresarea mărimilor în unități relative și notelele pentru funcțiile imagine;
- unitățile de bază pentru rotor sunt alese astfel încât la trecerea în coordonate "d", "q" să se asigure relații de reciprocitate pentru inductivitățile mutuale dintre stator și rotor.

Ecuatiile în planul variabilei complexe "p" prin intermediul funcțiilor imagine devin:

$$U_d = -r_d i_d - p(\psi_d - \psi_{d_0}) + \omega \psi_q \quad \psi_d = x_d i_d + i_{ESE}$$

$$U_q = -r_q i_q - p(\psi_q - \psi_{q_0}) - \omega \psi_d \quad \psi_q = x_q i_q$$

$$U_{02} = -r_{02} i_{02} - p(\psi_{02} - \psi_{02_0}) \quad \psi_{02} = x_{02} i_{02}$$

$$U_{ESE} = i_{ESE} + T_{ESE} p(\psi_{ESE} - \psi_{ESE_0}) \quad \psi_{ESE} = x_d (1 - \tilde{\sigma}_{dE}) i_d + i_{ESE}$$

unde mărimile sint de forma:

$$U_d(p) = p \int_0^\infty U_d(t) e^{-pt} dt.$$

### Capitolul III

#### OPERAREA EXCITATOAREI SINCRONE CU DIODE ROTATIVE IN REGIM TRANSITORIU

- 3.1. Modelarea automată a excitatoarei sincrone care lucrează pe principiu din redresor pentru studiul procesului de comutare și al regimurilor transitorii

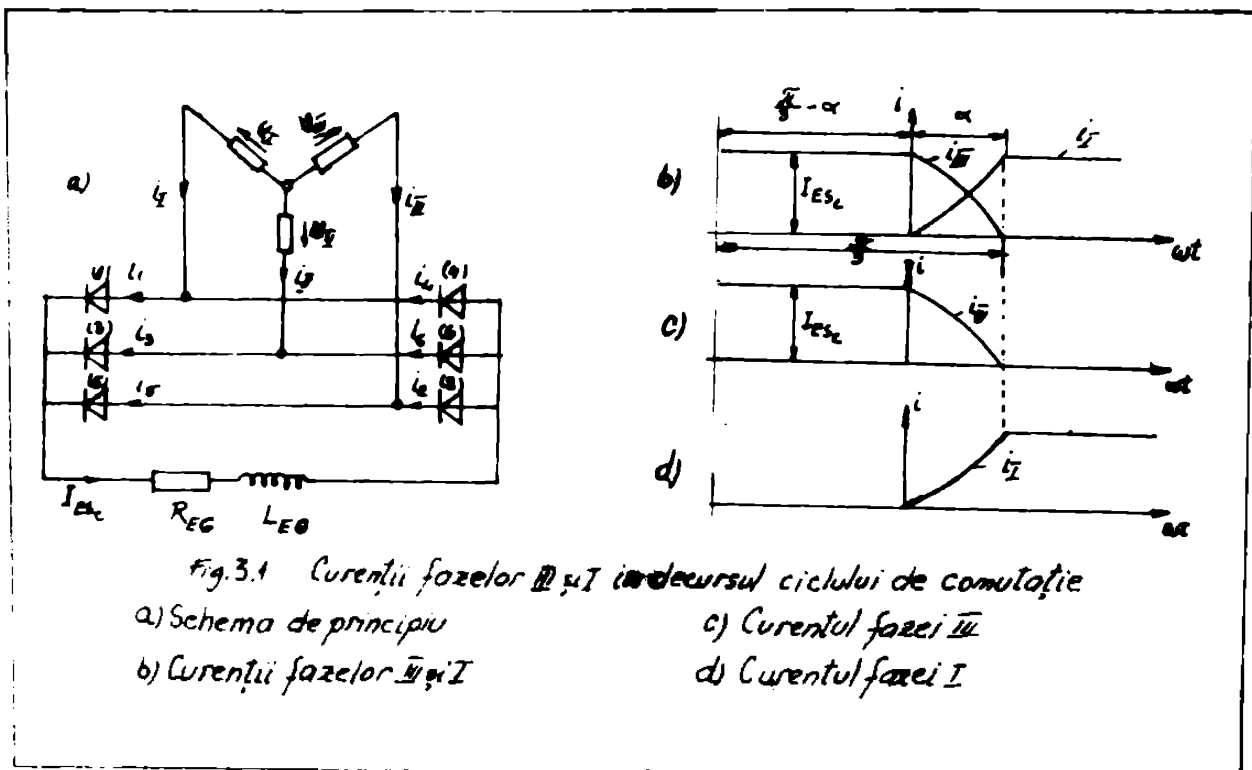
Analizarea funcționării excitătoarei sincrone cu redresor rotativ se reduce de fapt la examinarea modului de funcționare a unui generator sincron, "inversat", care debitează pe o sarcină constituită din înălțătoarea rotativă a generatorului sincron principal, printr-un redresor rotativ cu diode.

Pentru calculul curentilor și tensiunilor excitătoarei sincrone, așa cum rezultă din ecuațiile (47) stabilite pentru regimul transitoriu în teoria celor două axe (Park), este necesar să se cunoască un număr mare de parametrii (rezistențe și reactanțe), care se determină cu relațiile cunoscute de la mașinile sincrone, particularizate pentru situația circuitului magnetic la care rotorul este inducă și statorul inducător.

Se va analiza mai întâi, procesul de comutare la excitătoarea sincronă cu diode rotative și apoi procesele transitorii în casul generatoarelor sincrone prevăzute cu acel sistem de excitare.

Determinarea curentilor și tensiunilor sistemului de excitare este complexă, din cauzele dependenței procesului de comutare și redresorului de poziție unghiulară a rotorului și necesitatea determinării reacției inducători corespondente formei neuniforme a curentilor din inducă. Urmărind, de exemplu în schema trifazată în penta (figura 3.1.2) comutarea curentului de pe ventilul "5" pe ventilul "1" sau de pe fază III pe fază I. În timpul comutării curentii variază în faze, așa cum se vede în figura 3.1.6.

Acești curenti se pot descompune în părțile continuu și respectiv variabile, ca în figura 3.1.c,d. Din acestă figură rezultă că, curentul în fază I este curentul de secundăcircuit bifazat bruse, iar curentul în fază II este suma curentului de secundăcircuit și componentă continuă  $I_{SC}$ . De asemenea se va utiliza metoda suprapunerei și se examinează cele două procese: trecerea curentului continu și a celui de secundăcircuit bruse. În intervalul de timp pre-



mergător comutator, pe fazele II și III opere curențul continuu. De aceea curențul continuu parcurge aceste faze în decursul întregului ciclu de comutare.

La trecerea curențului continuu prin fazele II și III se diferenție rezultată este doar mai mare decât amplitudinea uleiului la trecerea curențului de fază. Tinând seama de acestor se pot determina fluxurile totale ale fazelor I, apoi a fazelor II și III (B 70) de formă:

$$\begin{aligned}\psi_I &= \frac{x_2'' - x_d''}{\sqrt{3}} I_{ESc} \sin 2wt \\ \psi_{II} &= -\frac{x_2'' + x_d''}{2} I_{ESc} - \frac{x_2'' - x_d''}{\sqrt{3}} I_{ESc} \sin \left(2wt + \frac{\pi}{3}\right) \quad (48) \\ \psi_{III} &= \frac{x_2'' + x_d''}{2} I_{ESc} - \frac{x_2'' - x_d''}{\sqrt{3}} I_{ESc} \sin \left(2wt - \frac{\pi}{3}\right)\end{aligned}$$

unde "wt" este unghiul axei fazei I față de axa "d", iar frecvența în același sens este dublă. Cum se observă din expresia fluxurilor totale, la rotația rotorului ele se modifică. De aceea, trecerea curențului continuu induce, prin variație fluxurilor tensiuni electromotoare în infișurile inducătoare:

$$\begin{aligned}
 U_{C_1} &= -\frac{d\psi_1}{dt} = -2 \frac{x_2'' - x_d''}{\sqrt{3}} I_{ES_c} \cos 2\omega t \\
 U_{C_2} &= \frac{d\psi_2}{dt} = 2 \frac{x_2'' - x_d''}{\sqrt{3}} I_{ES_c} \cos(2\omega t + \frac{\pi}{3}) \\
 U_{C_{II}} &= \frac{d\psi_{II}}{dt} = 2 \frac{x_2'' - x_d''}{\sqrt{3}} I_{ES_c} \cos(2\omega t - \frac{\pi}{3})
 \end{aligned} \tag{49}$$

Dar în timpul procesului de comutare prin fazele I și III tragecurentul "i" (figura 3.1). Solenoiile fazelor I și III determinate de acest curent sunt deci alate cu unghiul "2π/3", fără de solenoiile fazelor II și III arătate mai sus. Fluxurile determinate de curentul "i" sunt : (B.70) :

$$\begin{aligned}
 \psi_1 &= \frac{x_2'' + x_d''}{2} i - \frac{x_2'' - x_d''}{\sqrt{3}} i \sin(2\omega t + \frac{\pi}{3}) \\
 \psi_2 &= \frac{x_2'' - x_d''}{\sqrt{3}} i \sin(2\omega t - \frac{\pi}{3}) \\
 \psi_{II} &= -\frac{x_2'' - x_d''}{2} i + \frac{x_2'' - x_d''}{\sqrt{3}} i \sin 2\omega t
 \end{aligned} \tag{50}$$

Acestea produc în timpul comutării în infășurările indușului tensiunile electromotoare  $U'_{C_1}$ ,  $U'_{C_2}$  și  $U'_{C_{II}}$  de forma : (B.70)

$$\begin{aligned}
 U'_{C_1} &= -P \left[ \frac{x_2'' + x_d''}{2} i - \frac{x_2'' - x_d''}{\sqrt{3}} i \sin(2\omega t + \frac{\pi}{3}) \right] \\
 U'_{C_2} &= -P \left[ \frac{x_2'' - x_d''}{\sqrt{3}} i \sin(2\omega t - \frac{\pi}{3}) \right] \\
 U'_{C_{II}} &= P \left[ \frac{x_2'' - x_d''}{2} i - \frac{x_2'' - x_d''}{\sqrt{3}} i \sin 2\omega t \right]
 \end{aligned} \tag{51}$$

În timpul comutării tensiunile fazelor excitatoare rezultă prin însumarea tensiunilor date de relațiile (49) și (51) :

$$\begin{aligned}
 U_{E_{C_1}} &= U_{C_1} + U'_{C_1} \\
 U_{E_{C_2}} &= U_{C_2} + U'_{C_2} \\
 U_{E_{C_{II}}} &= U_{C_{II}} + U'_{C_{II}}
 \end{aligned} \tag{52}$$

Să poate determina apoi valoarea medie a tensiunii redresate  $U_g$  (B.70) prin integrarea :

$$U_{ES_c} = \frac{3}{\pi} \int (U_{E_{C_1}} - U_{E_{C_{II}}}) dt \tag{53}$$

diferenței de tensiune "U<sub>E<sub>C<sub>1</sub></sub></sub> - U<sub>E<sub>C<sub>II</sub></sub></sub>" pe două intervale de timp de la ( $\alpha - \frac{\pi}{3}$ ) la "0" și de la "0" la " $\alpha$ ", decarece prezintă salt în momentul conectării ventilului 1.

Determinarea reactiei de indus necesita si cunosterea curentului de comutatie  $i=f(t)$ .

Curentul "i" pe timpul comutatiei variaza dupa o lege foarte complexa, rezultatele obtinindu-se sub forma unor sisteme de ecuatii algebrice si trigonometrice a căror rezolvare se face sub forma numerică (B 7o). Complicarea caracterului de variatie al curentului "i" rezulta in primul rand din dependenta impedantei de pozitia unghiulara a inductorului si in al doilea rand din aceea ca trecerea curentului continuu redresat, prin variatia de flux, determina tensiuni electromotoare induse suplimentare in infasurările inducute.

Formulele pentru curentul "i" in timpul comutatiei se pot simplifica, dacă curentul se descompune in serie armonica si din aceasta descompunere se retine numai fundamentala si componenta continua. In acestenasi simplificare, curba curentului de fază obtine alt aspect, iar fundamentala curentului de fază se modifica intreumatic, ca valoare si ca defazaj (dar se presupune ca valoarea medie a curentului redresat ramane nemodificata). Daca se tine seama ca, curentul de excitatie al excitatoarei ramane constant, atunci se modifica tensiunile electromotoare induse determinate de procesul de comutatie. De aceea trecind la curba simplificata a curentului se utilizeaza in acelasi timp tensiunile electromotoare induse echivalente sau de calcul.

Neglijind tensiunile electromotoare suplimentare din infasurarile inducute, curentul de comutatie obtine urmatoarea expresie aproximativa (B 7o):

$$i = \frac{\sqrt{2} U_{ex}}{2x_c} [\cos \alpha - \cos(\alpha + \omega t)] \quad (54)$$

unde reactanta de comutatie  $x_c$  care determina durata procesului de comutatie, in cazul excitatoarei fara infasurare de amortizare este:

$$x_c = \frac{x_d' + x_q'}{2} \quad (55)$$

In abordarea generala a studiului proceselor tranzitorii in excitarea sinordonă cu diode rotative se are in vedere că, in timpul acestora, se modifica cimpul de reactie al inducutei atit ca valoare cat si ca directie. Modificarea reactiei de indus ca valoare este cauzata de modificarea curentului redresat " $I_{ES_1}$ " si modificarea reactiei de indus ca directie este data de unghiul de comutatie " $\alpha$ ".

Reactia de indus depinde de fundamentala curentului din indus " $I_{ES_1}$ ", care trebuie introdusa in ecuatiiile excitatoarei.

La excitatoarea sincronă cu diode rotative, prevăzută cu înfășurare de amortizare, pentru studiul proceselor tranzitorii se pot scrie sub formă matricială următoarele ecuații :

$$\begin{bmatrix} U_{ESm\theta} \\ U_{ESc\cos\theta} \\ U_{ES} \\ 0 \\ 0 \end{bmatrix} = \begin{bmatrix} (x_d - x_c)p & x_2 - x_c & x_{ad}p & x_{ad}p & x_{aq} \\ -(x_d - x_c) & (x_2 - x_c)p & -x_{ad} & -x_{ad}p & x_{aq}p \\ x_{ad}p & T_{es} + x_{ad}p & x_{ad} & & \\ x_{ad}p & x_{ad}p & T_{ad} + x_{ad}p & & \\ x_{aq}p & & & x_{ad} + x_{aq}p & \\ \end{bmatrix} \begin{bmatrix} -I_{ES} \sin(\theta + \varphi_i) \\ I_{ES} \cos(\theta + \varphi_i) \\ I_{ES} \\ I_{kD} \\ I_{kQ} \end{bmatrix} \quad (56)$$

In relatiile de mai sus indiciile "k" se referă la circuitul echivalent de amortizare, iar " $\theta + \varphi_i$ ", se referă la unghiul de defazaj dintre fundamentala curentului și componenta tensiunii după axa "d". Reactantele corespondătoare inductivităților mutuale s-au luat aici aceleasi și egale cu " $x_{ad}$ " respectiv " $x_{aq}$ ". Deoarece curentii " $I_{kD}$ " și " $I_{kQ}$ " din circuitul de amortizare se pot elimina, în ecuațiile (56) rămân 5 necunoscute " $U_{ES}$ ", " $I_{ES}$ ", " $\theta, \varphi_i$ " și " $I_{kE}$ ". De aceea pentru determinarea variabilelor arătate sunt necesare două ecuații suplimentare. Pe de altă parte, rezolvarea acestor ecuații trebuie să se facă simultan cu rezolvarea ecuațiilor generatorului principal. Ecuația care leagă generatorul principal cu excitatoarea sincronă cu diode rotative este: (B 7o):

$$x_{ee} p I_{ESc} + R_{EE} I_{ESc} = \frac{3\sqrt{3}}{\pi} U_{ESm} - \frac{3}{\pi} x_t I_{ESc} - \left(2 - \frac{3 f_{es}}{2 \pi}\right) r_{es} I_{ESc} - 2 \Delta U \quad (57)$$

Dacă înfășurările imbutului generatorului principal sunt legate la rețea, atunci se utilizează " $x_{EE}$ " - reactanța echivalentă a înfășurării de excitație a acestui generator. Astfel ecuația de mai sus devine (B 7o):

$$x_{ee} p I_{ESc} + R_{EE} I_{ESc} = U_{ESc} \quad (58)$$

Dacă imbutul magnetic al mașinii este saturat se utilizează valoarea dinamică a reacțantei echivalente.

Intre " $U_{ESc}$ " și " $I_{ESc}$ " - pe lîngă ecuația (57) există o legătură suplimentară exprimată prin caracteristica exteroare a redresorului (B 7o):

$$U_{ESc} = \frac{3\sqrt{3}}{\pi} U_{ESm} - \frac{3}{\pi} x_t I_{ESc} - \left(2 - \frac{3 f_{es}}{2 \pi}\right) r_{es} I_{ESc} - 2 \Delta U \quad (59)$$

Reglarea curentului de excitație al generatorului principal se realizează prin modificarea curentului de excitație al excitatoarei sincrone.

Dacă infășurarea de excitare a excitatoarei sincrone cu diode rotative este alimentată, la sfîndul său de la o subexcitație, se poate face un rationament analog și pentru acest grup de mașini (excitatoare - subexcitate) în vederea obținerii ecuațiilor ca și pentru excitatoare și generatorul principal.

Ecuațiile (56) se simplifică dacă excitatoare sincronă nu are sistem de amortizare (cazul ce se analizează), care intervine în procesul tranzitoriu al generatoarei. În acest caz avem :

$$\begin{bmatrix} U_{ES} \sin \theta \\ -U_{ES} \cos \theta \\ U_{ESE} \end{bmatrix} = \begin{bmatrix} (x_d - x_c)p & x_2 - x_c & x_{ad} p \\ -(x_d - x_c) & (x_2 - x_c)p & -x_{ad} \\ x_{ad} p & r_{es} + x_{es} p & I_{ESE} \end{bmatrix} \cdot \begin{bmatrix} -I_{ESE} \sin(\theta + \varphi) \\ I_{ESE} \cos(\theta + \varphi) \\ I_{ESE} \end{bmatrix} \quad (60)$$

Dacă se tine cont de faptul că în principale două linii ale ecuațiilor (60) termenii care conțin derivate sunt mici în comparație cu ceilalți și se pot neglija, atunci ecuațiile (60) se simplifică și apar sub forma :

$$U_{ES} \sin \theta = (x_2 - x_c) I_{ESE} \cos(\theta + \varphi) \quad (61)$$

$$-U_{ES} \cos \theta = (x_d - x_c) I_{ESE} \sin(\theta + \varphi) - x_{ad} I_{ESE} \quad (62)$$

$$p I_{ESE} = \frac{U_{ES}}{x_{ad}} - \frac{r_{es}}{x_{es}} I_{ESE} + \frac{x_{ad}}{x_{es}} p I_{ESE} \sin(\theta + \varphi) \quad (63)$$

Rezolvarea acestor ecuații se poate executa în următoarea ordine :

- 1) Precizăm valorile initiale ale variabilelor prin condițiile initiale date,
  - 2) Determinăm  $\Delta I_{ESE}$  și  $I_{ESE}$  anoi  $\varphi$ , și  $I_{ESE}$ ,
  - 3) Calculăm "U<sub>ES</sub>" și "θ" cu ecuațiile (61), (62)
  - 4) Calculăm pe "U<sub>ESE</sub>" și cu ecuația (63) determinăm  $p \Delta I_{ESE}$  și apoi  $I_{ESE}$ .
- In cazul general în timpul procesului tranzitoriu valoarea medie a curentului redresat se poate modifica cu valoarea  $\Delta I_{ESE}$ . De aceea trebuie găsite variabilele după o anumită variație instantaneu a curentului "I<sub>ESE</sub>". Valoarea inițială este cunoscută pentru "I<sub>ESE,0</sub>". Din condiția menținării la aceeași valoare a fluxului infășurării de excitare la variația prin salt a lui "I<sub>ESE</sub>", după relațiile (60) rezultă :

$$\Delta I_{ESE} = \frac{x_{ad}}{x_{es}} [(I_{ESE,0} + \Delta I_{ESE}) \sin(\theta_0 + \varphi_0 + \Delta \theta + \Delta \varphi) - I_{ESE,0} \sin(\theta_0 + \varphi_0)] \quad (64)$$

în care "0" indică valoările necunoscutelor înaintea începerii variației regimului.

Pentru "ΔU<sub>ES</sub>" și "Δθ" avem în concordanță cu relațiile (60) :

$$(U_{ES,0} + \Delta U_{ES}) \sin(\theta_0 + \Delta \theta) = (x_2 - x_c) (I_{ESE,0} + \Delta I_{ESE}) \sin(\theta_0 + \varphi_0 + \Delta \theta + \Delta \varphi) \quad (65)$$

$$(U_{ES_0} + \Delta U_{ES}) \cos(\theta_0 + \Delta \theta) \quad (66)$$

Sistemul de ecuații nelinieră are cinci necunoscute și se soluționează de obicei în cazuuri numerice după care se determină necunoscutele:  $U_{ES_0} + \Delta U_{ES}$ ;  $I_{ES_0} + \Delta I_{ES_0}$ ;  $I_{ESE_0} + \Delta I_{ESE_0}$ ;  $\theta_0 + \Delta \theta$ ;  $\varphi_0 + \Delta \varphi$ .

Metodica generală prezentată pentru studiul proceselor transitorii la aceste mașini este dificil de aplicat în situațiile uneor situații specifice ca de pildă: problema forțării excitației cu determinarea vitezei de excitație și a desexcitației rapide a excitatorului. De asemenea, în analizarea acestor procese transitorii se vor admite unele ipoteze simplificătoare valabile în situațiile particulare tratate, iar relațiile stabilate vor avea aplicabilitatea generală la proiectarea excitatorului sincron sau diode rotative.

### 3.2. Studiul posibilităților de obținere a unei viteză de excitație corespunzătoare a sistemului de excitație

Regimurile năstăjionare cunoscute anterior (forțării excitației, viteza de excitație și desexcitație rapidă a excitatorului sincron sau diode rotative), se vor analiza mai jos în funcție de importanța lor pentru buna funcționare a generatoarelor din centralele electrice.

Pentru a obține o funcționare stabilă a generatorelor sincrone, în special cind acestea debitează peste transformatoare, pe liniile lungi, care înrăutățesc în general condițiile de stabilitate, se impune sătul rapiditatea sistemului de excitație, exprimată printr-o constantă de timp de substituție pentru întregul sistem de excitație săt mai mică, săt și o tensiune plasă săt mai ridicată. Împlinind aceste condiții se poate admite un raport de mera în gol și de scurtecircuit al generatoresului sincron săt mic (raportul de mera în gol și de scurtecircuit, reprezentând raportul dintre curentul de excitație la mera în gol, respectiv la mera în scurtecircuit sau în sistemul de excitație corespunzător curentului nominal din stator în scurtecircuit trifazat stabilisat) obținând astfel o mașină cu dimensiuni săt mici și deci săt ieftină.

Viteza de excitație prezintă importanță practică doar după primele oscilații, care apar în urmă uneor desenjocante la

funcționarea în paralel, sistemul de excitație al generatorului sincron trebuie să permită revenirea tensiunii rezultante polare ( $U_{PG}$ ) la valoarea inițială și chiar să crească scurtătempor, astfel încât să întindă valoarea transitorie ( $U'_{PG}$ ) după 0,5 sec. de la începerea fazației.

In cazul scurtecircuitelor trifazate ale generatoarelor sincrone rolul preponderent îl au instalațiile de protecție și deconectare rapida, viteza sistemului de excitație având un rol important după întârzierea evenimentului. In timpul scurtecircuitului curentul de excitație trebuie să se adreseze, astfel ca fluxul magnetic generated al generatorului sincron să decapiteze transitorie a intensității statorice și săibă valori sit mai mari în momentul intrerupării scurtecircuitului.

Din cauza scăderii tensiunii generatorului sincron în momentul scurtecircuitului, regulatorul de tensiune, detectând reacția inversă, intră în acțiune și în consecință curentul debitat de excitatoare începe să crească pînă să ajunge la valoarea maximă.

Forțarea excitației impiedică scăderea rapidă a curentului de excitație al generatorului și menține curentul de excitație și deci t.e.m. a generatorului la o valoare ridicată necesară.

La scurci de sarcină mașina sincronă conectată la rețea pendulare, ceea ce poate determina modificarea excitației detectată reacției regulatorului automat de tensiune, sistemul de excitație putând determina creșterea oscilațiilor și deconectarea de la rețea a mașinii. Pentru a evita aceasta, pe lîngă sărurile emitor-șăruri mașinii sincrone se întărește reacția sistemului de excitație, dar acesta strage și o mică porcare a vitezei de excitație la scurcii grele, însă soluțiile cele mai noi sunt prevăzute cu dispozitive de sucurtire a pendularilor sau de stabilizare.

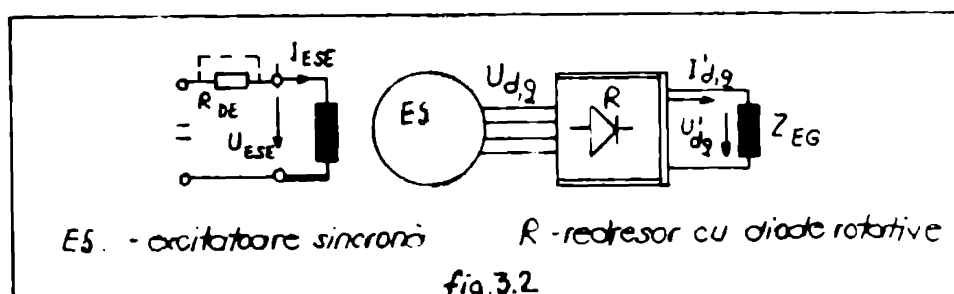
Menținerea constantă a tensiunii la baza, sit și a impulsului generatorului sincron în regim nominal și de eversie imponă sistemuui de excitație o serie de cerințe ca: întărirea la regulator să fie neglijabilă, constanta de timp a excitației să fie mică, viteza de creștere a excitației sit mai mare și tensiunea plateau să fie ridicată.

În determinarea vitezei de excitație a sistemului de excitație, viteza de reacție a celorlalte elemente (regulator, dispozitiv de comandă, convertitor cu tiristori, etc.) fiind neglijabile, viteza de excitație a sistemului de excitație se reduce pre-

tie la aceea a vitezei de reacție a excitatoarei.

Spre deosebire de excitatoarele de curenț continuu, la care reacția inducării este în general neglijabilă și deci viteza de excitație la maza în același se poate confunda cu cea de maza în gol, într-o excitatoră sincronă cu redresor rotativ, efectul reacției inducării excitatoarei asupra fluxului din întrefoize este acelăidian celui dintr-un generator sincron clasic funcționând la "cos φ" sprepe de unitate și deci viteza de excitație în același este dinințită față de cea la maza în gol. (B 57).

Studiuul procesului transitoriu particular, de forțare a excitației se face, emulsind funcționarea unui generator sincron, care lucrează pe același principiu redresor, la turăție constantă. (figura 3.2.).



Pentru determinarea vitezei de excitație se vor folosi ecuațiile de funcționare stabilite în sezionele (47), la care se adaugă ecuațiile corespondente înălțurării de excitație a generatoarelor principale (aceleiași excitatoarei) serise în sistemul "d", "q". Pentru aceste expriamă funcția de transfer  $U_{d,q}(p)$  în următoarele ipoteze:

- excitatoarea funcționează la parametrii nominali: (tensiuni,  $U_{BS}$ ,  $U_{ESE}$ , curenți  $I_{BS}$ ,  $I_{ESE}$  etc.) cunoscute;
- în momentul t=0 se produce o creștere bruscă a tensiunii de excitație a excitatoarei de la valoarea  $U_{BS}$  la valoarea  $U_{BSq}$  de faze, dată;
- în ecuațiile serise în complex, vor neglija componentele homopolare, care sunt de valoare egală pentru fiecare fază și se comportă în mod diferit de componentele d, q; ele nu produc un cimp rotitor, iar moșina reprezentată pentru ele e simplă impedanță. Sunt componenteles Park (d, q), ce și e calea simetrică de acvență directă și inversă, în sistemul de coordonate adoptat, reprezentă un fenomen rezultant "y" (sau  $j_0$  sau  $\psi$ ) care se determină din rela-

urile date "U\_d" și "U\_q" este că: (B 13)

$$U = \operatorname{Re}\{U_d\} + j \operatorname{Im}\{U_d\} \text{ sau } U_d = U \quad U_2 = jU \quad (67)$$

- în baza teoremei suprapunerii efectelor și pentru simplificarea sistemului de ecuații, admitem pentru momentul t=0 condiții nule adică în (47) vom face:  $\psi_{d_0} = \psi_{q_0} = \psi_{E_0} = 0$

În acest caz, necunoscutele  $U_{d,q}$ ,  $I_{d,q}$ , și  $\psi_{d,q}$ , care reprezintă variațiile acestor mărini ca se adaugă velocilor inițiale date;

- redresorul rotativ care poate fi în conexiune paralel (de obicei punct trifazat cu dublă redresare), sau în conexiune serie (tip punct poligonul) este un element neinertial, care intervine deasupra unui factor de modificare a tensiunii și curentului, din alternativ în continuu (redresat), dependant de tipul redresorului și se caracterizează prin ecuații:

$$\begin{aligned} U_d' &= k_1 U_d \\ U_2' &= k_2 U_2 \\ I_d' &= k_2 I_d \\ I_2' &= k_2 I_2 \end{aligned} \quad (68)$$

unde  $U_{d,q}'$ ,  $I_{d,q}'$  – componentele "d", "q" ale tensiunii și curentului redresat;

Factorii  $k_1$ ,  $k_2$ , de modificare pentru tensiuni și curenti se exprimă: (conform relațiilor (13), (15), (19), (29), (30)):

|   |  |
|---|--|
| $k_1 = \frac{2m\sqrt{2}}{\pi} \sin \frac{\pi}{m}$ | - pentru redresorul rotativ cu comutator "paralel-dublu"     |
| $k_1 = \frac{m\sqrt{2}}{\pi}$                     | - pentru redresorul rotativ cu "comutator serie"             |
| $k_2 = \sqrt{\frac{m}{2}}$                        | - pentru redresor cu comutator paralel-dublu                 |
| $k_2 = 2$   | - pentru redresor cu "comutator serie", dacă "m" este par;   |
| $k_2 = \frac{2m}{\sqrt{m^2 - 1}}$                 | - pentru redresor cu "comutator serie", dacă "m" este impar; |

Impedanța de excitație a generatorului principal " $Z_{mg}$ " alimentat de exitateoare cu redresor rotativ, conține componente directe, inverse și homopolare, dacă neglijind componentele heterop-

Laze se poste serie matricea diagonală a impedanței astfel: (B13):

$$\|Z_{EG}\| = \begin{bmatrix} r_{EG} + p x_{EG} & -x_{EG} \\ x_{EG} & r_{EG} + p x_{EG} \end{bmatrix} \quad (69)$$

Ecuațiile corespondătoare configurației de excitare a generatorului principal, sarcina redresorului sint:

$$\begin{aligned} U_d' &= (r_{EG} + p x_{EG}) i_d' - x_{EG} i_2' \\ U_2' &= x_{EG} i_d' + (r_{EG} + p x_{EG}) i_2' \end{aligned} \quad (70)$$

Avind în vedere că, funcționarea excitației este aproximativă cu a unui generator sincron clasic la "cos φ = 1", deci "φ = 0", vom putea considera cu aproximativitatea în relațiile (47), (69), (70),  $i_d \approx 0$  și  $x_{EG} \approx 0$ ; sistemul de ecuații pentru excitație, redresor rotativ și sarcină devinind:

$$\begin{aligned} U_d &= \omega x_2 i_2 - p i_{ESE} \\ U_2 &= -(r_2 + p x_2) i_2 - \omega i_{ESE} \end{aligned} \quad (71)$$

$$i_{ESE} = \frac{U_{ESE}}{1 + p T_{ESE}}$$

$$U_2 = K r_{EG} i_2 \quad \text{iar } K = \frac{r_2}{r_1}$$

Pentru rezolvarea sistemului (71) se obțin valoile absolute ale variațiilor tensiunii:

$$|U_d(p)| = \frac{p^2 + 2p + \omega^2}{(p+2)(1+pT_{ESE})} |U_{ESE}| \quad (72)$$

$$|U_2(p)| = \frac{\beta |U_{ESE}|}{(p+\lambda)(1+pT_{ESE})}$$

În (72) sunt notate prin:

$$\lambda = \frac{r_2 + K r_{EG}}{x_2}; \quad \beta = \frac{K r_{EG} \omega}{x_2} \quad (73)$$

Originea funcțiilor  $U_{d_{eq}}(p)$  se determină astfel:

$$U_2(t) = \mathcal{L}^{-1}[U_2(p)] = \frac{\beta U_{ESE}}{1 - \lambda T_{ESE}} (e^{-\lambda t} - e^{-\frac{t}{T_{ESE}}}) \quad (74)$$

$$U_d(t) = \mathcal{L}^{-1}[U_d(p)] = \mathcal{L}^{-1} \left\{ \frac{U_{ESE}}{T_{ESE}} \left[ 1 - \frac{p + \lambda - \omega^2 T_{ESE}}{(p+2)(1+pT_{ESE})} \right] \right\}$$

$$U_d(t) = \frac{U_{ESE}}{T_{ESE}} \delta(t) + \mathcal{L}^{-1} \frac{U_{ESE}}{T_{ESE}} \frac{p + \lambda - \omega^2 T_{ESE}}{(p+2)(1+pT_{ESE})} \quad (75)$$

unde  $\delta(t)$  = impulsul unitate.

Din condiție  $U_d(t)=0$  pentru  $t=0$  se obține  $\delta(t) = \frac{1}{T_{ESE}}$   
în momentul  $t=0$ ,  $U_d(t) = U_{EF} - U_{EN} = \frac{U_{ESE}}{T_{ESE}}$   
Se obține spați tensiunee în timpul forțării:

$$U(t) = U_{EN} + (U_{EF} - U_{EN}) \left[ 1 - R \frac{-t}{T_{ESE}} + \frac{\omega^2 T_{ESE}}{1 - \lambda T_{ESE}} (e^{-\lambda t} - e^{-\frac{t}{T_{ESE}}}) + j \frac{\beta U_{ESE}}{1 - \lambda T_{ESE}} (e^{-\lambda t} - e^{-\frac{t}{T_{ESE}}}) \right] \quad (76)$$

În (76) dacă se admite că aproximare  $\lambda \approx \frac{1}{T_{ESE}}$ , atunci  
formula tensiunii în timpul forțării obține o formă mai simplă:

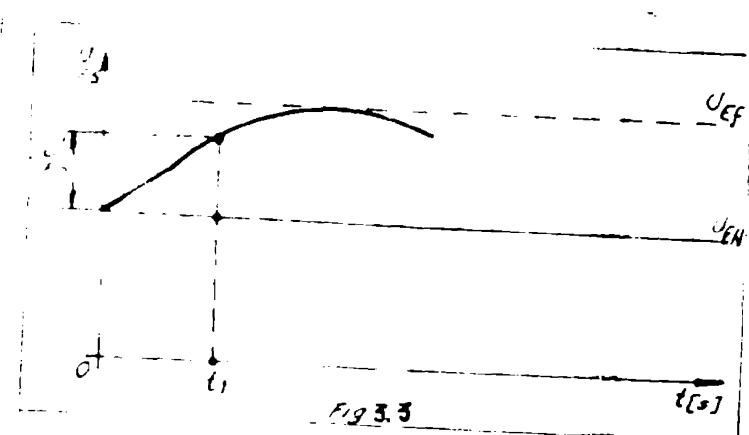
$$U(t) = U_{EN} + (U_{EF} - U_{EN}) \left( 1 - R \frac{t}{T_{ESE}} \right) \quad (77)$$

Pentru determinarea vitezei de excitație se determină în  
probabil timpul "t<sub>1</sub>", în care se atinge tensiunea U', ca în figura  
3.3: (B 64):

$$U'_{ES} = U_{EN} + 0,632 (U_{EF} - U_{EN}) \quad (78)$$

spați viteză de excitație se exprimă:

$$V_{ex} = \frac{0,632 (U_{EF} - U_{EN})}{U_{EN} t_1} \quad (79)$$



Pentru obținerea  
unei viteză de ex-  
citație căt mai co-  
respunzătoare se pot  
adopta o serie de  
măsurări practice, pri-  
vind dimensionarea  
excitatoarei, prin-  
tre care subliniem  
în primul rând fap-  
tul că, excitatoarele  
sincronă se construiesc cu circuitul magnetic emogen, în între-  
gime din tablă lamelată, renunțindu-se la jugul statorului turnat sau  
forjet (figura 3.4).

Din relațiile (76), (77), (79) se observă că, viteză de  
excitație a excitatoarei este că atât mai mare că căt este că  
mare tensiunea plefon (de forțare) și că căt este că micii cons-  
tante de timp a excitatoarei.

Obținerea unei tensiuni de forțare căt mici ridicătă pre-  
supune dimensionarea excitatoarei astfel încât, în regim nominal,  
punetul de funcționare să fie în zona neșteretă a caracteristicii  
de magnetizare. De asemenea, inducțiile magnetice în diverse po-  
ziuni ale circuitului magnetic sunt în general valori mici, între  
40-60% din valoările maxime la o mașină sincronă.

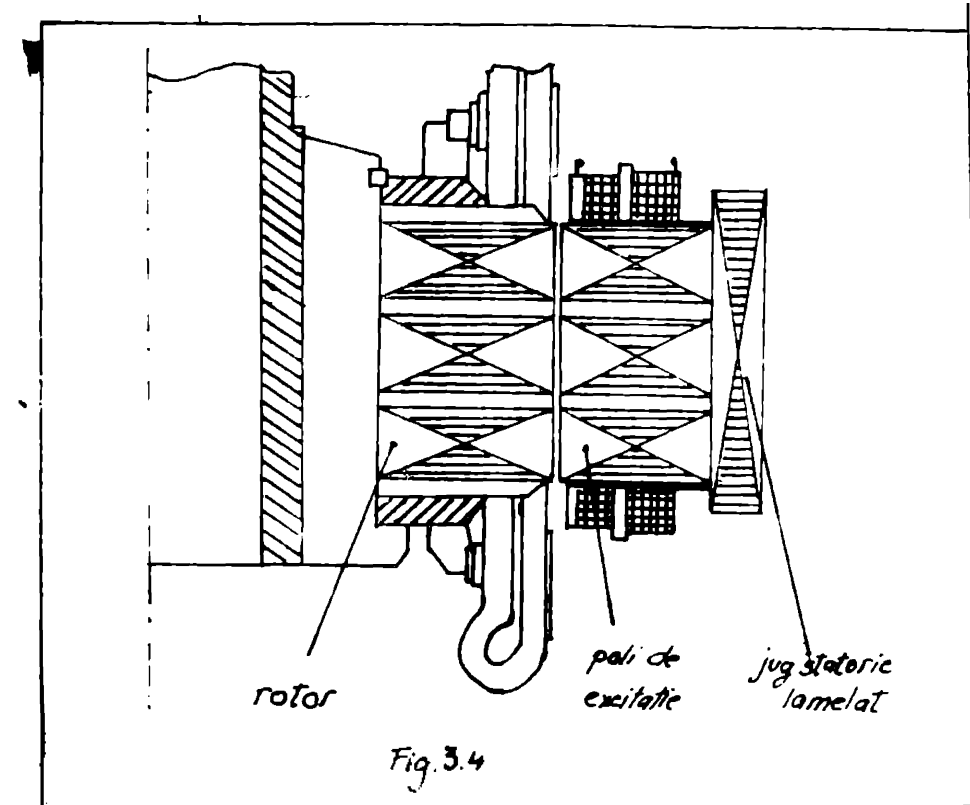


Fig. 3.4

Constanta de timp a excitatoarei (B 71) așe cum rezultă din expresia:

$$T_{ESE} = \frac{S_{E5} K_x}{2\pi f(x_d - x_d) P_{eo}} \quad (80)$$

unde:  $K_x \approx 1..41$        $S_{E5}$  – puterea aparentă a excitatoarei poate fi micșorată, prin mărirea frecvenței "f" și micșorarea puterii de excitare la mers în gol a excitatoarei " $P_{eo}$ ". Dar, pe de altă parte, puterea de excitare necesară obținerii tensiunii nominale la mers în gol crește cu numărul de poli, deci cu frecvența mașinii. Curbele din figura 3.5 (B57), arată variația acestei puteri în funcție de frecvență. Se constată că, reducerea întrefierului și creșterea inducției din întrefier spre valoarea optimă se obține pentru frecvențe nu prea înalte.

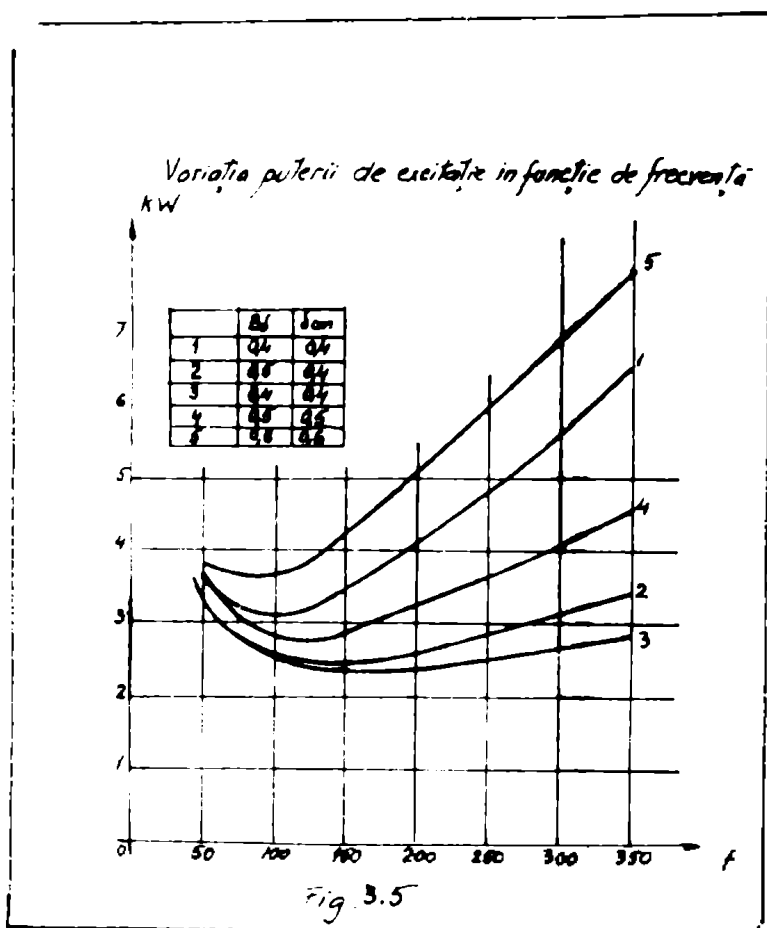
O dependentă mai completă a elementelor de care depinde constanta de timp a excitatoarei la mers în gol (B 57) se observă din formula:

$$T_{ESE_0} = C f(m) \left( \frac{E}{C_1} \right)^2 \frac{\alpha_i \cdot Bf \cdot \delta}{A \cdot K_W \cdot V_p} \cdot \frac{P_{no}}{P_{eo}} \quad (81)$$

în care intervine:  $\alpha_i$  – reportul dintre acul polar și pasul polos;

$Bf$  – amplitudinea inducției din întrefier;

$\delta$  – întrefierul;



modul de redresare care este:  $f(m) = \frac{60}{\pi/12 \text{ msin} \frac{\pi}{m}}$  și pentru montajul în steg cu dublă redresare și:  $f(m) = \frac{60}{2\pi} = 9,55$

pentru montajul în poligon (B 57).

Relația (81) arată influența parametrilor construcționali și a excitării și anume: solenatis specific  $A_1$ , inducția  $B$ , viteza periferică  $V$  și intrefierul  $\delta$ .

Din analiza unor variante realizate (B 57) se observă (figura 3.6) că, pentru o anumită frecvență a tensiunii induce adoptate, variind inducția din intrefier, viteza de excitare prezintă un optim în vecinătatea valorii de 0,6 T.

În plus puterea de excitare crește edată cu mărire sollicitărilor magnetice, astfel că, nu există nici un motiv pentru mărire inducției din intrefier nominală peste această valoare optimă. Aceste considerații sunt valabile pentru toate frecvențele. Pentru o inducție apropiată de valoare optimă se poate observa cum variază viteza de excitare, menținând constantă puterea de excitare necesară pentru a obține tensiunea plafon și curentul nominal. Din tabelul II se observă că este avantajos să se mări în anumite limite frecvența tensiunii in-

$P_{no}$  - putere din indus (dată de redresorul rotativ)

$P_{ex}$  - putere de excitare,  $A$  - solenatis specific,  $V_p$  - viteza periferică,  $K_w$  - coefficient de bobinaj al inducutorului,  $\varepsilon$  - raportul dintre solenatis totală și solenatis din intrefier,  $C_1$  - coefficient de formă pentru o reperație rectangulară a inducției,  $C$  - constantă depinsind de unitatea aleasă,  $f(m)$  - funcție dependentă de numărul de faze și de

duse și de a măsura intensitatea excitării.

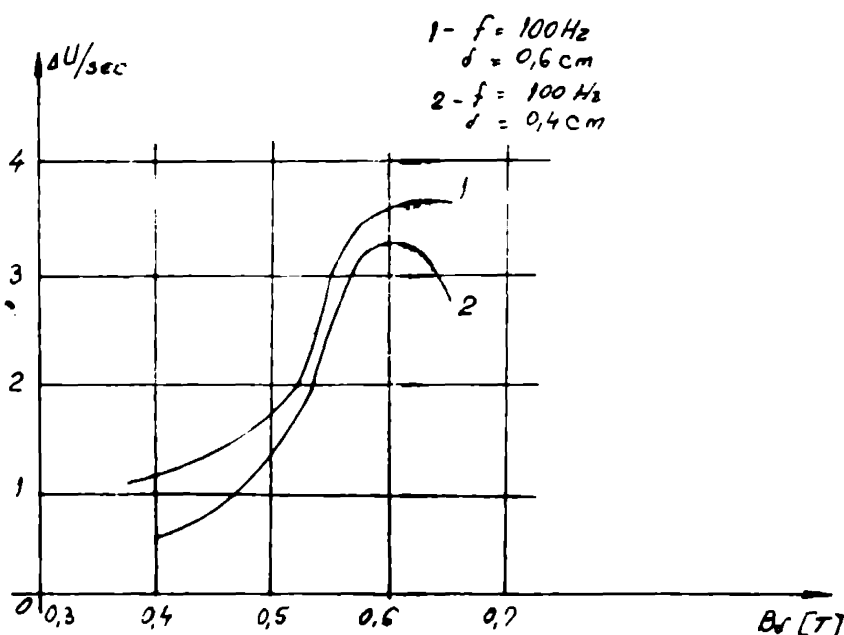


Fig. 3.6 Variatia vitezei de excitatie  
in functie de inducție

Tabel 8

| $f$    | $B_d$<br>$T$ | $d$<br>$\text{cm}$ | $P_{ef}$<br>$\text{W}$ | $V_e$<br>$\text{u.r/sec}$ |
|--------|--------------|--------------------|------------------------|---------------------------|
| 50 Hz  | 0,65         | 0,6                | 4500                   | 0,9                       |
| 100 Hz | 0,62         | 0,6                | 4500                   | 1,9                       |
| 150 Hz | 0,6          | 0,4                | 4500                   | 3,7                       |
| 200 Hz | 0,65         | 0,4                | 4500                   | 4,7                       |

De asemenea, din analiza unor rezultate experimentale (B%) se constată că, desfășurarea procesului de forțare a excitării se poate împărti în două etape. În prima etapă, tensiunea redresată a excitării crește pînă la stingerea tensiunii de forțare, dorînd acestui etape fiind determinată de amplitudinea constantă de timp a excitării, iar durata celei de a două etape, în care are loc procesul de creștere al curentului

de excitație, este substanțial mai mare, fiindcă este determinată de constante de timp a generatorului principal, care este mai mare decât constantele de timp a excitatoarei.

Se remarcă și o dependență a tensiunii maxime a excitatoarei de regimul de lucru anterior procesului de forțare, care condiționează corespunzător și viteza de excitație, ce va fi ceea ce se va fi mai mare cu cît curentul de excitație dat de excitatoare este mai mic.

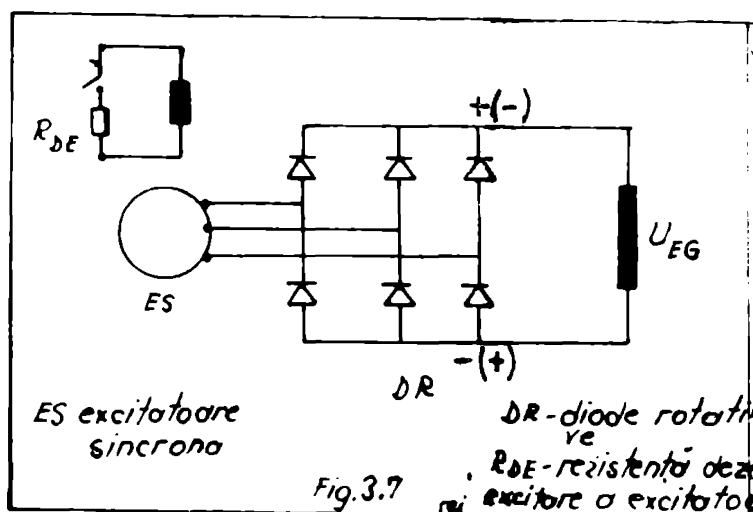
Variatia tensiunii redresate a excitatoarei  $U_{LSC}^{red}(t)$  exprimată de relație (77) depinde de constante de timp a excitatoarei, care în rândul său trebuie diminuată cu un factor de proporționalitate (în medie 1,5; -1,7) (87%), care depinde de regimul de lucru al generatorului principal.

Dacă acțiunile de forțare a excitatoarei se produc concomitent cu procesul transitoriu de scurtcircuit trifazat de lungă durată, la generatorul principal apar curenti liberi în sectorul mașinii principale, și către mărime se determină în funcție de dureza scurtcircuitelor. Datorită căderii de tensiune în rezistențe de consumație, tensiunea excitatoarei scade, iar după cîteva perioade se se restabilește spații crește sub acțiunile forțării excitării. În acest caz tensiunea plafon a excitatoarei se restabilește după stănuarea tuturor curentilor liberi. Durata scăderii tensiunii excitării și desfășurarea procesului în continuare depind de constante de timp a excitării și de dureza scurtcircuitului, deci se impune scăderea cît mai mult posibil a constantei de timp a excitării. Această constantă de timp are influență și asupra domeniului de stabilitate a generatorului sincron principal, care scade odinăvînd cu creșterea constantei de timp a excitării. Pentru buna funcționare a regulatorului automat de tensiune se necesită menținerea constantei de timp a excitării sub o anumită valoare ( $< 1$  sec). Cu creșterea constantei de timp a excitării provoacă totodată o creștere a duresei oscilațiilor de după evenire.

In concluzie, pentru ca viteza de excitație a excitării să fie cît mai favorabilă, la o frecvență a tensiunii electromotoare inducă adoptată, o inducție în întregier și un întregier sau, se poate dimensiunea infășurarea inducătoare optima de excitări avind constante de timp cea mai mică.

### 3.3. Studiul posibilităților de desenzitare rapidă în caz de urgență

C problemă deosebită a funcționării în regim transitoriu și la sistemul de excitație cu excitație sincronă și redresor rotativ, e constituirea desenzitării în caz de urgență, respectiv la deconectarea brusei a reacției și la oprirea agregatului.



Considerăm un generator sincron funcționând la sarcină maximală, turată și frecvență fiind cele normale. În momentul cind sarcina dispare bruscă, turată crește, regulatorul de

terție limitind această creștere (la hidrogenatorul de obicei 130%  $n_n$ ); totodată sistemul de comandă autonomă a grupului, comandă deconectarea brusei a excitației generatorului, moment în care începe procesul transitoriu de desenzitare.

Cind se deconectează excitația grupului, la generatorul său de sistem de excitație clasică sau statică, existența colectoarelor la emisitoare de curent continuu, respectiv a imalelor la sistemul de excitație statică, permite conectarea rapidă a bobinajului rotoric al generatorului principal pe o rezistență de desenzitare, prin intermediul căreia se limitează virful de tensiune ce apare în primul moment, virf ce poate paralela inelele colectoarei bobinei.

Așa cum se observă și din figura 3.7, la sistemul de excitație cu diode rotative, dispără orice posibilitate de conectare a unei rezistențe în circuitul de excitație al generatorului său de creștere a unei tensiuni de sens contrar. În acestă cauză, procesul de desenzitare se desfășoară mai înainte decât atunci cind se utilizează una din metodile de desenzitare aplicabile la sistemul de excitație clasică sau statică.

În procesul de dezexcitare spații virfuri de tensiune și de curent, deoarece cîmpurile magnetice din zotor și stator nu disper imediat ci se amortesc și cu constanțele de timp ale înfășurărilor respective.

Presupunând acestor fluxuri dezexcitate să indețin tensiuni alterneștive în înfășurările zotorie și generatorului principal, căror amplitudine depinde de turăgă agregatului și de parametrii înfășurărilor rotorice și generatorului principal. Tensiunea alterneștivă ce se inducă în înfășurarea de excitație  $U_{EG}$  este aplicată în sensul de conductie pe diodele redresorului rotativ, pentru o polaritate și este blocată de colecțorii diode pentru celelalte polarități, spații cum se reprezintă în figura 3.7. Ambele situații solicită redresorul și înfășurarea de excitație a generatorului; în cazul scurtcircuitării prin înfășurare și diode va circula un curent de valoare mare, iar în cazul blocării pe redresor și pe înfășurare va apărea un virf de tensiune mare. Virful de curent poate crea electrodinamică produsă nu trebuie să ducă la deteriorarea bobinajului de excitație, iar virful de tensiune să nu fie mai mare decât tensiunea de strângere a izolației bobinajului de excitație. Totodată diodele redresoare trebuie să rezinte la solicitările din această regină.

Vom analiza procesul de dezexcitare al excitatoarei consecutivă înfășurărilor zotorie și generatorului principal ca sistemul de oscilații (71) în următoarele ipoteze:

- neglijăm influența cîmpurilor magnetice din generatorul principal;
- excitatoarea funcționează la parametrii neampli cunoscute;
- în momentul încetării procesului de dezexcitare, ( $t=0$ ), tensiunea de excitație a excitatoarei devine  $U_{ESE}=0$ , iar curentul de excitație  $I_{ESE}$  se închide întă-un circuit de excitație cu rezistențe " $R_{ESE} + R_{IE}$ ", adică suma rezistenței înfășurării de excitație și a rezistenței de dezexcitare rapidă a excitatoarei;
- considerăm de acord cu colecțorii ipoteza referitoare la componente homopolare și regimul de funcționare al excitatoarei ca le forțărea excitației.

În acest caz din relațiile (47,69,70) se obține:

$$U_d = \omega x_2 i_2 - p I_{ESE}$$

$$U_2 = -(I_2 + p x_2) - \omega U_{ESE}$$

$$i_{ESE} = \frac{I_{EN}}{p + \frac{1}{T_{DE}}} \quad (82)$$

$$U_2 = K_{EG} i_2$$

unde  $I_2 = \frac{U_2}{Z_2}$

$T_{ED}$  - constantă de timp corespunzătoare circuitului de emisie  
a excitatoarei cu " $R_{ESE} + R_{EN}$ "

Din (82) se determină curentul din inducția excitatoarei în timpul desenărătării:

$$i_2 = \frac{-\omega I_{ESE}}{x_2(p + \frac{R_2 + Kf_{EG}}{x_2})(p + \frac{1}{T_{ED}})}$$

folosind aceeași notații (73):

$$\lambda = \frac{f_2 + Kf_{EG}}{x_2} \quad \beta = -\frac{Kf_{EG}\omega}{x_2}$$

Originalul funcției  $i_2(p)$  se determină pornind de la relația:

$$\frac{1}{(p+\lambda)(p+\frac{1}{T_{ED}})} = \frac{A}{p+\lambda} + \frac{B}{p+\frac{1}{T_{ED}}} = \frac{(A+B)p + \frac{A}{T_{ED}} + B\lambda}{(p+\lambda)(p+\frac{1}{T_{ED}})}$$

Prin identificarea:

$$A = \frac{1}{\frac{1}{T_{ED}} - \lambda} \quad B = \frac{1}{\lambda - \frac{1}{T_{ED}}}$$

$$\mathcal{L}^{-1} i_2(p) = \frac{\omega I_{ESE} T_{ED}}{x_2(1-\lambda T_{ED})} (e^{-\lambda t} - e^{-\frac{t}{T_{ED}}})$$

$$i(t) = I_{EN} - j \frac{\omega I_{ESE} T_{ED}}{x_2(1-\lambda T_{ED})} (e^{-\lambda t} - e^{-\frac{t}{T_{ED}}}) \quad (83)$$

In (83) primul termen reprezintă curentul din inducția excitatoarei în momentul începerii procesului de desenătură, iar al doilea variabilă curentului pe impedanță de sarcină a excitatoarei.

Calcular "U<sub>q</sub>", "U<sub>a</sub>" din (82)

$$U_2 = -\frac{\omega K f_{EG}}{f_2 + K f_{EG} + p x_2} I_{ESE} = -\frac{\beta I_{ESE}}{(p+\lambda)(p+\frac{1}{T_{ED}})}$$

Determinăm originalul funcției:

$$\mathcal{L}^{-1} |U_2(p)| = \frac{\beta I_{ESE} T_{DE}}{1-\lambda T_{DE}} (e^{-\lambda t} - e^{-\frac{t}{T_{DE}}})$$

$$\mathcal{L}^{-1} |U_d(p)| = \frac{p^2 + p\lambda + \omega^2}{(p+\lambda)(p+\frac{1}{T_{DE}})} I_{ESE}$$

Avinde în vedere condițiile limită:

$$t=0 \quad ; \quad U_d(t)=0$$

$$U_d(t) = I_{ESE} \left[ \gamma'(t) - \frac{1}{1-\lambda T_{ED}} \left[ \left( \frac{1}{T_{ED}} - \lambda + \omega^2 T_{ED} \right) R^{-\frac{t}{T_{ED}}} - \omega^2 T_{ED} e^{-\lambda t} \right] \right]$$

$$\gamma'(t) = \frac{1}{T_{ED}}$$

$$U_d(t) = \frac{I_{ESE}}{T_{ED}} - \frac{I_{ESE}}{1-\lambda T_{ED}} \left[ \left( \frac{1}{T_{ED}} - \lambda + \omega^2 T_{ED} \right) R^{-\frac{t}{T_{ED}}} - \omega^2 T_{ED} e^{-\lambda t} \right]$$

$$U(t) = U_{EN} - \left\{ \frac{I_{ESE}}{T_{ED}} \left[ 1 - R^{-\frac{t}{T_{ED}}} - \frac{\omega^2 T_{ED}^2}{1-\lambda T_{ED}} (R^{-\frac{t}{T_{ED}}} - e^{-\lambda t}) \right] + j \frac{\beta I_{ESE} T_{ED}}{1-\lambda T_{ED}} (e^{-\lambda t} - e^{-\frac{t}{T_{ED}}}) \right\} \quad (84)$$

Varietatea tensiunii excitatoarei obține o formă simplificată, dacă în relație de mai sus se admite cu aproximare  $\lambda \approx \frac{1}{T_{ED}}$  și anume:

$$U(t) - U_{EN} - U_{EN} \left( 1 - R^{-\frac{t}{T_{ED}}} \right) = U_{EN} R^{-\frac{t}{T_{ED}}} \quad (85)$$

Neglijarea constantei de timp a excitatoarei determină stingerea mai rapidă a tensiunii excitatoarei la demagnetizare rapidă și deci scăderea năzdrăvătoare a rezistenței pentru cărora vitezării de excitare sunt favorabile și pentru demagnetizare rapidă a excitatoarei. Totodată slăjirea potrivită a rezistenței de demagnetizare a excitatoarei, având valoarea de aproximativ 10 ori valoarea rezistenței bobinajului de excitare a excitatoarei determină năzdrăvătoarea constantei de timp a excitatoarei și deci a timpului de demagnetizare a excitatoarei.

Analiza experimentală prin oscilografie rezultă că, acest proces are loc de aproximativ 2,5 ori mai închiudat la excitatoare sinusoide cu diode rotative, decât în cazul sistemelor de excitare care oferă posibilitatea interacțiunii directe a rezistenței de demagnetizare în rotorul generatorului principal.

Imposibilitatea de a interveni direct în circuitul motoric al generatorului în acest sistem de excitare, pentru a realiza o demagnetizare rapidă, constituie principiul neajuns al sistemului, deci pentru a vedea importanța demagnetizării vom analiza efectele ce se produc în casă de curățare, cu și fără întrerupere de demagnetizare rapidă.

Pentru aprecierea energiei care sporește în mod defectă și înălțării statotelor în cazul unei curățări (scurtcircuit), trebuie să vedem, că, procesul de demagnetizare, poate fi deosebit de cind întrerupătorul a deconectat mașina de la rețea. Dacă

puterea consumată la scurtcircuit este elimentată, aşa cum se întâmplă de cele mai multe ori, de la rețea, atunci căsătorește parte a energiei de avans se consumă la locul avansului. Trebuie sătătă că, nici căsătoreşte rapidă instalație de dezexcitare, nu are o influență deosebită asupra componentei continue (aperiodice) a curentului de scurtcircuit. Tot atât de puțin poate fi influențat cimpul în axe transversale a generatorului, prin excitație în sens invers. În funcție de puterea de scurtcircuit și mașinii afectate, poate fi anihilată, la o apreciere prudentă, aprox. 30% din energia de la locul avansului, prin căsătoreşte rapidă dezexcitare. La un scurtcircuit bipolar, nici căsătoreşte rapidă instalație de dezexcitare nu poate evita avans statorică și o perioadă mai mare de timp pentru reparare. Exemplul din parțială confirmă cele de mai sus (B 1).

In cazul unor scurtcircuite monopolare la pămînt, aşa cum se rezultă din încercări, curentii de scurtcircuit la generatoarele de putere măre, pot produce defecte care sunt repereabile prin intervenții de securitate durată și în acest caz nu sunt necesare instalații rapide de dezexcitare.

In cazuri speciale cind se necesită reglajul deosebit de rapid al tensiunii se pot folosi punți duble cu tranzistori, cu care se obțin efecte de excitație în sens invers, dar se pune întrebarea dacă problema care operează legată de felosirea unui număr dublu de elemente semiconductoare și a dispozitivului de transmitere al impulsurilor de comandă pentru cele două punți cu tranzistori este justificată.

In concluzie la generatoarele sincrone prevăzute cu excitație sincronă cu diode rotative procesul de dezexcitare al generatorului se realizează prin conectarea unei rezistențe de dezexcitare în circuitul de excitație al excitației. Dimensionarea potrivită a acestei rezistențe de dezexcitare oferă posibilitatea reducerii timpului de dezexcitare al excitației sincrone cu diode rotative. Procesul de stingere al cimpului generatorului principal are loc însă mai încet în cazul generatoarelor prevăzute cu sistemul de excitație cu excitație sincronă cu diode rotative, decit în cazul sistemelor de excitație care oferă posibilitatea micșorării constantei de timp a infișurării de excitație a generatorului principal prin intercalarea directă a unei rezistențe de dezexcitare, acest fapt constituind un neajuns al acestui sistem de excitație.

## Capitolul IV

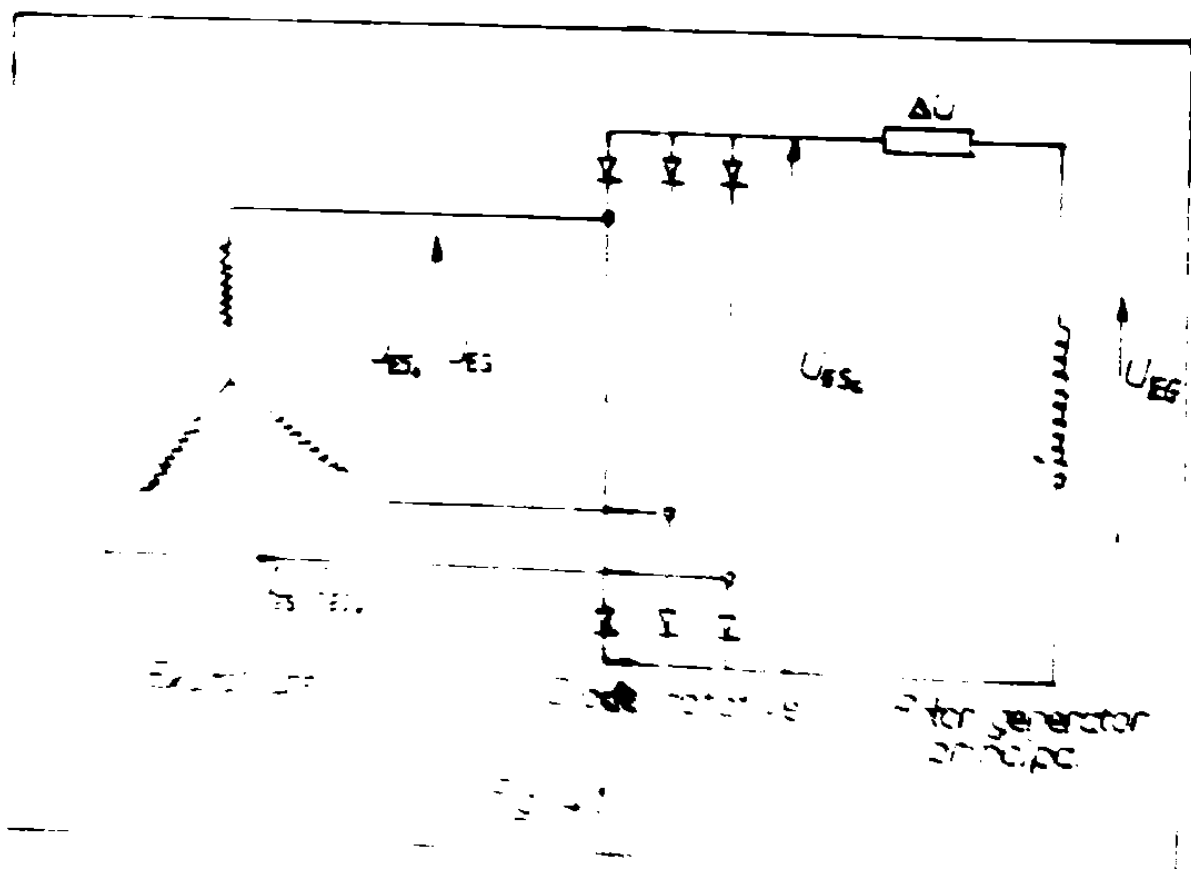
### TEORIA PRINCIPALĂ A CIRCUITURILOR SIMPLE DE PORNIT ELASTIC

#### 4.1. Stabilirea elementelor principale de care depinde de rezistența sa corespundă cu rezistența de condensare și a corespondenței emisității

Amploarea sinusoidală a diodei rotative, prin deschidere și închidere, face ca funcționala să, și depinde de datele emisității mărimii principale și de rezistența de diode rotative pe care și elimentează.

Pentru ca emisitățile să corespundă corespunzător și să fie corespunzător să se mențină și se mențină datele emisității ale mărimii: tensiune, curent, factor de putere, presură și factorul de formă și viteză de emisităție minima necesară.

În vederea precizării datelor principale ale emisității sinusoidale este nevoie, să se verifice dacă datele ei în currență alternativ, corespund cu datele dobândite la emisitățile ale mărimii principale.



Corespunzător detinutelor de excitație din curent continuu și modului de cuplaj adoptat (în "etoo" sau "puncte trifazetă cu dublă redresare" sau în "poligon") sunt hotărâtoare următoarele date ale excitatoarei sincrone:

- fundamentala tensiunii la bornă a excitatoarei și valoarea efectivă  $U_{ES}$ ,  $U_{ES}$
- fundamentala curentului și valoarea sa efectivă  $I_{ES}$ ,  $I_{ES}$
- tensiunea nominală și de săbătire a mașinii:  $U_n$ ,  $I_n$
- factorul de putere pentru fundamentală și superenorme  $\varphi_1$ ;  $1000\varphi$
- tensiunea plafon de excitație respectiv factorul de forță  $K_p$ ,  $U_{EP}$ ,  $K_p$ .
- viteza de excitație a excitatoarei:  $v_{ex}$

Stabilitatea expresiilor pentru tensiunea, curentul și factorul de putere al excitatoarei sincrone cu cicluri rotative se va face în cazul general, respectiv în ipoteza curentului continuu "neted".

Formulele utilizate sunt deduse în următoarele ipotезe:

- excitatoarea sincronă și redresorul său sunt fără pierderi;
- tensiunea internă (t.e.m.) a excitatoarei sincrone este constantă și de formă sinusoidală;
- constanța de timp a circuitului de excitație a mașinii principale este infinit de mare.

- aceste ipotезe determină următoarele (B 37):
  - în timpul conștiinții, tensiunea de linie a fazelor respective este egală cu zero;
  - componenta de trece a curentului de conștiință este nesemnificativă;
  - componenta alternativă a curentului de conștiință este un curent pur reactiv;
  - inducătorul numai fundamental și acasătoare postea la rindul ei transmite cimpului numai putere activă;
  - armonicile de curent, care produc între mașină fără pierderi, variațiile de flux, se indelez tensiuni defasate cu  $90^\circ$  și din consecință nu produc nici o putere activă.

În aceste condiții este valabilă relația pentru puterea de excitație la inelele redresorului rotativ

$$P_{ES_c} = I_{ES_c} \cdot U_{ES_c} = m U_{ES} I_{ES} \quad (86)$$

Pînă prin ipotезă, (adică curentul continuu neted), armonnicile de curent au fi cauză pierderi în excitatoarei sincrone și

corespunzător o putere mai mică:  $P_c = P_{ESc} - \sum_{n=1}^{\infty} P_n$  (87)

Puterea la ieșirea redresorului va fi (figura 4.1) mai mică cu pierderile în redresor "Δ P".

$$P_{ESc} = P_c - \Delta P = U_{ESc} I_{ESc}$$
 (88)

Pentru un curent de excitare  $I_{EN}$  și rezistențe înfăptușării de excitare  $R_{EG}$ , precinse la temperatură de funcționare a generatorului principal, se calculează tensiunea de excitare nominală  $U_{EN}$  a acestuia, ca fiind produsul lor. Tensiunea continuă  $U_{ESc}$  a redresorului este mai mare decit tensiunea de excitare  $U_{EN}$  a generatorului principal și anume cu  $\Delta U$ :

$$U_{ESc} = U_{EN} + \Delta U$$
 (89)

Căderei de tensiune "Δ U" este produsă în conductoarele de legătură dintre redresorul rotativ cu diode și înfăptușarea de emisie a generatorului. Pentru calculurile următoare vom defini o tensiune "U<sub>ESc'</sub>" mai mare cu căderei de tensiune în redresor. Rezistența de comutare pe fază se calculează (în ipoteza enunțate) din rezistența supratransistorie sau tranzistorie și rezistența inversă a excitatoarei ( $x_1$  "sau"  $x_2$ ,  $x_2$ ) (relațiile 54, 55)

$$x_c = \frac{x_1' + x_2}{2}$$
 (90)

Rezistența întregului circuit de curent continuu este:

$$R_{EG} = \frac{U_{EN}}{I_{EN}}$$
 (91)

Calculul cărimilor în curent alternativ este funcție de felul punții redresare, relațiile de mai jos fiind valabile pentru o comutare simplă, care reprezintă un acuștocircuit monofazat și unul bifazic.

Formulele principale care exprimă tensiunile curentii și factorul de putere al excitatoarei, ținând cont de procesul de comutare, sunt prezentate în mod sintetic pentru cele două cazuri de bază enunțate și anume:

I. Casul excitatoarei cu redresor cu comutare paralel dublu (pană trifazată):

- tensiunea alternativă a excitatoarei, velocietă efectivă și velocietă fundamentală (B 56):

$$U_{ES} = \frac{\pi}{3\sqrt{2}} \cdot \frac{2}{1+\cos\alpha} \sqrt{1 + \frac{3}{4\alpha} (\sin 2\alpha - 2\alpha)} U_{ESc}$$
 (92)

$$U_{ESc} = \frac{\pi\sqrt{2}}{3} \sqrt{\frac{1 + \frac{3}{2\pi} (\sin 2\alpha - 2\alpha) + \frac{9}{16\pi^2} (\sin 2\alpha - 2\alpha)^2 + \frac{9}{4\pi^2} \sin^4 \alpha}{1 + \cos\alpha}} U_{ESc}$$
 (93)

unde apărtinerea dețorită conținutului se exprimă cu relație

$$(B\ 57): \cos\alpha = \frac{\frac{2}{3} - \frac{x_c}{R_E}}{\frac{2}{3} + \frac{x_c}{R_E}} \quad (94)$$

- curentul alternativ al excitatoarei, valoarea efectivă și valoarea fundamentală:

$$I_{ES} = \sqrt{\frac{2}{3} + \frac{q}{\pi} \frac{1+2\cos\alpha}{(1-\cos\alpha)^2} - \frac{\sin 2\alpha + 4\sin\alpha}{2\pi(1-\cos\alpha)^2}} I_{ES_0} \quad (95)$$

$$I_{ES_1} = \frac{\sqrt{6}}{2\pi} \frac{\sqrt{\sin^4\alpha + (\sin\alpha\cos\alpha - \alpha)^2}}{1-\cos\alpha} I_{ES_0} \quad (96)$$

In cazul idealizat, al curentului continuu netered se impune condiție ca  $\alpha \rightarrow 0$  și se obțin expresiile tensiunii și curentului alternativ al excitatoarei (cap. II-relațiiile 12-17).

Tinând cont de relațiile de mai sus se exprimă puterea operantă a excitatoarei, astfel:

$$S_{ES_1} = \sqrt{3} U_{ES_{1L}} I_{ES_{1L}} = U_{ES_0} I_{ES_0} \quad (97)$$

$$S_{ES} = \sqrt{3} U_{ES_L} I_{ES_L} = \frac{\pi}{3} U_{ES_0} I_{ES_0} \quad (98)$$

Puterea activă a excitatoarei se exprimă de asemenea în funcție de valoările fundamentale, cele efective și redresate ale curentilor și tensiunilor:

$$P_{ES_1} = \sqrt{3} U_{ES_{1L}} I_{ES_{1L}} = U_{ES_0} I_{ES_0} \quad (99)$$

$$P_{ES} = \sqrt{3} U_{ES_L} I_{ES_L} \cos\varphi - U_{ES_0} I_{ES_0} \quad (100)$$

Din relațiile (98) și (100) rezultă, că factorul de putere operant al excitatoarei trifazate cu redresor cu conținut paralel dublu este  $\cos\varphi - \frac{3}{\pi} = 0,9549$ , iar pentru fundamentală este  $\cos\varphi = 1$ . III. Cazul excitatoarei cu redresor cu conținut serie (pană poligonulă cu un număr de faze par și impar:

- tensiunea alternativă, valoarea efectivă (B 57):

$$U_{ES} = \frac{\pi}{\sqrt{2m}} \cos^2 \frac{\alpha}{2} U_{ES_0} \quad (101)$$

- curentul alternativ valoarea efectivă pe fază:

$$I_{ES} = \frac{I_{ES_0}}{2} \sqrt{1 - \psi_1(\alpha)} \quad (102) \text{ pentru cazul cu } m=\text{par}$$

$$I_{ES} = \frac{I_{ES_0}}{2} \sqrt{1 - \frac{1}{m_2} \cdot \sqrt{1 - \frac{m+3}{m+1} \psi_1(\alpha)}} \quad (103) \text{ pentru cazul cu } m=\text{impar};$$

$$\text{unde } \psi_1(\alpha) = \frac{(2+\cos\alpha)[\sin\alpha - (1+2\cos\alpha)\alpha]}{2\pi(1-\cos\alpha)^2} = \dots \frac{2\alpha}{15\pi} \left(1 + \frac{\alpha^2}{84} + \dots\right) \quad (104)$$

In cazul idealizat ( $\alpha \rightarrow 0$ ) se obțin expresiile tensiunilor și curentului excitator (cap. III-relațiiile 19, 29, 30).

Puterea activă a excitatoarei  $m$ -fazate cu conținut poligonulă a fazelor se exprimă în funcție de valoările efective și

TABEL III

Unghiul de comutatie in functie de numarul de faze ates pentru diferite valori ale reactantelor de comutatie si diverse tipuri de redresori adaptati.

|            | $m$     | 2     | 3     | 4     | 8                 | 6     | 7                 | 8                 | 9                 | 10                | 11                | 12    |
|------------|---------|-------|-------|-------|-------------------|-------|-------------------|-------------------|-------------------|-------------------|-------------------|-------|
|            | Cuplaj: |       |       |       |                   |       |                   |                   |                   |                   |                   |       |
| $X = 0,05$ | steo SR | 18,32 | 21,95 | 26,38 | 31,02             | 36,80 | 40,80             | 46,13             | 51,99             | 58,55             | $> \frac{\pi}{m}$ | -     |
|            | steo DR | 15,37 | 18,39 | 22,05 | 26,85             | 29,71 | 33,48             | 37,81             | 42,88             | 46,93             | 52,13             | 57,84 |
|            | polygon | 21,77 | 28,48 | 21,77 | 22,02             | 21,77 | 21,90             | 21,77             | $> \frac{\pi}{m}$ | 21,77             | -                 | 21,77 |
| $X = 0,10$ | steo SR | 26,10 | 31,42 | 38,04 | 48,17             | 52,89 | 61,58             | 71,82             | $> \frac{\pi}{m}$ | -                 | -                 | -     |
|            | steo DR | 21,86 | 26,24 | 31,63 | 37,84             | 43,35 | 49,80             | 56,38             | 65,25             | $> \frac{\pi}{m}$ | -                 | -     |
|            | polygon | 31,03 | 32,09 | 31,03 | 31,42             | 31,03 | $> \frac{\pi}{m}$ | 31,03             | -                 | 31,03             | -                 | -     |
| $X = 0,15$ | steo SR | 32,19 | 38,92 | 47,45 | 66,87             | 67,91 | 81,41             | $> \frac{\pi}{m}$ | -                 | -                 | -                 | -     |
|            | steo DR | 26,91 | 32,41 | 39,26 | 46,88             | 54,77 | 63,97             | 74,93             | $> \frac{\pi}{m}$ | -                 | -                 | -     |
|            | polygon | 38,30 | 39,66 | 38,30 | $> \frac{\pi}{m}$ | 38,30 | -                 | 38,30             | -                 | 38,30             | -                 | 38,30 |
| $X = 0,20$ | steo SR | 37,42 | 46,45 | 55,83 | 68,80             | 68,84 | $> \frac{\pi}{m}$ | -                 | -                 | -                 | -                 | -     |
|            | steo DR | 31,22 | 37,72 | 45,93 | 55,03             | 65,37 | 77,93             | $> \frac{\pi}{m}$ | -                 | -                 | -                 | -     |
|            | polygon | 44,57 | 46,22 | 44,57 | $> \frac{\pi}{m}$ | 44,57 | -                 | 44,57             | -                 | 44,57             | -                 | 44,57 |

TABEL IV

Factorul de putere aparent al excitatorului in functie de numarul de faze pentru diferite reactante de comutatie si diferite conexiuni de redresare.

|            | $m$     | 2     | 3     | 4     | 8     | 6     | 7     | 8     | 9     | 10    | 11    | 12    |
|------------|---------|-------|-------|-------|-------|-------|-------|-------|-------|-------|-------|-------|
|            | Cuplaj: |       |       |       |       |       |       |       |       |       |       |       |
| $X = 0$    | steo SR | 0,637 | 0,675 | 0,637 | 0,592 | 0,551 | 0,517 | 0,487 | 0,462 | 0,440 | 0,421 | 0,404 |
|            | steo DR | 0,300 | 0,355 | 0,900 | 0,837 | 0,780 | 0,731 | 0,689 | 0,653 | 0,622 | 0,595 | 0,571 |
|            | polygon | 0,900 | 0,955 | 0,900 | 0,819 | 0,900 | 0,910 | 0,900 | 0,906 | 0,900 | 0,904 | 0,900 |
| $X = 0,05$ | steo SR | 0,629 | 0,667 | 0,629 | 0,584 | 0,545 | 0,512 | 0,485 | 0,462 | 0,442 | -     | -     |
|            | steo DR | 0,894 | 0,950 | 0,897 | 0,836 | 0,782 | 0,737 | 0,701 | 0,672 | 0,649 | 0,630 | 0,619 |
|            | polygon | 0,875 | 0,930 | 0,875 | 0,825 | 0,875 | 0,886 | 0,875 | -     | 0,875 | -     | 0,875 |
| $X = 0,10$ | steo SR | 0,616 | 0,649 | 0,604 | 0,583 | 0,506 | 0,464 | 0,429 | -     | -     | -     | -     |
|            | steo DR | 0,882 | 0,933 | 0,876 | 0,809 | 0,750 | 0,699 | 0,655 | 0,614 | -     | -     | -     |
|            | polygon | 0,846 | 0,898 | 0,846 | 0,865 | 0,846 | -     | 0,846 | -     | 0,846 | -     | 0,846 |
| $X = 0,15$ | steo SR | 0,602 | 0,628 | 0,576 | 0,515 | 0,455 | 0,931 | -     | -     | -     | -     | -     |
|            | steo DR | 0,869 | 0,914 | 0,850 | 0,776 | 0,708 | 0,645 | 0,580 | -     | -     | -     | -     |
|            | polygon | 0,815 | 0,864 | 0,815 | -     | 0,815 | -     | 0,815 | -     | 0,815 | -     | 0,815 |
| $X = 0,20$ | steo SR | 0,588 | 0,606 | 0,545 | 0,472 | 0,392 | -     | -     | -     | -     | -     | -     |
|            | steo DR | 0,855 | 0,894 | 0,828 | 0,739 | 0,658 | 0,573 | -     | -     | -     | -     | -     |
|            | polygon | 0,784 | 0,830 | 0,784 | -     | 0,784 | -     | 0,784 | -     | 0,784 | -     | 0,784 |

cele redresate ale tensiunilor și curenților este:

$$P_{ES} = m U_{ES} I_{ES} \cos \varphi = U_{ES} I_{ES} \quad (105)$$

Factorul de putere aparent al excitatoarei n-fase în conexiune poligonale:  $\cos \varphi = \frac{1}{\pi} \frac{\sin^2 d}{x_c}$  (106)

Din relațiile de mai sus se pot calcula pentru tipul de conexiune adoptat (stec sau poligon) și în funcție de numărul de faze ales, unghiul de comutăție și factorul de putere aparent al excitatoarei (B 57) reduse în tabelele III, IV.

Examinarea lor arată că, pentru rezistențe de comutăție destul de mari bine utilizată mașină se obține cu cuplajul trifazat în stec cu dublă redresare, iar valorile obținute în conexiune poligon și comutăție serie sunt foarte apropiate. De asemenea se observă că pentru conexiunile stec cu comutăție paralel unghiul de comutăție crește cu numărul de faze, iar factorul de putere aparent se diminuează iar cu cuplajul poligon cu comutăție serie aceste caracteristici sunt independente de numărul de faze dacă numărul de faze este par și verifică foarte puțin decă este impar. În concluzie se pot reține că soluțiile constructive pentru excitatoarele sinusoide cu diode rotative conexiune trifazată în stec cu comutăție paralelă dublă și conexiune poligonale cu un număr impar de faze cu comutăție serie.

În sfârșit de relațiile stabilite trebuie avut în vedere că o particularitate, faptul că în infășurarea indușului existătoarei sinusoide cu diode rotative, din cauza armonicilor superioare din curbele curentului  $I_{BSA}(t)$ , intervin pierderi suplimentare. Pentru realizarea unui rendament corespunzător, ele trebuie reduse și în acest sens se folosește, în mod obligatoriu divizarea barei în conductori elementari și transpoziția acestora în părți frontale ca în figura 4.2 (B 57).

Crișore ar fi modalitățile de redresare adoptată, curentul pe fază  $I_{BSA}(t)$  poate fi exprimat prin relație:

$$I_{BSA} = \sum_{n=1,3,5} A_n \sqrt{2} \sin(n\omega t - \varphi_n) \quad (107)$$

în care  $A_n$  - reprezintă valoarea efectivă a armonicii de ordinul "n" și " $\omega$ " pulsăția fundamentală.

Piezoei valori  $A_n$  li corespunde pierderi normale și pierderi suplimentare și cărora sunt pentru fiecare armonică două pierderile totale. În curenti sinusoidali este obișnuit să se repartizeze pierderile totale la pierderi printr-efect Joule normal, prin introducerea unui coeficient:

$$\kappa_j = \frac{J + P_S}{J} \quad (108)$$

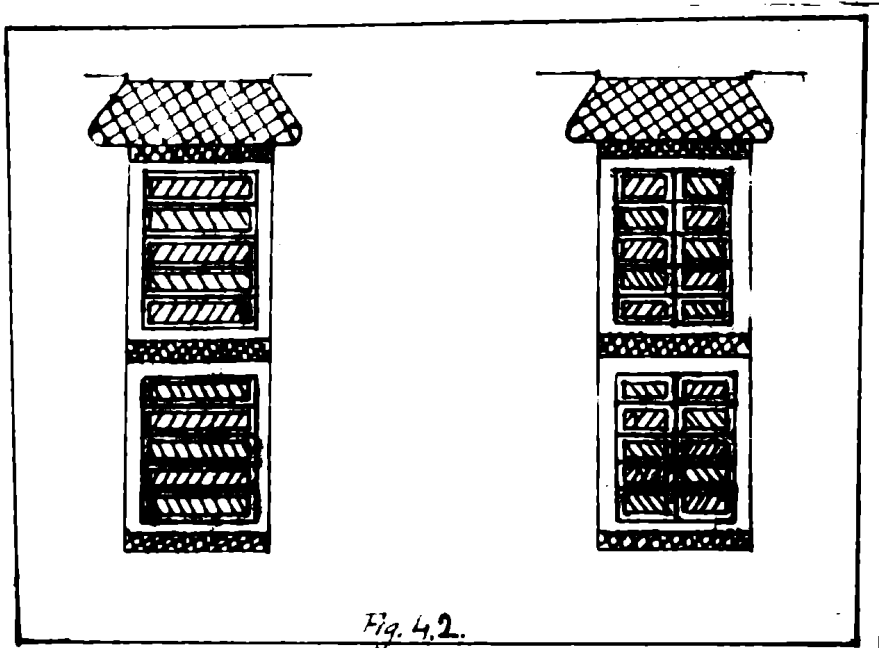


Fig. 4.2.

unde "J" reprezintă pierderile din efect Joule, iar  $P_s$  reprezintă pierderile suplimentare.

În curent redresat se poate introduce un coeficient similar, dacă în cazul  $J$  și  $P_s$  reprezintă pierderile prin efect Joule suplimentare globale. Coeficientul  $K_J$  se determină cu relația:

$$K_J = \frac{\sum A_n K_n}{I_{ES}^2} \quad I_{ES}^2 = \sum_{\lambda=1,3,N} A_\lambda^2 \quad (109)$$

Iar " $K_n$ " reprezintă coeficientul de pierderi pentru elemente de ordinul " $\lambda$ ", care depinde (B 57) de: geometria creșăturii, numărul de firuri elementare pe secțiune, frecvența tensiunii inducute și valoarea de conductie al diodelor.

Având datele inițiale determinante ale excitării sincrone se știe că pentru un volum dat, puterea mașinii este proporțională cu solenitatea specifică "A" și cu inducția medie "B". Părțile de modificare a acestor doi parametrii este foarte ingustă, dacă inducția medie poate fi crescută fără a modifica inducția maximă, minimizând factorul de scădere a tălpilor polare:

$$\alpha_i = \frac{b_p}{2} \quad (110)$$

Crescerea lui " $\alpha_i$ " strânge scurterea timpului de conductie al diodelor, deci creșterea curentului de virf și a curentului efectiv, dar și o solicitare mai mare a diodelor din redresorul rotativ.

Volumul excitării " $D^2 L$ " (D-fiind diametrul exterior al inductorului, L-lungimea părții active) este determinat de o putere convențională produsă de curentul nominal și de plafonul de tensiune, astfel că circuitul magnetic și mașinii este mai larg dimensiunile în regimul nominal (corespunzător factorului de fierbere impus

prin datele nominale ale mașinii), valoarele saturate ale indusărilor stingerindu-se doar la forțare.

Frecvențe tensiunii electrocactice induse prezintă o importanță deosebită prin influența pe care o are asupra constantei de timp a amplitudinii și implicit asupra proprietăților de reglaj ale mașinii.

Spre deosebire de generatoarele sincrone obișnuite la proiectarea excitației lor sincrone apar o serie de aspecte speciale referitoare la: asigurarea unui raport corespunzător între puterea de excitație maximă și nominală ( $\frac{P_{ef}}{P_{nom}} \cong 3,5-4$ ), asigurarea platoului tensiunii și în special al vitezei de excitație suficiente, pentru funcționarea sigură a generatorelor sincrone în centralele electrice.

4.2. Alegerea criteriului de optimizare la proiectarea excitației sincrone cu diode rotative. Aplicația sa la calculul de dimensionare a infăptuirii îndepărtare

La excitațioarele sincrone cu redresor rotativ cu diode se acordă prioritate optimizării parametrilor mașinii în regimul transitoriu cel mai important și enume la forțarea excitației (respectiv vitezei de excitație) și abia în al doilea rând ca importanță dimensiunilor circuitului electromagnetic al mașinii. Pe acest considerent drept criteriu de optimizare pentru calculul excitației sincrone cu diode rotative se elage obținerea celei mai mari viteze de excitație, deci:

$$V_{ex} = V_{ex\max} \quad (41)$$

Pentru a găsi o varianță optimă din punctul de vedere al vitezei de excitație, vor calcula în practică o mașină pornind de la datele inițiale, la care se adaugă mărimea geometrice de bază, elemente ale infăptuirilor din rotor și stator și calitățile lor. Viteza de excitație calculată pe baza relațiilor (77), (78), (79) se va optimiza prin dimensionarea excitației, astfel ca să se obțină pentru ea ocazii mai scăzute de timp, modificând într-un domeniu larg, dacă posibil de executat (practic limitat la pleje de valori din datele inițiale, care să nu duce la un număr exagerat de mere de iterații), infăptuirea inductoarelor a excitației, respectiv numărul de spire și secțiunile lor. Această soluție are avantajul că, din punct de vedere matematic este mai simplă și permite folosirea metodelor clasice de proiectare; necesitatea însă dimensionării

unui prime variante, bazată pe experiențe unor mașini de jo zecilele astăzi.

Dimensionarea preliminară a excitatoarei se face în funcție de datele infășurării de excitație ale generatorului sincron principal (putere, tensiune și curent de excitație) la care se adaugă cerințele impuse sistemului de excitație privind performanțele în regim transitoriu, în principal factorul de fazare și tensiunii, curentul de fazare și viteza de excitație.

Cunoscând tensiunea și curentul la bornile infășurării de excitație a generatorului sincron principal la temperatură de funcționare a acestor infășurări, se determină pe baza relațiilor (88), (89) tensiunea și puterea la inelele redresorului cu diode zotative.

În funcție de schema de redresare adoptată (trifazată cu comutare paralel dublă sau polifazată cu comutare serie), se determină cărurile nominale în curent alternativ ale excitatoarei (relațiiile (92), (95), (98), (101), (102), (103), (104), (105) și se alege tipul de infășurare al rotorului care satisfac condițiile exprimate prin relațiiile (4), (9) sau (14). Din tabelele III, IV se sporesc anumitele de comutare și factorul de putere sperant al excitatoarei în funcție de numărul de faze, modul lor de conexiune și reactanțe de comutare, apoi se alege frecvența tensiunii electromotoare induse (figura 3.5, tabelul II) și implicit numărul de poli și excitatoarei.

Inductia maximă în intregier se adoptă în mod obișnuit sub 0,6 T (figura 3.6), dar inducția medie poate fi mărită prin alegerea unui factor de scoperire a tuturor polurilor (relație 110) cuva mai mare ( $\alpha_i \approx 0,75 - 0,82$ ) decât cel usual la generatorele sincrone cu poli speranți în rotor ( $\alpha_i \approx 0,67 - 0,72$ ). În fază inițială se aleg cîteva valori ale frecvenței tensiunii electromotoare induse (figura 3.5) pentru care se face o predimensionare a mașinii, astfel încît soluțările electromagneticice (inducție în intregier și rezistență specifică) să se înscrie în limitele recomandate. Dimensiunile geometrice alese se completează cu un caleoul emanațit al circuitului electromagnetic al excitatoarei, după care se determină caracteristicile de mers în gel și sarcină.

Pentru calculul vitezei de excitație (relație 79) se determină în prealabil curbe de variație în timp a tensiunii excitatoarei care alimentează bobinajul rotoric al generatorului principal (relație 77).

Constante de timp a excitatoarei se exprimă cu parametrii excitatoarei, în care se evidențiază numărul de spire și secțiunile

lez, cu care se poate executa bobinajul de excitație și excita-toarei și care se introduce împreună cu datele inițiale în programul de calcul, astfel:

$$T_{ESE} = \frac{x_{ESE}}{\omega R'_{ESE}} = \frac{x_{ad} + x_{ESES}}{\omega R'_{ESE}} \quad (112)$$

În această relație (112) intervin următoarele elemente care se determină în continuare:  $\omega = 2\pi f$

- rezistență ohmică a întregii infășurări de excitație:

$$R_{ESE} = P_{70\%} \frac{(N_E W_{ESE})^2 p}{S_{ESE}} \quad (113)$$

În relație (113) "N<sub>ESE</sub>" reprezintă numărul de spire pe poli al infășurării de excitație a excita-toarei, iar l<sub>E</sub> și S<sub>ESE</sub> sunt lungimea medie și secțiunea transversală a acestei spire.

- rezistență ohmică a infășurării de excitație redusă la rotor care se obține din rezistență întregii infășurări de excitație (relație 113) și un factor de reducere "δ<sub>r</sub>" astfel:

$$R'_{ESE} = \frac{\pi}{12} \frac{10^8}{f \frac{W_{ESE}}{p}} K_W \delta_r \frac{A}{l_i B_S} R_{ESE} \quad (114)$$

Acest factor de reducere "δ<sub>r</sub>" reprezintă expresarea solenității rotorice printr-o solenitate echivalentă statică și se obține în funcție de rotorul " $b_p/z$ ". În figura 4.3 sunt reprezentate două curbe obișnuite în expresia lui "δ<sub>r</sub>" și anume: cazul în care cimpul este de formă dreptunghiulară, respectiv sinusoidală.

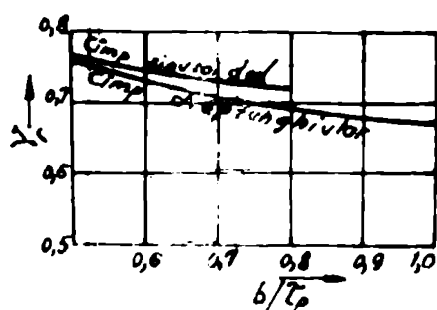


Fig. 4.3  $\delta_r = f\left(\frac{b}{T_p}\right)$  în cazuri sincrone  
cu poli aparenti

- rezistență de reacție a indușului după axa "d" este:  $x_{ad} = k_d \frac{T_a}{F_d}$  (115)
- unde "k<sub>d</sub>" este coeficientul de reducere al cimpului rotorului la stator după axa "d"
- rezistență de dispersie a infășurării de excitație "x<sub>ESES</sub>" (B 49)

$$x_{ESES} = x_{ad} (\tilde{\sigma}_e - 1) \quad (116)$$

unde  $\tilde{\sigma}_e$  - coeficientul de dispersie al infășurării

de excitație care se exprimă:

$$\tilde{\sigma}_e = K_d (K_d + \frac{2 F_d b_i \cdot \lambda}{\phi_1} 10^{-6}) \quad (117)$$

în care λ - permeanță specifică a polilor:

$$\lambda = \lambda_m + \lambda_p \quad (118)$$

unde  $\lambda_m, \lambda_p$  sunt permeanțele specifice ale corpului polilor și tălpilor polare și căror calcul se face astfel:

$$\lambda_m = \frac{1}{2} \frac{h_K}{c_m} + \frac{2,3}{\pi} \cdot \frac{h_K}{b_p} \log \left( 1 + \frac{\pi}{2} \frac{b_K}{c_m} \right) \quad (119)$$

$$\lambda_p = \frac{h_{pm}}{c_p} + \frac{2,3}{\pi} \frac{2h_{pm}}{b_p} \log \left( 1 + \frac{\pi}{2} \frac{b_p}{c_p} \right) \quad (120)$$

În elementele geometrice care intervin în relațiile (119,120) se observă în figura 4.4:

$$c_m = T - b_K + \frac{\pi}{2p} (h_K + 2h_p + 2\delta) \quad (121)$$

$$c_p = T - b_p + \frac{\pi}{2p} (h_p + 2\delta)$$

$$h_{pm} = \frac{2h_p + h'_p}{3}$$

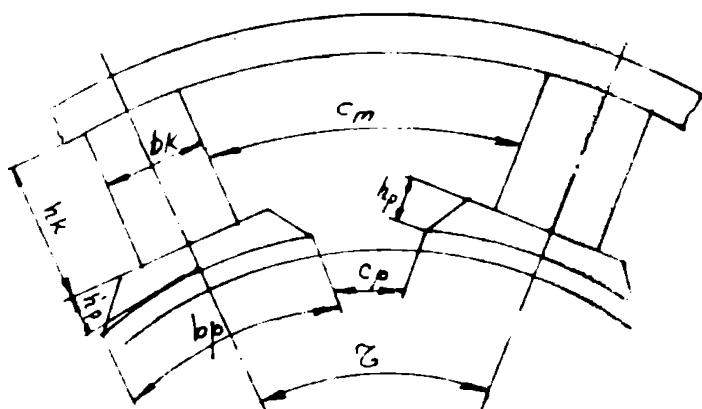


Fig. 4.4

Calculul vitezei de excitație se realizează pentru toate valoările corespunzătoare din metricele inițiale ale numărului de spire și înășurării inducție  $W_{ESE}(i)$  și sarcinile corespunzătoare ale spirelor  $S_{ESE}(j)$  și se determină varianțe pentru care se ob-

tine viteza de excitație maximă. După o verificare a posibilității de realizare constructivă se finalizează calculul pentru variante optime a excitatoarei sincrone cu diode rotative.

#### 4.3. Metodica practică de dimensionare a excitatoarei sincrone cu diode rotative

##### 4.3.1. Dimensionarea excitatoarei sincrone în varianta inițială

Detele de excitație ale generatorului sincron principale și cauze: puterea de emisie, curentul de excitație pentru diverse regimuri de funcționare (gol, sarcină, suprasarcină), tensiunile de excitație, împreună cu cerințele impuse sistemului de excitație privind stabilitatea tensiunii și parametrii în reacție transitoriu (factor de forțare și viteza de excitație), determină mărinile nominale ale excitatoarei sincrone cu diode rotative în curent alternativ.

Pentru a stabili tensiunea internă a excitatorului se va mări tensiunea de excitație necesară la generatorul principal cu cărora de tensiune din conductoarele de legătură dintre redresoare și înălțătorul de excitație a generatorului principal, precum și cu cărora de tensiune din redresorul rotativ cu diode (relațiile (87), (88), (89)). Având tensiunea, respectiv curentul continuu pe care îl va furniza excitatorului cu diode rotative, și numărul de faze ale ( $m=3$  – dacă redresorul rotativ cu diode este în puncte trifazată cu dublă redresare sau  $m > 3$ , dacă redresorul rotativ cu diode este cu "comună serie"), se determină tensiunea efectivă pe fază și curentul efectiv pe fază, respectiv factorul de putere eșantion al excitatorului. (Tabelele III, IV, relațiile: (92), (95), (101), (103), (106)). Cu aceste elemente se calculează puterea eșantionă a excitatorului sincron:

$$S_{ES} = M \cdot U_{ES} \cdot \cos \varphi \quad (122)$$

Decaerea excitatorului funcționează la  $\cos \varphi \approx 1$  și mărește cu cca. 5-10% valoarea puterii eșantionă a excitatorului sincron. Pentru această putere se alege diametrul rotorului mașinii "D<sub>es</sub>", ținind cont de tipul constructiv al excitatorului (orientat sau vertical) de turăție de ambalare a generatorului principal și apoi se determină lungimea indușului excitatorului "l".

Prevenirea tensiunii electromotoare induse se alege în acel fel, încit pe de o parte puterea de excitație a excitatorului să fie cît mai mică (figura 3.5), și pe de altă parte, viteza de excitație să fie cît mai mare. (Tabel II) și să rezulte în același timp un număr de poli "2p", pentru care dimensiunile, respectiv solicitările magnetice din poli să fie corelate cu inducția din întreierul excitatorului de  $B_d = 0,4-0,6$  T. Tot din considerante constructive se preferă alegerea unui diametru rotor cît mai mare și reducerea corespondenței a lungimii mașinii, decădere acoalași diametru se va alege și pentru discul pe care se dispun diodele redresorului rotativ, în acel fel încit rotorul excitatorului și discul cu diode să constituie o unitate funcțională și să se ușureze astfel, operațiile de montare – demontare pe arborele generatorului principal.

Inducție în întreierul excitatorului la mera în gol și tensiune maximă are valori normale cuprinse între 0,4-0,6 T în funcție de puterea mașinii, iar solenetele specificei acestei părți de curenții a rotorului se avocă valori cuprinse între 300-650 A/cm, valoriile mai mari fiind pentru excitatorele cu puteri mai mari.

La excitațoarele sincrone cu redresor rotativ se consideră ca normale următoarele valori ale inducțiilor în diferitele porțiuni ale circuitului magnetic la mera în gol și tensiunea nominală respectiv la tensiunea de forțare de 1,8 ori tensiunea nominală:

|   | <u>Pt U<sub>N</sub></u> | <u>Pt 1,8 U<sub>N</sub></u> |
|---|-------------------------|-----------------------------|
| - în dinții rotor la 1/3 din înălțimea dintelui | $B_{z/3}$ 1-1,25 T      | 1,7-2 T                     |
| - în jugul rotor                                | $B_{jr}$ 0,4-0,7 T      | 0,8-1,2 T                   |
| - în polii de excitație(statorici)              | $B_k$ 0,8-1 T           | 1,6-1,9 T                   |
| - în jugul stator                               | $B_{js}$ 0,55-0,75 T    | 1-1,3 T                     |

Din motive constructive (de pildă, posibilitatea de montaj) înălțimea jugului rotor respectiv a jugului stator pot avea astfel de dimensiuni, încit valoarea inducțiilor în poziunile respective să fie considerabil mai mici decât valoarea indicată mai sus.

Densitățea de curent în infășurarea rotorică are valori cuprinse între  $j_1=3 \text{ A/mm}^2$  pînă la  $5 \text{ A/mm}^2$ , fiind dependente de lungimea pecheteelor elementare care compun miezul indușului și de vîntura periferică a rotorului. Densitatea de curent în infășurarea statorică se limitează la valori cuprinse între  $1-1,5 \text{ A/mm}^2$ . Această limitare la valori relativ mici ale densității de curent în infășurarea de excitație se impune datorită condițiilor de ventilație mai dificile a acestei infășurări statorice.

Numărul de spire pe faza "W" este important în calculul tensiunii electromotoare inducă și de asemenea în alegerea tipului de infășurare rotorică (§ 2.2), pentru care se verifică unele condiții de simetrie (relațiile (4),(5),(6),(10)).

Avind aceste mărimi stabilite se calculează numărul de creșături pe poli și fază "q", pesul polar "Z", pesul excitației și lățimea dintelui pentru diverse înălțimi ale dintelui (1/2; 1/3; 1/1), lățimea tălpilor polare " $b_p$ ", pentru un factor de acoperire polară  $\alpha_p \approx (0,7-0,85)$ , înălțimea jugurilor rotor și stator, precum și factorul de infășurare pentru bobinajul rotor și factorii lui Cartes pentru calculul tensiunii magnetomotoare din intreafierul excitației.

După alegerea intreafierului (Tabel II), calculul factorilor de formă: " $K_\phi$ " - al surbei cimpului și " $K_\lambda$ " - al tălpilor polului, se continuă cu calculul caracteristicii de mera în gol și

excitației, după ce în preslabil sau stabilit lungimile liniilor de cîmp pentru principalele poziții ale circuitului magnetic.

Pentru calculul tensiunii magnetomotoare în polii de excitație și în jugul stator se va lua în considerare fluxul:

$$\Phi_K = \Phi + \phi_0 \quad (123)$$

care se deosebește de fluxul  $\Phi$  prin fluxul de dispersie  $\phi_0$  ce se poate determina cu ajutorul factorilor de dispersie " $G_K$ " pentru corpul polilor și " $G_p$ " pentru tălpile polare (B 61).

Tensiunea magnetomotoare totală se determină pentru mai multe valori ale tensiunii (0,4; 0,6; 0,8; 1; 1,2; 1,4; 1,6; 1,8; 2; X UN), necesare pentru tracarea caracteristicii de mers în gol.

Pentru determinarea tensiunii magnetomotoare la funcțiunile în sarcină nominală a excitatoarei se calculează în preslabil tensiunea magnetică de reacție a indușului, apoi calculul se efectuează cu metoda diagramei medane transpuse analitic (B 39). În acest scop se exprimă principalele reactanțe pentru regimul statioron și transitoriu și anume: reactanța de reacție a indușului după axa longitudinală " $x_{qd}$ ", după axa transversală " $x_{dq}$ ", reactanța de dispersie a indușului " $x_0$ ", reactanța sincronă longitudinală și transversală " $x_d$ ", " $x_q$ ", reactanța de dispersie a infășurării de excitație " $x_{ESE}$ " și reactanța transitorie longitudinală  $x'_d$ .

Cu aceste elemente se face calculul tensiunii magnetomotoare la sarcină nominală, care reportată la numărul de poli și la curentul de excitație nominal admis pentru excitatoare, determină numărul de spire " $N_{ESE}$ " al infășurării de excitație. Infășurările de excitație de pe poli stator se realizează prin conectarea în serie a tuturor polilor și se avizează rezistența ohmică la temperatură normală de funcționare (aprox. 75°C) calculată conform relației (113). Tensiunile de excitație pentru regimul de mers în gol, nominal și de forțare cunoscând curentul de excitație sunt:

$$U_{ESE_0} = R_{ESE} \cdot I_{ESE_0} \quad (124)$$

$$U_{ESE_n} = R_{ESE} \cdot I_{ESE_n} \quad (125)$$

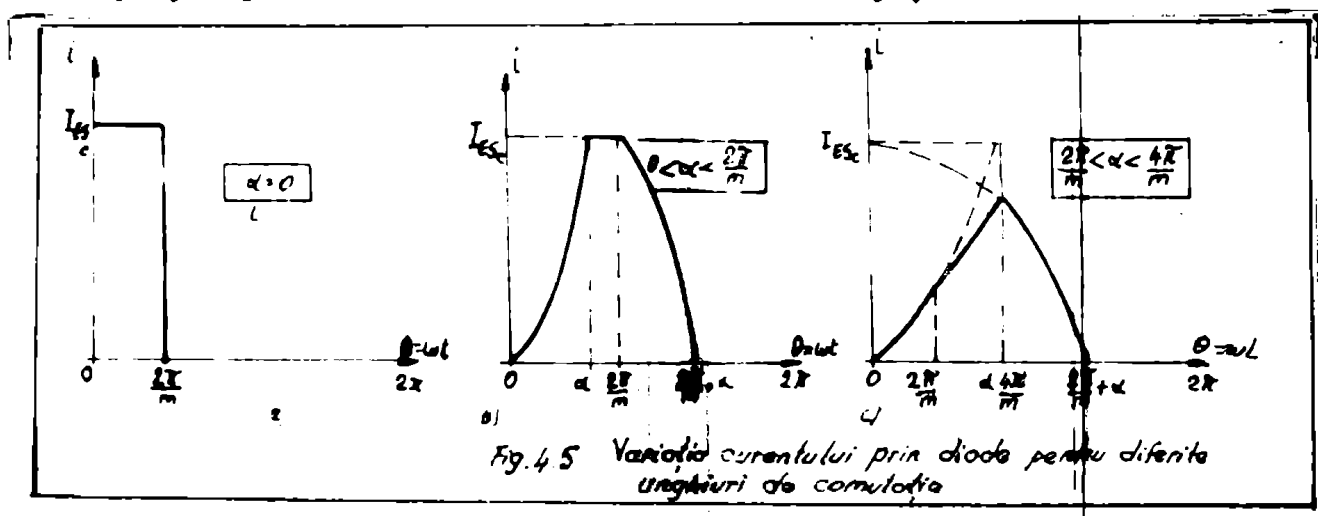
$$U_{ESE_f} = R_{ESE} \cdot I_{ESE_f} \quad (126)$$

Elementele determinate mai sus constituie datele inițiale ale excitatoarei sincrone, necesare pentru programul de calcul pe baza criteriului de optimizare ales, al vitezei de excitație maximă.

#### 4.3.2. Dimensiunile punctii redresare cu diode rotative.

Puncte redresoare cu diode rotative se proiectează astfel, încât să formeze o unitate constructivă funcțională cu îndesul excitației sincrone și să asigure conectarea directă la înfășurarea de excitație a generatorului sincron principal. La dimensiunile punctii redresoare rotative, cel mai important aspect îl constituie eleganța diodelor semiconductoare, ținând cont de puterea instantanea ce se dezvoltă în jențiune și de faptul că se poate evita o putere superioară funcționării lor în regim stationar, determinată răcirii forțate etită a diodelor, cît și a rezistorilor în care sunt montate acestea.

Puterea instantanea dezvoltată în jențiune este funcție de curenț și deci curențul continuu admisibil depinde de forma curențului prin diodă, adică de numărul de faze și de unghinul de comutare, după cum se observă în figura 4.5:a,b,c (B 57).



Căderea de tensiune directă este dată de producătorul diodelor și cu ajutorul ei se poate determina puterea dezvoltată pentru o variație a curențului prin dioda în funcție de timp pentru o perioadă "T" cu relația:

$$\frac{1}{T} \int_0^T P dt = P_m \quad (127)$$

în care  $P_m$  - este puterea medie pe care se poate evita dioda, cunoscută din datele de catalog ale diodelor.

Ecuția (127) permite determinarea curențului median admisibil prin diode.

În alegerea diodelor (tipul și numărul de unepe montate în paralel) pe lîngă regimul de forțare considerat ca regim normal de funcționare, se consideră pentru măririle siguranței în exploa-

tere și regimurile de averie (scurtcircuite) în care cas creșterea curentului este de aprox. 2-3 ori peste valoarea nominală, în funcție de mărimea generatorului principal.

Diodele utilizate în mod obișnuit având curentul median redresat  $I_g = 400-500 \text{ A}$ , asigură bune funcționare a excitatoarei și în cazul regimurilor de averie.

Un aspect important în funcționarea redresorului rotativ îl constituie comportarea mecanică a diodelor la solicitările determinate de forței centrifuge ce acționează asupra lor în regimul de ambalare. Diodele rotative trebuie să suporte fără deteriorări accelerării maxime de 6500 gr.(B 6C). Deoarece majoritatea diodelor utilizate au fost construite pentru o funcționare în regim static, ele au fost verificate în mișcare de rotație, iar la mașinile cu turări foarte ridicate ( $n > 1500 \text{ rpm}$ ) s-a trecut la folosirea unei diode cu contact sub presiune și răcire pe ambele fețe, diodele conținându-se astfel, ca forță centrifugă să se adauge presiunii de contact.

În proiectarea punctii redresare rotative se ține seama de două aspecte principale și anume: solicitarea punctii sub aspectul curentului și al tensiunii. Proiectarea punctii redresare pentru curent se face considerind regimul de forțare al excitatoarei ca regim de durată și se procedează în mod distinct pentru cele două tipuri de conexiune a redresorului rotativ cu diode. Astfel, în redresorul cu "comutare paralel dublu", realizat practic sub formă punctii trifazate cu dublă redresare, numărul de diode ce urmărește să fie conectate în paralel pe braț de punte este (B 1):

$$N_p = \frac{k_f I_{ENG}}{3 I_0 k_s} \quad (428)$$

în care  $N_p$  - este numărul de diode legate în paralel pe braț de punte,  $I_{ENG}$  - curentul de excitație nominal al generatorului principal,  $I_0$  - curentul redresat maxim admis pe diodă și  $k_f$  - factor subunitar (de obicei  $k_f \approx 0,8$ ) ce ține cont de repartizarea neuniformă a curentului în diodele conectate în paralel.

Numărul de diode stabilit astfel, nu prevede și diodele de rezervă. În general cu o singură diodă de rezervă pe grup de diode legate în paralel, pe o fază, se obține o siguranță suficientă în exploatarea acestui sistem.

În redresorul rotativ cu "comutare serie", se determină curentul median prin diodă, pentru regimul de forțare a excitării astfel:

$$I_{med} = \frac{K_5 I_{ENG}}{m} \quad (129)$$

Din relația (129) se observă că pentru un anumit tip de diode să se posteze micșora curentul median prin mărirea numărului de faze și excitatorul sincron. Reserva în ceea ce este siguranță de fazele vecine, cu condiția de a nu introduce asimetria sub poli diferenți.

În ceea ce privește dimensiunile punții redresoare sub aspectul tensiunii se ține seama de posibilitatea funcționării în regim asincron, cu generatorul conectat la rețea, cu întregul circuit secundar să curențul de excitație său la disperșiile securtei circuitului pînă la sincronizare, cind se produce o tensiune care nu crește peste 2-3 ori tensiunea nominală de excitație (B60), la generatorurile cu puteri pînă la 60-150 MVA. În ceea ce se va întâmpla se produce la puterea nominală a mașinii la unele tipuri de redresoare utilizate, pentru toate tensiunile ce provin din circuitul de excitație al generatorului principel se găsesc două diode legate în serie, astfel că o diodă preia de fapt numai jumătate din această tensiune. De acese se consideră că o dimensiune a punții redresoare la o tensiune de 5 ori tensiunea nominală prezintă o siguranță suficientă în funcționare. Cu diodele care se fabrică în prezent având tensiunea inversă de lucru  $V_{invmax} = V_{RWM} = V_{RSM} = (1300-2500)$  se poate realiza cu ușurință acest factor de siguranță, fără a conecta mai multe diode în serie și fără a necesita protecții suplimentare la supratensiuni.

Pentru aprecierea instalației de redresare rotative se determină apoi factorul de ondulare, factorul de utilizare, precum și pierderile totale din redresor.

În general redresorul rotativ având diodele dimensiunile pentru solicitările din regimurile de funcționare exătate (factorul excitației, securitei circuite, etc.) și în plus o rezervă pre-venită, garantează fiabilitatea în ansamblu a excitatorului sincron cu diode rotative.

4.4. Procesul de optimizare al excitatoarei sincrone  
pe baza criteriului vitezei de excitatie maxime,  
pornind de la variante initiale.

Pentru proiectarea optimală a excitatoarei sincrone cu diode rotative am elaborat un program de calcul original, bazat pe repetarea calculelor cu valori diferite ale numărului de spire și infășurării de excitație a excitatoarei " $\text{E}_{\text{SE}}$ " și ale secțiunii acestor spire " $S_{\text{ESE}}$ ", pînă ce se obține viteza de excitație dorită, programul de calcul fiind structurat conform schemei logice din figura 4.6.

Calculul vitezei de excitație necesită determinarea variației tensiunii reduse ale excitatoarei cu diode rotative pornind de la tensiunea nominală, în timpul procesului de formare a excitării, utilizând relația stabilită (relație 77).

Constanta de timp a excitatoarei care intervine în relație (77) se exprimă cu parametrii calculații, conform relației (112). Începuind în relație (112) expresia rezistenței infășurării de excitație a excitatoarei din relațiile (113) și (114) constanta de timp devine:

$$T_{\text{ESE}} = K_{\text{ESE}} \cdot W_{\text{ESE}} \cdot S_{\text{ESE}} \quad (130)$$

unde:

$$K_{\text{ESE}} = \frac{12 \chi_{\text{ESE}} / \cdot B \delta}{\pi^2 10^8 A_f \rho \cdot K_W \gamma_r \cdot L_{\text{WE}}} \quad (131)$$

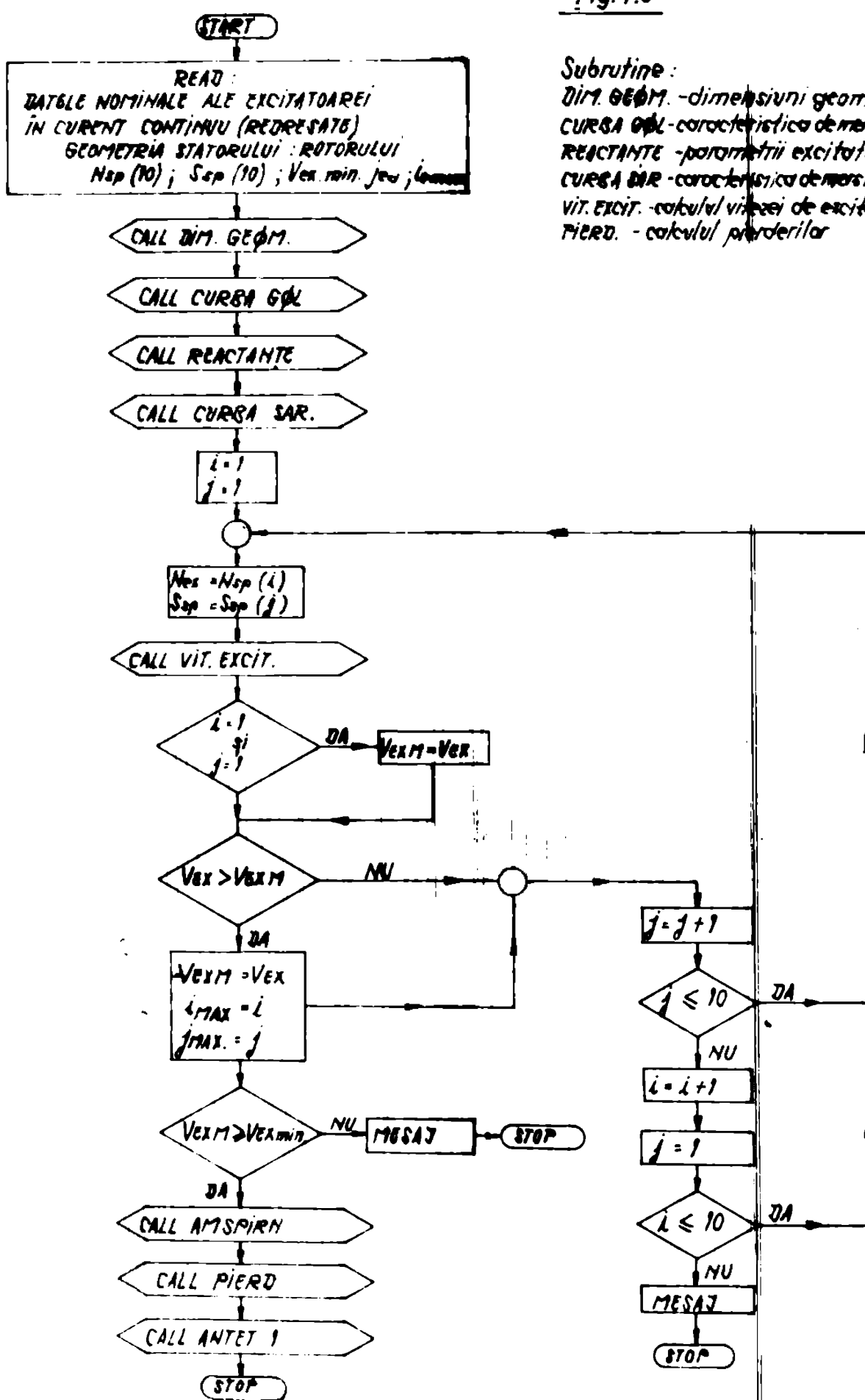
Din expresie (130) se observă că pentru o variantă de mașină clasică, deci cu mărimele care intervin în relație (131) menținute fixe (inductiv, solenodie specifică, dimensiuni geometrice principale), constantea de timp a excitatoarei depinde de numărul de spire al infășurării de excitație a excitatoarei " $\text{E}_{\text{SE}}$ " și de secțiunea acestor spire " $S_{\text{ESE}}$ ".

Acestă dependență este prezentată în figuri 4.7 și 4.8, iar valorile limită ale maximelor variabile sint determinate din condițiile restrictive din programul de calcul.

Schemă logică și programă

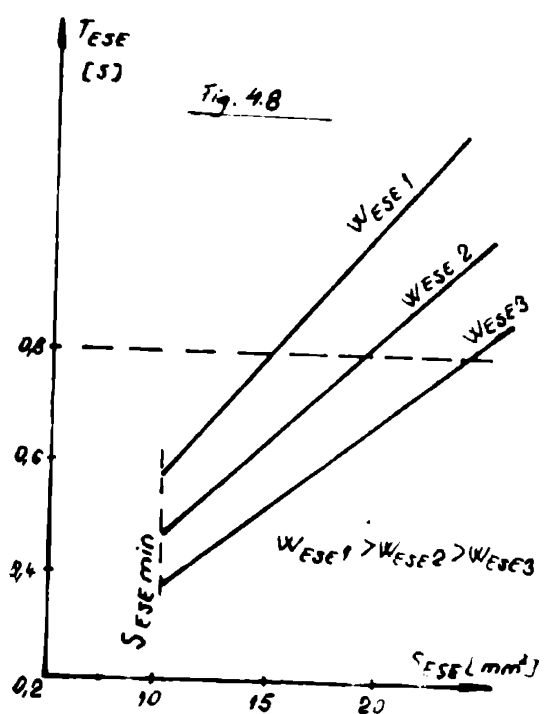
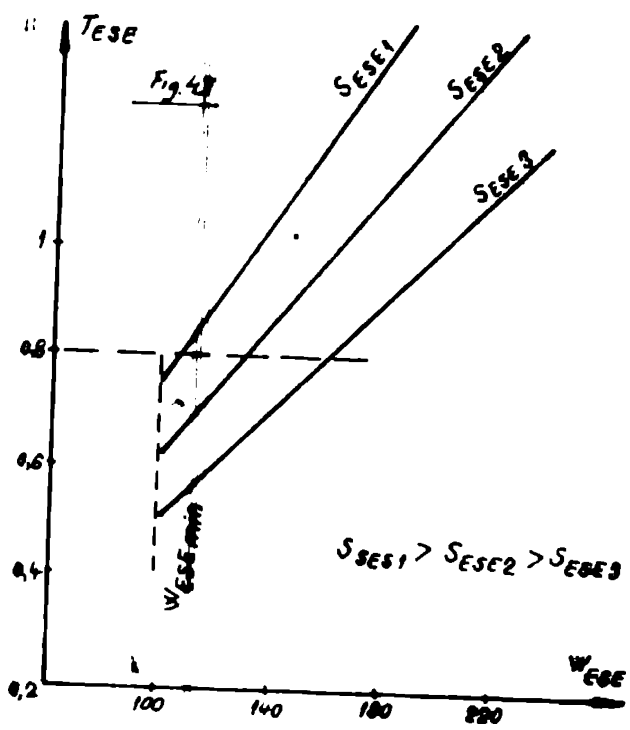
~~Calcul optim al E.S.R.~~

Fig. 4.6



Subroutine:

DIM. GEOM. - dimensiuni geometrice  
CURSA GOL - caracteristica de mers în gol  
REACTANTE - parametrii excitatoare  
CURSA SAR - caracteristica de mers în sarcină  
VIT. EXCIT. - calculul vitezei de excitatie  
PIERD. - calculul pierderilor



Condițiile limite referitoare la numărul de spire se realizează prin impunerea unui curent de excităție, nominal și excitătoarei admisibile:

$$W_{ESE\min} \geq \frac{F_n}{2 I_{ESEn}} \quad (132)$$

iar referitor la secțiunea spirei, printr-o densitate de curent maximă admisibilă:

$$S_{ESE\min} \geq \frac{I_{ESEn}}{I_{ESE\max}} \quad (133)$$

Cu valoarea constantă de timp a excitătoarei " $T_{ESE}$ " calculată pentru varianțe inițiale se determină variația tensiunii  $U(t)$ . Din relație (77) se observă că valoarea tensiunii  $U(t)$  la momentul  $t=0$  este chiar  $U_0 U_B$ . Pentru a determina în continuare valoarea  $U(t)$ , vom da o serie de valori variabilei timp "t", de exemplu  $t_1 = \Delta t$  și se exprimă tensiunea excitătoarei, apoi se calculează valoarea acesteia la momentul  $t_2 = 2 \Delta t$ . Calculul continuu în acest mod precizie fiind determinată de mărimea intervalului de timp cles "  $\Delta t$  ". Programul calculatorului se realizează în aşa fel, încât să se obțină valoările discrete ale tensiunii în momentele  $t_k \Delta t$ . Astfel, se ajunge la o valoare  $t=t_{\max}$  corespunzătoare tensiunii de forțare impuse  $U_{Bf}$ . Din curbe  $U(t)$  se determină valoarea  $U = U_{Bf} + 0,632(U_{Bf} - U_{B0})$ , pentru care corespunde o certaină valoare a timpului  $t=t_1$ , cu care se calculează viteza de excităție nominală a excitătoarei cu relația (79). Această valoare a vitezei de excităție s-a determinat cu constante de timp a ex-

citateorei " $T_{ESE}$ ", calculată pentru varianțe inițiale a infășurării de excitație și excitateorei, deci pentru un anumit număr de spire " $n_{ESE}$ ", care constituie valoarea inițială ( $i_0$ ) și corespondența valoare inițială a secțiunii spirei de excitație  $S_{ESE}$  ( $j_0$ ) să se observă în schemele bloc din figura 4.6.

Pentru determinarea varianței optime se utilizează două cicluri repetitive de tip "DO". Prințr-unul se calculează viteza de excitație pentru toate secțiunile din matricea inițială a secțiunilor firului de cupru și infășurării de excitație  $S_{ESE}(j)$  pentru  $j=1..n$  și prin celălalt se calculează viteza de excitație pentru varianțele numerelor de spire și infășurării de excitație din matricea  $E_{ESE}(i)$  pentru  $i=1..m$ . Totul se termină cind cele două variabile de control " $i,j$ " să nu depășească valoările finale respective ( $i_{max}=i$ ,  $j_{max}=j$ ).

În cadrul ciclului se calculează viteza de excitație pentru diverse valori ale constantei de timp a excitateorei " $T_{ESE}$ " care la sfârșit ei se calculează pentru valoarea secțiunii cuprului și pentru numărul de spire și infășurării inductoare din matricea inițială care satisfac condițiile de limită impuse în programul de calcul (relațiile (132), (133)).

După calculul vitezei de excitație maximă se verifică dacă aceasta este mai mare sau egală cu viteza de excitație minimă impusă de datele inițiale ( $v_{ex,min}$ ). Dacă această condiție nu este îndeplinită atunci se schimbă valoările din matriceile numărului de spire și secțiunii cuprului infășurării inductoare și se reia calculul de la început. În cazul în care condițiile sunt satisfăcute, înseamnă că s-a determinat varianța optimă pentru viteza de excitație și se continuă programul de calcul cu calculul pierderilor și cu afișarea rezultatelor.

Grafic se verifică ulterior, posibilitatea amplasării infășurării de excitație în ferestrele interpozate a statorului excitateorei, care este realizabilă în majoritatea cazurilor, decarece matricele cu valoarea numărului și secțiunii spirei alese inițial, se inseră într-un domeniu frecvent utilizat la mașini similare.

Programul de calcul optimel, conform schemei bloc din figura 4.6 cuprinde datele de intrare necesare efectuării calculelor (READ), care se indică în cadrile de rulare și o serie de subroutines pentru: calculul dimensiunilor geometrice (DIMGEOM) și

caracteristicii de mera în gol (CURBAGCL), a caracteristicii de mera în sarcină (CURBASAR), a parametrilor (REACTANTE), spații și semnale pentru optimizarea vitezei de excitație (VITEXCITMAX), a pierderilor și de eficiențe a rezultatelor.

Programul este structurat sub formă unui program principal care citește datele inițiale, apelând subroutines și începând JBL-ul și subroutinele care calculează și afișează fiecare rezultatul calculat. Acestea subroutine realizează cîrlul de optimizare și apelând la altele (de ex. pentru interpolări în tabele).

Aplicația programului de calcul optimel permite eleganță unei noi bune variente de înălțare industrială, printre care relativ nis de iteratii și ținind cont de posibilitățile reale ale usinei producătoare, în sensul că matricea secțiunilor înălțării de excitație a emittorului  $\text{Si}_\text{N}_\text{O}$  ( $j$ ) se extinde și se limitează la un singur tip, rezultându-se la situație concretă de aprovvisionare cu acest tip de conductor de cupru.

In anexă se prezintă un model de cerere de rulare pentru calculul unei emittore sincrone cu diode rotative.

## CAPITOLUL V

### APLICAREA PRACTICA A METODICII PROPUSE. RESULTATE EXPERIMENTALE

#### 5.1. Resultatul proiectării apărute la un lanț de excitațore sincrone cu diode rotative utilizate la hidrogeneratoarele sincrone

Pînă în prezent soluțiile moderne în concepție și realizarea hidrogeneratorilor se inseră și sistemul de excitație al hidrogeneratorilor, cu excitațore sincronă cu diode rotative, care a fost folosit prima oară în țară la hidrogeneratoarele de la centralele hidroelectrice de la Creble și Motru, ulterior, soluția să extindă la o grădă largă de hidrogeneratoare, cel mai mare realizat, în concepție proprie fiind cel de la centrala hidroelectrică Rîul-Nerești.

In tabelul V sunt prezentate hidrogeneratoarele din țară, de puteri cuprinse între 2 MVA și 190 MVA și de turături între 100 și 1000 rpm echipate cu excitațore sincrone, cu diode rotative. Aceste excitațore sunt de concepție recomandată proiectată de CCSITU Reșița, la conceperea lor autorul participind încă de la început.

Sistemele de excitație au fost concepute sătă pentru funcționarea în regim manual de reglare a excitației, prin reșterat de excitație, și și pentru regimul de reglare automată prin regulator automat de tensiune. Regulatorul automat de tensiune utilizat la excitațoarele sincrone cu diode rotative este un dublu canel de reglare, care presupune, în afara căii de reglare a tensiunii, un al doilea canel complet independent servind pentru ajustarea menajării a curentului de excitație. El este în întregime electronic, având etape finale de forță realizate cu tiristoare montate în puncte complecă comandă. Canelel de reglare automată a tensiunii realizează următoarele funcții: excitație automată a generatorului cu posibilitatea varierii tensiunii (în gol) între (0,85-1,15) Unidecimale tensiunilor generatorului cu sistemul în vedereexplorării în paralel; forțarea excitației în ceea ceva curte circuit în sistem; limiteaza durata de forțare și a plefonului său; limiteaza curentului minim de excitație. Regulatorul automat de tensiune debitează pe infășurarea de excitație a excitațoarei sincrone, iar alimentarea să se facă de la serviciile interne, sau pînă în transformator special, direct de la bobinile generatorului prim-

TABEL CU EXCITATORIILE SINCRONE CU DIODA ROTATIVĂ, PROIECTATE, EXECUȚATE în curs de execuție), și PUSC în

FUNCTIONE ÎN CENTRUL LE HUIRE ELECTRICE

Tabel 12

| Nr.<br>ct. | Numeaj pro<br>iect   | Potenția<br>excitației<br>rotativă<br>Frecvență<br>fo. / Hz | Tensiune<br>curent<br>în circuit<br>de excitație<br>fo. / Hz | Curen<br>tul generației<br>de la primă<br>faza / A | Potenția<br>excitației<br>rotativă<br>Frecvență<br>fo. / Hz | Tensiune<br>curent<br>în circuit<br>de excitație<br>fo. / Hz | Turbo<br>gen<br>erator<br>de la primă<br>faza / A | Potenția<br>excitației<br>rotativă<br>Frecvență<br>fo. / Hz | Nr.<br>ct. | Nr.<br>diode<br>în paralel<br>cu dioda | Rezist.<br>electrozi<br>de emis<br>ionare<br>la 1000<br>Vdc | Curent<br>excitației<br>rotativă<br>în circuit<br>de excitație<br>fo. / Hz | Putere<br>consumată<br>de emis<br>ionare<br>la 1000<br>Vdc | Putere<br>consumată<br>de emis<br>ionare<br>la 1000<br>Vdc | Putere<br>consumată<br>de emis<br>ionare<br>la 1000<br>Vdc |       |       |       |       |     |
|------------|----------------------|---|--|--|---|--|---|---|------------|--|---|--|--|--|--|-------|-------|-------|-------|-----|
| 1          | CHE Motu             | 140   | 75   | 650  | 34.000  | 160  | 6.90  | 250   | 1020       | 3                                      | 20  | 2.4  | 11   | 22   | 0.55   | 1.1   | 50    | 2.3   |       |     |
| 2          | CHE Gospodării       | 58  | 60   | 389  | 6.800   | 110  | 4.36  | 750   | 1020       | 3                                      | 20  | 2.2  | 15   | 6  | 14   | 0.49  | 50    | 1.9   |       |     |
| 3          | CHE RM. Petrești     | 480   | 30   | 945  | 186.000   | 225  | 1650  | 500   | 1020       | 3                                      | 20  | 3.7  | 12   | 26   | 0.533  | 2.5   | 62.66 | 2     |       |     |
| 4          | CHE Arcuș            | 250   | 50   | 560  | 22.000  | 200  | 9.30  | 935   | 1020       | 3                                      | 20  | 3.8  | 9  | 18   | 40   | 0.57  | 2.8   | 1.4   |       |     |
| 5          | CHE drogoranii       | 260   | 63   | 460  | 25.000  | 240  | 8.20  | 100   | 1020       | 3                                      | 20  | 3.8  | 1.9  | 14   | 42   | 0.44  | 3.2   | 11.66 | 1.4   |     |
| 6          | CHE Turnu            | 300   | 60   | 570  | 39.100  | 220  | 10.30   | 1154  | 1020       | 3                                      | 20  | 3.8  | 2.2  | 16   | 40   | 0.56  | 3.52  | 13.46 | 1.4   |     |
| 7          | CHE Golești          | 290   | 60   | 570  | 23.000  | 225  | 10.50   | 937   | 1020       | 3                                      | 20  | 3.8  | 2.3  | 14   | 40   | 0.58  | 3.68  | 10.93 | 1.4   |     |
| 8          | CHE Timișoara        | 235   | 105  | 730  | 66.000  | 240  | 8.73  | 4285  | 1020       | 3                                      | 20  | 3.8  | 1.7  | 11   | 30   | 0.2   | 1.53  | 35.10 | 1.0   |     |
| 9          | CHE Giurgiu          | 240   | 89   | 385  | 85.000  | 270  | 780   | 4286  | 1020       | 3                                      | 20  | 3.8  | 2.5  | 23   | 39   | 1.322 | 3.8   | 64.3  | 2     |     |
| 10         | CHE Bradușor         | 260   | 78   | 760  | 62.000  | 220  | 850   | 375   | 1020       | 3                                      | 20  | 3.8  | 2.5  | 2.5  | 81   | 26    | 0.165 | 1.7   | 31.25 | 1.6 |
| 11         | CHE Colibășești      | 110   | 40   | 980  | 25.000  | 110  | 10.00   | 6.00  | 1020       | 3                                      | 20  | 3.8  | 2.25   | 16   | 33   | 0.576 | 245   | 50    | 1.5   |     |
| 12         | CHE Horezu           | 10  | 35   | 185  | 2.130   | 55   | 282   | 6.00  | 1020       | 3                                      | 20  | 3.8  | 1.5  | 14   | 32   | 0.3   | 0.726 | 40    | 1.0   |     |
| 13         | CHE Horezu           | 10  | 60   | 197  | 5750  | 130  | 345   | 33.37   | 1020       | 3                                      | 20  | 3.8  | 2.1  | 14   | 21   | 0.41  | 0.95  | 23.77 | 1.8   |     |
| 14         | CHE Horezu           | 120   | 60   | 670  | 29.000  | 140  | 820   | 6.00  | 1020       | 3                                      | 20  | 3.8  | 2.2  | 12   | 30   | 0.32  | 1.98  | 50    | 2.2   |     |
| 15         | CHE Sărata           | 150   | 43   | 515  | 24.000  | 175  | 638   | 375   | 1020       | 3                                      | 20  | 3.8  | 2.35   | 15   | 24   | 0.5   | 1.35  | 31.25 | 1.6   |     |
| 16         | CHE Leleniș          | 100   | 37   | 390  | 22.500  | 110  | 6.70  | 6.00  | 1020       | 3                                      | 20  | 3.8  | 2.1  | 14   | 35   | 0.445 | 2.5   | 40    | 1.9   |     |
| 17         | CHE Golești          | 66  | 42   | 230  | 44.50   | 130  | 450   | 1564  | 1020       | 3                                      | 20  | 3.8  | 2.25   | 15   | 28   | 0.8   | 2.4   | 20.46 | 1.3   |     |
| 18         | CHE Remetea          | 220   | 57   | 550  | 60.500  | 180  | 1035  | 4285  | 1020       | 3                                      | 20  | 3.8  | 2.4  | 16   | 40   | 0.65  | 3.84  | 35.66 | 1.8   |     |
| 19         | CHE Clăbucet         | 135   | 55   | 355  | 34.000  | 160  | 6.80  | 500   | 1020       | 3                                      | 20  | 3.8  | 2.15   | 16   | 30   | 0.55  | 1.935 | 41.66 | 1.6   |     |
| 20         | CHE Clăbucet         | 70  | 40   | 300  | 6300  | 100  | 580   | 6.00  | 1020       | 3                                      | 20  | 3.8  | 2.6  | 16   | 39   | 1.7   | 50    | 2     | 1.4   |     |
| 21         | CHE Sărata           | 35  | 11   | 315  | 6850  | 45   | 630   | 1000  | 1020       | 3                                      | 20  | 3.8  | 1  | 9  | 21   | 0.1   | 0.44  | 63.66 | 2.8   |     |
| 22         | CHE Gura<br>logeului | 274   | 69   | 305  | 15.100  | 385  | 554   | 75  | 1020       | 3                                      | 20  | 3.8  | 4  | 18   | 38   | 1.3   | 2.7   | 15    | 1.1   |     |
| 23         | CHE Voilești         | 48  | 11   | 480  | 6.250   | 40   | 570   | 6.00  | 1020       | 3                                      | 20  | 3.8  | 6  | 16   | 30   | 0.32  | 1.44  | 50    | 1.4   |     |
| 24         | CHE Călini           | 42  | 34   | 410  | 4180  | 75   | 460   | 500   | 1020       | 3                                      | 20  | 3.8  | 1.95   | 10   | 21   | 0.21  | 0.95  | 39.76 | 1.0   |     |
| 25         | CHE Turnu-Roman      | 310   | 82   | 544  | 85.000  | 250  | 920   | 4286  | 1020       | 3                                      | 20  | 3.8  | 1.9  | 13   | 38   | 2     | 4.5   | 67.3  | 2     |     |
| 26         | CHE Crainiceni       | 45  | 36   | 408  | 11.220  | 70   | 490   | 750   | 1020       | 3                                      | 20  | 3.8  | 2  | 14   | 30   | 0.4   | 1.8   | 50    | 1.9   |     |
| 27         | CHE Ridiu            | 110   | 94   | 395  | 9000  | 220  | 480   | 2143  | 1020       | 3                                      | 20  | 3.8  | 3  | 9  | 42   | 1.21  | 5.8   | 28.57 | 1.5   |     |

cipel. Decresc etajul final al reguletorului este rezultat dintr-o puncte cu tiristori complet comandă, scăderei sau stingerii curentului de excitație al excitateoarei se produce extrem de rapid prin trecerea în regim de inverter.

In casul in care o eroare conduce la oprirea mașinii, după deconectarea întregulorului principel, indiferent de regimul de funcționare al reguletorului (automat sau manual) se comandă trecerea în regim de inverter și deci stingerea rapidă a curentului de excitație. In acest fel tensiunea la bornile generatorului principal, practic nu mai este influențată de tensiunea de excitație, variația ei în timp fiind determinată de constante de timp a inflexiunii de excitație a generatorului sincron principal. Reguletorul automat de tensiune adaptat pentru excitateoare sincronă cu diode rotative nu are nevoie de măsură tensiunii rotorice reduse, acestă măsură fiind obținută indirect, prin măsurarea curentului de ieșire al reguletorului și deci și la funcționarea în regim automat nu sunt necesare încărcături de contact și perii. Această reguletor se execută în două variante și anume pentru un curent de excitație al excitateoarei de maxim 35 A, respectiv de maxim 50 A, iar tensiunea de alimentare este aceeași la ambele variante de 3000 V.c.c.

Proiectarea unei gama largă de excitateoare sincrone cu diode rotative care diferă între ele prin putere, tensiune, turatie și regim de funcționare, reglaj exclusiv manual al excitației (pentru mașini de mică putere) și reglaj automat, cu trecerea la funcționarea în regim manual și invers (pentru puteri mijlocii și mari) a făcut necesare soluții constructive-funcționale diverse, dar având la bază o concepție unitară. Dintre excitateoarele sincrone cu diode rotative prezentate în tabelul V, o parte funcționând de mai mulți ani în centralele hidroelectrice, o altă parte cu fost inserată în uzine proiectoare (I.C.H. Răsăte), iar restul se află în execuție sau urmășă să fie lansată în fabricație. Datele normale ale hidrogeneratoarelor se inseră în următoarele limite: puteri cuprinse între 2000 KVA și 186.000 KVA, turatiile de la 95,7 la 1000 rpm, tensiunile de excitație de la 95 V la 400 V, curentii de excitație normali de la 295 A la 1650 A. Pentru fiecare hidrogenerator se prevedează în același tabel datele normale ale excitateoarelor sincrone cu diode rotative corespunzătoare și anume: puterile normale de la 50 KVA la 480 KVA, tensiunile pe festă (veloare efectivă) de la 17 la 107 V, curentii pe festă (veloare efectivă) de la 185 la 980 A,

numărul de faze de la 3 la 17, frecvențe tensiunii induse între 11,4 și 66,66 Hz, tipul redresării și numărul de diode în paralel din instalația de redresare, curentii și puterile de excitare ale excitațoarelor pentru regimul de mers în gol și de mers în sarcină.

Curenții și puterile de excitare ale excitațoarelor sincrone cu diode rotative în funcționarea în sarcină nominală și în forțarea excitării trebuie corelată cu parametrii asigurați în regimul nominal și de forțare a excitării de către regulatorul automat de tensiune, care alimentează la funcționarea în regim automat infășurarea de excitare a excitațoarei. Colecția finală a tabloului centralizator conține valoările vitezelor de excitare calculate. Aceste valori sunt aproximativ egale cu cele ale vitezelor de excitație determinate la excitațoarele clasice de curenț continuu, de putere și tensiuni apropiate de cele ale excitațoarelor sincrone cu diode rotative.

În proiectarea excitațoarelor sincrone cu diode rotative s-a adoptat soluția tehnologică care să simplifice fabricația și să contribuie la reducerea prețului de cost. Dintre aceste măsuri selevă: păstrarea același toții pentru rotor stator și poli de excitare, la masinile cu puteri apropiate în vederea reutilizării ștențelor și SDV-urilor, tipurile dimensionale a instalației de redresare rotativă (disc suprat, radiotip), a dispozitivelor de supraveghere și protecție a diodelor, a rezistențelor de excitație și a rezistențelor de dezexcitație.

Funcționarea de mai mulți ani a excitațoarelor sincrone cu diode rotative a dovedit o fiabilitate bună a sistemului, dar au existat și unele neajunsuri constatate în special la început, legate de sistemul de supraveghere a diodelor rotative, care au rezolvat întrările întreruperelor sau scurta circuitele diodelor.

Pentru creșterea siguranței în funcționarea excitațoarelor sincrone cu diode rotative se introduce un sistem de supraveghere selectivă, capabil să indice locul de montare al diodei defecte, care să înlocuiască sistemul de supraveghere indirectă utilizat în prezent, iar pentru creșterea siguranței în funcționare a generătorului principal se prevăde elimentarea excitării excitațoarei de la serviciile interne și de la baterie de acumulatori a centralei..

3.2. Dimensionarea unei excitații sincrone cu diode rotative pentru excitație a unui generațor sincron de 600 kVA, 6,3 KV, 75 rpm

Pentru un generator sincron dat se exemplifică modul de aplicare și rezultatele calculului de proiectare al unei excitații sincrone cu diode rotative, folosind metodele și programul de calcul original stabilit în capitolul IV.

Hidrogeneratorul având următoarele date nominale: puterea sperată 600 kVA, tensiunea de linie 6,3 KV, curentul de fază 634 A, frecvență 50 Hz, factorul de putere  $\cos \phi = 0,8$  și viteză 75 rpm, obține puterea de excitație necesară de la o excitație sincronă trifazată cu diode rotative, montată în cadrul pe arborele său.

Din calculul electrostatic al hidrogeneratorului se determină curentul său nominal de excitație  $I_{ENG} = 436$  A și adoptând tensiunea nominală de excitație  $U_{ENG} = 110$  V (acestea fiind valoarea standardizată cea mai apropiată de cea calculată cu rezistența inductivă de excitație a hidrogeneratorului), rezultă puterea de excitație a generatorului sincron  $P_{EG} = 436 \cdot 110 = 48000$  W.

Tensiunea continuă la bornele redresorului rotativ  $U_{ENG} = 115$  V este mai mare decât tensiunea nominală de excitație a generatorului sincron (conform relației (89)), iar curentul de excitație redresat și excitatoriei  $I_{ENG} = 478$  A este de aceeași majorat (usual între 5-10%), față de curentul de excitație nominal al generatorului. Curentul redresat și excitatoriei fiind relativ mic (478 A), iar tensiunea redresată având o valoare mijlocie (115 V) este preferabilă, în acest caz, o excitație sincronă, în varianta trifazată cu redresor cu comutare paralel dublă. La aceste valori nominale ale curentului și tensiunii redresate, corespunde în curant alternativ în fazele excitației sincrone trifazate cu diode rotative, un curent de fază  $I_{PS} = 389$  A (conform relației (95)), o tensiune de fază  $U_{PS} = 51$  V (relație (97)) și o putere nominală  $S_{EG} = 58$  kVA (relație (98)).

Funcționarea în regim transitoriu impune ca, excitația sincronă cu diode rotative să asigure un factor de forță  $K_p = 1,8$  u.r. (conform standardelor (B 64)) timp de 14 secunde și o viteză de excitație minimă  $v_{min} = 1,5$  u.r./sec. (conform (B 64)), valoarea aceasta fiind suficientă din considerente de siguranță în funcționare a hidrogeneratorelor sincrone cu puteri nominale

mai mari decât 4000 kVA. Pentru aceste condiții de funcționare determinate de forțarea excitării, excitațores sincronă cu diode rotative trebuie să asigure pe timp limitat (maxim 10 secunde) tensiunea și curentul necesar hidrogeneratorului sincron.

Referitor la principalele rezultate ale calculului electromagnetic și de optimizare al excitațorei sincrone cu diode rotative care se prezintă sub formă tabelară precum următoarele: la eșalări infășurării indușului excitațorei s-a optat pentru o infășură trifazată, de tip ondulator, în două straturi, cu o valoare de curent în paralel ( $\text{cm}^2$ ), obținută dintr-o infășură de indus de curent continuu a cărei schema de bobinaj se prezintă în exemplul din figura 2.6 (§ 2.2). Datele infășurării verifică condițiile de simetrie (§ 2.2, relațiile (4),(6),(8),(9)), iar elementele de bază sunt: poziile în număr de creștături:  $y_1=17$ ,  $y_2=8$ ,  $y_3=9$ , poziile pentru punctele de incisie a infășurării:  $y_{y1}=204$ ,  $y_{y2}=187$ , scurterea infășurării  $k_y=\beta=0,94$  și factorul de infășurare al armonicii fundamentale  $k_y=0,955$ . Piezația bază elementară s-a divizat în conductozi elementari în vederea reducerii pierderilor suplimentare (§ 4.1, figura 4.2) și s-a realizat transpozitia bazelor în partea frontală. De asemenea s-a ales o valoare relativ mică pentru densitățile de curent la infășurarea rotorică ( $J_{RS}=2,6 \text{ A/mm}^2$ ), prin faptul că mașina este prevăzută cu autoventilație și trebuie să asigure un curent dublu pe timpul regimului de forțare a excitării.

Sintetică mai jos principalele rezultate ale calculului excitațorei sincrone cu diode rotative:

| Nr.<br>ext.                  | Denumirea                                  | Sim-<br>bol | Velocitate<br>calculată | Unitate de<br>măsură |
|------------------------------|--|-------------|-------------------------|----------------------|
| <u>Dimensiuni principale</u> |  |             |                         |                      |
| 1.                           | Diametrul exterior indus                   | $D_{ex}$    | 0,7                     | m                    |
| 2.                           | Diametrul interior indus                   | $D_{ix}$    | 0,43                    | m                    |
| 3.                           | Lungimea indușului                         | $L$         | 0,17                    | m                    |
| 4.                           | Lungimea pechetelor                        | $l_p$       | 0,15                    | m                    |
| 5.                           | Lungimea unui pechet                       | $l_{pi}$    | 0,05                    | m                    |
| 6.                           | Numărul pecheteelor de tele                | $n_p$       | 3                       | buc.                 |
| 7.                           | Pozul poler                                | $\zeta_p$   | 0,274                   | m                    |
| 8.                           | Numărul canalelor radiale de<br>ventilație | $n_v$       | 2                       | buc.                 |
| 9.                           | Procentaj tensiunii induse                 | $\gamma$    | 50                      | %                    |

| Nr.<br>crt.                                      | Denumirea  | Sim-<br>bol | Valea<br>calculată   | Unitate de<br>măsură |
|--|--|-------------|----------------------|----------------------|
| 10.  | Viteză periferică a indusului                        | $v_p$       | 27,5                 | m/sec.               |
| 11.  | Numărul de poli                                      | $z_p$       | 8                    | buc.                 |
| <u>Infășurări indusului</u>                      |  |             |                      |                      |
| 12.  | T.e.m. indusă pe fază în gol                         | $U_{BSe}$   | 55                   | V                    |
| 13.  | Inductie în intregier                                | $B_f$       | 0,35                 | T                    |
| 14.  | Fluxul   | $\Phi$      | 1,2                  | Wb                   |
| 15.  | Numărul de spire pe fază                             | $w$         | 25                   |                      |
| 16.  | Numărul de conductoarele<br>mentari pe beră          | $c$         | 12                   |                      |
| 17.  | Secțiunea conductorului                              | $s_{BSe}$   | 149                  | $mm^2$               |
| 18.  | Numărul de creștături                                | $n$         | 69                   |                      |
| 19.  | Numărul de laturi de spire<br>pe creștătură          | $z_n$       | 2                    |                      |
| 20.  | Resistență infășurării pe<br>fază la 75 C            | $R_x$       | 0,00475              | ohmi                 |
| 21.  | Încărcarea liniară                                   | $A$         | 245                  | A/cm                 |
| <u>Date pentru caracteristica de maza în gol</u> |  |             |                      |                      |
| 22.  | Intregierul minim sub polul<br>de excitație          | $\delta$    | 7,5                  | mm                   |
| 23.  | Pesul creștăturii                                    | $t_1$       | 31,8                 | mm                   |
| 24.  | Pesul creștăturii la 1/3 din<br>înălțimea dintelui   | $t_{1/3}$   | 30,8                 | mm                   |
| 25.  | Lățimea dintelui la 1/3 din<br>înălțimea creștăturii | $b_{1/3}$   | 14,1                 | mm                   |
| 26.  | Înălțimea jugului rotor                              | $b_{jk}$    | 87,3                 | mm                   |
| 27.  | Inductie în dinte la 1/3<br>din înălțime             | $B_{B1/3}$  | 0,93                 | T                    |
| 28.  | Lățimea polului                                      | $b_k$       | 0,170                | mm                   |
| 29.  | Înălțimea polului                                    | $b_j$       | 0,230                | mm                   |
| 30.  | Secțiunea polului                                    | $s_p$       | $2,34 \cdot 10^{-2}$ | $mm^2$               |
| 31.  | Diametrul exterior al<br>jugului stator              | $D_{js}$    | 1,315                | mm                   |
| 32.  | Înălțimea jugului stator                             | $b_{jt}$    | 0,075                | mm                   |
| 33.  | Lățimea jugului stator                               | $b_{st}$    | 0,170                | mm                   |

| Nr.<br>crt.  | Denumirea  | Sym-<br>bol | Valoarea<br>calculată | Unitate de<br>măsură |
|--|--|-------------|-----------------------|----------------------|
| <u>Reactantele excitatoarei sincrone</u>                                       |  |             |                       |                      |
| 34.  | Reactanțe de dispersie a<br>rotorului  | $x_g$       | 0,06                  | u.e.                 |
| 35.  | Reactanțe de reacție a indu-<br>sului după axa "d"   | $x_{qd}$    | 0,897                 | u.e.                 |
| 36.  | Reactanțe de reacție a indu-<br>sului după axa "q"   | $x_{dq}$    | 0,53                  | u.e.                 |
| 37.  | Reactanțe sincronă longitudinală   | $x_d$       | 0,95                  | u.e.                 |
| 38.  | Reactanțe sincronă transver-<br>sală   | $x_q$       | 0,59                  | u.e.                 |
| 39.  | Reactanțe de dispersie a<br>înălțurării de excitație   | $x_{ESSE}$  | 0,193                 | u.e.                 |
| 40.  | Reactanțe înălțurării de<br>excitație  | $x_{ESE}$   | 1,09                  | u.e.                 |
| 41.  | Reactanțe transitorie longitudinală  | $x'_d$      | 0,22                  | u.e.                 |
| 42.  | Reactanțe transitorie trans-<br>versală  | $x'_q$      | 0,20                  | u.e.                 |
| <u>Înălțurarea de excitație a excitatoarei (esalonul variantei<br/>optime)</u> |  |             |                       |                      |
| 43.  | Numărul de spire pe pol<br>(initial)   | $n_{ESE}$   | 256                   |                      |
| 44.  | Secțiunea conductorului  | $s_{ESE}$   | 14                    | $\text{mm}^2$        |
| 45.  | Resistență totală a înălțu-<br>rării de excitație la $75^\circ\text{C}$  | $R_{ESE}$   | 2,6                   |                      |
| 46.  | Resistență înălțurării de<br>excitație redusă la rotor   | $R'_{ESE}$  | $3,74 \cdot 10^{-3}$  | u.e.                 |
| 47.  | Constanta de timp a înălțu-<br>rării de excitație  | $T_{ESE}$   | 0,92                  | sec.                 |
| 48.  | Variatia tensiunii reduseste<br>a excitatoarei în timpul for-<br>țării de la tensiunea nominală<br>la aceea de faza (figura 5,1) |             |                       |                      |

| Nr.<br>ord. | Denumirea   | Sim-<br>bol   | Valoarea<br>calculată |        | Unitatea de<br>măsură |        |        |       |          |
|-------------|---|---|-----------------------|--------|-----------------------|--------|--------|-------|----------|
|             |   |   | 0                     | 0,1    | 0,2                   | 0,3    | 0,4    | 0,5   | 0,6      |
| (V)         | U   | 100   | 110,3                 | 127,88 | 147,94                | 166,29 | 180,42 | 189,8 |          |
| 49.         | Viteza de excitație minimă<br>impușcat  | $v_{min}$   | 1,9                   |        |                       |        |        |       | u.p/sec. |
| 50.         | Viteza de excitație calculată   | $v_{ex}$  | 1,62                  |        |                       |        |        |       | u.p/sec. |
| 51.         | Matricea numărului de spire<br>al infășurării de excitație  | $W_{BSE}(6,1) = \{200; 220; 240; 260; 280; 300\}$       |                       |        |                       |        |        |       |          |
| 52.         | Matricea secțiunilor spirei<br>infășurării de excitație   | $S_{BSE}(6,1) = \{10,65; 12; 14; 16,13; 19,45; 21,85\}$ |                       |        |                       |        |        |       |          |
| 53.         | Numerul de spire al infășură-<br>rii de excitație (varianta<br>optimală)                                | $W_{BSEe}$  | 200                   |        |                       |        |        |       |          |
| 54.         | Resistența infășurării exci-<br>tației la 75°C (variantă optimă)  | $R_{BSE}$   | 2,03                  |        |                       |        |        |       | Ω        |
| 55.         | Resistența infășurării de exci-<br>tație optimă redusă la rotoare                                       | $R_{BSE}$   | $4,79 \cdot 10^{-3}$  |        |                       |        |        |       | u.Ω      |
| 56.         | Completate de timp a infășu-<br>rării de excitație optimă   | $T_{BSE}$   | 0,72                  |        |                       |        |        |       | sec.     |
| 57.         | Variatia tensiunii reduseste a excitării în timpul<br>fortării excitației (variantă optimă) figura 5.1. |   |                       |        |                       |        |        |       |          |
|             | <u>t(sec)</u>   | 0   | 0,1                   | 0,2    | 0,3                   | 0,4    | 0,5    |       |          |
|             | U(V)  | 100   | 112,96                | 134,07 | 156,93                | 175,05 | 187,54 |       |          |
| 58.         | Viteza de excitație optimă  | $v_{exo}$   | 1,915                 |        |                       |        |        |       | u.p/sec. |
| 59.         | Curentul de excitație la<br>negație în gol  | $I_{BSEe}$  | 12                    |        |                       |        |        |       | A        |
| 60.         | Curentul de excitație la<br>negație în sarcină  | $I_{BSEN}$  | 18                    |        |                       |        |        |       | A        |
| 61.         | Densitatea de curent nominală   | $I_{BSE}$   | 1,28                  |        |                       |        |        |       | $A/mm^2$ |
|             | <u>Pierderile în excitație micromă</u>  |   |                       |        |                       |        |        |       |          |
| 62.         | Pierderile în fier  | $P_{Fe}$  | 0,64                  |        |                       |        |        |       | kW       |
| 63.         | Pierderile în infășurări<br>indusului   | $P_{SC}$  | 2,28                  |        |                       |        |        |       | kW       |

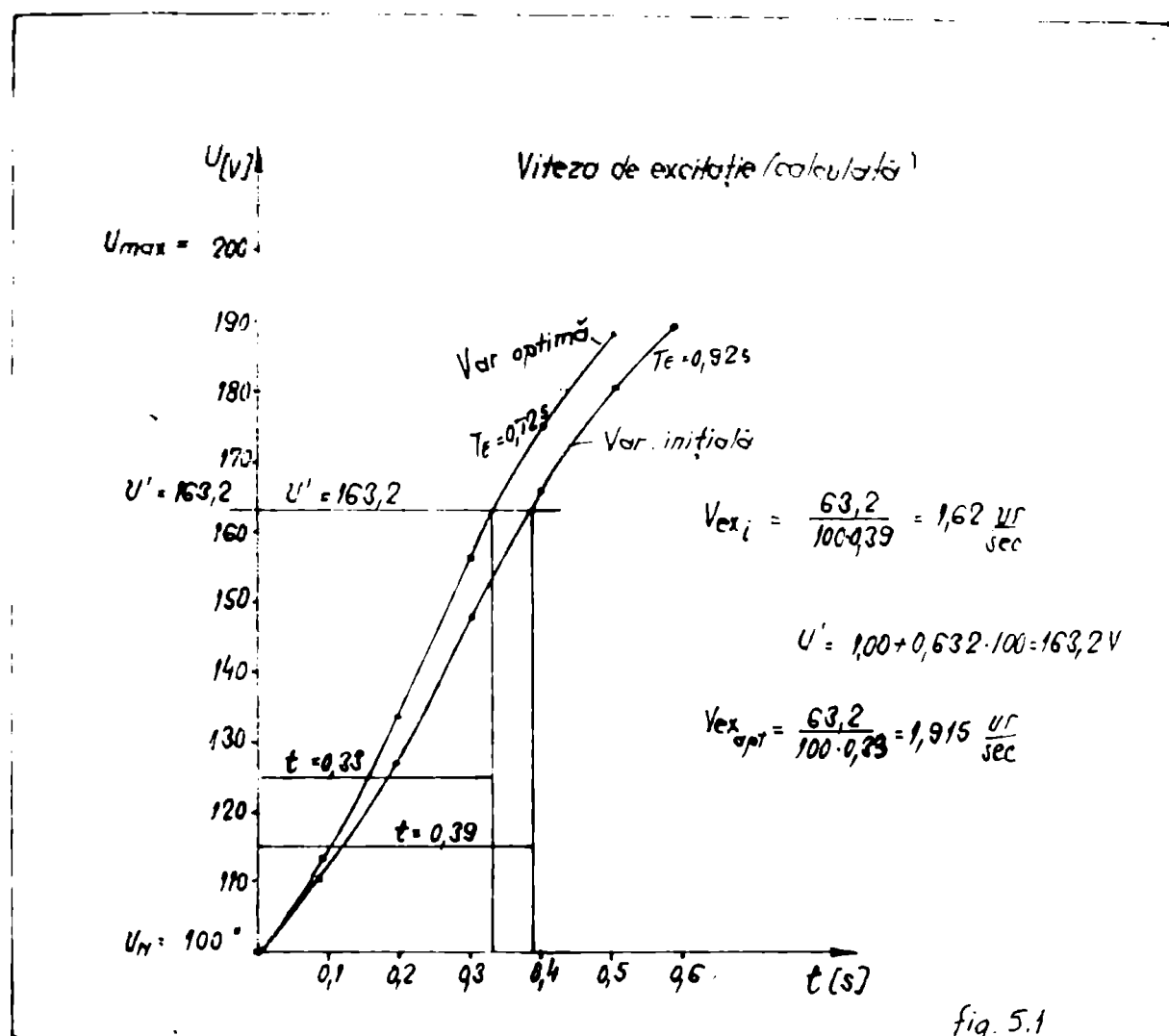


fig. 5.1

| Nr.<br>crt. | Denumirea   | Sym-<br>bol | Valoarea<br>calculată | Unitate de<br>măsură |
|-------------|---|-------------|-----------------------|----------------------|
| 64.         | Pierderile în inălgăzirea<br>de excitație   | $P_{EX}$    | 0,845                 | kW                   |
| 65.         | Pierderile totale   | $P_t$       | 4                     | kW                   |
| 66.         | Instalația de redresare cu diode rotative   |             |                       |                      |
| 67.         | Tipul instalației: punct trifazat cu dublă redresare<br>având:                                    | $n_d$       | 2                     | diode în<br>paralel  |
| 68.         | Tipul diodelor: 2W 36 cu<br>polarizare directă și inversă<br>având:<br>- curentul median redresat | $I_{PMT}$   | 350                   | A                    |
|             | - tensiunea inversă de vîrf<br>de lucru   | $V_{PMR}$   | 1300                  | V                    |

| Nr.<br>este | Denumirea  | Sim-<br>bol   | Valeoare<br>calculată | Unitatea de<br>măsură |
|-------------|--|---------------|-----------------------|-----------------------|
|             | - tensiune inversă de vîrf<br>repetitivă                                   | $U_{INV.REP}$ | 1500                  | V                     |
|             | - tensiune inversă de vîrf de<br>suprasarcină accidentală                  | $V_{BSN}$     | 1800                  | V                     |
|             | - tensiunea directă de vîrf  | $V_D$         | 1,4                   | V                     |
|             | - curent invers de vîrf  | $I_{AV}$      | 6                     | mA                    |
|             | - curent direct de vîrf  | $I_{DV}$      | 5000                  | A                     |
|             | - temperatură limită a jonction-<br>ului în funcționare                    |               | -55 + 165             | °C                    |
| 68.         | Factor de reportajere a coran-<br>tului în diodele conectate în<br>paralel | $k_g$         | 0,8                   |                       |
| 69.         | Curentul eficace într-o diodă  | $I_{DIF}$     | 110                   | A                     |
| 70.         | Curentul median pe diodă în<br>rezină de forță                             | $I_g$         | 200                   | A                     |
| 71.         | Reacțenta de conutărie a exi-<br>tătoarei                                  | $x_e$         | 0,026                 | Ω                     |
| 72.         | Unghiul de conutărie   | $\alpha$      | 30                    | -                     |
| 73.         | Factorul de emulație   | $k_e$         | 0,67                  |                       |
| 74.         | Factorul de utilizare  | $f_u$         | 0,95                  |                       |
| 75.         | Pierderile totale în redre-<br>serul rotativ                               | P             | 1,85                  | kW                    |
| 76.         | Rendamentul excitătoarei sin-<br>uare cu diode rotative                    | $\eta$        | 90                    | %                     |

Din exemplul considerat rezultă modul de adoptare al prin-  
cipiilor valorii ale solicitărilor electromagnetice ale acestor ex-  
citătoare și anume: solenoid specifică, inductiile magnetice în di-  
feritele porțiuni ale circuitului magnetic (înțre fier, dinți rotație,  
jug rotație, poli stator și jug stator) densitățile de curent din in-  
fășerarea inducției și inducțorului, modul de proiectare optimă  
a înfășurării inducțore în vederea obținerii vitezei de excitație  
căt mai mare și modul de dimensiune a instalației de redresare  
cu diode rotative.

Din tabelul cu valorile calculate se observă că s-a ob-  
ținut parametrii funcționali doriti (impăzi prin teme de proiecta-  
re) între care: putere, tensiune și curentul în regimul nominal  
și în regimul de forță, factorul de forță și tensiunii ( $k_g = 1,8$ )

și viteza de excitație ( $V_{ex} = 1,5$  U.R./sec.), care se reflectă faptul că metoda de proiectare și programul de calcul sunt bune.

### 5.3. Particularitățile încercării excitatoarelor sincrone cu diode rotative pe standul de probe usină

Încercarea excitatoarelor sincrone cu diode rotative se efectuează în corespondență cu standardul în vigoare (B 64), complementă cu o serie de probe care se realizează separat de instalația de redresare cu diode rotative și a excitatoarei sincrone.

Diodela ce se vor monta în paralel și pe același braț al punții, se vor face după cărora de tensiune în mai multe clase și cu ajutorul canturilor conectate în circuitele diodelor legate în paralel se va controla repartitia curentilor pe diode, admisind ebateri de cel mult ± 10%. Pierderile din redresor se determină măsurând din puterea absorbită, puterea obținută redresată. Probele excitatoarei sincrone cu redresor cu diode rotative se efectuează cu mașini esențiale și montată pe instalație de încercare pe standul de probă (figura 5.2). La conceperea "instalației de încercare" pe standul de probă usină se contribuit direct și au avut în vedere în special faptul, că o parte dintre elementele instalației să fie reutilizate (anelle de cimitir și suporti perii, scuturi portlegăz, etc.) la un număr cît mai mare de mașini diferite ca tipuri-tensiuni.

Instalația de încercare pe standul de probă constă în principiu dintr-un arbore suport, pe care se fixează rotorul excitatoarei cu diode rotative și cele două grupuri de anele de contact; primul grup format din anele dimensionate pentru curentul redresat (de cimitir) și al doilea grup format din mai multe anele mici pentru măsurarea tensiunii de fază, respectiv simbolicea întreșuperii sau curențirenității unor diode din instalația de redresare rotativă. Statorul excitatoarei se fixează în două scuturi portlegăz, care prezintă sarcinile arborelui prin intermediul unei legături cu vulanuri. Pe un capăt al arborelui se fixează o flanșă, care prezintă măsură de la un motor de c.c., cu posibilități largi de variere a turgiei, prin intermediul unui compresor elatic.

Po încalzirea colectoarei tensiunile redresorului rotativ se fixează cablurile de legătură spre anele de contact, iar pe

bazele de economie ale fuzelor excitației spre redresorul rotativ se finanță conductoarii care duc semnalul la grupul de inele nici de contact, care cum se observă în figura 5.2.

In vedere efectuării probelor se realizează scheme de legături pentru incercarea pe stănd a excitației sinusoide cu diode rotative, arătată în figura 5.3. Aceasta conține excitație cu diode rotative (1,2), inelele de contact (3,4), sechetaul de excitație (12), prevăzut cu un contactor pentru realizarea ferțiilor excitației (13) și rezistențe de desenșitare rapida (11), introdusă în circuitul de excitație cu ajutorul supteriorului de curent continuu (10) și dispozitivul de supraveghere al diodelor (8) din redresorul rotativ, precum și instrumentele de măsurare a tensiunii și curentului de excitație al excitației, a tensiunii și curentului de fază și a tensiunii și curentului redresat. Alimentatorul înălțării de excitație a excitației se realizează de la un redresor monofazat (14) (la excitație separată a excitației), iar redresorul rotativ la funcționarea în serie, debitează pe o rezistență de sarcină (6), care se introduce prin intermediul unui contactor (5).

Având scheme de legături realizată, și după efectuarea unor probe preliminare ca: măsurarea rezistențelor de izolație și a rezistențelor chimice ale înălțărilor, și rigiditatea dielectrică, se trece la ridicarea caracteristicii de măsură în gol cu generator și de curențe și caracteristicii în sarcină. Pentru sădarea caracteristicii de măsură în sarcină excitație va debita pe o rezistență constantă, având valoarea rezistenței înălțării de excitație a generatorului principal la temperatură de funcționare. Această rezistență de sarcină trebuie să suporte curențul nominal al excitației în regim permanent și de două ori acest curenț cîmp de 1 minut.

Forțarea excitației se realizează prin scurtecircuiteaza tuturor rezistențelor din circuitul de excitație al excitației, neîn funcționind la tensiunea nominală. Se înregistrează prin oscilografie tensiunea și curențul redresat, timpul și curențul de excitație al excitației. Scurtecircuiteaza rezistențelor din circuitul de excitație al excitației durează pînă la atingerea tensiunii plasă, stabilindu-se experimentul plasă de forță și timpul necesar. Din oscilogramă tensiunii redresate executată la această probă, în care sporește variația tensiunii pînă la obțin-

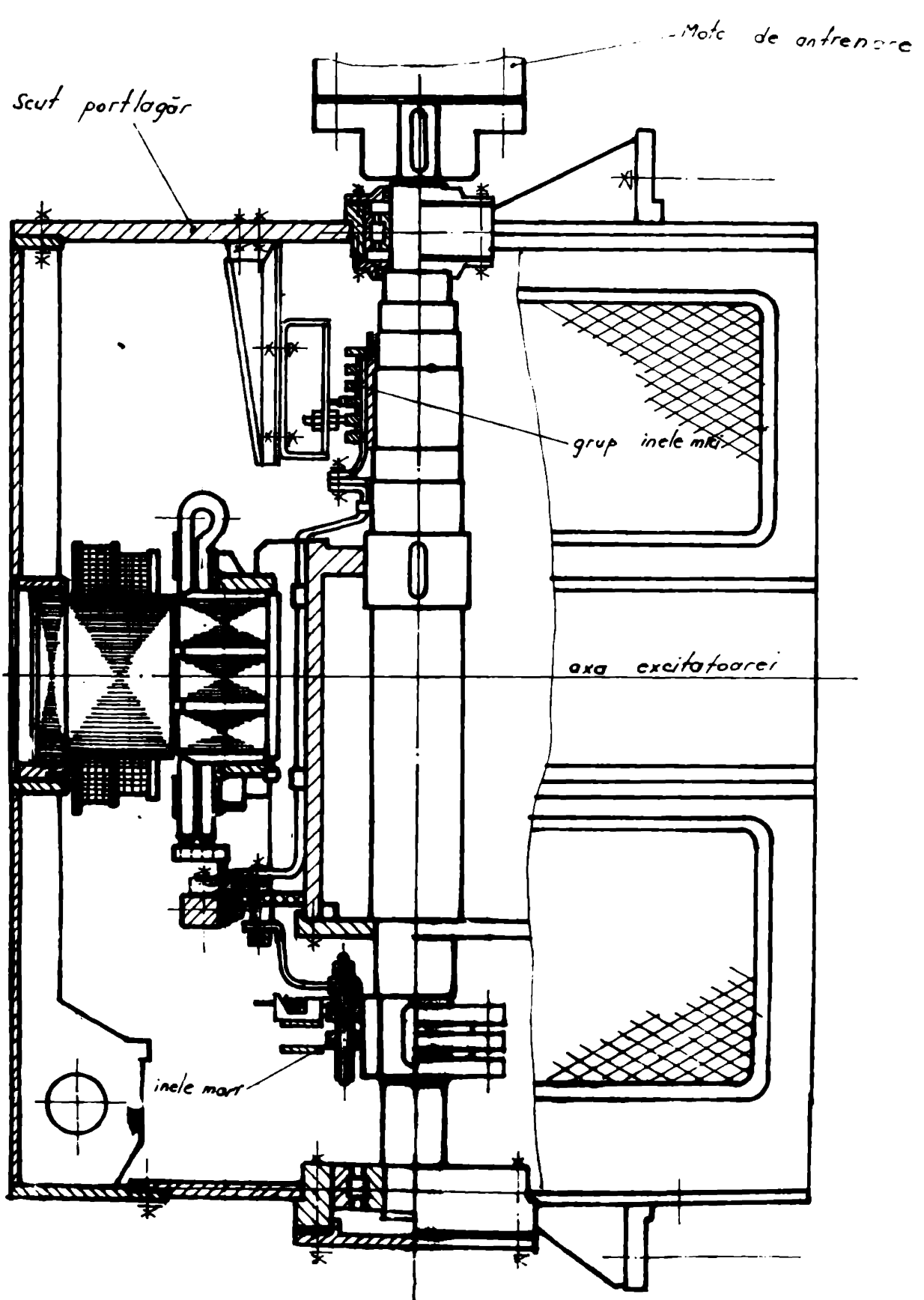


fig. 2 Instalația de incercare a excitatoarei sincrone cu diode rotative

aceea tensiunii de forțare și timpul în secunde se stabilește viteza de excităție conform relațiilor (77, 79) și figurii 3.3.

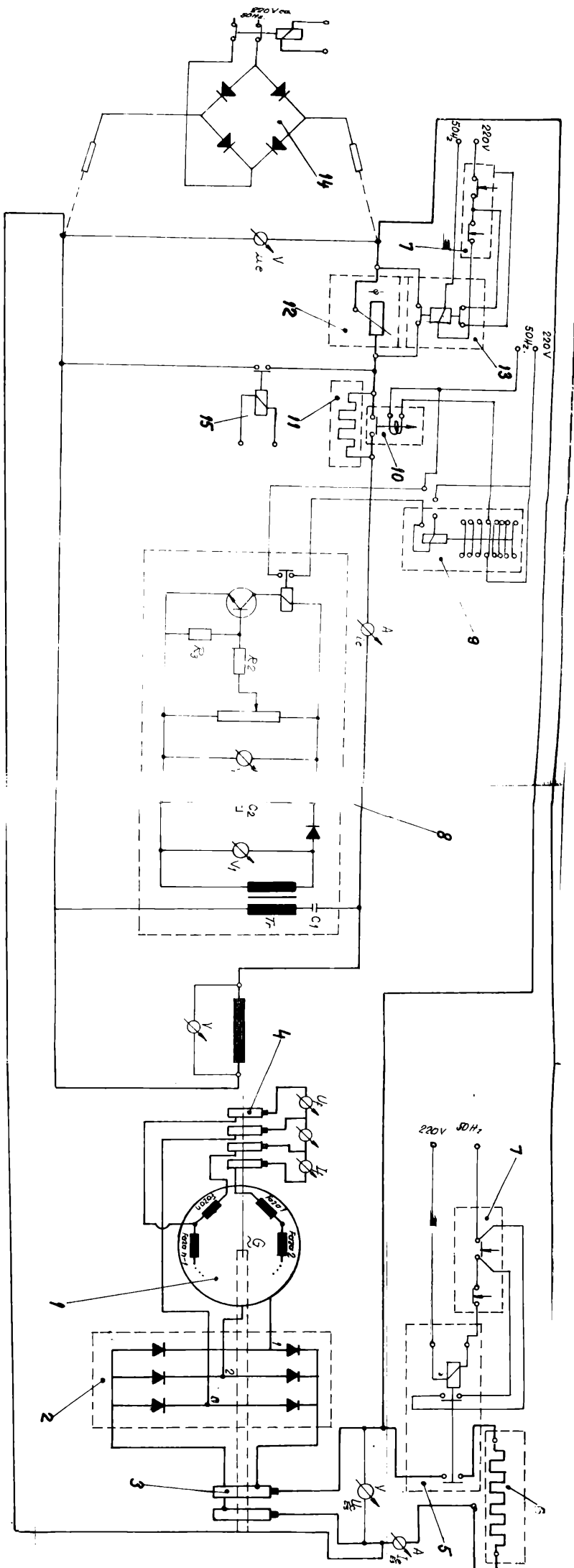
Verificarea redresorului rotativ cu diode la suprareîndină de scurtă durată se realizează cu mașina în regim de scurtcircuit, dispozitivul de scurtcircuitează menținându-se pe postea curențului redresat. Curentul de suprareîndină se eloge de obicei de două ori curențul nominal de excităție al generatorului principal și se linierașă în timp la aproximativ 50 sec.

Probă de desenșitere rapidă a excitației se realizează cu mașina funcționând în sarcină și la tensiunea nominală. Cu ruptorul de curenț continuu (sebom de legături) se întreșupe circuitul de excităție al excitației, conectând totodată rezistența de desenșitere rapidă a excitației în circuit. Se oscilografiază tensiunea redresată a excitației și timpul de stingere al tensiunii.

În serie de probe se fac pentru verificarea funcționării dispozitivului de supraveghere a diodelor pentru cele două emisii mai frecvent întâlnite și anume: diodă întreruptă și diodă scurtcircuitată. Astfel, emul diodei întreuptă se realizează cu mașina opită, deconectând o diodă, după care mașina se pornește neexcitată, iar după stingerea turăției nominale se va incărca excitația cu o sarcină de aproximativ 1/4 din cea nominală, urmând acțiunea dispozitivului de supraveghere al diodelor. Pentru a simula emul diodei scurtcircuite, se va scurtcircuitea o diodă din redresorul rotativ, procedind apoi similar ca în emul precedent observând acțiunea dispozitivului de supraveghere a diodelor.

Pentru aprecierea tensiunii redusește se oscilografiază forme curbei tensiunii redusește la măsă în gal și la măsă în sarcină a excitației, pentru diverse valori ale sarcinii, începînd de la 1/4, pînă la sarcină nominală.

Incercarea prototipurilor de excitație sincronă cu diode rotative pe standul mașinii se finalizează cu o probă de încălzire prin care se determină temperaturile stabilizate pentru principalele părți ale mașinii și anume: înălăturarea de excitație, înălăturarea rotozisă și redresorul rotativ cu diode.



**Schemă instalației de încercare pe standul de probă uzinal a excita- torelor sincrone cu diode rotative**

1. Excitație sincronă **polarizată**
2. Redresor cu diode rotative
3. Jalea de contact mari (pt. curent rezistență)
4. Jalea de contact mici (pt. mărmi des faza)
5. Contactor
6. Rezistență de sarcină (echivalentă cui rezistență rotorică a generatorului principal)
7. Buton dublu de acționare
8. Dispozitiv de supraveghere a diodelor
9. Releu intermediu
10. Ruptor de curent continuu
11. Rezistență de dezexcitație rapidă a excitației
12. Rezistor de excitație
13. Contactor de curent continuu
14. Redresor monofazot
15. Contactor pentrudezexcitație

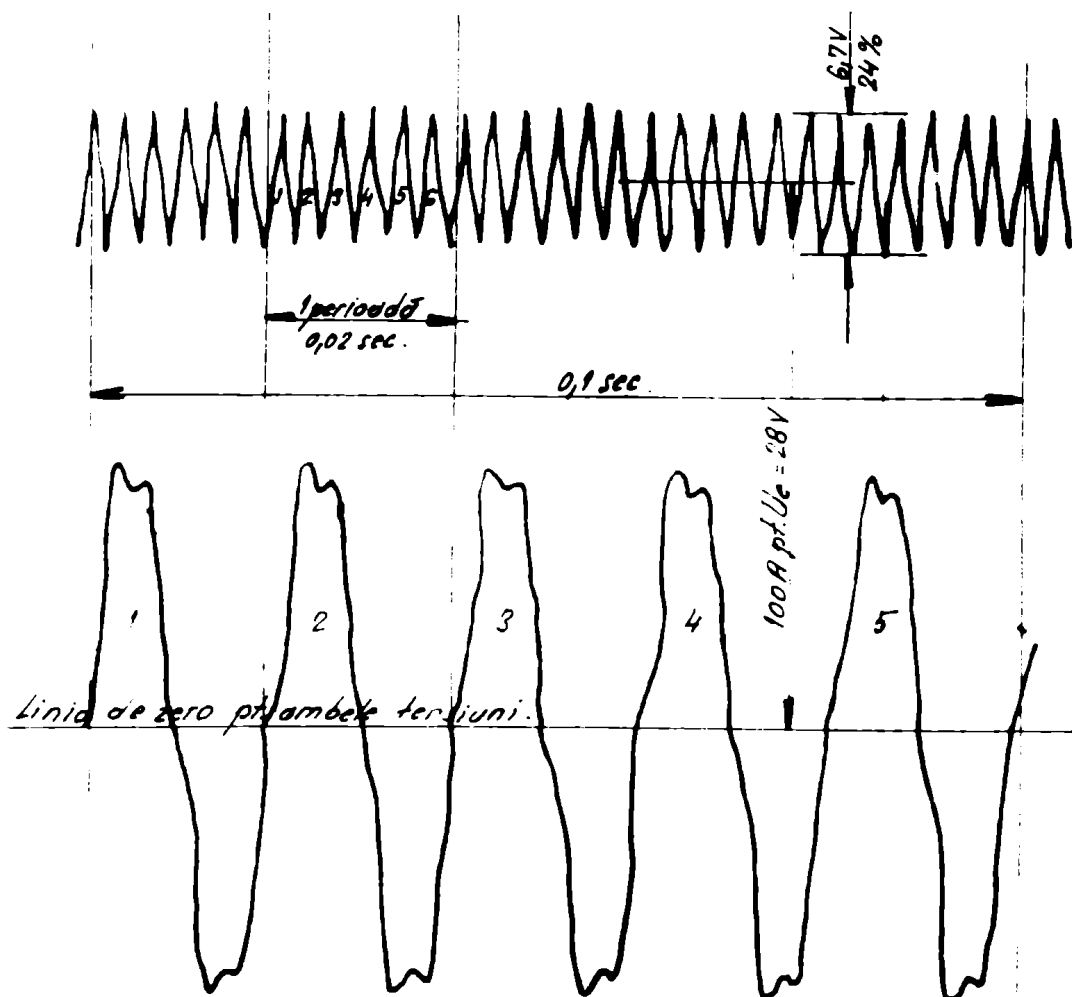
Fig.5.3

**5.4. Resultatele experimentale obtinute cu excitatorele sincron cu diode rotative proiectate**

In vederea verificarii metodei de proiectare a excita-torelor sincrone cu diode rotative si a preciziei algoritmului de calcul utilizat s-a realizat o serie de mizuri importante, pentru buna functionare a sistemului de excitatie, eti pe stendul de probă unimodel, astăzi și în centrale hidroelectrice. Sunt redată înscrisele și rezultatelor experimentale obținute cu mașina proiectată.

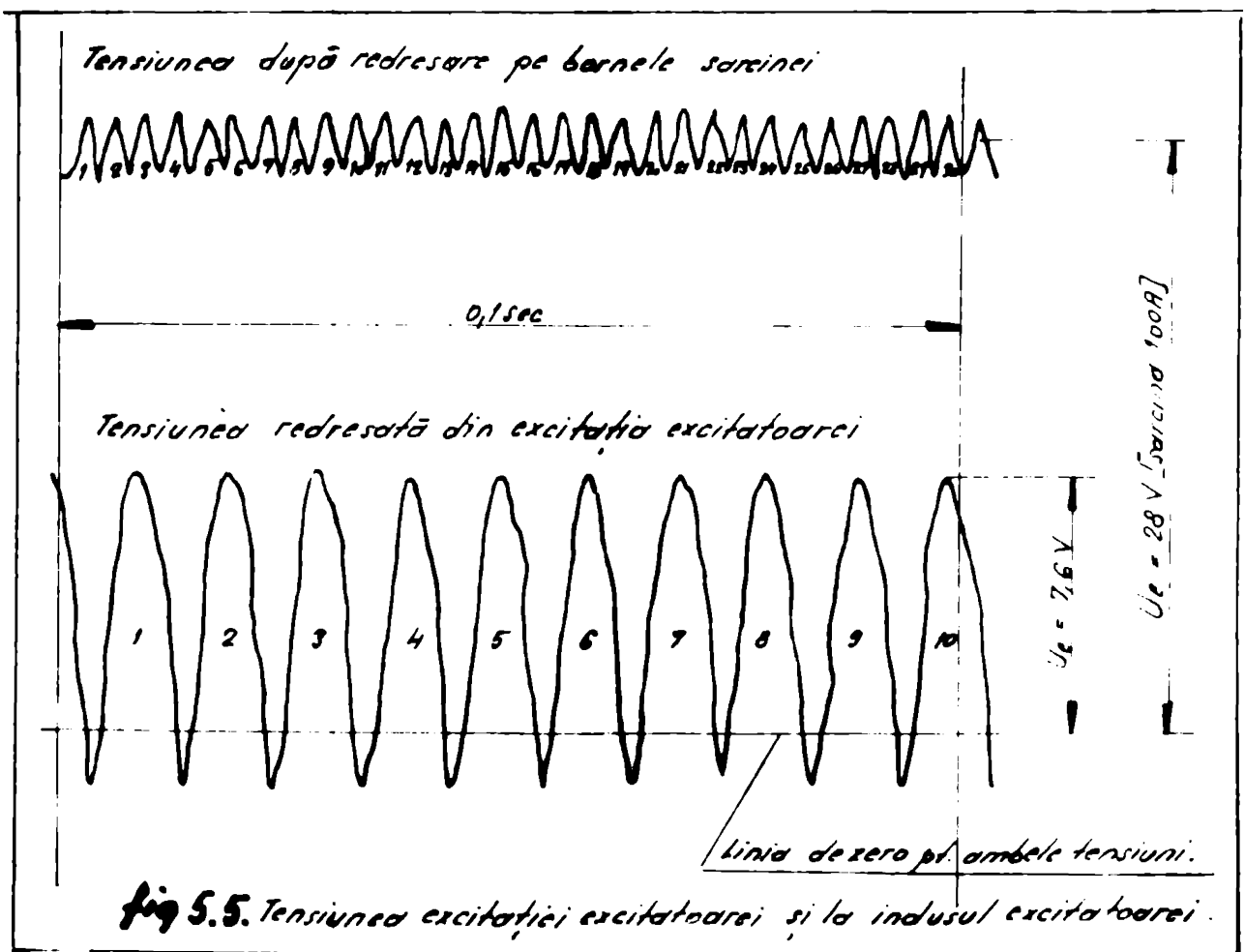
Principalele rezultate ale calculului prezentate pentru excita-toare sincron cu diode rotative (§ 5.2.) se compară în continuare cu datele experimentale obținute cu această mașină la incercările în usini producătoare și în centrale hidroelectrice de la Greble-Rogite, unde se sfătu de mai mult timp în funcțiune.

**fig. 5.4. Tensiunea excitatorei în fata redresorului și după redresor.**



Pe stendal de probă usinal s-a urmărit aspectul tensiunii induse în excitatorul sincron și înaintea redresorului și după redresorul rotativ, mărimile înregistrate în oscilograme din figure 5.4, fiind: tensiunea redresată = 28 V; tensiunea alternativă pe fază = 12 V, curentul de sarcină a excitatorului pe o rezistență ohmică = 100 Ω și undulația tensiunii redresate măsurată = 300 cnd/sec.

În figura 5.5. se prezintă tensiunea redresată a excitatorului la baza unei sarcini ohmice și tensiunea redresată în circuitul de excitare al excitatorului. Mărimile înregistrate sunt: tensiunea medie redresată după redresorul rotativ = 28 V, tensiunea de vîrf a excitării excitatorului = 7,6 V, undulația tensiunii excitatorului = 300 cnd/sec. undulația tensiunii de excitare a excitatorului = 100 undulații/sec.



Din oscilogramele din figurele 5.4, 5.5 se constată că forma tensiunii alternative de fază a excitatorului sincron este cvasisimoidială, iar tensiunea redresată obținută după redresorul rotativ cu diode, deci prezintă undulații nu are influență semnifi-

tensiunii la bornele generatorului principal, neștiind armonie suplimentare.

Precind că valoile măsurate corespund unei incărcări de aproximativ 1/4 din sarcina nominală a excitatoarei și prin urmare diferă de mărimele nominale prezentate în rezultatele calculului de proiectare (§ 5.2.). Încercarea excitatoarei sincrone cu diode rotative s-a realizat la o sarcină mai mică decit acea nominală, decarcarea motorul de întreținere disponibil nu a avut putere suficientă pentru a putea încărca excitatoarea la sarcină nominală. Dar aceste cărini măsurate concordă cu mici diferențe cu rezultatele din calculul de proiectare pentru 1/4 din sarcina nominală a excitatoarei sincrone cu diode rotative.

Poate fi constată că există o corelație între reacțiile diodelor din redresorul rotativ, respectiv de scurtcircuitare, iar modificările care se produc sunt redăte în oscilogrammele din figure 5.6. și sintetizate în tabelul VI.

Tabel VI

| Situație redreso- zului                 | Tensiunea la bornele hidro- genator- relui | Tensiunea de excita- tie a hidro- genator- relui                | Tensiunea la bornele înfipta- răjii de excita- tie a excita- toarei                   | Tensiunea la bornele dispozitivelui de protecție și control |
|---|--|---|---|---|
| KV                                      | Aspectul V                                 | Aspectul V  | Aspectul V  | Aspectul  |
| Funcțio- nare nor- mală 6,1             | Alternativ sinuso- idal 23,5               | Tensiunea redresată în ondula- bilă de 360 Hz.                  | Tensiunea redresată monofasică 10,5   | Tensiune alternativă cu amplitudini egale 8-100 Hz.         |
| 1 diodă scurtcircuitată 0               | -  | 3,9   | Tensiunea cu o semi- sinusoidală pe perio- da 4,2                                     | Tensiune pro- duceat alternativă.                           |
| 2 diode scurtcircuitate intrerupte 5,25 | Alternativ sinuso- idal 24                 | Cu 2x2 dinti de fier- trău și o pauză în timpul unei perio- de. | Tensiunea redresată cu supra- punerea unei com- penziuni de tensiune alternativă 16,5 | Tensiune al- ternativă cu amplitudini egale cu 2-50 Hz.     |

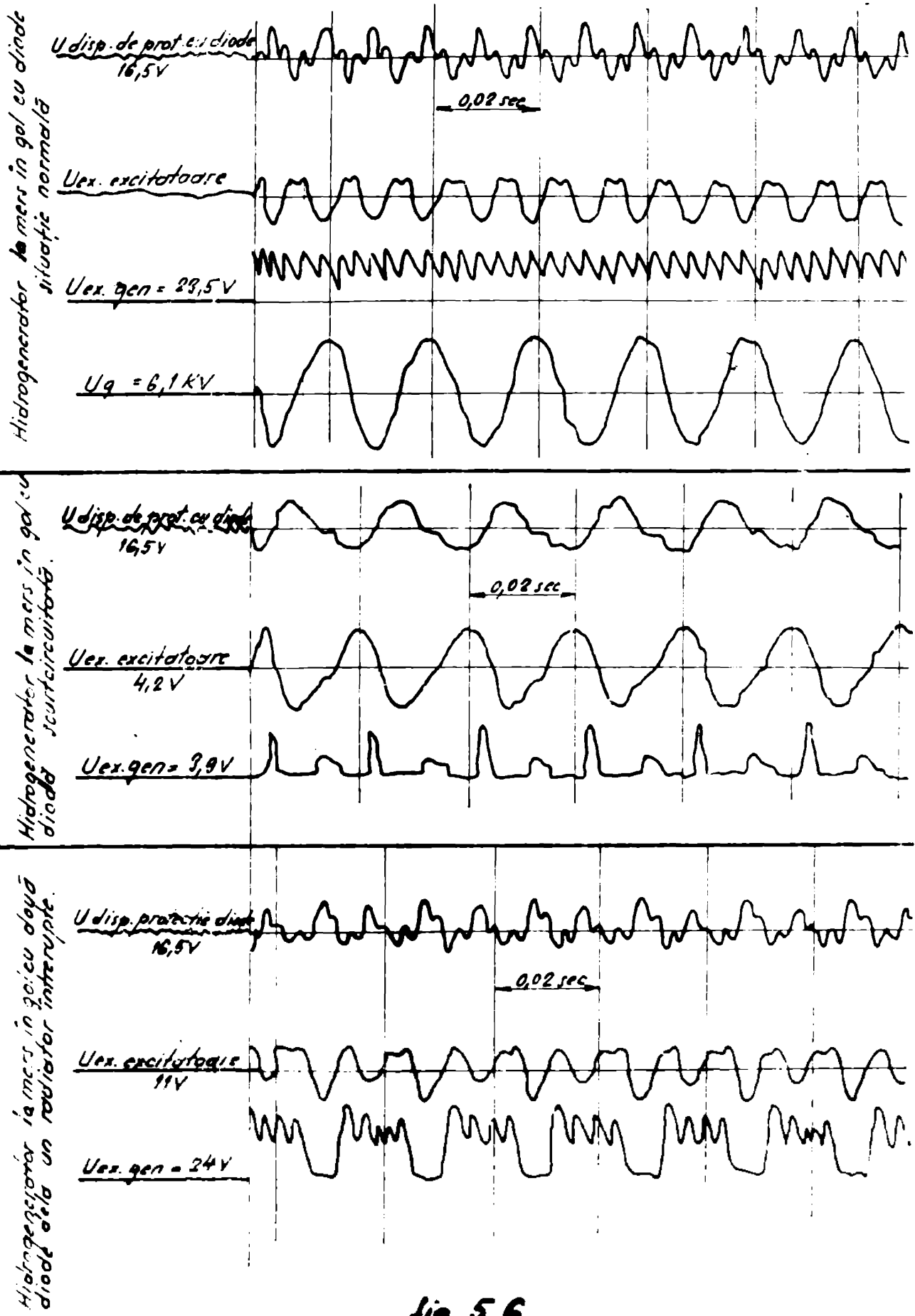
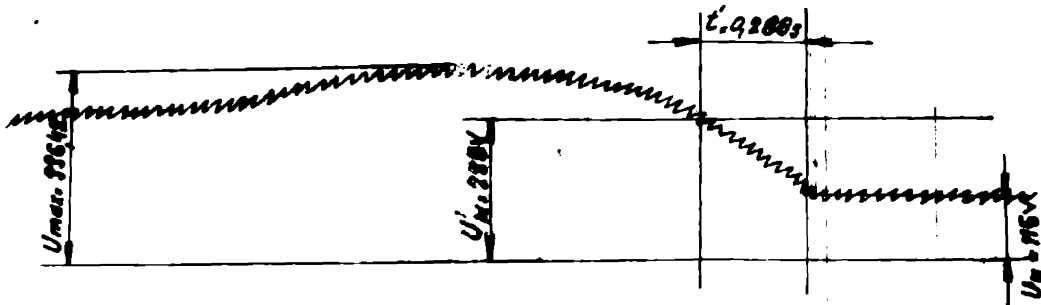


fig. 5.6.

Din măsurările prezentate în figura 5.6. și tabelul VI se observă că în cazul defectării unei diode din redresorul rotativ se induc o tensiune în înălțăre de excitație a excitațoarei, tensiune care este atât la baza rechinării unei dispozitive electronice de supraveghere și menajare a diodelor defecte din redresorul rotativ.

Tot la incercările uzinale s-a efectuat forțarea excitației prin acurtecircuitele tuturor rezistențelor din circuitul de excitație al excitațoarei și s-a osciloscopiat tensiunea redresată cu excitațoarea funcționând în gol și care are aspectul din figura 5.7.

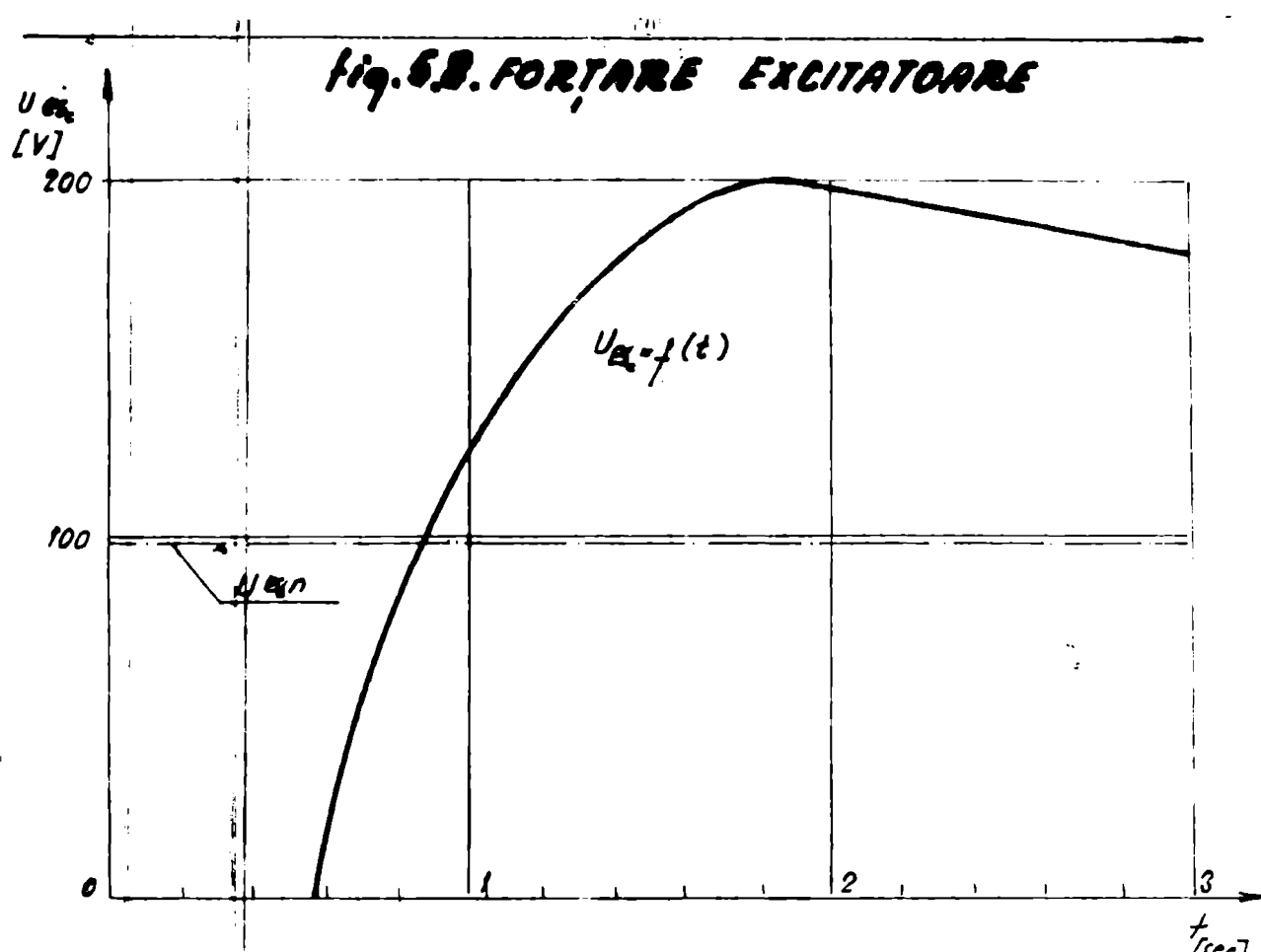
fig. 5.7.



Forțarea excitațoarei s-a efectuat apoi cu hidrogeneratorul legat în acurteircuit, prin acurtecircuitele tuturor rezistențelor din circuitul de excitație al excitațoarei. Valorile obținute sunt reduse în figura 5.8, iar viteza de excitație determinată este  $V_{ex} = 1,04$  u.a/sec. apăropită de valoarea vitezei de excitație calculată  $V_{ex} = 1,919$  u.a/sec.

Desezactivarea rapidă se realizează prin deconectarea bipolei a curentului de excitație al excitațoarei și conectarea pe o rezistență de desenzivare, generatorul fiind curitat și mergind în gol la tensiunea și frecvența noamenei.

Valourile obținute în cursul procesului de deseaktivare al hidrogeneratorului sunt reduse în tabelul VII.



Datele fortării:

$$U_{\alpha n} = 99 \text{ V}$$

$$U_{\alpha \text{ max}} = 200 \text{ V}$$

$$K_{\text{fortare}} = 2,02$$

Tabelul VII

| Denumirea infi-<br>căturii la care<br>se face infe-<br>cțierea              | Sig.<br>nificație | $U_{\alpha n}$ | Valoarea înregis-<br>trată în V.<br>la pcF | Valoarea în V.<br>dupa T-<br>impres.<br>$T_{ES}(\text{sec})$ | Tempiul în sec.<br>resp. Pini-<br>tării<br>$T_{ES}(\text{sec})$ | Tempiul în sec.<br>resp. Pini-<br>tării<br>$T_{ES}(\text{sec})$ | Stingere<br>com-<br>pletă |
|---|-------------------|----------------|--|--|---|---|---------------------------|
| Tensiunea la<br>bornele A-B a<br>infișurării<br>statorice                   | U <sub>AB</sub>   | V              | 6297                                       | 2320 <sup>x</sup>  | 5   | 10  |                           |
| Tensiunea la<br>încărca de cap-<br>acitate a infișa-<br>rii excitație a RE. | U <sub>RE</sub>   | V              | 24,3                                       | 9  | 0,08  | 0,15  |                           |

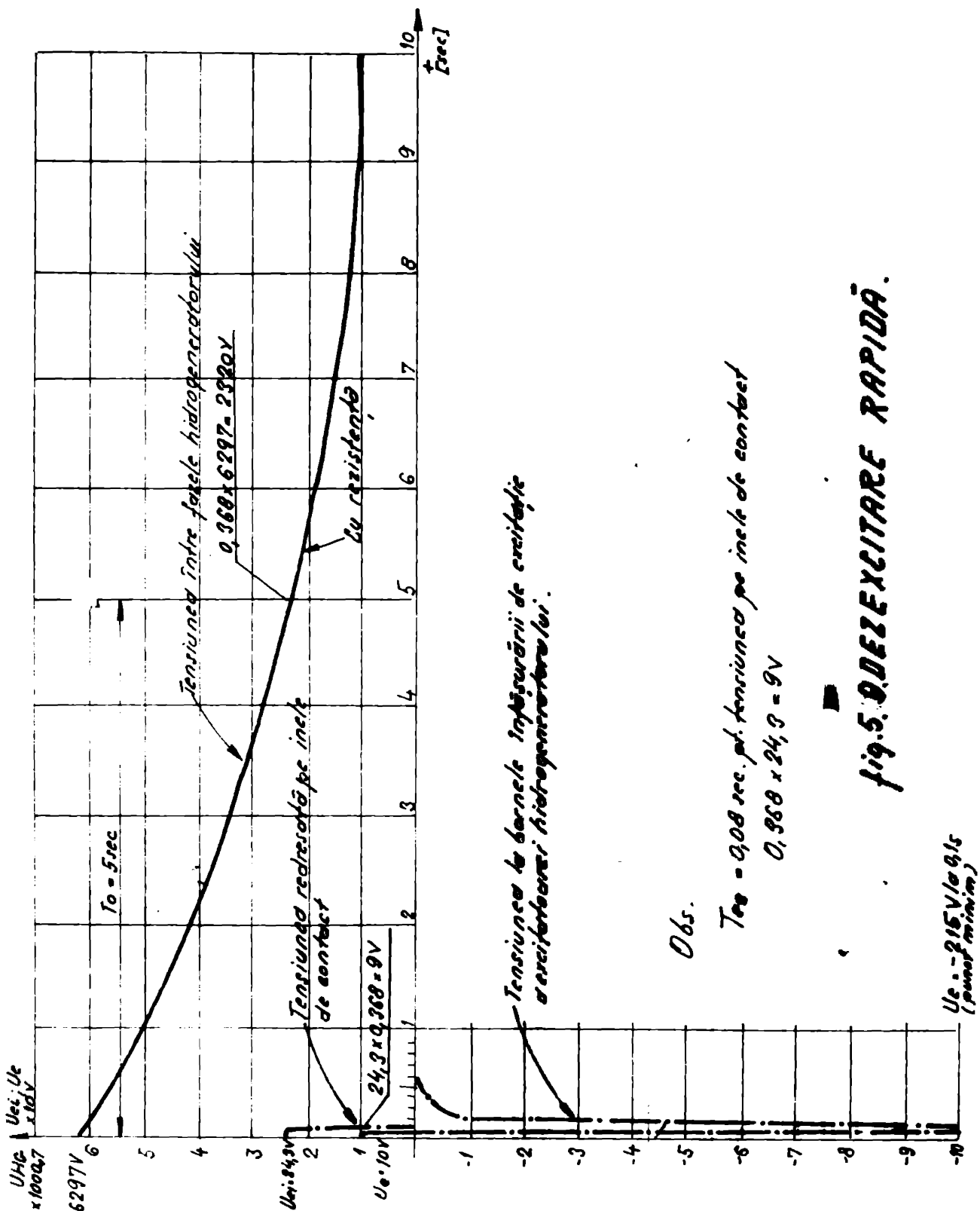


fig. 5. DEZEXITARE RAPIDA.

|  | 2         | 3 | 4 | 5 | 6 | 7   |
|--|-----------|---|---|---|---|-----|
| Tensiunea la<br>bornele infa-<br>surării de<br>excitație și<br>excitatorei | $U_{ESE}$ | V | k | - | - | 6,5 |

Se observă că valoarea de 225 V reprezintă 6,368 din tensiune inițială la bornele A-B a înfășurării statorice a hidrogeneratorului, iar timpul necesar pentru atingerea acestei valori reprezintă cu aproximativitatea constantă de timp a înfășurării de excitație a hidrogeneratorului cu indusul deschis cu înfășurarea rotorică constantă în circuitul excitatorului. De asemenea, se precizează că  $T_{op}$  este timpul în care tensiunea la bornele generatorului ajunge la valoarea de 6,368 din tensiunea nominală;  $T_{EG}$  este timpul în care tensiunea la rotorul hidrogeneratorului atinge 6,368 din valoarea inițială. Din analiza oscilogramei din figura 5.9 rezultă că dezesenatorul hidrogeneratorului se face prin întreruperea circuitului de excitație al excitatorului cu un contactor și introducerea rezistenței de desenzitare a excitatorului. De asemenea nu se poate supratensiuni în circuitul de excitație al hidrogeneratorului care ar solicita izolație înfășurării rotorice. Tensiunea din circuitul de excitație al hidrogeneratorului se atinge relativ rapid, în 6,18 sec. și în cursul deceseelor tensiunea la bornele hidrogeneratorului ajunge numai după 5 sec. la valoarea de 6,368 Un.

Corespunzând acestei constante de timp în cursul deceseelor sunt cele mizerabile la hidrogeneratoare de puteri apropiate și echipamente cu sisteme de emisie și emisitatoare de curent continuu, respectiv sisteme de excitație statică, prevăzute cu autoaste de atingeri cimpului și rezistențe de desenzitare ale hidrogeneratorului, se constată că, timpul de desenzitare se reduce cu atât mai mult cu cît valoarea rezistenței intercalate, în circuitul rotoric al generatoarelor principale este mai mare. Ca rezultat, pot apărea pe înfășurările de excitație a hidrogeneratorului supratensiuni, care pot atinge de 10-15 ori valoarea tensiunii nominale de excitație, perilitind în unele cazuri izolația înfășurării rotorice.

În altă sesiune de încredere efectuate au fost deconectările de sarcină, hidrogeneratorul fiind cuplat la rețea și următoarele deconectări bruscă a sarcinii, cu oprirea hidrogeneratorului prin întrerupătorul principal și desenzitarea magazinului. În tabelul VIII se redau valorile obținute în cursul deconectărilor de sarcină ale

fig. 5.10. DECONECTARE DE SARINA

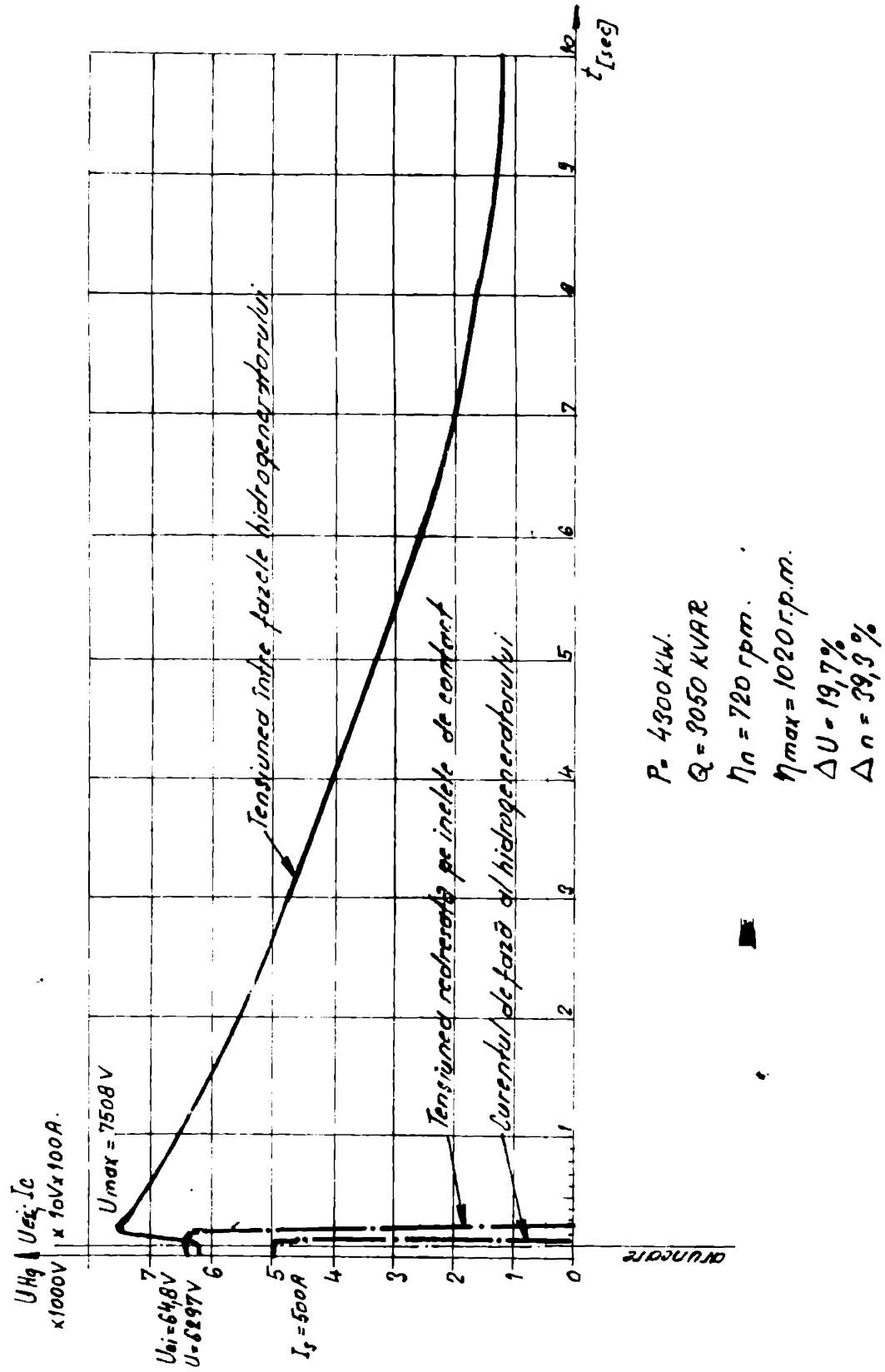
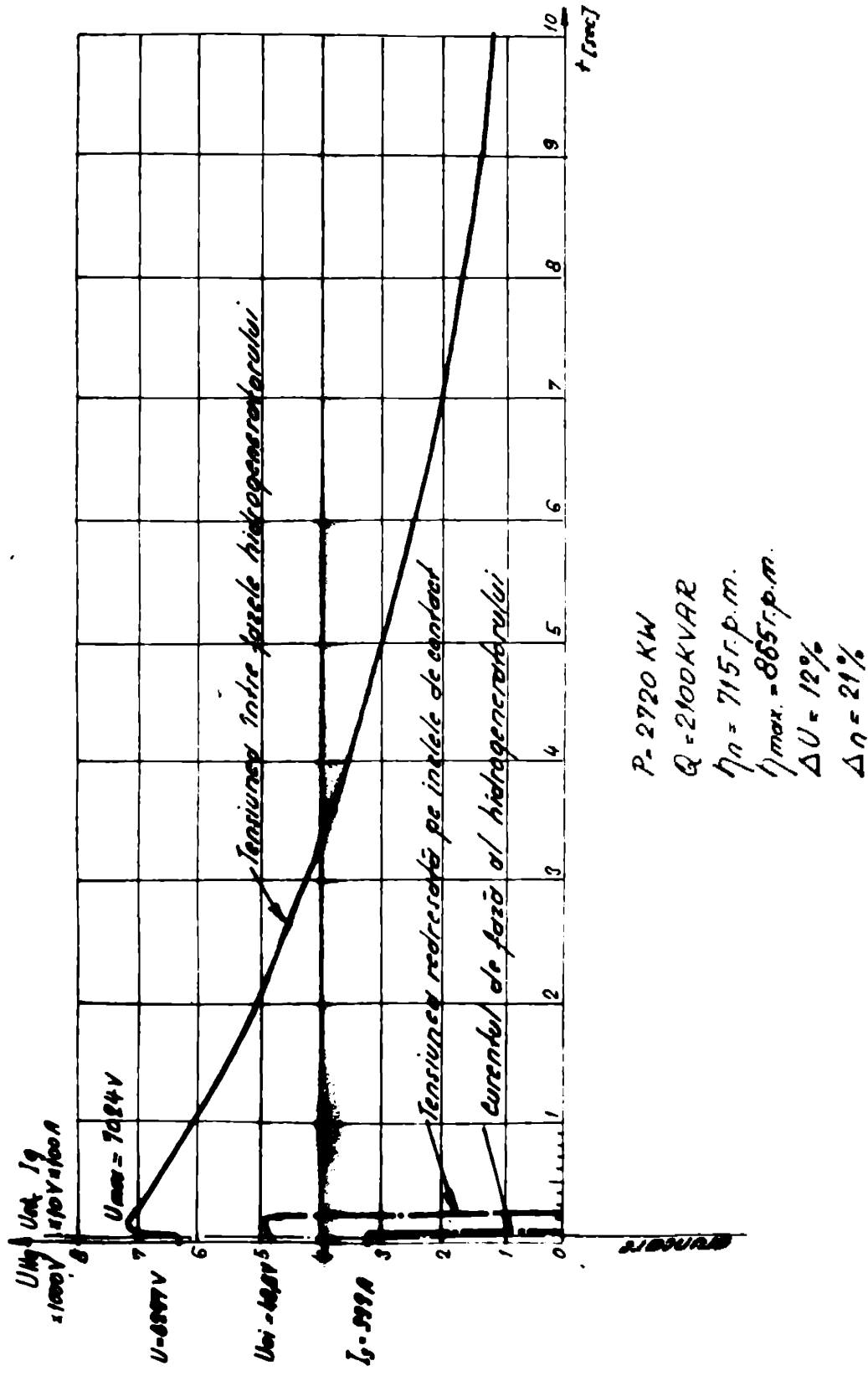
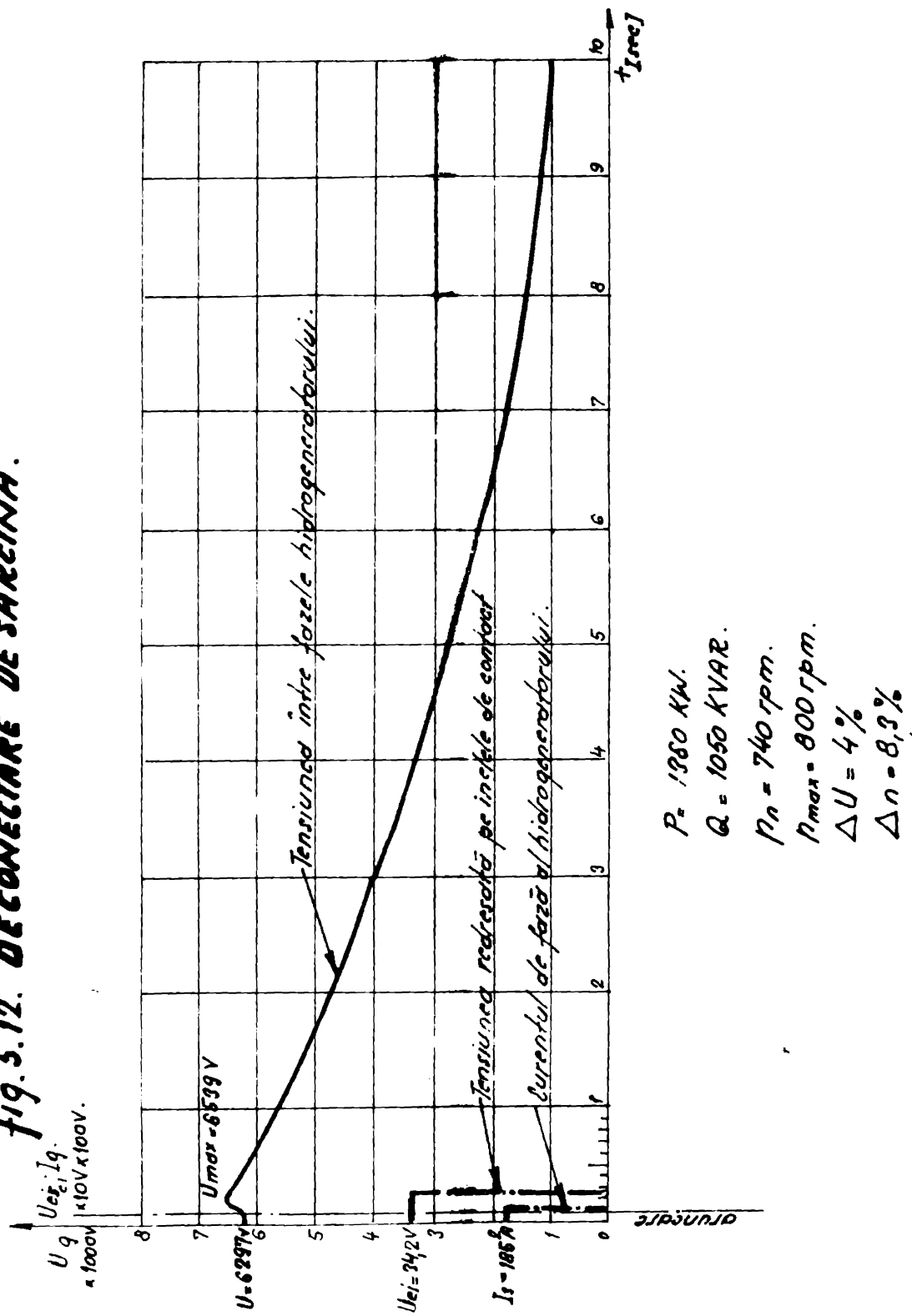


Fig. 5.11. Tensioneare de sarcina



**fig. 5.12. DECONEXARE DE SARCINA.**



hidrogenatorului cu funcționare în regim manual de excitație.

Se precizează că deconectările s-au făcut fără regulator automat de turăție și regulator automat de tensiune.

Tabelul VIII

| Nr.<br>ext.      | Nr.<br>probiei                                 | Valea înregistrată<br>Simbol UM  | Val.<br>la por-<br>nire                    | Val.<br>max.                       | Le-<br>stin-<br>gere          | Timp<br>de<br>stingere | U<br>% | I<br>% | Dia-<br>gre-<br>ma |
|------------------|--|----------------------------------|--|------------------------------------|-------------------------------|------------------------|--------|--------|--------------------|
| 1. Probe<br>nr.1 | P<br>Q<br>$U_g$<br>$I_{EH}$<br>$U_{EH}$<br>$n$ | KW<br>KVAR<br>V<br>A<br>V<br>zpm | 4360<br>3050<br>6297<br>500<br>64<br>720   | 0<br>C<br>7908<br>0<br>70<br>1020  | 0<br>C<br>1200<br>0<br>6<br>- | 10 sec<br>19.8         |        |        | 5.10               |
| 2. Probe<br>nr.2 | P<br>Q<br>$U_g$<br>$I_{EH}$<br>$U_{EH}$<br>$n$ | KW<br>KVAR<br>V<br>A<br>V<br>zpm | 2720<br>2100<br>6297<br>353<br>48,6<br>213 | 0<br>0<br>7024<br>0<br>49,5<br>865 |                               | 10 sec<br>12           |        |        | 5.11               |
| 3. Probe<br>nr.3 | P<br>Q<br>$U_g$<br>$I_g$<br>$U_{EH}$<br>$n$    | KW<br>KVAR<br>V<br>A<br>V<br>zpm | 1360<br>1020<br>6297<br>189<br>34,2<br>260 | 0<br>0<br>6939<br>0<br>35<br>800   | 0<br>0<br>1100<br>0<br>0<br>- | 10<br>-                | 4      |        | 5.12               |
|                  |  |                                  |  |                                    |                               |                        |        |        | 8,3                |

Observație - turăție generatorului citită pe tachometru.

Din ensemnele măsurătorilor efectuate (Tabelul VIII) se observă că, în cazul deconectării bruscă a sarcinii hidrogenatorului se produce o creștere mică a tensiunii de excitație a generatorului și o sărare mai pronunțată a tensiunii la bornele generatorului, dar aceste variații nu periclită să izoleze înășurările sarcinii și nici diodele din redresorul rotativ.

Comportarea hidrogenatorului conectat la regulatorul automat de tensiune se reflectă în menținerea constantă a tensiunii la bornele generatorului, în urma variațiilor de sarcină.

Menținerea constantă a tensiunii la bornele generatorului depinde de turăție agregatului, de masele inerțiale în mișcare (constante de timp mecanice), precum și de constantele de timp electro-magnetic ale ansamblului generator-excitator. Constanta de timp mecanic este determinată pentru regulatorul de turăție căruia i

se impun abateri de variație, respectiv frecvență eșa de mici, încit practic nu pot influența valoarea tensiunii la borne.

Performanțele propriu-siice ale sistemului de reglare sunt evidențiate de mărimea amplitudinii și a frecvențelor perturbatorilor ce pot apărea la intrarea reglatorului de tensiune și să determine, în astfel de variație la ieșirea lui, incit aceste variații, să nu se poată evidenția în mărimea reglată. În cazul nostru mărimea de ieșire a reglatorului este tensiunea ce se aplică bobinei jumătăți de excitație al exzitatoarei și determină tensiunea de excitație a hidrogeneratorului și prin aceasta tensiunea la barele acestuia.

Incercaările efectuate cu generotorul excitat și cuplat la rețea, dar fără sarcină sint redate în figurile 5.13...5.18.

În figura 5.13 se observă că, fără a modifica tensiunea de comandă  $U_c$ , nu se înregistrează nici o variație a tensiunii la bornele generatorului  $U_H$ . În cazul cind tensiunea de comandă cade brusc la zero și tensiunea de excitație a generatorului scade brusc la zero, iar tensiunea la borne scade la zero după o curvă, ce depinde de constantele electromagnetice a generatorului.

Tot în această figură se vede modul cum crește tensiunea la bornele generatorului pînă la valoarea nominală, cînd această variație este comandată de reglator. Figurile 5.14, 5.15 redau incercaările ce s-au făcut pentru a determina, mărimea amplitudinii semnalului perturbator la ieșirea reglatorului ( $U_g$ ), menținînd constantă frecvența lui; amplitudinea care să determine o variație sesizabilă în mărimea reglată, în cazul acestuia  $U_H$ . Din cele două figuri se observă că, la o triplare a amplitudinii semnalului perturbator (figura 5.15a), în tensiune, practic nu se observă nici o variație sesizabilă. Din figura 5.15 se evidențiază că, nici o variație monotonă a amplitudinii semnalului de comandă  $U_c$  al reglatorului, nu determină variații sesizabile în tensiunea la borne.

În figura 5.17 s-a mărit frecvența semnalului perturbator făcă de figura 5.16a și totodată s-a variat în același sensu valoarea amplitudinii. Si în acest caz în tensiunea la borne nu apare nici o variație sesizabilă.

În figura 5.18 se enalizează acestă fenomen, în cazul cind frecvența semnalului perturbator se micșorează făcă de cel din figura 5.17 și totodată se modifică și amplitudinea lui. Si în acest caz variațiile în tensiunea la borne sunt penete neglijabile.

Incercaările de deconectări bruse de sarcini efectuate în regimul de funcționare cu regulator automat de tensiune au evidențiat

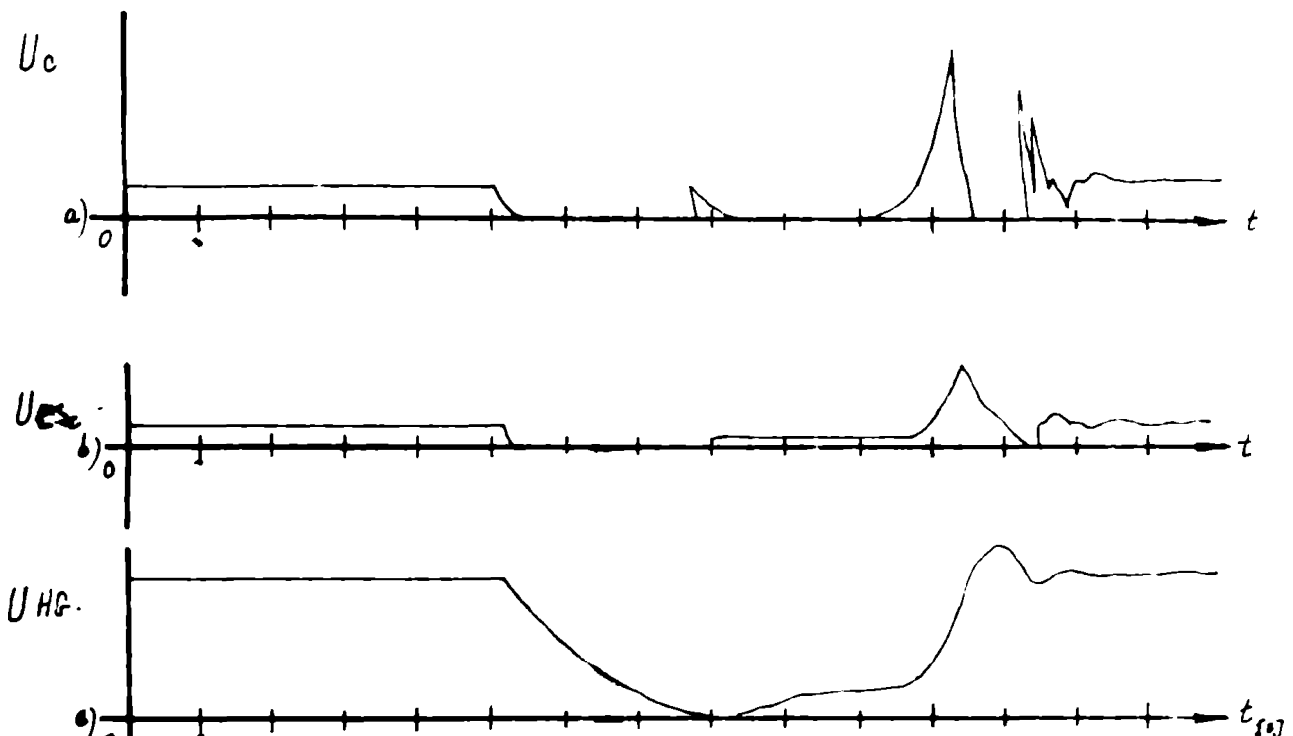


fig. 5.13.

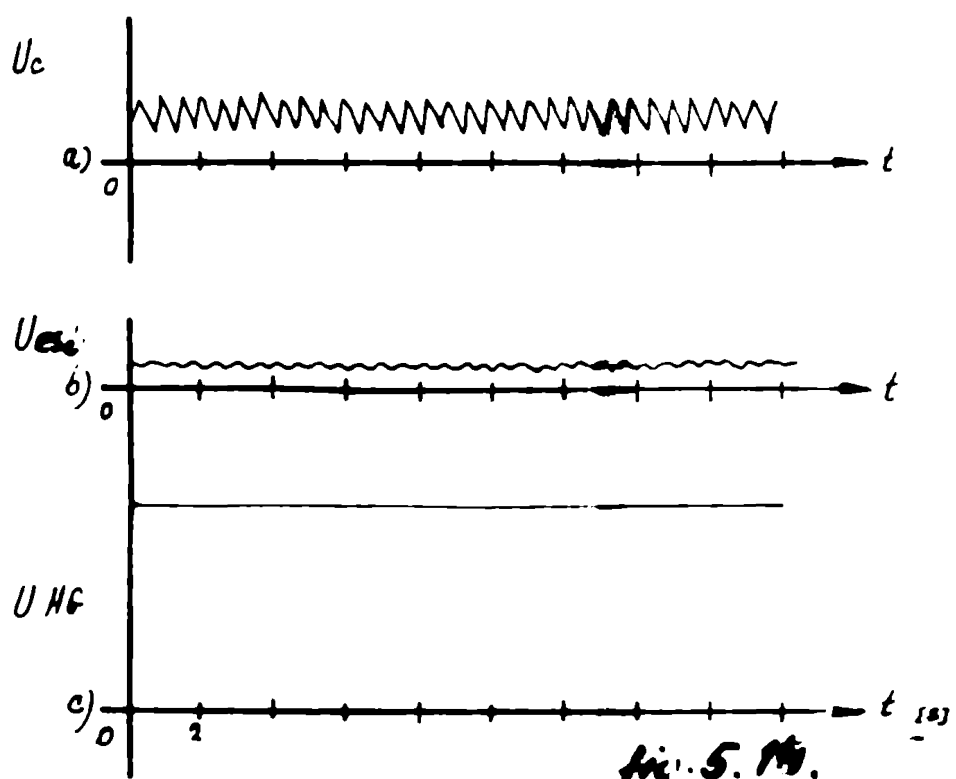


fig. 5.14.

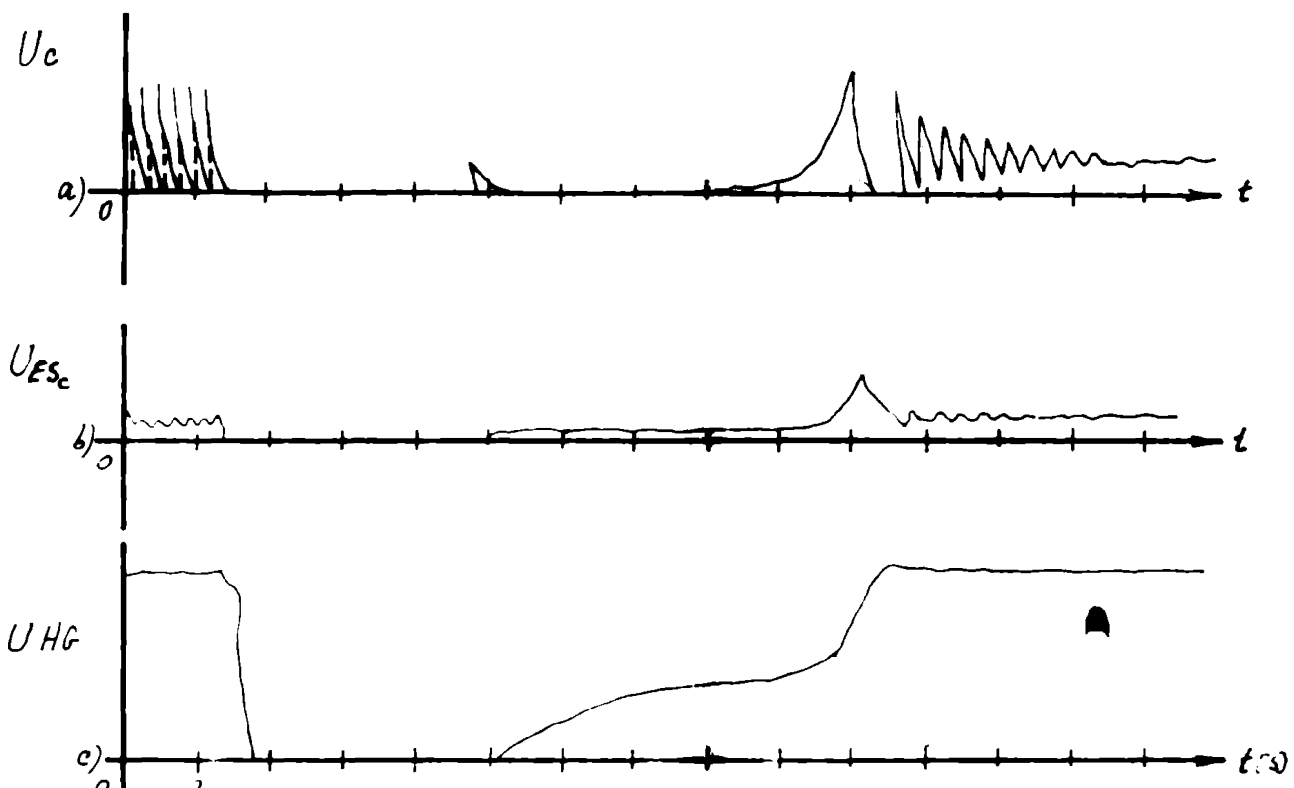


fig. 5.15.

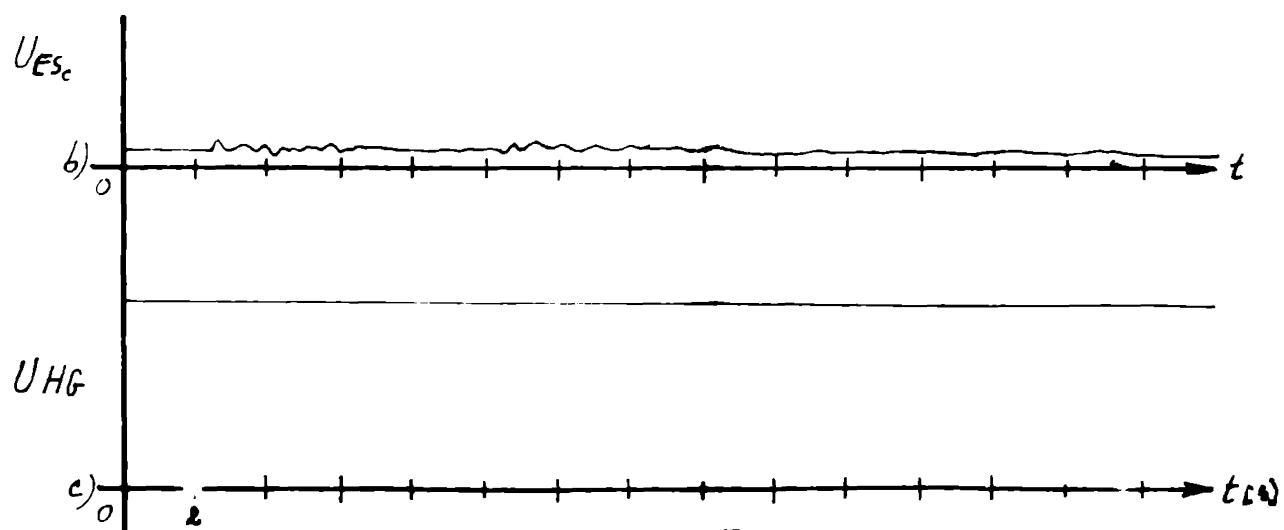
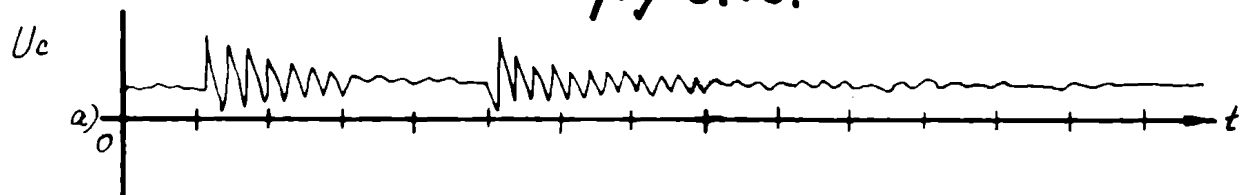


fig. 5.16.

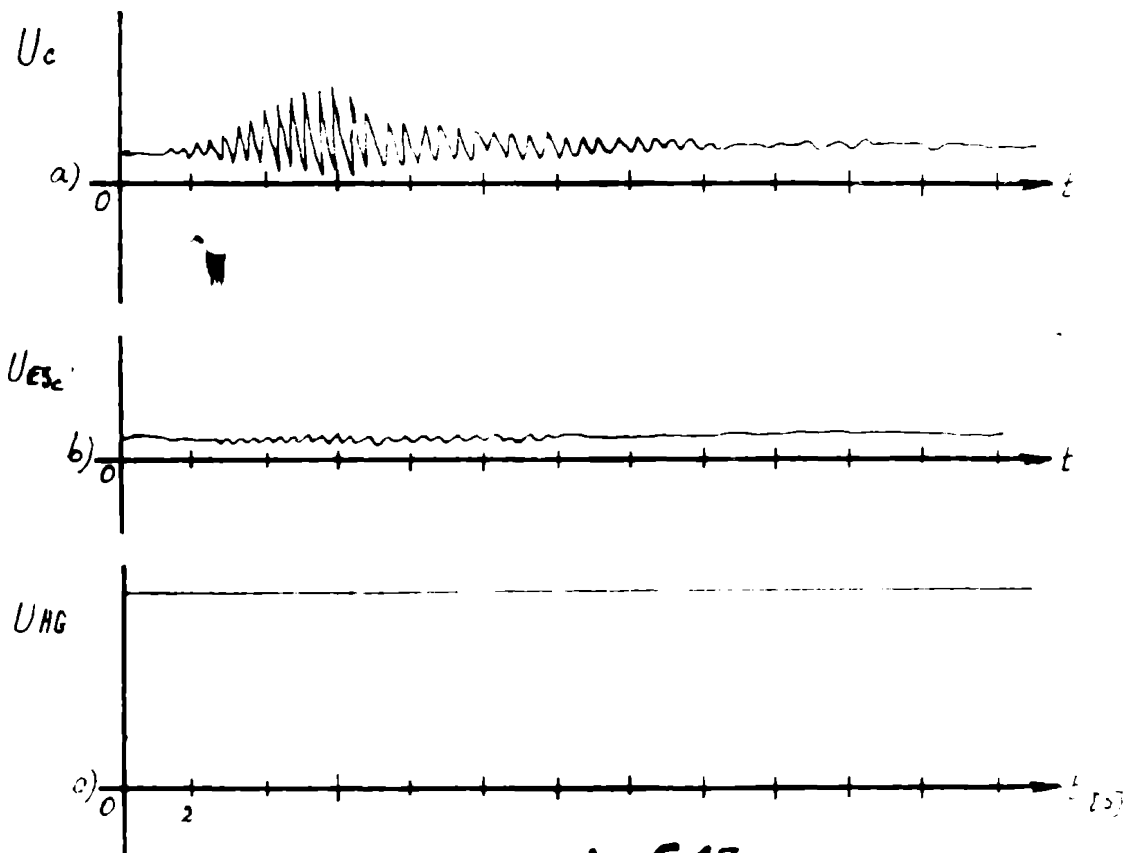


fig. 5.17.

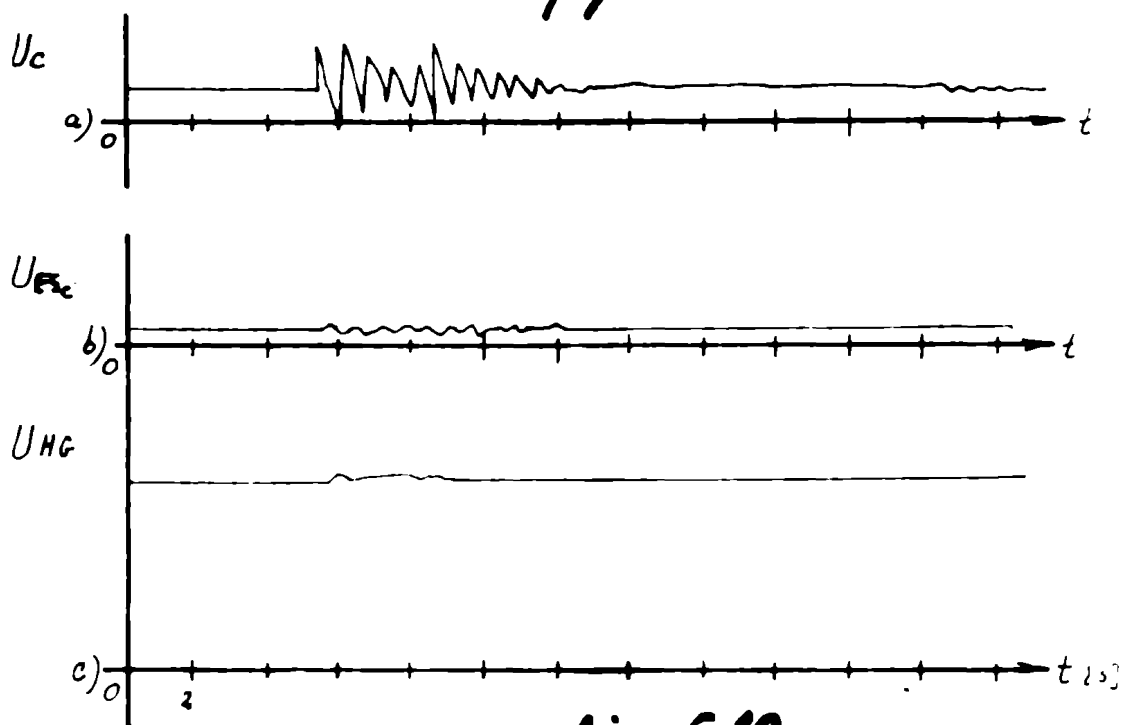


fig. 5.18.

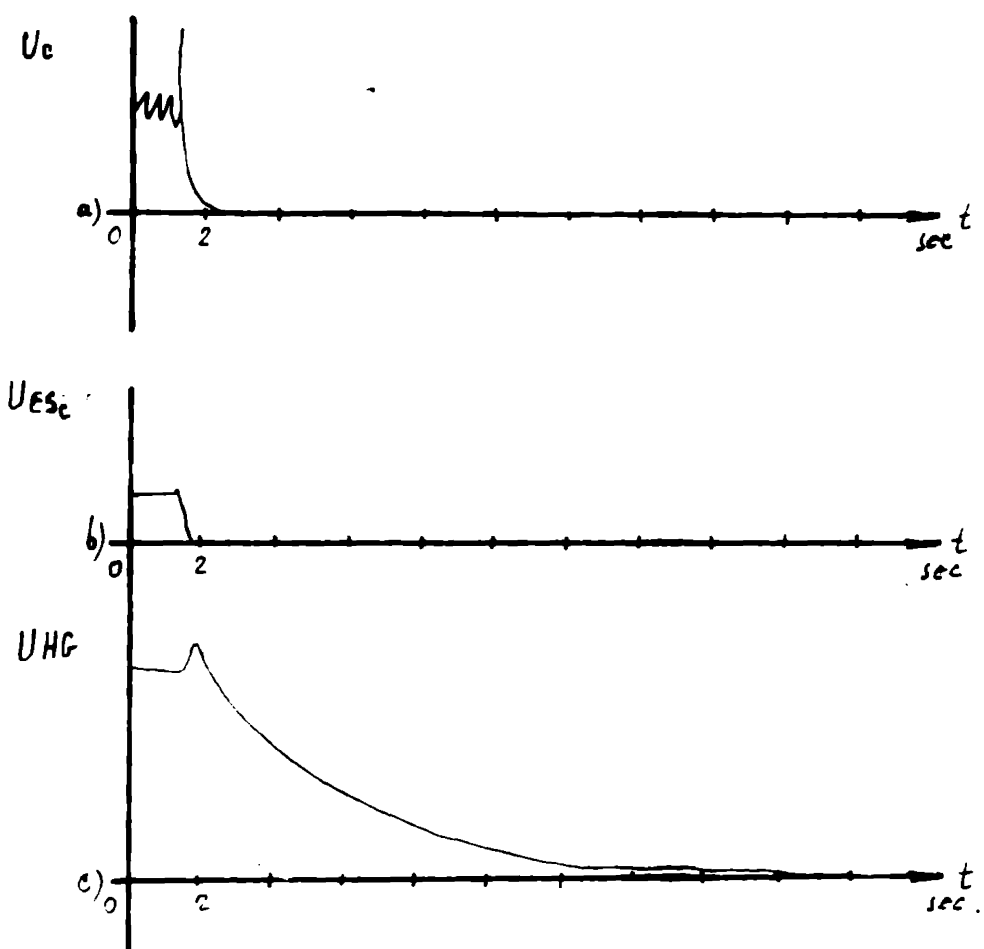


fig. 5.19.

o creștere transitorie a tensiunii la borne (figura 5.19), de aproximativ  $U_{m1} \approx 15\%$  pentru  $3000 \text{ MW}$ ,  $3000 \text{ MVA}$ ), iar timpul de desansitare este ceva mai scurt decât în cazul în care generatorul funcționează în regim manual de excitare.

În următoarele oscilogramme de mai sus, reiese că modificarea tensiunii de comandă, determinată prectic instantaneu, modifică și tensiunea de excitare a hidrogeneratorului  $U_{HGe}$ ; aceea se evidențiază cînd existența redresorului rotativ cu diode în circuitul de excitare al generatorului nu doce le înrăutățiresc posibilitățile de reglare a tensiunii, iar timpul de conutare al diodelor precum și forma tensiunii redresate, nu influențează comportarea generatorului cuplat cu regulatorul cuplat de tensiune.

Resultatele experimentale obținute cu excitațorul sincron și dioda rotativă proiectată și funcționarea sa mai multă sau în controlele hidroelectrice și sistemele de excitare prevăzut cu aceste excitațori, dovedesc fiabilitatea hidraulică a mașinilor și confirme metodele de proiectare elaborate în lucrare.

## Capitolul VI

### CONCLUZII

In lucrare se prezintă soluțiile unor probleme actuale și de perspectivă, care au apărut la realizarea sistemului de excitare cu excitatoarea sincronă cu diode rotative, pentru hidrogeneratoarele sincrone, care se proiectează și se fabrică la noi în țară. Hidrogeneratoarele sincrone cu diode rotative sunt mașini unicate sau serii mici, care sunt proiectate de către Centrul de Cercetare Stiințifică și Inginerie Tehnologică pentru Echipamente Hidroenergetice, executate de Intreprinderea de Mașini din Reșița și echipează obiective importante ale economiei naționale. Sunt prezentate soluțiile de realizare a excitatoarelor sincrone cu diode rotative, unele originale brevetate, ca de pildă instalația de redresare rotitoare polifazată, apoi se studiază principalele procese tranzitorii specifice acestor mașini și în funcție de relațiile obținute pentru viteza de excitare a excitatoarei în cursul forțării excitării, se stabilește o metodă de proiectare optimă, avind drept criteriu de optimizare obținerea unei viteză de excitare maximă.

Pentru verificarea rezultatelor teoretice obținute în prezența lucrare s-a prezentat un calcul de dimensionare și electromagnetic al unei excitatoare sincrone cu diode rotative și măsurătorile efectuate asupra acestei mașini, atât pe standul de probă al uzinei producătoare, cît și în centrala hidroelectrică unde asigură excitarea hidrogeneratorului sincron.

Pe baza rezultatelor teoretice și experimentale obținute se pot estima următoarele concluzii:

1) Din studiul critic al sistemelor de excitare ale generatoarelor sincrone folosite în prezent a rezultat că sistemul de excitare cu excitatoare sincronă cu diode rotative se impune ca o alternativă viabilă, prin avantajele pe care le prezintă în special în cazurile în care curentul de excitare și turăția nominală a generatorului principal au valori ridicate și mijlocii. În aceste cazuri excitatoarea sincronă cu diode rotative are greutatea considerabil mai mică și răndamentul mai mare decât excitatoarea de curent continuu, iar parametrii funcționali, comparabili cu cei ai excitatoarei de curent continuu.

In toate cazurile utilizării sistemului de excitărie cu excitătoare sincronă cu diode rotative se elimină neajunsurile legate de transmiterea curentului prin contacte alunecătoare de tipul colector-perii și inele de contact-perii.

2) In realizarea excitatoarei sincrone cu diode rotative elementul principal îl constituie înfășurarea indușului (rotorului), pentru care s-au precizat tipurile de bobinaje specifice acestor mașini, prezentind și soluțiile constructive de realizare a conexiunilor acestor înfășurări, precum și ale legăturilor spre instalațiile de redresare rotitoare cu diode.

3) Posibilitățile de redresare în instalațiile de redresare rotitoare cu diode cu siliciu, sunt analizate și corelate cu tipul de înfășurare considerat pentru indușul excitatoarei sincrone; se prezintă o soluție originală de instalație de redresare rotitoare polifazată brevetată și executată pentru o mașină de mare performanță.

4) In lucrare s-au stabilit, prin adoptarea teoriei celor două axe pentru situația în care cîmpul inductor este imobil și constant, ecuațiile de funcționare care definesc comportarea excitatoarei sincrone cu diode rotitoare; ecuațiile respective au fost deduse de autor și pot fi folosite atît pentru studiul fenomenelor care au loc în excitatoarea sincronă cu diodele rotitoare în regim stationar, cît și cele ce intervin în regimurile tranzitorii generale, respectiv specifice acestui tip de mașină.

5) Pe baza ecuațiilor de funcționare stabilite în teoria celor două axe pentru excitatoarea sincronă, transpune în planul variabilei complexe "p" prin intermediul funcțiilor imagine, a ecuațiilor redresorului rotativ cu diode și ale sarcinii excitatoarei (înfășurarea rotorică a generatorului sincron principal) s-a determinat expresia tensiunii în timpul forțării excitării și decriviteza de excitărie a excitatoarei sincrone cu diode rotative.

6) Din studiul regimurilor tranzitorii specifice acestor mașini, adică forțarea excitării și dezexcitarea rapidă s-au stabilit posibilitățile de obținere a unei viteze de excitărie corespunzătoare, respectiv a uneidezexcitări cît mai rapide în caz de avarie.

7) Pentru dimensionarea optimală a excitatoarei sincrone cu diode rotative s-au stabilit elementele principale de care depinde comportarea corespunzătoare a sistemului de excitărie și a ansamblului excitatoare-generator sincron.

8) S-a elaborat o metodă de proiectare și un program de calcul original pentru excitatoarea sincronă cu diode rotative, în baza criteriului de optimizare adoptat, al vitezei de excitație maximă.

9) Rezultatele obținute în proiectarea unei game largi de excitatoare sincrone cu diode rotative, utilizate la hidrogeneratoarele sincrone s-au prezentat tabelar, precum și un exemplu de calcul pentru o astfel de mașină, pe baza metodei de proiectare optimală propusă de autor. Randamentul e ceea ce se poate obține cu diode rotative prezentată în lucrare este cu aproximativ 5% mai mare decât randamentul unei excitatoare de curent continuu cu aceleși date nominale.

10) În vederea verificării performanțelor acestui tip de mașină s-a stabilit un program de încercări și s-a conceput o instalație și o schemă de legături originale pentru încercarea excitatoarei sincrone cu diode rotative pe standul de probă uzinal.

11) Rezultatele experimentale obținute cu excitatoarea sincronă cu diode rotative, atât pe standul de probă uzinal, cât și în centre hidroelectrice s-au comparat cu valorile calculate pe baza metodei de proiectare optimă stabilită. Din această analiză s-a constatat o bună concordanță între valoarea vitezei de excitație calculată și cea măsurată (de ordinul 5; 6%), iar viteza de excitație optimă este superioară celei inițiale cu aproximativ 25%.

12) Prin extinderea aplicării metodei de proiectare optimă la excitatoarele aflate în faza de proiectare sau de lansare în fabricație, se va putea îmbunătăți viteza de excitație a excitatoarei sincrone cu diode rotative, prin optimizarea îmfățurării inducționale a excitatoarei, uneori realizând și economii cu cupru față de varianta inițială.

Prezenta lucrare este rezultatul unor necesități obiective, legate de modernizarea hidrogeneratoarelor, prin utilizarea sistemului de excitație cu excitatoare sincronă cu diode rotative.

Problemele abordate și o mare parte din soluțiile elaborate în cadrul lucrării au un caracter original și au permis conceperea și realizarea unei game largi de mașini de acest tip. Totodată prin metode de proiectare optimă prezentată se

va putea îmbunătăți viteza de excităție a acestui sistem de excităție, devenind astfel mai competitiv în optiunea pentru un anumit sistem de excităție.

Lucrarea constituie o contribuție cu valoare practică pentru cunoașterea acestui tip de excitatoare, cu perspective de extindere și utilizare la toate mașinile sincrone, atât generatoare cât și motoare. Prin urmare, materialul prezentat se aplică direct și integral în proiectarea excitatoarelor sincrone cu diode rotative la Centrul de Cercetare Științifică și Inginerie Tehnologică pentru Echipamente Hidroenergetice Reșița și la realizarea lor la Intreprinderea de Construcții de Mașini Reșița

CENTRALA

## COLLECTIV INFORMATICA

Completat date : .....data .....semnatura.....

Aprobat : .....data .....semnătura.....

CARTOALA Nr. 1

Anexo : Calculul excitatoarei sincrone cu  
diode rotative.

1. Numele Beneficiarului

NOM

|   |  |  |   |
|---|--|--|---|
| 1 |  |  | 8 |
|   |  |  |   |
|   |  |  |   |
|   |  |  |   |
|   |  |  |   |
|   |  |  |   |
|   |  |  |   |
|   |  |  |   |

2. Atelierul/colectivul beneficiar

ATCOL

|   |  |  |   |
|---|--|--|---|
| 1 |  |  | 8 |
|   |  |  |   |
|   |  |  |   |
|   |  |  |   |
|   |  |  |   |
|   |  |  |   |
|   |  |  |   |
|   |  |  |   |

3. Data la care se cere rulare

DATA

|   |  |  |   |
|---|--|--|---|
| 1 |  |  | 8 |
|   |  |  |   |
|   |  |  |   |
|   |  |  |   |
|   |  |  |   |
|   |  |  |   |
|   |  |  |   |
|   |  |  |   |

4. Numărul de exemplare dorit

EXEMPL

|   |  |  |   |
|---|--|--|---|
| 1 |  |  | 8 |
|   |  |  |   |
|   |  |  |   |
|   |  |  |   |
|   |  |  |   |
|   |  |  |   |
|   |  |  |   |
|   |  |  |   |

CARTOALA Nr. 2

1. Numărul de caractere (inclusiv  
spațiile dintre ele) din denumirea  
mașinii pentru care se face calculul

CAR

|   |  |   |
|---|--|---|
| 1 |  | 4 |
|   |  |   |
|   |  |   |
|   |  |   |

2. Denumirea mașinii pentru care  
se execută calculul și (eventual)  
varianta calculului

TITLU

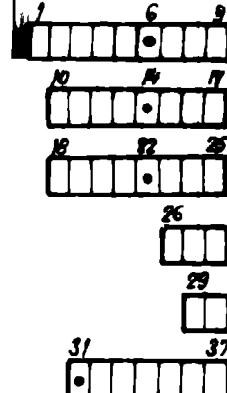
|   |  |   |   |
|---|--|---|---|
| 9 |  | 5 | 8 |
|   |  |   |   |
|   |  |   |   |
|   |  |   |   |
|   |  |   |   |
|   |  |   |   |
|   |  |   |   |
|   |  |   |   |
|   |  |   |   |

Datele inițiale necesare efectuării  
calculului se contină pe film următoare

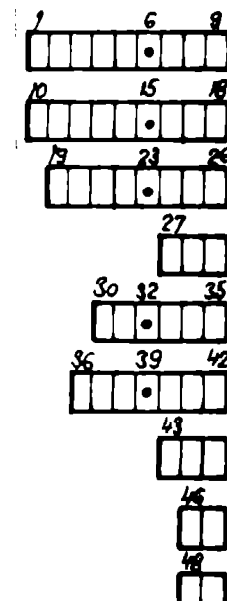
Calculul efectuării magnetic al emittatoriei  
sincrone polifazate - 705 468W/209

CARTELA 3.

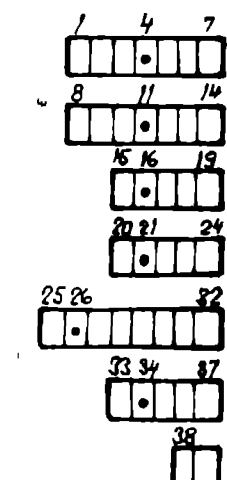
1. — Tensiunea nominală.
2. — Curentul nominal.
3. — Turatia nominală.
4. — Număr de poli.
5. — Număr de faze rotor.
6. — Factor de putere.

 $U_{es_c}$  /V/ $I_{es_c}$  /A/ $n_n$  /rpm/ $2_p$  /-/ $m$  /-/ $\cos\varphi$  /-/CARTELA 4.

1. — Diametrul exterior rotor.
2. — Diametrul interior rotor.
3. — Lungimea totală rotor.
4. — Nr canale de ventilatie în rotor.
5. — Lățimea canal de ventilatie.
6. — Lățimea poșetelor elementare + canal.
7. — Nr. crestături rotorice.
8. — Nr. conductori efectivi pe crestătură.
9. — Nr. căi de curent în paralel

 $d_{er}$  /mm/ $d_{ir}$  /mm/ $L$  /mm/ $n_s$  /-/ $b_c$  /mm/ $t_c$  /mm/ $Z$  /-/ $z_{n_r}$  /-/ $a$  /-/CARTELA 5.

1. — Lățimea crestătură rotor.
2. — Înălțimea crestătură rotor.
3. — Înălțimea pană + istor.
4. — Gros. oile laterală izolație în crestătură.
5. — Scurtarea (lungirea) pasului înfosurării.
6. — Coeficient de umplere fier rotor.
7. — Marcaj polo rotor.

 $b_{c_1}$  /mm/ $h_{c_1}$  /mm/ $h_4$  /mm/ $b_t$  /mm/ $\beta$  /-/ $K_{fer}$  /-/ $MTR$  /-/

D. Marcajele de tablă silicioasă se codifică astfel:

343 - cod 14 ; M43-24 - cod 15.

CARTELA 6

- 1-Diametrul exterior jug.
- 2-Lungime jug stator
- 3-Lungime pol rotor
- 4-Inălțime corp pol
- 5-Lățime corp pol
- 6-Inălțime talpoz polară
- 7-Inălțime minimă talpoz polară
- 8-Lățime talpoz polară

$d_{es}$  /mm/

$l_{js}$  /mm/

$l_p$  /mm/

$h_x$  /mm/

$b_x$  /mm/

$h_o$  /mm/

$h_{\min}$  /mm/

$b_p$  /mm/

|    |    |    |
|----|----|----|
| 1  | 6  | 9  |
| 10 | 14 | 17 |
| 11 | 21 | 24 |
| 25 | 28 | 31 |
| 32 | 35 | 38 |
| 39 | 41 | 44 |
| 45 | 47 | 50 |
| 51 | 53 | 57 |

CARTELA 7

- 1-Curent de excitatie maxim admis
- 2-Densitate de curent maxim admis
- 3-Matricea numărului de soire pe pol.
- 4-Matricea secțiunilor soirei de excitatie
- 5-Viteză de excitație minimă impusă

$i_{exmax} \dots (25; 30; 35; 40)$

$j_{exmax} \dots (1.2 \dots 1.6)$

$W_{EUE} (i)$

$S_{ESE} (j)$

$v_{exmin}$

|    |    |    |
|----|----|----|
| 1  | 4  | 6  |
| 7  | 10 | 12 |
| 13 | 16 | 18 |
| 19 | 22 | 25 |
| 21 | 24 | 33 |

CARTELA 8

- 1-Coef. de umplere fier pol.
- 2-intrefier
- 3-Intrefier maxim
- 4-Marcă tablo jug stator "
- 5-Marcă tablo pol stator "

$k_{res}$  /-/  
 $\delta$  /mm/  
 $\delta_{max}$  /mm/  
 $MJS$  /-/  
 $MPS$  /-/

|    |    |    |
|----|----|----|
| 1  | 2  | 5  |
| 6  | 8  | 11 |
| 12 | 14 | 17 |
| 18 |    |    |
| 20 |    |    |

⇒ Marcile de tablo silicioasă se codifică astfel

343 - cod 14

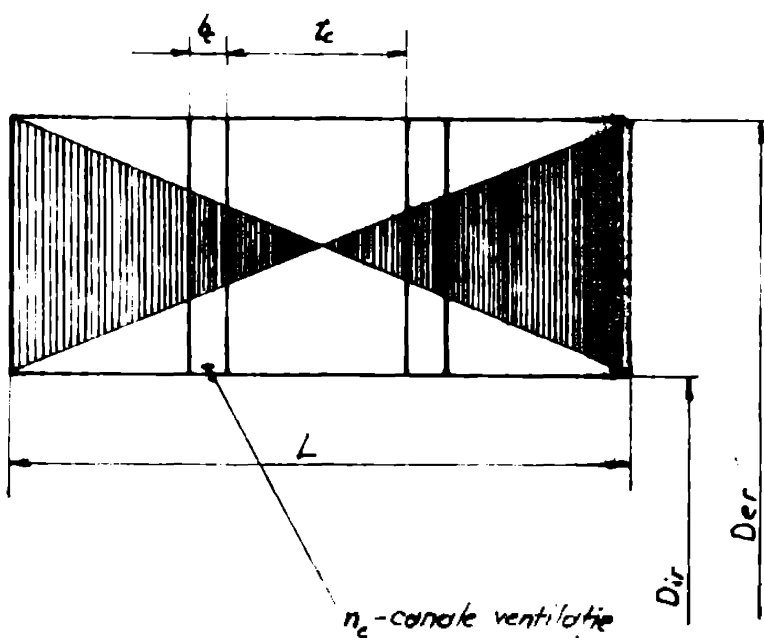
143 - cod 15

0637 - cod 16.

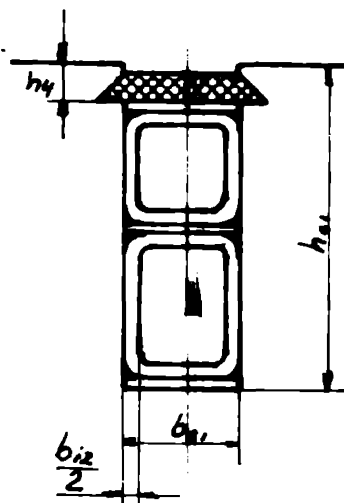
154  
Calculul excitatoarei sincrone m-facute

ELEMENTE GEOMETRICE DIN „DATE INITIALE”

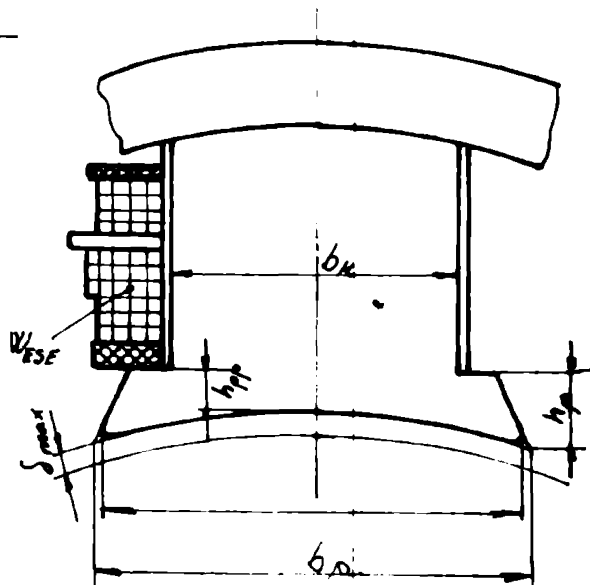
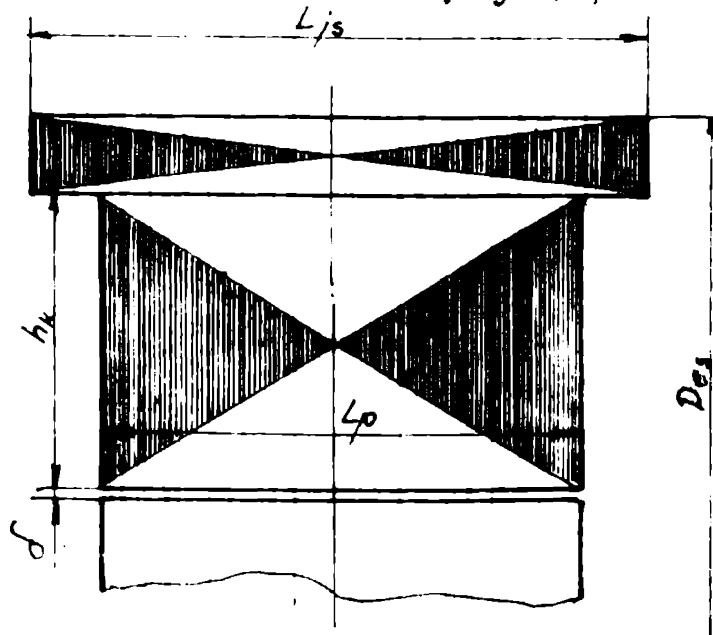
Rotor



Crestatura Rotor



stator (jug si pol de excitatie)



Bibliografie

1. A.Abolins-Pz. Heinrichs-  
Magnetlose Erreger mit rotierenden  
Gleichrichtern für grosse Turbogenera-  
toren. ETZa (Januarie 1966).
2. Andre Angot  
- Complements de matematică-Editura tehnică 1966.
3. Andronescu P.  
- Bazele electrotehnicii-Editura didactică și pedagogică București.
4. C.Aptrei  
- Optimizarea mașinilor și a transforma-  
toarelor electrice-Studii și cercetări  
de energetică - nr.4-66.
5. Achenbach  
- Regelung grosser Wasserkraftgeneratoren  
E.T.Z.-4-Heft 7-1960.
6. C.BĂLĂ  
- Mașini electrice-Editura didactică și  
pedagogică București 1982.
7. K.Bonfert  
- Betriebsverhalten der Synchronmaschine  
Springer-Verlag-Berlin; Gottingen; Heidel-  
berg-1962, pag.164-193.
8. T.Bödefeld,H.Sequens  
- Elektrische Maschinen - pag.500-516  
Springer-Verlag 1965.
9. Gru.Buruhin, I.A.Morozov-  
și Z.G.Rvoseinscă  
- Cercetarea proceselor la forțarea exi-  
tației generatorului sincron cu sistem  
de exitate fără perzi-Electricestvo-  
6/1973.
10. M.Cenay  
- Überspannungen im Feldkreis von Synchron-  
maschinen mit Gleichrichterexcitierung-HBC  
Brown Boveri,Druckschrift Nr.CH-TC 113D.
11. M.Cenay  
- Experimentelle Ermittlung der Ersatzsche-  
mata und der parameter einer idealisier-  
ten Synchronmaschine.HBC-Sonderdruck aus  
Bulletin des schweizerischen Elektro-  
technischen Vereins CH-E 7.20020.C D.
12. M.Cenay  
- Ersatzschemata der Synchronmaschine zur  
Vorausberechnung von Polradgrössen bei  
nichtstationären Verhältnissen sowie syn-

chronen Anlauf; Teil II, Schenkelpolmaschinen, BEM-2-69 (60-71).

13. M.Casay - Block Diagrams and Transfer Functions of the Synchronous Machine. IEEE Transactions on Power Apparatus and Systems-Vol. PAS-85 No.9 Sept. 1966.
14. M.Casay - Asynchronous starting of synchronous machines with or without rectifiers in the field circuit. Proc.IEE.vol.119,no.12/1972.
15. M.Casay and I.Simund - Rotor overvoltage and interturn voltages in the Field winding of Synchronous Machines-MEC Publication No.CH-T 130243 P.
16. Ciupercu A. - Mașini Electrice-Editura Scrisul Românesc 1977.
17. Chioncel P. - Regimurile transitorii ale excitării sincrone cu convertor rotativ cu diode cu siliciu-SIMECE'83 I.P.București.
18. Chioncel P. - Instalație de redresare rotitoare polifazată-invenție-Certificat de autor nr. 73432/81.
19. Constantin P. și alții- Electronică industrială-Ed. didactică și pedagogică București.
20. S.Călin - Reguletoare automate-Ed. didactică și pedagogică București 1976.
21. L.Debernardi,R.Gillet- Sisteme d'excitation compact pour alternateur nécessaire à quatre pôles AIM-Centrales 1974.
22. T.Dordes - Mașini electrice-Ed. didactică și pedagogică București 1977.
23. M.Diaconescu,L.Greux - Mutatoare-baze teoretice și elemente de proiectare-Ed. didactică și pedagogică 1978.
24. H.Eggelin - Begrenzung der Erregung von Synchronmaschinen BEM 63/1976 (II).

25. H. Prohme  
- Rationalisierung beim Entwurf elektrischer Maschinen unter Verwendung digitaler Rechensystemen. ETE-4, Bd. 84 (M6)
26. H. J. Gondert  
- Erregungssysteme für grosse generatoren BBC-Nachrichten, 1980-Heft 10.
27. I. Grando  
- Bolicitările diodelor din sistemul de excitație rotativ al hidrogeneratoarelor în timpul desexcitației-Construcții de mașini nr. 3/1980.
28. A. Heßbeck, G. Kusche  
- Rotierende Gleichrichtererregung von Synchrongenmotoren-Siemens Zeitschrift 1968-Heft 11.
29. G. Kusche  
- Rotierende Stromrichtererregung von Synchrongenmotoren, Blindleistungsmaschinen und Stromrichtermotoren-Siemens Zeitschrift 1970-Heft 5.
30. W. Brüderling  
- Anlauf schleifringloser Synchronmotoren für Kolbenkompressoren-BBC Mitteilungen ,Bd. 55, Nr. 10/11 Oct./Nov. 1968.
31. U. M. Bobrov,  
Gertsevberg,  
G. R. Kildistrov,  
V. S. Kovalekov  
- Development of excitation and control systems of large turbo-generators, hidrogenerators and synchronous condensers. World electrotechnical Congress Jun. 21-25, Moscow 1977.
32. Cetina G.M., Drexler-  
Dvorschek, Gerlits  
R.K.  
- Descriptions and Tests of the GENEREX Excitation System for large steam Turbine-Generators.-IEEE Transactions, Vol.PAS-95, nr.  
3 May/June 1976, pag. 813-811.
33. Chambaze G.,  
Jemmeraki P.W.  
- Control for the GENEREX excitation. Presented at the 1977 Joint Power Generation Conference, Long Beach, California, Sept. 1977.
34. Besuglos P.H.,  
Carlsom L.  
- Generator and Power System Performance with the GBNEMLX Excitation System. IEEE Transactions, vol.PAS 95, nr.2 March/April 1976  
pag. 489-493.
35. Fenwick D.R.,  
Wright W.  
- Review of trends in excitation systems and possible future developments Proc. IEE, Vol. 123, no. 5 May 1976.

36. Jones N.H.  
- Performance and service experience with  
GENEREX Excitation Systems for Large Steam  
Turbine-Generators,CIGRE Studienkomitee 11,  
Aug/Sept. 1978,Bericht 11-04.
37. Gerletz R.K.,  
Germann R.E.,  
Temoschok W.  
- The GENEREX System for large steam Turbine-  
Generators-Presented at the Pacific Coast  
Electric Association Engineering and Opera-  
tion Conference-Culver City,California.
38. Dvorshac I.I.,Iancu L.I. Simion  
- Shunt Thyristor Rectifiers for the GENEREX  
Excitation System-IEEE Transactions vol.PAS-  
96,no.4 July/August 1977/1219-1225.
39. Gheorghiu I.  
Frances A.  
- Teste de mașini electrice. Ed.Academiei RSR-  
vol. IV-Mașini sincrone-1972.
40. Kovacs K.,Pal  
- Analiza regimurilor transitorii ale mașinilor  
electrice-Ed. tehnica București 1980.
41. Th.Leibl  
- Die Theorie der Synchronmaschine im nichtste-  
tionsfreien Betrieb-Springer-Verlag 1951.
42. Lovaserie,T.  
Stiphout  
- Synchronmaschinen im leistungsbereich von  
250-11200 kVA-EBC Druckschrift nr.CH-T 3001D.
43. G.K.Jerve  
- Încercările mașinilor electrice rotative-Ed.  
tehnica București (traducere din limba engleză).
44. IEEE Committee Report-Computer Representation of Excitation Systems-  
IEEE Transactions on Power Apparatus and  
Systems,vol.pas 87,no.6 June 1968.
45. P.P.Demello,  
Ch.Concordia  
- Concepts of Synchronous Machine Stability as  
Affected by Excitation Control IEEE Transacti-  
ons on Power and System vol.Pas 88, Nr.4 April.  
1969.
46. G.Müller  
- Elektrische Maschinen-Berlin-VEB-Verlag  
Technik,1967.
47. V.N.Nedelcu  
- Teoria conversiei electromeccanice-Ed.tehnica  
București 1978.
48. I.Nicolaide  
- Mașini electrice-vol.II.Ed.Sociul românesc  
Craiova 1975.

49. I. Novac - Mașini electrice parțea I, II Institutul Politehnic "Tr. Vuia" Timișoara 1975.
50. R. Rădulescu, M. Opreschi - Proiectarea hidrogeneratoarelor și a motozdrobatorilor sincrone-Ed. tehnica București 1980.
51. Alekseev A.E. - Construcția mașinilor electrice-Ed. energetica de stat 1954.
52. Kleut J. - Berechnung und Bemessung elektrischer Maschinen, Berlin, Springer Verlag 1962.
53. Linschitz M. - Die elektrischen Maschinen
54. Richter R. - Elektrische Maschinen-Berlin Verlag Zweiter Band von Julius Springer 1930.
55. Richter R. - Ankerwicklungen für Gleich- und Wechselstrommaschinen, Berlin-Verlag von Julius Springer 1920.
56. G. Rinaldo - Motoare sincrone trifazice fără perii Ercocle-Italia.
57. P. Robert, L. le Prince - Le développement des excitatrices à diodes tournantes - CIGRÉ 1968.
58. Seguier G. - Le montages redresseurs à commutations sérielles- Revue Generale de l'Electricité -Decembre 1964.
59. Boldes I., Atanasiu G. - Analiza unității a mașinilor electrice Ed. Academiei RSR-București 1983.
60. P. Peneder, H. Buts - Erregersysteme für Drehstrom Generatoren in Industrie und mittleren Kraftwerken-HEM(CH-T C70C 63 D).
61. Robert P., Diopaux, Decier I.-L'amélioration du rendement des turbines-turbogénérateurs-CIGRÉ 1964 report no. 124.
62. Wiedemann, Kellenberger - Konstruktion elektrischer Maschinen Berlin-Springer Verlag 1967.
63. I.I. Moșescu - Redresoare cu siliciu - Ed. tehnica București 1966.
64. STAS 8211-78 - mașini sincrone trifazate, Metode de încercare.

65. A.Vidugescu ,N.Cioabău-Dispozitive semiconductoare-anual de u-  
Ratog, V.Gheorghiu tiliște-Ed. tehnică București 1975.
66. D.Tădorescu -Mașini electrice-Soluții noi,tendințe,  
orientări-Ed.Facultate 1981.
67. H.Reiche -Die optimale Auslegung elektrischer Ma-  
schinen unter dem Gesichtspunkt des Ma-  
terial und Energiekennzeichen-Electricie-  
1981/nr.4
68. Reiche,G.Mekker -VDE-Handbuch,Maschinelles Bezeichnen  
elektrischer Maschinen,Verlag Technik  
Berlin 1973.
69. K.Pork,W.Juling, -Dämpfung von Leistungspendelungen durch  
Beeinflussung der Generatorenregung-  
Siemens Energietechnik(1)/1981 .
70. Glebov I.A. -Sistemi vorzudjdenie moșnii sinhronih  
mașin - Moscova 1978.
71. J.Klaet -Berechnung und Bezeichnung elektrischer  
Maschinen-Springer Verlag-Berlin/Göttingen /Heidelberg.
72. G.N.Borukhin,  
I.A.Morozova -Cercetarea proceselor de forțarea exci-  
tătoarei generatoarelor sincrone cu sis-  
tem de excitație fără perii.Electricest-  
vo 1973.
73. N.A.Glebov,Loghin,  
Rețicev - Rezultatele cercetării sistemelor de ex-  
citare fără perii ale generatoarelor  
"Electrotehnica" 1970/Nr.1.
74. GOST-105/72 -Prințipialele caracteristici tehnice ale  
hidrogeneratoarelor sincrone.
75. - -Die bürstenlose Erregung von Synchro-  
maschinen durch rotierende Halbleiter  
Gleichrichter, No.CH-TG 76 163 D-BBC.